

ANÁLISE DOS ESFORÇOS EM EDIFÍCIOS ALTOS

Vilar Fiuza da Camara Júnior

TESE SUBMETIDA AO CORPO DOCENTE DA COORDENAÇÃO DOS PROGRAMAS DE PÓS-GRADUAÇÃO DE ENGENHARIA DA UNIVERSIDADE FEDERAL DO RIO DE JANEIRO COMO PARTE DOS REQUISITOS NECESSÁRIOS PARA A OBTENÇÃO DO GRAU DE MESTRE EM CIÊNCIAS (M.Sc.).

Aprovada por:

H. L. Soriano

Humberto Lima Soriano

(Presidente)

Fernando L. Lamei

Fernando Luís Lobo B. Carneiro

Fernando Venâncio Filho

Paulo Alcantara Gomes

Paulo Alcantara Gomes

RIO DE JANEIRO, RJ - BRASIL

ABRIL DE 1978

FICHA CATALOGRÁFICA

CAMARA JÚNIOR, VILAR FIUZA DA

Análise dos Esforços em Edifícios Altos. [Rio de Janeiro] 1978.

VIII, 196p. 29,7cm (COPPE-UFRJ,
M. Sc., Engenharia Civil, 1978)

Tese - Univ. Fed. Rio de Janeiro. Coordenação dos Programas de Pós-Graduação de Engenharia.

I. Estruturas I.COPPE/UFRJ II.Título (série).

ii

A MEU PAI +

E À MINHA MÃE

AGRADECIMENTOS

Ao prof. Humberto Lima Soriano, pelos ensinamentos e sugestões, e por sua dedicação como orientador de tese.

Aos professores da COPPE/UFRJ, pelos valiosos conhecimentos transmitidos durante o curso de pós-graduação;

À Universidade do Amazonas e à CAPES, pelo auxílio financeiro;

Ao Núcleo de Computação Eletrônica da UFRJ, pelo apoio durante o desenvolvimento da programação automática;

À Secretaria do Programa de Engenharia Civil da COPPE, pelas atenções recebidas em inúmeras ocasiões;

A meu irmão José Inácio e sua esposa, Helleniza, pelo apoio amigo e constante;

À minha esposa, pela compreensão e incentivo; a meus filhos, cuja presença é estímulo.

A tantas outras pessoas que, por outros meios, contribuiram para a concretização deste trabalho.

RESUMO

O presente trabalho objetiva a análise de esforços em estruturas de edifícios contendo vigas e pilares de várias formas geométricas e com posições relativas quaisquer nos pavimentos, dotadas ou não de apoios elásticos, submetidas a carregamentos verticais e laterais e a recalques dos apoios. Admite-se a existência de lajes diafragmas no nível de cada piso.

A análise é feita pelo método dos deslocamentos.

Dá-se ênfase à programação automática elaborada para computador, desenvolvendo-se um processo para o tratamento da matriz de rigidez com largura de faixa variável, utilizando-se o conceito de deslocamentos de conjuntos de andares, e efetuando-se a montagem em blocos do sistema de equações de equilíbrio da estrutura.

Nos vários exemplos de estruturas analisados, a programação desenvolvida revelou-se eficiente quanto aos tempos de processamento e quanto à precisão dos resultados obtidos.

ABSTRACT

This paper has as objective the structural analysis of buildings in which the beams and columns may have several geometrical shapes and any relative position in each story. The skeletons may have elastic supports, be under vertical and lateral loads and foundation displacements. The existence of diaphragm slabs in each floor level is admitted.

The analysis is made by the displacement method.

Emphasis is given to the automatic programming for computer by developping a process for the changing-bandwidth stiffness matrix treatment, by using the concept of story group displacements, and by building the structural equilibrium equations divided in blocks.

In the many analyzed examples, the coding showed good time and result precision performances.

ÍNDICE

<u>Capítulo</u>		<u>Pág.</u>
I	INTRODUÇÃO	1
II	MODELO ESTRUTURAL	
II-1	Idealização e hipóteses	6
II-2	Sistema de referência global	8
II-3	Graus de liberdade dos nós da estrutura ..	8
II-4	Elementos estruturais	
II-4.1	Vigas	11
II-4.2	Pilares	12
II-5	Apoios	13
II-6	Solicitações externas	14
III	PROPRIEDADES DOS ELEMENTOS ESTRUTURAIS	
III-1	Vigas	
III-1.1	Sistema de referência local ...	16
III-1.2	Graus de liberdade	16
III-1.3	Matrizes de rigidez	16
III-1.4	Esforços de engastamento perfeito	24
III-2	Pilares	
III-2.1	Sistema de referência local ...	33
III-2.2	Graus de liberdade	33
III-2.3	Matrizes de rigidez	34
III-2.4	Esforços de engastamento perfeito	38
IV	TRANSFORMAÇÕES ENTRE SISTEMAS DE REFERÊNCIA	
IV-1	Generalidades	39

<u>Capítulo</u>	<u>Pág.</u>
IV-2 Vigas	
IV-2.1 Relações geométricas	39
IV-2.2 Matriz de transformação	40
IV-2.3 Matriz de rotação	42
IV-3 Pilares	
IV-3.1 Relações geométricas	44
IV-3.2 Matrizes de rotação	48
IV-3.3 Matriz de transformação	50
V ANÁLISE DA ESTRUTURA	
V-1 Método de análise	53
V-2 Montagem e resolução do sistema de equações	56
V-2.1 Comentários	59
V-3 Consideração dos apoios no sistema de equações	
V-3.1 Apoios da base da estrutura ...	61
V-3.2 Apoios elásticos laterais dos andares	63
V-4 Cálculo dos esforços nas extremidades dos elementos	
V-4.1 Vigas	64
V-4.2 Pilares	64
V-5 Reações de apoio	65
VI O PROGRAMA AUTOMÁTICO	
VI-1 Generalidades	68
VI-2 Características do problema	68
VI-3 Estruturação do programa	70
VI-4 Subrotinas do programa "ATEEL"	79
VI-5 Limitações do programa e outras informações	83

<u>Capítulo</u>	<u>Pág.</u>
VII EXEMPLOS E CONCLUSÕES	
VII-1 Exemplos	85
VII-2 Conclusões	95

Apêndices

A MANUAL DE UTILIZAÇÃO DO PROGRAMA "ATEEL"	97
A-1 Formato dos cartões de dados	98
A-2 Preparação dos dados e codificação dos cartões	101
A-3 Lista das mensagens de erro	126
B NOMENCLATURA	129
C LISTAGEM DO PROGRAMA	131
D REFERÊNCIAS BIBLIOGRÁFICAS	173
E EXEMPLO DE UTILIZAÇÃO DO PROGRAMA "ATEEL"	177

I - INTRODUÇÃO

A análise dos esforços em uma estrutura de edifício elevado normalmente induz o engenheiro à idealização de um modelo estrutural representativo do problema físico real. Quanto mais complexa é a estrutura mais este problema se avoluma, e os recursos disponíveis pelo profissional - simples calculadoras ou máquinas programáveis - são, em maior ou menor grau, fatores limitativos de sua capacidade de operar com elevada quantidade de valores numéricos e, por conseguinte, da concepção de um modelo fiel ao comportamento da estrutura real.

Atualmente a disponibilidade de computadores digitais de porte e velocidade cada vez maiores não só permite como até mesmo exige dos pesquisadores a caracterização de modelos estruturais sofisticados, em que as hipóteses simplificadoras da análise são gradualmente substituídas por considerações físicas que conferem maior segurança aos resultados. Por exemplo, da idealização estrutural em simples vigas contínuas, em pórticos planos isolados ou associados, e em grelhas, passou-se ao estudo do comportamento tridimensional da estrutura.

Na COPPE/UFRJ este último enfoque foi primeiramente estudado por SORIANO⁵ em 1971, que elaborou uma programação automática para a análise de estruturas de edifícios submetidas à ação do vento. O modelo estrutural adotado consistia de pórticos planos (painéis) ortogonais interagindo através de lajes diafragmas, desprezadas as interações flexão-torção dos painéis bem como as rigidezes transversais destes. Posteriormen-

te FONTE³, em 1972, desenvolveu um novo trabalho com um modelo de características mais gerais, ou seja, constituindo um pórtico espacial com lajes diafragmas ao nível de cada andar, levando em conta não somente carregamentos laterais como também verticais sobre a estrutura. A programação automática elaborada impunha certas limitações à análise, tais como uma reduzida quantidade de pontos nodais e a consideração exclusivamente de elementos de eixos retilíneos e seções transversais constantes. Mais recentemente, em 1977, MENEZES¹⁹ realizou um trabalho visando o dimensionamento em concreto armado de estruturas de edifícios sujeitas a cargas verticais; os pavimentos são tratados como grelhas, e os pilares como apoios elásticos às rotações dos nós.

No presente trabalho aborda-se a análise elástico-linear de estruturas tridimensionais de edifícios submetidas a ações de carregamentos estáticos. Incluem-se no modelo estrutural adotado um conjunto de características mais comuns desse tipo de estrutura, tais como: vigas e pilares com eixos longitudinais e seções transversais de várias formas; excentricidades dos extremos dos elementos em relação aos pontos nodais estabelecidos no modelo; elementos com quaisquer disposições relativas em planta e não necessariamente constituindo pavimento tipo; e outras considerações julgadas de interesse, como pilares inclinados, e a colocação de apoios elásticos não apenas na base da estrutura como lateralmente em cada andar. O Capítulo II deste trabalho expõe com detalhes as particularidades do modelo em questão. Quanto às ações externas solicitantes, podem ser considerados vários tipos de cargas sobre as vigas, cargas diretamente aplicadas aos nós e aos andares da estrutura, bem como recalques impostos aos apoios inferiores.

O tratamento teórico do assunto - estudo do modelo estrutural, do método de análise e do método de resolução do sistema de equações de equilíbrio da estrutura - foi feito visando especialmente uma programação automática para computador.

Diante deste objetivo, vários foram os problemas resolvidos no desenvolver do trabalho, com o intuito de se produzir um programa eficiente e de custo computacional aceitável. Não só o citado tratamento teórico como também o problema do armazenamento de dados - geralmente em grande quantidade - tiveram de ser cuidadosamente encarados, para se reduzir o gasto de memória e de tempo de processamento, ordinariamente elevados nesse tipo de análise. Alguns procedimentos adotados constituíram, em conjunto, fator decisivo para a adequação do problema à prática da programação, entre os quais citam-se:

- a hipótese da existência de lajes diafragmas, permitindo a redução do número de graus de liberdade da estrutura, que é de $6n$ no caso mais geral, para $3(n+p)$, onde n é o número de pontos nodais e p o de pavimentos da estrutura;
- o conceito de deslocamentos de bloco de andares, conduzindo a uma sensível diminuição da quantidade de coeficientes não nulos na matriz de rigidez da estrutura, em comparação com o caso em que se trabalha com os deslocamentos absolutos dos andares;
- o aproveitamento da disposição interna dos elementos vigas e pilares, própria dos edifícios comuns, resultando em uma formulação da matriz de rigidez em forma de "degraus" (veja-se Capítulo V);
- a subdivisão do sistema de equações em "blocos", por andar, aproveitando-se a característica de faixa de cada um desses "blocos" na matriz de rigidez;
- a provável existência de pavimento tipo, proporcionando uma descrição "compacta" da estrutura, ou seja, com um número relativamente reduzido de cartões de dados;
- a adoção de modernas técnicas de programação, em linguagem facilmente conversível aos diversos equipamentos existentes.

tes.

A programação resultante deste trabalho recebeu o nome "ATEEL" - Análise Tridimensional de Estruturas de Edifícios Elevados.

Várias são as programações desenvolvidas para a análise estrutural, destacando-se entre os mais notórios os sistemas STRESS, STRUDL, NASTRAN, LORANE, etc. Tais sistemas de programação apresentam a característica de permitirem a abordagem de ampla variedade de problemas dentro da análise de estruturas. Alguns incluem, além da análise estática, a possibilidade do estudo das ações dinâmicas, do comportamento não-linear, e da discretização de meios contínuos pelo Método dos Elementos Finitos. Geralmente uma estruturação modular de programação permite a anexação de rotinas, de modo a abranger novos problemas. Quanto à facilidade de utilização desses sistemas, em geral o usuário dispõe a seu favor de linguagens orientadas ao problema, que lhe facultam a codificação dos dados de seus problemas servindo-se de termos e expressões bem coloquiais em seu trabalho cotidiano.

A despeito da existência de sistemas de programação gerais, é sempre justificável a elaboração de programas específicos para a solução de um determinado tipo de problema, em especial quando se trata de um assunto de larga aplicação e, por si só, variado. Além disto, é de certa forma intuitiva a noção de que um programa específico pode ser mais eficiente e barato do que um sistema complexo. Dentro deste espírito é que a programação resultante deste trabalho foi desenvolvida. Quanto à codificação dos cartões de dados, conquanto não se tenha elaborado uma linguagem orientada, criou-se um esquema simples mas de certo modo flexível, e voltado para as necessidades usuais dos que lidam com o projeto de edifícios. Assim, os cartões são identificados por palavras chaves e dispostos em uma seqüência apropriada à descrição do problema. Além disto, um conjunto de rigorosos testes de consistência permite detectar

várias dezenas de erros diferentes, de codificação e perfuração de cartões de dados. Por outro lado, a programação modular elaborada permitiria a ampliação de seu "raio de ação", como por exemplo pela consideração das rigidezes efetivas de elementos bidimensionais (lajes e pilares paredes). Dentro desta idéia, o programa é uma parcela de um sistema para edifícios altos, pois está preparado para receber novos subprogramas para a análise dessas estruturas sob ações dinâmicas, atualmente em estudos na COPPE.

É interessante notar que, embora se esteja tratando de análise tridimensional, a programação em foco permite a resolução de problemas mais simples, tais como vigas contínuas, pórticos planos e grelhas. Em outras ocasiões, pode ser de interesse a análise de um modelo simplificado em relação à estrutura real, quando se deseja por exemplo ter apenas uma idéia do comportamento macroscópico da estrutura.

A programação para computador resultante deste trabalho constitui-se tão somente numa ferramenta para a análise de estruturas de edifícios. Da sensibilidade e experiência do engenheiro que porventura o utilizar, bem como da perfeita compreensão do modelo estrutural adotado e de suas limitações é que resultará uma boa aplicação e obtenção de resultados confiáveis.

II - MODELO ESTRUTURAL

III-1. IDEALIZAÇÃO E HIPÓTESES

O modelo estrutural é idealizado como constituído basicamente por barras representando vigas e pilares, conectadas entre si através de suas extremidades em pontos nodais. A posição de uma barra é definida pela linha que passa pelos centros de gravidade das seções transversais do elemento estrutural por ela representado.

Quanto à disposição relativa dos elementos na estrutura, deve-se admitir que:

- a) uma viga qualquer está sempre contida no plano horizontal correspondente ao nível do andar a que pertence. Podem ser quaisquer as posições relativas desses elementos em um determinado andar, e seus eixos devem ser retos ou circulares em planta (excepcionalmente podem ser incluídas no modelo vigas de formas quaisquer, como se verá no capítulo III). Seus extremos podem coincidir com pontos nodais ou estarem excentricamente conectados aos mesmos de modo a simular o comportamento de vigas unidas a colunas de grandes dimensões transversais (fig. II-1).

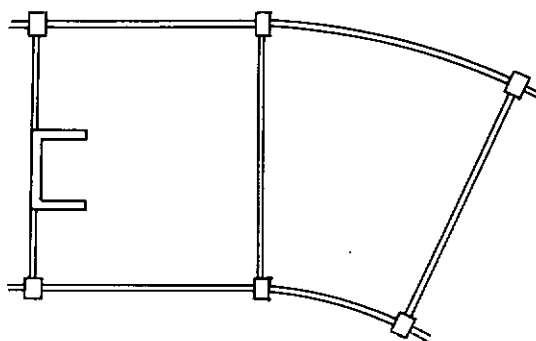
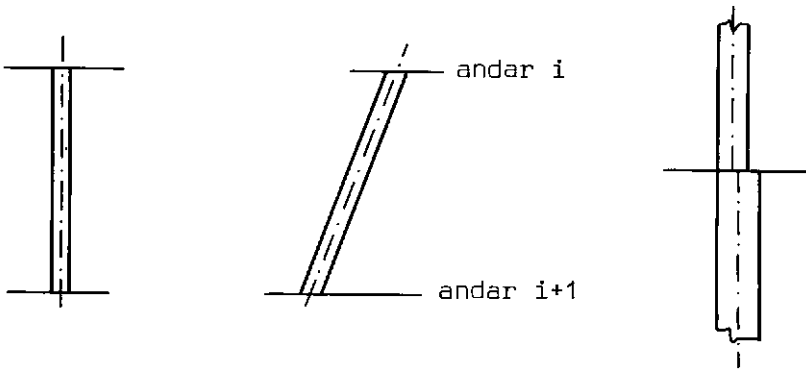


Fig. II-1 Esquema de um vigamento

b) um pilar qualquer interpõe-se a dois andares contíguos, podendo seu eixo longitudinal ser vertical ou não. Seus extremos também podem ser excêntricos em relação aos pontos nodais da estrutura, o que permite representar, por exemplo, eventuais mudanças da posição do eixo de uma coluna vertical cujas dimensões transversais sofram alterações ao longo do edifício (fig. II-2 c). É livre a disposição das colunas em planata, e não se exige sua continuidade de um pavimento para outro.



a) Pilar vertical b) Pilar inclinado c) Coluna com mudança de eixo

Fig. II-2 Pilares

As lajes são consideradas como diafragmas, ou seja, infinitamente rígidas em seus planos e com rigidez nula à flexão. Além disto, idealiza-se em cada pavimento um conjunto de lajes contínuas em toda a sua extensão.

São supostas válidas as hipóteses das seções planas para as barras, do comportamento elástico-linear para os materiais (linearidade física) e da teoria de primeira ordem para os deslocamentos (linearidade geométrica).

II-2. SISTEMA DE REFERÊNCIA GLOBAL

Para a definição das características topológicas e análise dos deslocamentos e reações de apoio da estrutura é adotado um sistema de referência tri-ortogonal direto X_G Y_G Z_G , com origem em um ponto arbitrário da base da estrutura e Z_G vertical de sentido ascendente (fig. II-3).

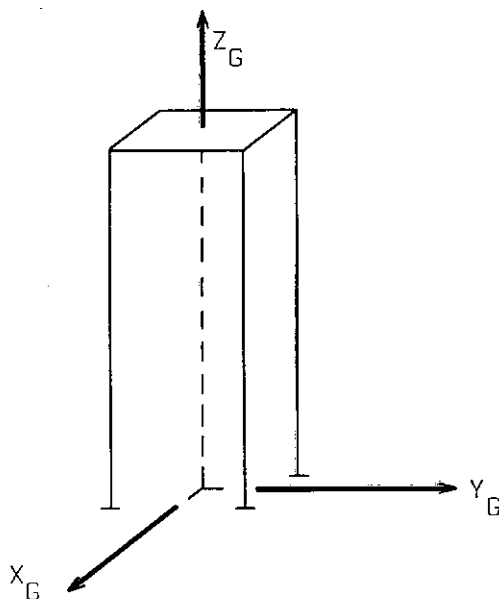


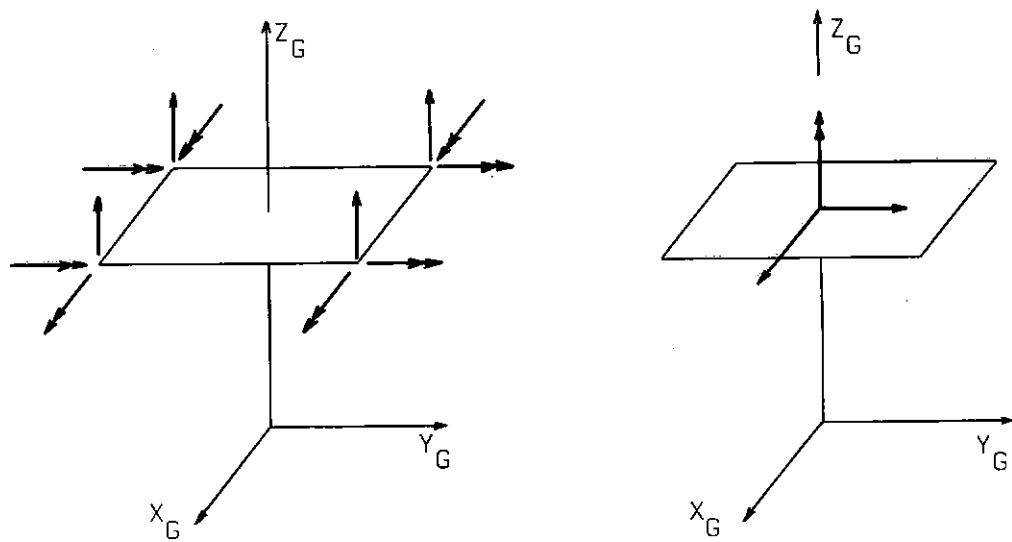
Fig. II-3 Sistema de referência global

II-3. GRAUS DE LIBERDADE DOS NÓS DA ESTRUTURA

Considerando-se a hipótese das lajes trabalhando como diafragmas, os graus de liberdade dos nós da estrutura são os seguintes:

- Cada nó pode se deslocar independentemente segundo a direção vertical Z_G e sofrer uma rotação horizontal decomponível segundo X_G e Y_G , possuindo assim três graus de liberdade. A estes movimentos será dada a denominação de "deslocamentos independentes de nó" (fig. II-4 a).

b) Cada andar pode sofrer uma translação horizontal decomponível nas direções X_G e Y_G e uma rotação segundo o eixo vertical Z_G , sendo estes três graus de liberdade os correspondentes aos movimentos do andar como um corpo rígido em seu plano. Por este motivo é que a eles será conferida a designação de "deslocamentos de corpo rígido de andar" ou simplesmente "deslocamentos de andar" (fig. II-4 b). O ponto de referência para a medida desses deslocamentos é a interseção do plano do andar com o eixo Z_G .



a) Deslocamentos independentes dos nós de um andar

b) Deslocamentos de corpo rígido de um andar

Fig. II-4 Graus de liberdade

Nesta análise, ao se estabelecer os graus de liberdade de um andar como um corpo rígido, considera-se que os seus movimentos são acompanhados por todos os demais andares sobrepostos. Trabalha-se, pois, com o conceito de deslocamentos de "bloco de andares", contados em relação ao pavimento imediatamente abaixo.

mente subjacente (fig. II-5 a) (*). Este conceito, como será visto adiante (Cap. V), proporciona uma diminuição da quantidade de coeficientes não nulos do sistema de equações de equilíbrio da estrutura, em comparação com o mesmo sistema de equações obtido com a consideração de deslocamentos "absolutos" de andar (fig. II-5 b).

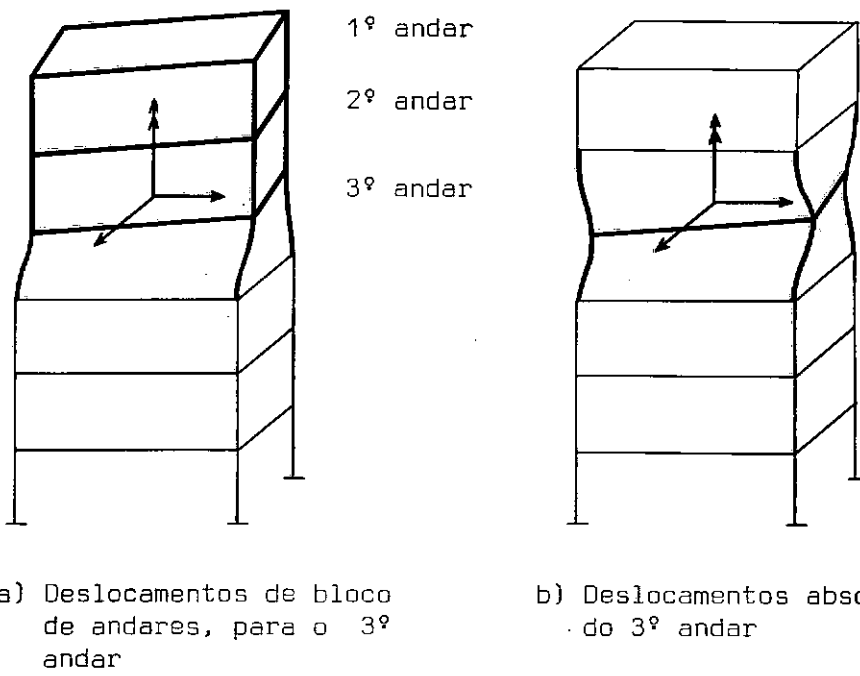


Fig. II-5 Deslocamentos de corpo rígido de andar

Do exposto conclui-se que o número de graus de liberdade de um pavimento qualquer i é $3(n_i + 1)$, onde n_i é a quantidade de pontos nodais nele estabelecidos. O número total de graus de liberdade da estrutura é, portanto,

$$3 \left(\sum_{i=1}^p n_i + p \right) ,$$

sendo p o número de pavimentos do edifício.

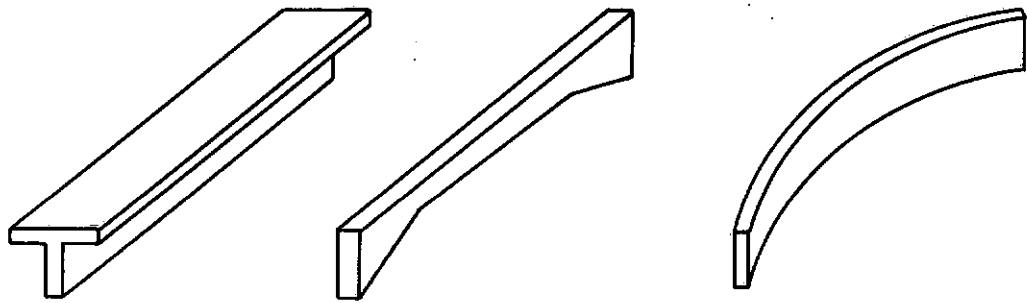
(*) Neste trabalho a numeração dos andares é feita a partir do topo da estrutura.

II-4. ELEMENTOS ESTRUTURAIS

II-4.1 VIGAS

Na presente análise só se consideram vigas tais que cada seção transversal reta tenha uma das direções principais de inércia vertical. Respeitadas esta exigência e a da horizontalidade dessas peças, elas podem ter eixos longitudinais e seções transversais de formas quaisquer. Entretanto, na programação desenvolvida para a análise por computador somente serão calculados automaticamente os coeficientes de rigidez e os esforços de engastamento perfeito dos seguintes tipos de vigas (fig. II-6):

- vigas de eixo reto e seção transversal constante;
- vigas de eixo reto com mísulas retas verticais;
- vigas de eixo circular e seção transversal constante.



a) Eixo reto e seção transversal constante	b) Eixo reto com mísulas retas verticais	c) Eixo circular e seção transversal constante
--	--	--

Fig II-6 Tipos mais comuns de vigas

cálculo dos coeficientes de rigidez e esforços de engastamento perfeito dos elementos da figura (II-6). Para outro tipo de viga que não estes, a matriz de rigidez é obtida a partir da matriz de flexibilidade de um dos extremos da peça, conforme o procedimento indicado ao final do citado item.

II-4.2 PILARES

Um pilar deve ter o eixo retilíneo e forma geométrica tal que não haja interação da flexão com a torção. Dentro desse conceito as formas das seções transversais podem ser quaisquer, porém a programação automática foi elaborada para aceitar de maneira simples os dados numéricos dos pilares de seção transversal constante.

Pilares paredes e caixas formando núcleos resistentes podem ser tratados de forma aproximada como barras. No caso de vigas conectadas a estes elementos, dispõem-se elementos infinitamente rígidos ("trechos rígidos") ligando os extremos daquelas aos eixos dos pilares (fig. II-7).

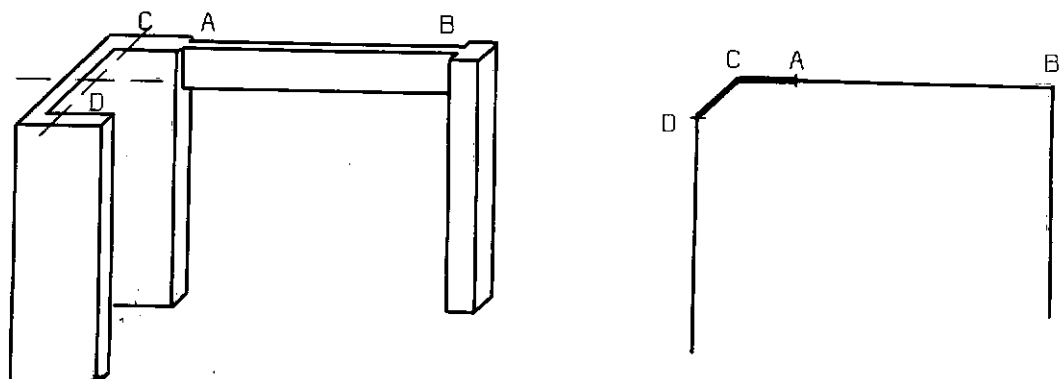


Fig. II-7 Viga unida a caixa formando núcleo resistente

Elementos de contraventamento - tais como barras de trélica - podem ser incluídos no modelo estrutural como pilares com rigidezes nulas à flexão e à torção (fig. II-8). Assim considerados, estes elementos podem ser usados com a finalidade de simular o efeito do contraventamento de paredes de alvenaria, caso se disponha dos parâmetros elásticos apropriados.

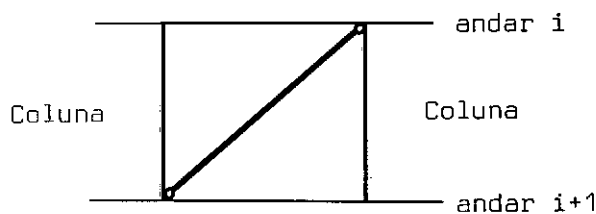


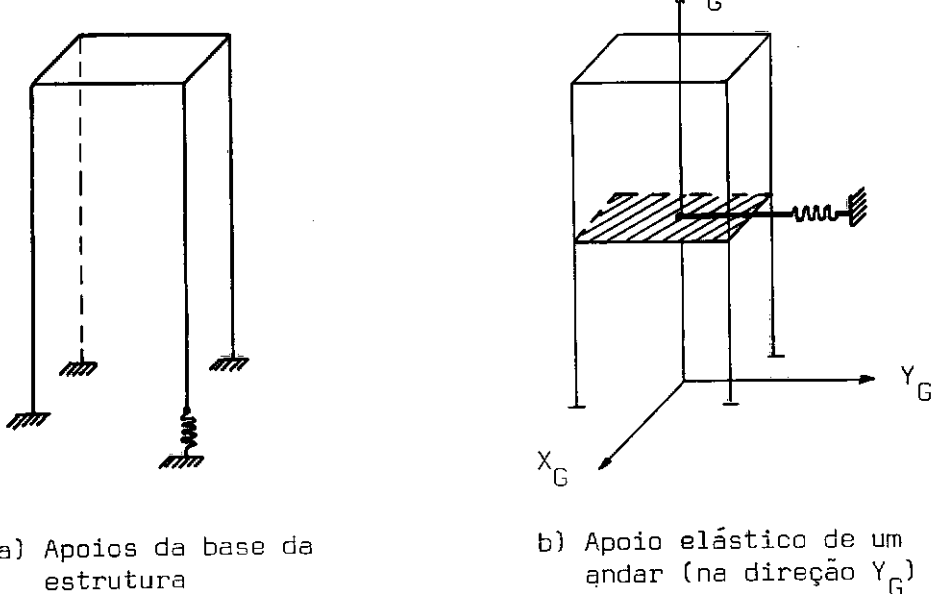
Fig. II-8 Elemento de contraventamento

II-5. APOIOS

São implicitamente consideradas como apoiadas no solo todas as colunas do pavimento mais inferior da estrutura. Estes apoios, situados em um mesmo plano horizontal, podem ser fixos (ou seja, com deslocamentos prescritos nas direções dos deslocamentos independentes de nó) ou elásticos (fig. II-9a). Em consequência, permite-se analisar no modelo os efeitos de recalques diferenciais dos apoios.

Podem ser levados em conta, ainda, apoios elásticos ao nível de cada andar nas direções de seus deslocamentos de corpo rígido (fig. II-9 b). Estes apoios elásticos laterais permitem a análise de estruturas simétricas submetidas a carregamento

mentos também simétricos em relação a um mesmo plano vertical, conforme se pode ver no Capítulo VII. Outra aplicação desses apoios elásticos seria a de permitir a consideração da interação lateral solo-estrutura nos pavimentos de subsolo.



a) Apoios da base da estrutura

b) Apoio elástico de um andar (na direção Y_G)

Fig. II-9 Apoios da estrutura

II-5. SOLICITAÇÕES EXTERNAS

Os carregamentos considerados nesta análise, todos de natureza estática, são supostos atuarem sobre a estrutura das seguintes maneiras:

- sobre as vigas, como cargas concentradas e distribuídas;
- diretamente sobre os nós, como cargas verticais e momentos segundo as direções dos deslocamentos independentes de nó;
- sobre os andares, como forças horizontais e momentos segun-

do as direções dos deslocamentos de corpo rígido de andar (são carregamentos típicos do efeito do vento).

Não são consideradas cargas aplicadas sobre os pilares, com exceção do peso próprio.

III - PROPRIEDADES DOS ELEMENTOS ESTRUTURAIS

III-1. VIGAS

III-1.1 SISTEMA DE REFERÊNCIA LOCAL

A cada viga é associado um sistema de referência tri-ortogonal direto X_L Y_L Z_L , em que X_L passa pelas extremidades do elemento e Z_L é vertical de sentido ascendente. Uma das extremidades da viga é escolhida como a origem desse referencial, definindo-se desta forma o ponto "inicial" da peça (figs. III-1 e III-3).

III-1.2 GRAUS DE LIBERDADE

Cada extremo de uma viga possui três graus de liberdade, a saber: as rotações nas direções X_L e Y_L e uma translação segundo a direção Z_L . Em consequência da hipótese das lajes trabalhando como diafragmas, os demais deslocamentos não produzem esforços no elemento, motivo pelo qual não são considerados como graus de liberdade independentes. As figuras (III-1) e (III-3) ilustram os seis possíveis deslocamentos das extremidades das vigas e sua numeração.

III-1.3 MATRIZES DE RIGIDEZ

A relação entre os esforços e os deslocamentos dos extremos de uma viga não carregada, no sistema de referência local, é dada pela seguinte expressão matricial:

$$\underline{A}_{VL} = \underline{S}_{VL} \underline{D}_{VL} \quad (\text{III-1})$$

onde \underline{A}_{VL} e \underline{D}_{VL} são os citados esforços e deslocamentos, dispostos em vetores e numerados de acordo com a figura (III-1), e \underline{S}_{VL} é a matriz de rigidez do elemento. No presente caso, esta matriz é quadrada de ordem seis.

A seguir serão reproduzidas as matrizes de rigidez das vigas, tais como são calculadas na programação automática desenvolvida para a análise da estrutura.

A - VIGA DE EIXO RETO E SEÇÃO TRANSVERSAL CONSTANTE

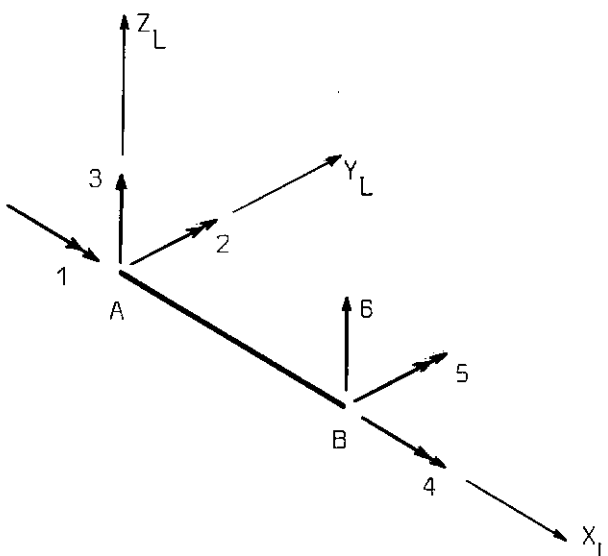


Fig. III-1 Sistema de referência local de viga de eixo reto e graus de liberdade

A matriz de rigidez (III-2) deste tipo de viga é mostrada na página seguinte, sendo:

E - módulo de elasticidade longitudinal

G - módulo de elasticidade transversal

L - vão da viga

I_x - momento de inércia à torção

I_y - momento de inércia da seção transversal em relação ao eixo Y_L

$$\phi = 1 + \frac{12EI_y}{L^2GA_x f}$$

A_x - área da seção transversal

f - coeficiente de forma para o esforço cortante

$$S_{VL} = \begin{bmatrix} \frac{GI_x}{L} & 0 & 0 & -\frac{GI_x}{L} & 0 \\ 0 & \frac{3+\phi}{\phi} \frac{EI_y}{L} & -\frac{6}{\phi} \frac{EI_y}{L^2} & 0 & \frac{3-\phi}{\phi} \frac{EI_y}{L} & \frac{6}{\phi} \frac{EI_y}{L^2} \\ 0 & -\frac{6}{\phi} \frac{EI_y}{L^2} & \frac{12}{\phi} \frac{EI_y}{L^3} & 0 & -\frac{6}{\phi} \frac{EI_y}{L^2} & -\frac{12}{\phi} \frac{EI_y}{L^3} \\ -\frac{GI_x}{L} & 0 & 0 & \frac{3+\phi}{\phi} \frac{EI_y}{L} & \frac{6}{\phi} \frac{EI_y}{L^2} \\ 0 & \frac{6}{\phi} \frac{EI_y}{L^2} & -\frac{12}{\phi} \frac{EI_y}{L^3} & 0 & \frac{12}{\phi} \frac{EI_y}{L^3} & \frac{3+\phi}{\phi} \frac{EI_y}{L} \end{bmatrix}$$

simétrica

(III-2)

B - VIGA DE EIXO RETO COM MÍSULAS RETAS VERTICais

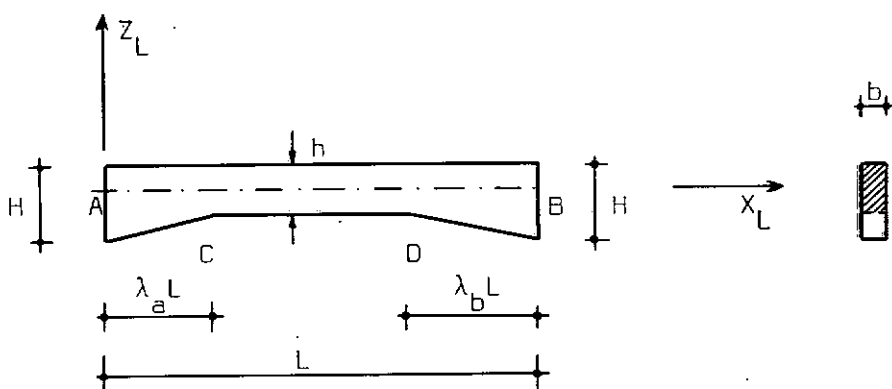


Fig. III-2 . Viga de eixo reto com míslas retas verticais

É a seguinte a matriz de rigidez¹⁰ do elemento da figura (III-2):

$$S_{VL} = \begin{bmatrix} \frac{GI_x}{L} F_{11} & 0 & 0 & -\frac{GI_x}{L} F_{14} & 0 & 0 \\ 0 & \frac{4EI}{L} Y_{F_{22}} - \frac{6EI}{L^2} Y_{F_{23}} & 0 & 0 & \frac{2EI}{L} Y_{F_{25}} & \frac{6EI}{L^2} Y_{F_{26}} \\ 0 & \frac{12EI}{L^3} Y_{F_{33}} & 0 & -\frac{6EI}{L^2} Y_{F_{35}} & -\frac{12EI}{L^3} Y_{F_{36}} & 0 \\ -\frac{GI_x}{L} F_{14} & 0 & 0 & \frac{4EI}{L} Y_{F_{55}} & \frac{6EI}{L^2} Y_{F_{56}} & 0 \\ 0 & simétrica & 0 & \frac{12EI}{L^3} Y_{F_{66}} & 0 & 0 \end{bmatrix}$$

(III-3)

onde E, G, L, I_x e I_y foram definidos anteriormente, sendo estes dois últimos parâmetros referentes à seção transversal do trecho CD da figura (III-2). Definem-se ainda os seguintes fatores:

$$F_{11} = F_{14} = F_{44} = \frac{1}{C_{44}}$$

$$F_{22} = \frac{3C_{55}}{4C_{22}C_{55} - C_{25}^2}$$

$$F_{55} = \frac{3C_{22}}{4C_{22}C_{55} - C_{25}^2}$$

$$F_{25} = F_{52} = \frac{3C_{25}}{4C_{22}C_{55} - C_{25}^2}$$

$$F_{26} = F_{23} = \frac{C_{25} + 2C_{55}}{4C_{22}C_{55} - C_{25}^2}$$

$$F_{35} = F_{56} = \frac{C_{25} + 2C_{22}}{4C_{22}C_{55} - C_{25}}$$

$$F_{33} = F_{66} = \frac{C_{22} + C_{25} + C_{55}}{4C_{22}C_{55} - C_{25}} = F_{36}$$

nos quais:

$$C_{22} = 1 - 3\lambda_a(1-k_1) + 3\lambda_a^2(1-2k_1+2k_2) - \\ - (\lambda_a^3+\lambda_b^3)(1-3k_1+6k_2-3k_3)$$

$$C_{25} = 1 - 3(\lambda_a^2+\lambda_b^2)(1-2k_1+2k_2) + 2(\lambda_a^3+\lambda_b^3)(1-3k_1+6k_2-3k_3)$$

$$C_{55} = 1 - 3\lambda_b(1-k_1) + 3\lambda_b^2(1-2k_1+2k_2) - \\ - (\lambda_a^3+\lambda_b^3)(1-3k_1+6k_2-3k_3)$$

$$k_1 = \frac{c+2}{2(c+1)^2} \quad k_2 = \frac{1}{2(c+1)^2} \quad k_3 = \frac{1}{c^3} \left[\log(c+1) - \frac{c(3c+2)}{2(c+1)^2} \right]$$

$$c = \frac{H-h}{h}$$

$$C_{44} = 1 - (\lambda_a + \lambda_b)(1-k'_4)$$

$$k'_4 = \frac{1}{f} \log (1+f) \quad f = \frac{H-h}{h-0,63b}$$

com H , h , b , λ_a e λ_b ilustrados na figura (III-2)

C - VIGA DE EIXO CIRCULAR E SEÇÃO TRANSVERSAL CONSTANTE

Em razão da dificuldade de se estabelecer analiticamente a matriz de rigidez do elemento em questão, é preferível obter primeiramente a matriz de flexibilidade de um dos extremos da viga, para em seguida, por inversão desta, determinar a pri-

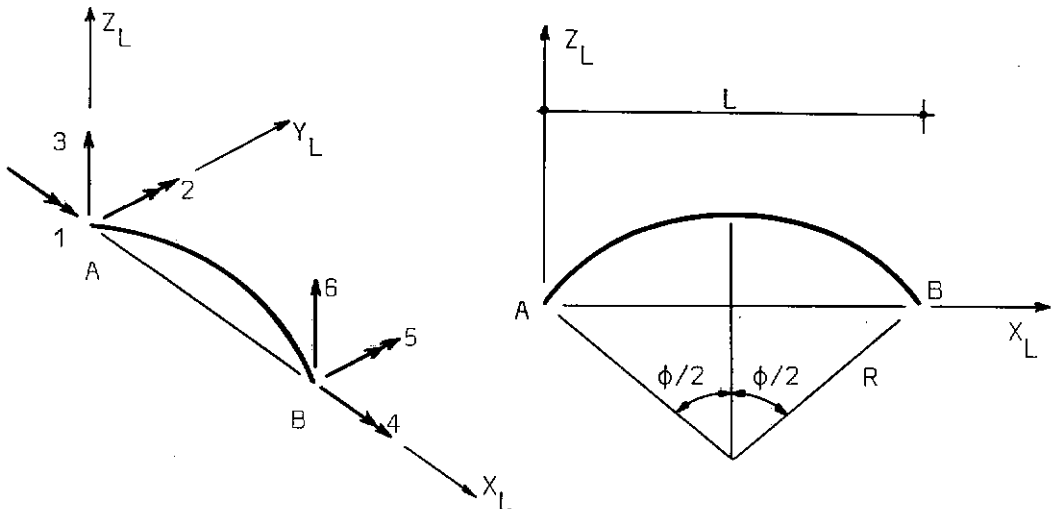
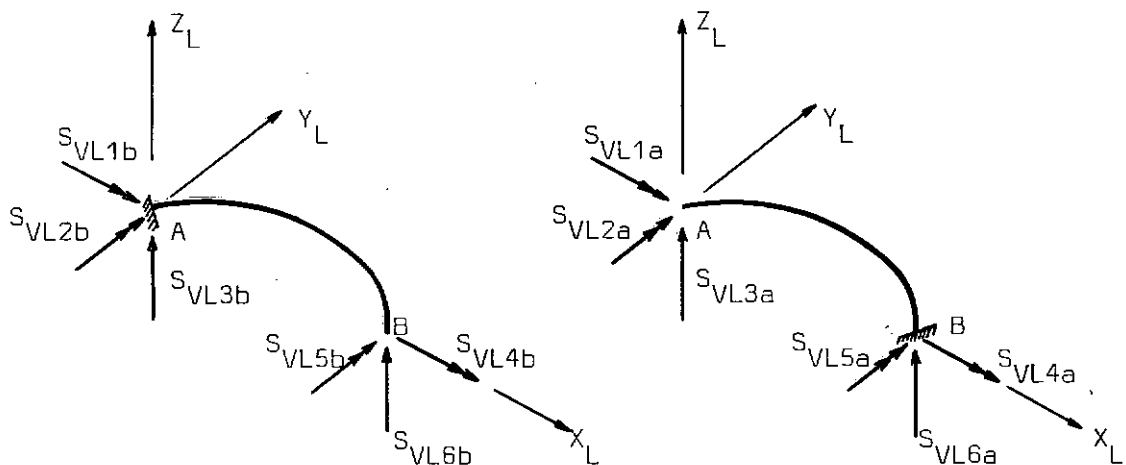


Fig. III-3 Viga de eixo circular em planta:
Eixos locais de referência e
graus de liberdade

meira. Para tanto, seja a viga em balanço da figura (III-4a) submetida inicialmente a esforços na sua extremidade livre B, nas direções 4, 5 e 6.



a) Viga engastada na extremidade A

b) Viga engastada na
extremidade B

Fig.III-4 Sistemas principais para o cálculo da matriz
de rigidez

Os deslocamentos desse extremo naquelas mesmas direções são calculados pela expressão matricial:

$$\underline{D}_{VLb} = \underline{F}_{VLbb} \underline{A}_{VLb} \quad (III-4)$$

onde

$$\underline{F}_{VLbb} = \begin{bmatrix} F_{VL44} & F_{VL45} & F_{VL46} \\ F_{VL54} & F_{VL55} & F_{VL56} \\ F_{VL64} & F_{VL65} & F_{VL66} \end{bmatrix} \quad (III-5)$$

é a matriz de flexibilidade do extremo B da viga, que se supõe conhecida. A inversa desta matriz, como se sabe, é a matriz de rigidez do mesmo extremo do elemento:

$$\underline{S}_{VLbb} = \underline{F}_{VLbb}^{-1} = \begin{bmatrix} S_{VL44} & S_{VL45} & S_{VL46} \\ S_{VL54} & S_{VL55} & S_{VL56} \\ S_{VL64} & S_{VL65} & S_{VL66} \end{bmatrix} \quad (III-6)$$

ou seja, é uma submatriz da matriz completa procurada:

$$\underline{S}_{VL} = \begin{bmatrix} S_{VLaa} & S_{VLab} \\ S_{VLba} & S_{VLbb} \end{bmatrix} \quad (III-7)$$

Considerando-se que cada coluna k (com $k = 4, 5, 6$) da submatriz \underline{S}_{VLbb} representa os esforços na extremidade final da viga quando se lhe impõem deslocamentos unitários nas direções b mantendo-se os demais nulos, é fácil obter a submatriz \underline{S}_{VLab} utilizando-se as equações de equilíbrio estático da viga da figura (III-4 a), isto é:

$$\begin{aligned} S_{VL1k} &= -S_{VL4k} \\ S_{VL2k} &= L S_{VL6k} - S_{VL5k} \quad p/ \quad k=4,5,6 \\ S_{VL3k} &= -S_{VL6k} \end{aligned} \quad (III-8)$$

Da simetria da matriz de rigidez, tem-se:

$$S_{VLba} = S_{VLab} \quad (\text{III-9})$$

De maneira análoga calculam-se agora os coeficientes da submatriz S_{VLaa} , ou seja, pelas condições de equilíbrio da viga em balanço mostrada na figura (III-4 b):

$$\begin{aligned} S_{VL1k} &= -S_{VL4k} \\ S_{VL2k} &= L S_{VL6k} - S_{VL5k} \quad p/ \quad k=1,2,3 \\ S_{VL3k} &= -S_{VL6k} \end{aligned} \quad (\text{III-10})$$

O processo acima descrito, bem como os coeficientes de flexibilidade mostrados a seguir, constam da referência bibliográfica (*).

$$u = \left(\frac{\phi}{2} + \frac{\sin\phi}{2}\right) \quad v = \left(\frac{\phi}{2} - \frac{\sin\phi}{2}\right)$$

$$F_{VL44} = \frac{R}{GI_x} u + \frac{R}{EI_y} v$$

$$F_{VL45} = F_{VL54} = 0$$

$$\begin{aligned} F_{VL46} = F_{VL64} &= -\frac{R^2}{GI_x} \left[2 \sin(\phi/2) - u \cos(\phi/2) \right] + \\ &+ \frac{R^2}{EI_y} v \cos(\phi/2) \end{aligned}$$

$$F_{VL55} = \frac{R}{GI_x} v + \frac{R}{EI_y} u \quad (\text{III-11})$$

$$F_{VL56} = F_{VL65} = -R \sin(\phi/2) F_{VL55}$$

$$\begin{aligned} F_{VL66} &= \frac{R^3}{GI_x} \left[\phi + u \cos^2(\phi/2) + v \sin^2(\phi/2) - \right. \\ &\left. - 4 \sin(\phi/2) \cos(\phi/2) \right] + \frac{R^3}{GI_x} \left[u \sin^2(\phi/2) + \right. \\ &\left. + v \cos^2(\phi/2) \right] \end{aligned}$$

$$+ v \cos^2(\phi/2) \Big]$$

D - MATRIZ DE RIGIDEZ DE OUTROS TIPOS DE VIGAS

O processo exposto no item C anterior, para o cálculo da matriz de rigidez de uma viga em função da matriz de flexibilidade de sua extremidade final (eqs. III-4 até III-10) é aplicável a qualquer tipo de viga. No presente trabalho, a programação automática para a análise da estrutura aceita como dados de entrada os coeficientes da matriz de flexibilidade (eq. III-5), efetuando os demais cálculos para a obtenção de S_{VL} . Desta forma, não há nenhuma restrição quanto aos tipos de vigas possíveis de ser analisadas.

III-1.4 ESFORÇOS DE ENGASTAMENTO PERFEITO

A seguir são apresentadas as expressões para os esforços de engastamento perfeito das vigas citadas no item anterior, para vários casos de carregamento.

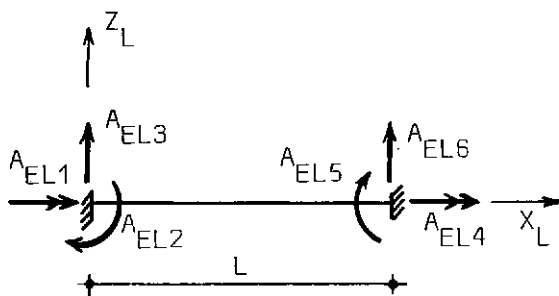
Convém observar que as cargas verticais são positivas quando têm o sentido contrário ao dos eixos Z_L dos sistemas de referência locais das vigas.

A - VIGA DE EIXO RETO E SEÇÃO TRANSVERSAL CONSTANTE

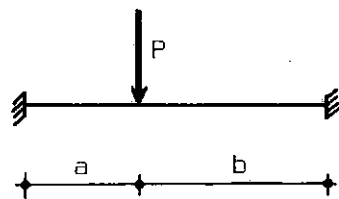
Carga concentrada vertical (fig. III-5 b):

$$A_1 = A_4 = 0 \quad A_3 = \frac{Pb}{L} \left[1 + \frac{a(b-a)}{L^2 \phi} \right]$$

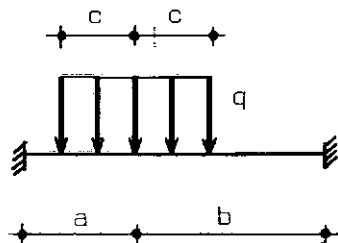
$$A_2 = \left(\frac{Pb^2}{L} - A_3 L \right) / 2 \quad A_5 = Pb - A_2 - A_3 L \quad A_6 = P - A_3$$



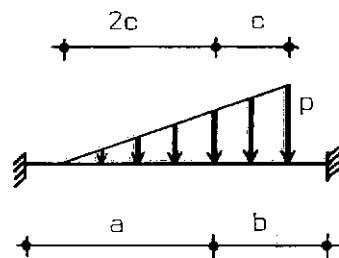
a) Esforços de engastamento perfeito



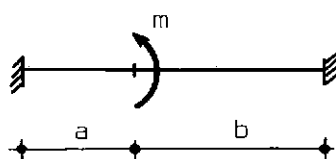
b) Carga concentrada



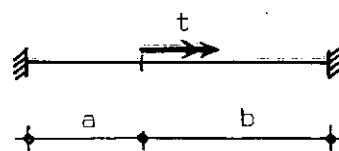
c) Carga uniformemente distribuída



d) Carga linearmente distribuída



e) Carga momento fletor



f) Carga momento torsor

Fig. III-5 Cargas sobre vigas de eixo reto e seção transversal constante

Carga uniformemente distribuida parcial (fig. III-5 c):

$$A_1 = A_4 = 0 \quad A_3 = \frac{2qc}{L} \left[b + \frac{(c^2 - ab)(a-b)}{L^2 \phi} \right]$$

$$A_2 = \frac{qc}{L} \left(\frac{c^3}{3} + b^2 \right) - \frac{A_3 L}{2} \quad A_6 = 2qc - A_3$$

$$A_5 = A_6 b - A_3 a - A_2$$

Carga linearmente distribuida parcial (fig. III-5 d):

$$A_1 = A_4 = 0 \quad A_3 = \frac{3pc}{L} \left[b + \frac{(3c^2 - 2ab)(a-b) - 0,8c^3}{2 L^2 \phi} \right]$$

$$A_2 = \frac{3pc}{L} (c^2 + 2b^2) - \frac{A_3 L}{2} \quad A_6 = \frac{3}{2} pc - A_3$$

$$A_5 = A_6 b - A_3 a - A_2$$

Carga momento (fig. III-5 e):

$$A_1 = A_4 = 0 \quad A_2 = - \frac{b m}{L} - \frac{A_3 L}{2}$$

$$A_3 = - \frac{6mab}{L^2 \phi} \quad A_5 = -m - A_2 - A_3 L \quad A_6 = - A_3$$

Carga momento torsor (fig. III-5 f):

$$A_1 = - \frac{t b}{L} \quad A_4 = - \frac{t a}{L} \quad A_2 = A_3 = A_5 = A_6 = 0$$

B - VIGA DE EIXO RETO COM MÍSULAS RETAS VERTICais¹⁰

Carga concentrada (fig. III-6 a):

$$A_1 = A_4 = 0$$

$$A_2 = \frac{2EI}{L} Y (F_{25} \Delta_1 + \frac{3F_{23}}{L} \Delta_2)$$

$$A_3 = - \frac{6EI}{L} Y (F_{35} \Delta_1 + \frac{2F_{33}}{L} \Delta_2)$$

$$A_5 = \frac{2EI}{L'} Y (F'_{25} \Delta_1 - \frac{3F'_{35}}{L'} \Delta_2)$$

$$A_6 = \frac{6EI}{L'} Y (F'_{23} \Delta_1 - \frac{2F'_{33}}{L'} \Delta_2)$$

sendo

$$\Delta_1 = \frac{-P S_{12}}{S_{11} S_{22} - S_{12}^2} \quad \Delta_2 = \frac{P S_{11}}{S_{11} S_{22} - S_{12}^2}$$

e:

$$S_{11} = 4EI_Y \left(\frac{F_{55}}{L} + \frac{F'_{22}}{L'} \right)$$

$$S_{12} = 6EI_Y \left(\frac{F_{35}}{L^2} - \frac{F'_{23}}{L'^2} \right)$$

$$S_{22} = 12EI_Y \left(\frac{F_{33}}{L^3} + \frac{F'_{33}}{L'^3} \right)$$

Nas expressões acima, os parâmetros F e L referem-se à parte da viga à esquerda do ponto de aplicação da carga, enquanto que F' e L' referem-se ao trecho à direita do mesmo ponto.

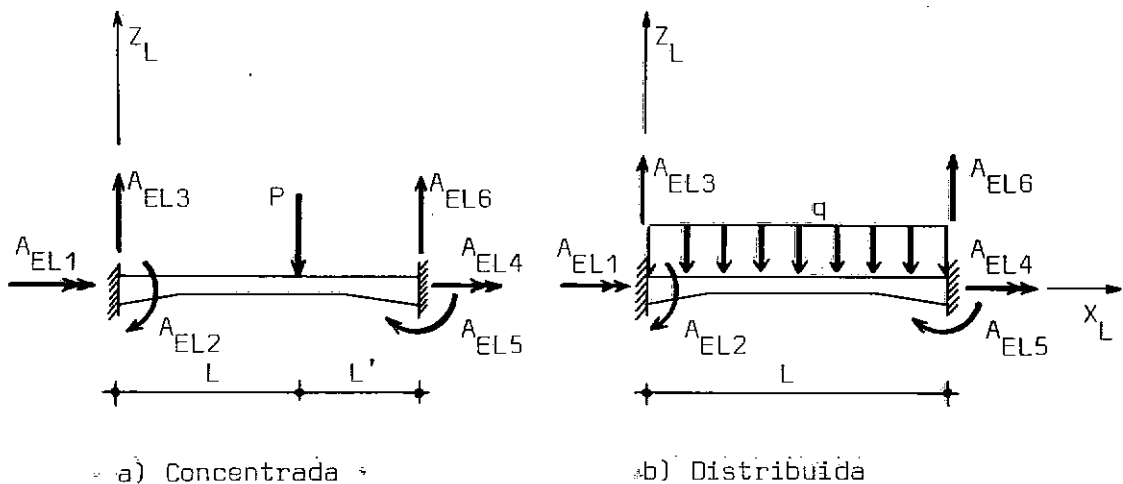


Fig. III-6 Cargas sobre vigas com mísulas

Carga uniformemente distribuída (fig. III-6 b):

$$A_1 = A_4 = 0 \quad A_2 = \frac{qL^2}{12} G_2 \quad A_5 = \frac{-qL^2}{12} G_5$$

$$A_3 = - (A_2 + A_5 + \frac{qL^2}{2}) / L \quad A_6 = - (A_3 + qL)$$

onde:

$$G_2 = \frac{6C_{55}B_2 - 3C_{25}B_5}{4C_{22}C_{55} - C_{25}^2} \quad G_5 = \frac{6C_{22}B_5 - 3C_{25}B_2}{4C_{22}C_{55} - C_{25}^2}$$

e:

$$\begin{aligned} B_2 &= 1 - 6\lambda_a^2(1 - 2k_1 + 2k_2) + 8\lambda_a^3(1 - 3k_1 + 6k_2 - 3k_3) - \\ &\quad - 3(\lambda_a^4 - \lambda_b^4)(1 - 4k_1 + 12k_2 - 12k_3 + 4k_4) - \\ &\quad - 4\lambda_b^3(1 - 3k_1 + 6k_2 - 3k_3) \end{aligned}$$

$$\begin{aligned} B_5 &= 1 - 6\lambda_b^2(1 - 2k_1 + 2k_2) + 8\lambda_b^3(1 - 3k_1 + 6k_2 - 3k_3) - \\ &\quad - 3(\lambda_b^4 - \lambda_a^4)(1 - 4k_1 + 12k_2 - 12k_3 + 4k_4) - \\ &\quad - 4\lambda_a^3(1 - 3k_1 + 6k_2 - 3k_3) \end{aligned}$$

$$k_4 = -\frac{1}{c^4} \left[-3\log(c+1) + \frac{c(6+9c+2c^2)}{2(c+1)^2} \right]$$

Os demais coeficientes foram definidos no item (III-1.3 B).

C - VIGA DE EIXO CIRCULAR E SEÇÃO TRANSVERSAL CONSTANTE

O problema de se calcular os esforços de engastamento perfeito deste tipo de viga é resolvido através do método dos esforços. O processo consiste em resolver o problema da determinação dos esforços na extremidade final da viga bi-engastada adotando-se como sistema principal a mesma viga com essa extremidade em balanço (fig. III-7). As reações no engaste são obtidas através das condições de equilíbrio da peça.

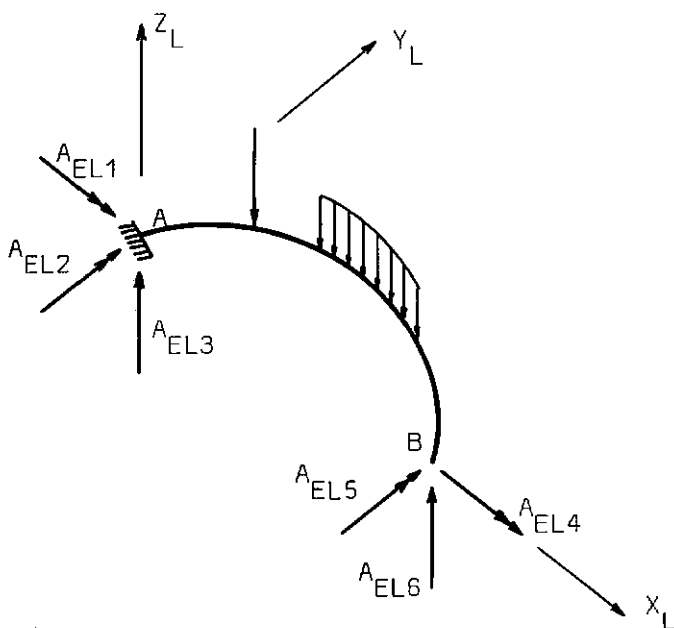


Fig. III-7 Esforços de engastamento perfeito

Conhecida a matriz de rigidez do extremo B (eq. III-6), tem-se:

$$\begin{matrix} \tilde{A}_{ELb} \\ \tilde{A}_{VLbb} \end{matrix} = - \begin{matrix} S_{VLbb} \\ D_{VLb} \end{matrix} \quad (III-12)$$

ou, na forma expandida:

$$\begin{Bmatrix} A_{EL4} \\ A_{EL5} \\ A_{EL6} \end{Bmatrix} = - \begin{bmatrix} S_{VL44} & S_{VL45} & S_{VL46} \\ S_{VL54} & S_{VL55} & S_{VL56} \\ S_{VL64} & S_{VL65} & S_{VL66} \end{bmatrix} \begin{Bmatrix} D_{VL4} \\ D_{VL5} \\ D_{VL6} \end{Bmatrix}$$

onde os deslocamentos D_{VL} são decorrentes do carregamento atuante sobre a viga e A_{EL} são os esforços de engastamento perfeito procurados. Os valores de D_{VL} são transcritos a seguir, de acordo com a referência (*).

Carga concentrada (fig. III-8):

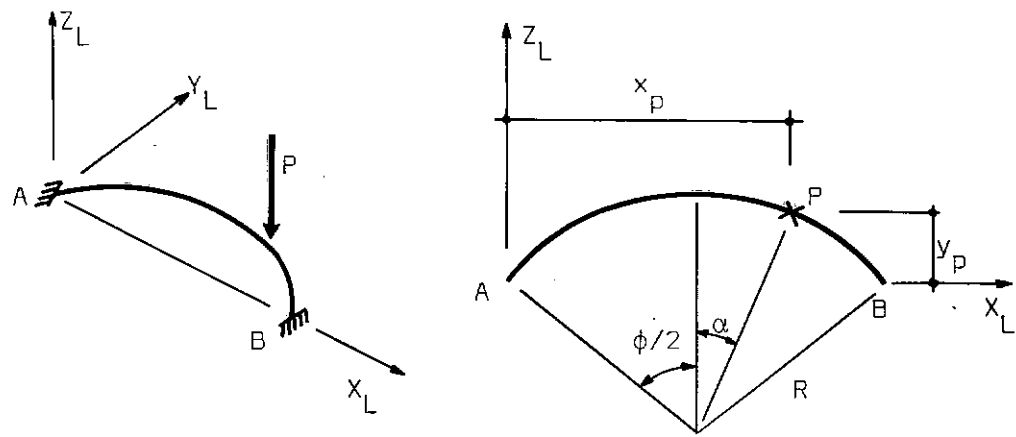


Fig. III-8 Carga concentrada

$$\begin{aligned}
 D_{VL4} = & - \frac{PR^2}{GI_x} \{ (\sin^2(\frac{\phi}{2}) - \sin^2\alpha) \frac{\sin\alpha}{2} + \\
 & + (\sin(\frac{\phi}{2})\cos(\frac{\phi}{2}) - \sin\alpha\cos\alpha + \frac{\phi}{2} - \alpha) \frac{\cos\alpha}{2} + \\
 & + \sin\alpha - \sin(\frac{\phi}{2}) \} + \\
 & + \frac{PR^2}{EI_y} \{ (\sin^2(\frac{\phi}{2}) - \sin^2\alpha) \frac{\sin\alpha}{2} + \\
 & + (\sin(\frac{\phi}{2})\cos(\frac{\phi}{2}) - \sin\alpha\cos\alpha + \alpha - \frac{\phi}{2}) \frac{\cos\alpha}{2} \}
 \end{aligned}$$

$$\begin{aligned}
 D_{VL5} = & \frac{PR^2}{GI_x} \{ (\sin(\frac{\phi}{2})\cos(\frac{\phi}{2}) - \sin\alpha\cos\alpha + \alpha - \frac{\phi}{2}) \frac{\sin\alpha}{2} - \\
 & - (\sin^2(\frac{\phi}{2}) - \sin^2\alpha) \frac{\cos\alpha}{2} - \cos(\frac{\phi}{2}) + \cos\alpha \} - \\
 & - \frac{PR^2}{EI_y} \{ (\sin(\frac{\phi}{2})\cos(\frac{\phi}{2}) - \sin\alpha\cos\alpha + \frac{\phi}{2} - \alpha) \frac{\sin\alpha}{2} + \\
 & + (\sin^2\alpha - \sin^2(\frac{\phi}{2})) \frac{\cos\alpha}{2} \}
 \end{aligned}$$

$$\begin{aligned}
 D_{VL6} = & \frac{PR^3}{GI_x} \{ \sin(\frac{\phi}{2} - \alpha) + (\alpha - \frac{\phi}{2}) - \cos(\frac{\phi}{2}) \left[(\sin^2(\frac{\phi}{2}) - \right. \\
 & \left. - \sin^2\alpha) \frac{\sin\alpha}{2} + (\sin(\frac{\phi}{2})\cos(\frac{\phi}{2}) - \sin\alpha\cos\alpha + \alpha - \right. \\
 & \left. - \frac{\phi}{2}) \frac{\cos\alpha}{2} + \sin\alpha - \sin(\frac{\phi}{2}) - (\alpha - \frac{\phi}{2}) \cos\alpha \right] + \\
 & + \sin(\frac{\phi}{2}) \left[(\sin(\frac{\phi}{2})\cos(\frac{\phi}{2}) - \sin\alpha\cos\alpha + \alpha - \frac{\phi}{2}) \cdot \right. \\
 & \cdot \left(-\frac{\sin\alpha}{2} \right) - (\sin^2\alpha - \sin^2(\frac{\phi}{2})) \frac{\cos\alpha}{2} + \cos(\frac{\phi}{2}) - \cos\alpha \left. \right] \} \\
 & + \frac{PR^3}{EI_y} \{ \sin(\frac{\phi}{2}) \left[(\sin(\frac{\phi}{2})\cos(\frac{\phi}{2}) - \sin\alpha\cos\alpha + \frac{\phi}{2} - \alpha) \cdot \right. \\
 & \cdot \frac{\sin\alpha}{2} + (\sin^2\alpha - \sin^2(\frac{\phi}{2})) \frac{\cos\alpha}{2} \left. \right] + \cos(\frac{\phi}{2}) \cdot \\
 & \cdot \left[(\sin^2(\frac{\phi}{2}) - \sin^2\alpha) \frac{\sin\alpha}{2} + (\sin(\frac{\phi}{2})\cos(\frac{\phi}{2}) - \right. \\
 & \left. - \sin\alpha\cos\alpha + \alpha - \frac{\phi}{2}) \frac{\cos\alpha}{2} \right] \}
 \end{aligned}$$

Calculadas as ações na extremidade final através da eq. (III-12), as demais são determinadas como abaixo:

$$A_{EL1} = P \cdot y_p - A_{EL4}$$

$$A_{EL2} = L \cdot A_{EL6} - P \cdot x_p - A_{EL5}$$

$$A_{EL3} = P - A_{EL6}$$

sendo x_p e y_p as coordenadas do ponto de aplicação da carga.

Carga uniformemente distribuída total (fig. III-9):

$$D_{VL4} = \left(\frac{qR^3}{GI_x} - \frac{qR^3}{EI_y} \right) \left(\frac{\phi}{2} - \frac{\operatorname{sen}\phi}{2} \right) \operatorname{sen}\left(\frac{\phi}{2}\right)$$

$$D_{VL5} = \frac{qR^3}{GI_x} \left[2\operatorname{sen}\left(\frac{\phi}{2}\right) - \left(\frac{\phi}{2} - \frac{\operatorname{sen}\phi}{2} \right) \cos\left(\frac{\phi}{2}\right) - \phi \cos\left(\frac{\phi}{2}\right) \right] + \\ + \frac{qR^3}{EI_y} \left[2\operatorname{sen}\left(\frac{\phi}{2}\right) - \left(\frac{\phi}{2} + \frac{\operatorname{sen}\phi}{2} \right) \cos\left(\frac{\phi}{2}\right) \right]$$

$$D_{VL6} = - \frac{qR^4}{GI_x} \left(\frac{\phi^2}{2} - \phi \operatorname{sen}\phi + \frac{\operatorname{sen}^2\phi}{2} \right) - \frac{qR^4}{EI_y} \left(2\operatorname{sen}^2\left(\frac{\phi}{2}\right) - \frac{\operatorname{sen}^2\phi}{2} \right)$$

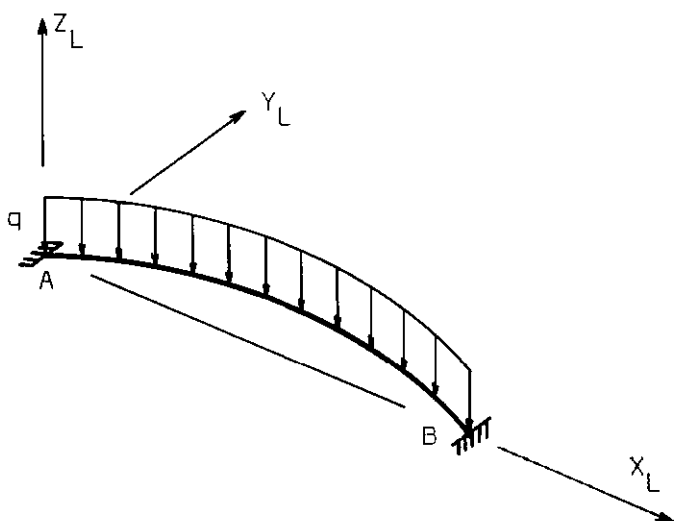


Fig. III-9 Carga uniformemente distribuída total

Os esforços no engaste da extremidade inicial A são:

$$A_{EL1} = qR\phi y_g - A_{EL4}$$

$$A_{EL2} = L A_{EL6} - A_{EL5} - qR\phi L/2$$

$$A_{EL3} = qR\phi - A_{EL6}$$

D - OUTROS TIPOS DE VIGAS

Os esforços de engastamento perfeito de outros tipos de vigas, que não as estudadas nos itens A, B e C anteriores, devem ser calculados à parte, e fornecidos diretamente ao programa de computador.

III-2. PILARES

III-2.1 SISTEMA DE REFERÊNCIA LOCAL

O sistema de referência local de um pilar é constituído por três eixos x_L y_L z_L formando um triedro direto tal que a origem coincida com o extremo inferior do elemento, x_L e y_L sejam paralelos às direções principais de inércia das seções transversais e z_L contenha o eixo longitudinal da peça (fig. III-10).

III-2.2 GRAUS DE LIBERDADE

São doze os graus de liberdade das extremidades de um pilar considerado isoladamente (fig. III-10). Deste total, no entanto, apenas nove são independentes (ver item IV-3).

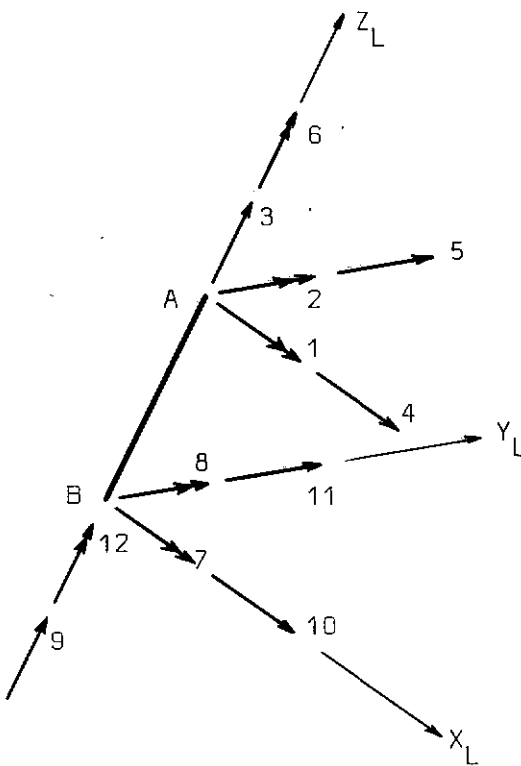


Fig. III-10 Sistema de referêcia local de pilar e graus de liberdade

III-2.3 MATRIZES DE RIGIDEZ

A - PILAR DE EIXO RETO E SEÇÃO TRANSVERSAL CONSTANTE

Na página seguinte é apresentada a matriz de rigidez do pilar de eixo retilíneo e seção transversal constante, na qual acham-se os seguintes parâmetros:

E - módulo de elasticidade longitudinal

G - módulo de elasticidade transversal

L - comprimento do pilar

I_z - momento de inércia à torção

I_x - momento de inércia da seção transversal em relação ao eixo X_L

I_y - momento de inércia da seção transversal em relação ao eixo Y_L

$s_{PL} =$

$$\begin{bmatrix} \frac{3+\phi_y}{\phi_y} \frac{EI_x}{L} & 0 & 0 & \frac{6}{\phi_y} \frac{EI_x}{L^2} & 0 & \frac{3-\phi_y}{\phi_y} \frac{EI_x}{L} & 0 & 0 & 0 & -\frac{6}{\phi_y} \frac{EI_x}{L^2} & 0 \\ 0 & 0 & 0 & 0 & 0 & 0 & 0 & 0 & 0 & 0 & 0 \\ \frac{3+\phi_x}{\phi_x} \frac{EI_y}{L} & 0 & \frac{-6}{\phi_x} \frac{EI_y}{L^2} & 0 & 0 & \frac{3-\phi_x}{\phi_x} \frac{EI_y}{L} & 0 & \frac{6}{\phi_x} \frac{EI_y}{L^2} & 0 & 0 & 0 \\ \frac{EA_z}{L} & 0 & 0 & 0 & 0 & 0 & -\frac{EA_z}{L} & 0 & 0 & 0 & 0 \\ \frac{12}{\phi_x} \frac{EI_y}{L^3} & 0 & 0 & 0 & 0 & \frac{-6}{\phi_x} \frac{EI_y}{L^2} & 0 & \frac{-12}{\phi_x} \frac{EI_y}{L^3} & 0 & 0 & 0 \\ \frac{12}{\phi_y} \frac{EI_x}{L^3} & 0 & 0 & \frac{6}{\phi_y} \frac{EI_x}{L^2} & 0 & 0 & 0 & 0 & \frac{-12}{\phi_y} \frac{EI_x}{L^3} & 0 & 0 \\ \frac{GI_z}{L} & 0 & 0 & 0 & 0 & 0 & 0 & 0 & 0 & 0 & \frac{GI_z}{L} \\ \frac{3+\phi_y}{\phi_y} \frac{EI_x}{L} & 0 & 0 & 0 & 0 & 0 & 0 & 0 & -\frac{6}{\phi_y} \frac{EI_x}{L^2} & 0 & 0 \\ \frac{3+\phi_x}{\phi_x} \frac{EI_y}{L} & 0 & 0 & \frac{6}{\phi_x} \frac{EI_y}{L^2} & 0 & 0 & \frac{6}{\phi_x} \frac{EI_y}{L^2} & 0 & 0 & 0 & 0 \\ \frac{EA_z}{L} & 0 & 0 & 0 & 0 & 0 & 0 & 0 & 0 & 0 & 0 \\ \frac{12}{\phi_x} \frac{EI_y}{L^3} & 0 & 0 & 0 & 0 & 0 & 0 & 0 & 0 & 0 & 0 \\ \frac{12}{\phi_y} \frac{EI_x}{L^3} & 0 & 0 & 0 & 0 & 0 & 0 & 0 & 0 & 0 & 0 \\ \frac{GI_z}{L} & 0 & 0 & 0 & 0 & 0 & 0 & 0 & 0 & 0 & 0 \end{bmatrix}$$

simétrica

(III-13)

$$\phi_x = 1 + \frac{12 EI_y}{L^2 GA_x}$$

$$\phi_y = 1 + \frac{12 EI_x}{L^2 GA_y}$$

A_x - área da seção transversal multiplicada pelo coeficiente de forma para o esforço cortante na direção x_L

A_y - idem, na direção y_L

A_z - área da seção transversal

B - OUTROS TIPOS DE PILARES

Pilares de seção transversal variável podem ser considerados na análise, desde que se conheça a matriz de flexibilidade da extremidade superior A do elemento. O processo de cálculo é análogo ao utilizado para as vigas de eixo circular (item III-1.3 C).

Seja \tilde{F}_{PLaa} a matriz de flexibilidade do extremo superior A do pilar engastado na base (fig. III-11). A matriz de rigidez procurada pode ser escrita:

$$\tilde{S}_{PL} = \begin{bmatrix} S_{PLaa} & S_{PLab} \\ S_{PLba} & S_{PLbb} \end{bmatrix} \quad (\text{III-14})$$

onde a submatriz S_{PLaa} é obtida por inversão de \tilde{F}_{PLaa} :

$$S_{PLaa} = \tilde{F}_{PLaa}^{-1} \quad (\text{III-15})$$

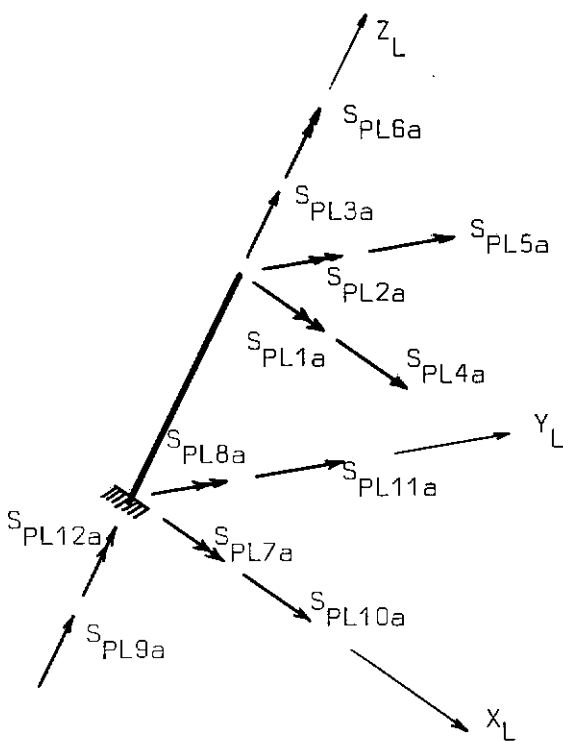


Fig. III-11 Sistema principal para o cálculo da matriz de rigidez de pilar

A submatriz S_{PLba} é obtida pela condição de equilíbrio estático do pilar da figura (III-11), quando se lhe impõe um deslocamento unitário na direção k (com $k=1,2,3,\dots,6$) mantendo-se os demais nulos:

$$\begin{aligned}
 S_{PL7k} &= L S_{PL5k} - S_{PL1k} \\
 S_{PL8k} &= -L S_{PL4k} - S_{PL2k} \\
 S_{PL9k} &= -S_{PL3k} && p/ k=1,2,\dots,6 \\
 S_{PL10k} &= -S_{PL4k} \\
 S_{PL11k} &= -S_{PL5k} \\
 S_{PL12k} &= S_{PL6k}
 \end{aligned} \tag{III-16}$$

Como a matriz $\underline{\underline{S}}_{PL}$ é simétrica, tem-se:

$$\underline{S}_{PLab} = \underline{S}_{PLba} \quad (\text{III-17})$$

Finalmente, para a determinação da submatriz $\underline{\underline{S}}_{PLbb}$ re-escrevem-se as eqs. (III-16) da seguinte forma:

$$\begin{aligned} S_{PL7k} &= L S_{PL5k} - S_{PL1k} \\ S_{PL8k} &= -L S_{PL4k} - S_{PL2k} \\ S_{PL9k} &= -S_{PL3k} \\ S_{PL10k} &= -S_{PL4k} \quad p/ \ k=7,8,\dots,12 \\ S_{PL11k} &= -S_{PL5k} \\ S_{PL12k} &= -S_{PL6k} \end{aligned} \quad (\text{III-18})$$

III-2.4 ESFORÇOS DE ENGASTAMENTO PERFEITO

Embora não haja nenhuma limitação imposta pelo método de análise, no presente trabalho não são considerados pilares carregados, e por conseguinte não existem cálculos de esforços de engastamento perfeito. Estes, entretanto, sempre poderão ser levados em conta na análise, desde que calculados à parte e aplicados sobre os nós e andares da estrutura.

Na programação para computador, são considerados automaticamente os efeitos do peso próprio das colunas (caso se deseje), supondo-se de modo aproximado que a metade desse peso atue verticalmente em cada extremidade das mesmas.

IV - TRANSFORMAÇÕES ENTRE SISTEMAS DE REFERÊNCIA

IV-1 GENERALIDADES

No capítulo precedente foram estabelecidas as propriedades dos elementos vigas e colunas em seus respectivos sistemas de referência locais. A seguir serão estudadas as transformações que levam aquelas propriedades (matrizes de rigidez, esforços e deslocamentos) ao sistema de referência global, a fim de se poder estabelecer as condições de equilíbrio da estrutura completa.

IV-2 VIGAS

IV-2.1 RELAÇÕES GEOMÉTRICAS

Considere-se o caso de uma viga AB excentricamente conectada aos pontos nodais J e K respectivamente, conforme ilustrado na figura (IV-1). Nesta figura todos os parâmetros são apresentados com o sinal positivo. Assim, os segmentos x_i e x_f são positivos quando acrescentados ao segmento AB, e y_i e y_f são positivos quando situados na região positiva do eixo y_L .

Conhecidas as coordenadas (x_j, y_j) e (x_k, y_k) dos pontos nodais, bem como as excentricidades x_i , y_i , x_f e y_f , os demais elementos são calculados como se segue:

$$\begin{aligned} c &= \sqrt{(x_k - x_j)^2 + (y_k - y_j)^2 - (y_f - y_i)^2} \\ L &= c - (x_i + x_f) \quad (IV-1) \\ \text{sen}\alpha &= \frac{(y_k - y_j) c + (y_f - y_i)(x_k - x_j)}{(x_k - x_j)^2 + (y_k - y_j)^2} \end{aligned}$$

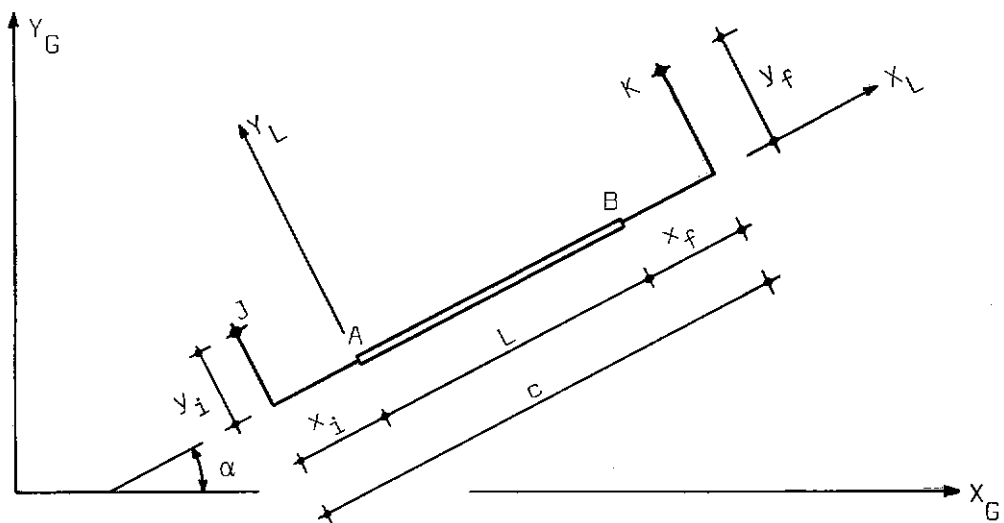


Fig. IV-1 Viga com excentricidade em relação aos pontos nodais J e K

$$\cos \alpha = \frac{(x_k - x_j) c - (y_f - y_i)(y_k - y_j)}{(x_k - x_j)^2 + (y_k - y_j)^2} \quad (\text{IV-1})$$

(cont.)

É comum a designação de "trechos rígidos" para os elementos JCA e BDK da figura acima, por se comportarem como corpos rígidos na transmissão de esforços e deslocamentos entre os extremos da viga e os pontos nodais.

IV-2.2 MATRIZ DE TRANSFORMAÇÃO

A matriz de transformação relaciona os deslocamentos em cada extremo da viga A e B com os dos pontos nodais J e K respectivamente.

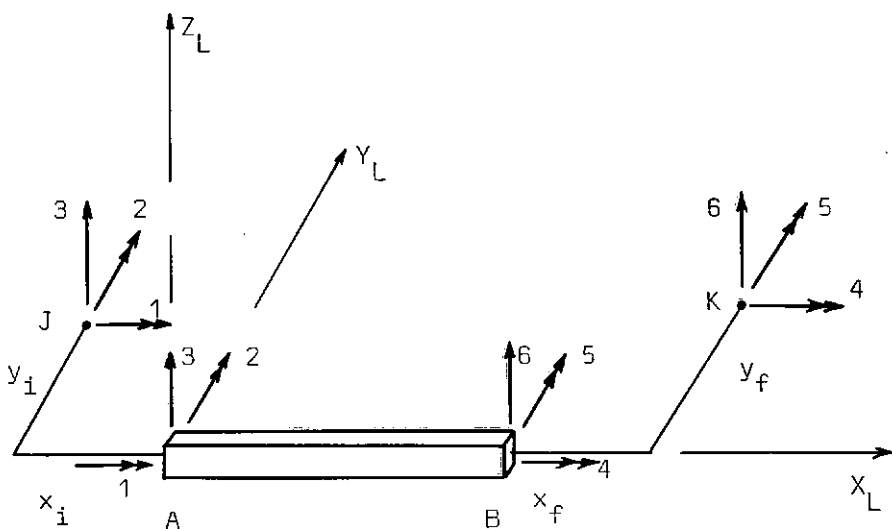


Fig. IV-2 Deslocamentos dos extremos da viga A e B
e dos pontos nodais J e K

Observando-se a figura (IV-2) acima, obtém-se:

$$\left\{ \begin{array}{l} D_{VL1} \\ D_{VL2} \\ D_{VL3} \\ D_{VL4} \\ D_{VL5} \\ D_{VL6} \end{array} \right\} = \begin{bmatrix} 1 & 0 & 0 & 0 & 0 & 0 \\ 0 & 1 & 0 & 0 & 0 & 0 \\ -y_i & -x_i & 1 & 0 & 0 & 0 \\ 0 & 0 & 0 & 1 & 0 & 0 \\ 0 & 0 & 0 & 0 & 1 & 0 \\ 0 & 0 & 0 & -y_f & x_f & 1 \end{bmatrix} \left\{ \begin{array}{l} D_{VT1} \\ D_{VT2} \\ D_{VT3} \\ D_{VT4} \\ D_{VT5} \\ D_{VT6} \end{array} \right\} \quad (IV-3)$$

ou, em forma matricial,

$$D_{VL} = T_V D_{VT} \quad (IV-4)$$

onde D_{VL} são os deslocamentos dos pontos A e B, e D_{VT} são os dos nós J e K.

Analogamente é possível expressar os esforços sobre os nós J e K em função dos esforços atuantes em A e B, achando-se a seguinte equação:

$$\begin{Bmatrix} A_{VT1} \\ A_{VT2} \\ A_{VT3} \\ A_{VT4} \\ A_{VT5} \\ A_{VT6} \end{Bmatrix} = \begin{bmatrix} 1 & 0 & -y_i & 0 & 0 & 0 \\ 0 & 1 & -x_i & 0 & 0 & 0 \\ 0 & 0 & 1 & 0 & 0 & 0 \\ 0 & 0 & 0 & 1 & 0 & -y_f \\ 0 & 0 & 0 & 0 & 1 & x_f \\ 0 & 0 & 0 & 0 & 0 & 1 \end{bmatrix} \begin{Bmatrix} A_{VL1} \\ A_{VL2} \\ A_{VL3} \\ A_{VL4} \\ A_{VL5} \\ A_{VL6} \end{Bmatrix} \quad (IV-5)$$

ou seja,

$$A_{VT} = T_V^t A_{VL} \quad (IV-6)$$

onde A_{VT} são os esforços sobre os pontos nodais J e K, e A_{VL} os esforços sobre as extremidades A e B da viga (fig. IV-2).

Substituindo-se as eqs. (IV-4) e (IV-6) na eq. (III-1), vem:

$$A_{VT} = T_V^t S_{VL} T_V D_{VT} \quad (IV-7)$$

que relaciona esforços e deslocamentos nos pontos nodais J e K, quando a viga é excentricamente conectada aos mesmos.

IV-2.3 MATRIZ DE ROTAÇÃO

Através da matriz de rotação são obtidos os deslocamentos dos pontos nodais J e K nas direções dos eixos do sistema de referência global (ver fig. IV-1):

$$\begin{Bmatrix} D_{VT1} \\ D_{VT2} \\ D_{VT3} \\ D_{VT4} \\ D_{VT5} \\ D_{VT6} \end{Bmatrix} = \begin{bmatrix} \cos\alpha & \sin\alpha & 0 & 0 & 0 & 0 \\ -\sin\alpha & \cos\alpha & 0 & 0 & 0 & 0 \\ 0 & 0 & 1 & 0 & 0 & 0 \\ 0 & 0 & 0 & \cos\alpha & \sin\alpha & 0 \\ 0 & 0 & 0 & -\sin\alpha & \cos\alpha & 0 \\ 0 & 0 & 0 & 0 & 0 & 1 \end{bmatrix} \begin{Bmatrix} D_{VG1} \\ D_{VG2} \\ D_{VG3} \\ D_{VG4} \\ D_{VG5} \\ D_{VG6} \end{Bmatrix} \quad (IV-8)$$

ou seja,

$$D_{VT} = R_V D_{VG} \quad (IV-9)$$

onde D_{VG} é o vetor dos deslocamentos dos nós J e K no sistema de referência global.

Os esforços atuantes em J e K no sistema de referência global são expressos em função de A_{VT} pela equação:

$$\begin{Bmatrix} A_{VG1} \\ A_{VG2} \\ A_{VG3} \\ A_{VG4} \\ A_{VG5} \\ A_{VG6} \end{Bmatrix} = \begin{bmatrix} \cos\alpha & -\sin\alpha & 0 & 0 & 0 & 0 \\ \sin\alpha & \cos\alpha & 0 & 0 & 0 & 0 \\ 0 & 0 & 1 & 0 & 0 & 0 \\ 0 & 0 & 0 & \cos\alpha & -\sin\alpha & 0 \\ 0 & 0 & 0 & \sin\alpha & \cos\alpha & 0 \\ 0 & 0 & 0 & 0 & 0 & 1 \end{bmatrix} \begin{Bmatrix} A_{VT1} \\ A_{VT2} \\ A_{VT3} \\ A_{VT4} \\ A_{VT5} \\ A_{VT6} \end{Bmatrix} \quad (IV-10)$$

isto é,

$$A_{VG} = R_V^t A_{VT} \quad (IV-11)$$

As equações (IV-9) e (IV-11) levadas na equação (IV-7) permite obter-se:

$$A_{VG} = R_V^t T_V^t S_{VL} T_V R_V D_{VG} \quad (IV-12)$$

que relaciona esforços e deslocamentos no referencial global.

Fazendo-se:

$$\underline{s}_{VG} = \underline{R}_V^t \underline{T}_V^t \underline{s}_{VL} \underline{T}_V \underline{R}_V \quad (\text{IV-13})$$

a eq. (IV-12) fica:

$$\underline{A}_{VG} = \underline{s}_{VG} \underline{D}_{VG} \quad (\text{IV-14})$$

IV-3 PILARES

IV-3.1 RELAÇÕES GEOMÉTRICAS

Considere-se o pilar da figura (IV-3), de extremidades A e B respectivamente conectadas aos pontos nodais J e K através dos trechos rígidos ACJ e BDK.

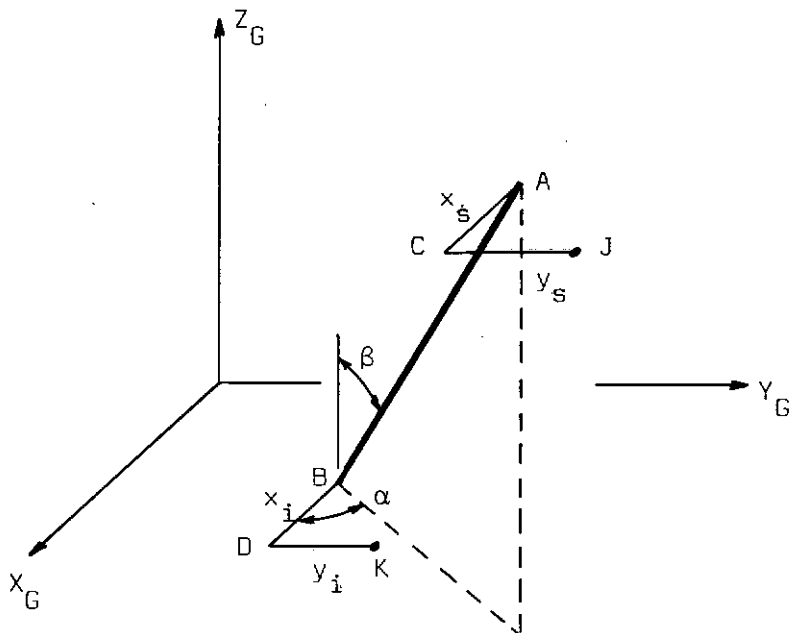


Fig. IV-3 Pilar AB com excentricidade em relação aos pontos nodais J e K

Admitindo-se conhecidas as coordenadas (x_j, y_j) do nó J, (x_k, y_k) do nó K, a altura do pé direito h do pavimento a que pertence o pilar, e ainda os valores de x_i , y_i , x_s e y_s , calculam-se os seguintes parâmetros:

$$\therefore x_a = x_j - x_s$$

$$y_a = y_j - y_s$$

$$x_b = x_k - x_i$$

$$y_b = y_k - y_i$$

$$L = \sqrt{(x_a - x_b)^2 + (y_a - y_b)^2 + h^2}$$

$$\operatorname{sen}\alpha = \frac{y_a - y_b}{\sqrt{(x_a - x_b)^2 + (y_a - y_b)^2}}$$

$$\cos\alpha = \frac{x_a - x_b}{\sqrt{(x_a - x_b)^2 + (y_a - y_b)^2}}$$

p/ pilar inclinado

$$\operatorname{sen}\alpha = 0$$

p/ pilar vertical

$$\cos\alpha = 1$$

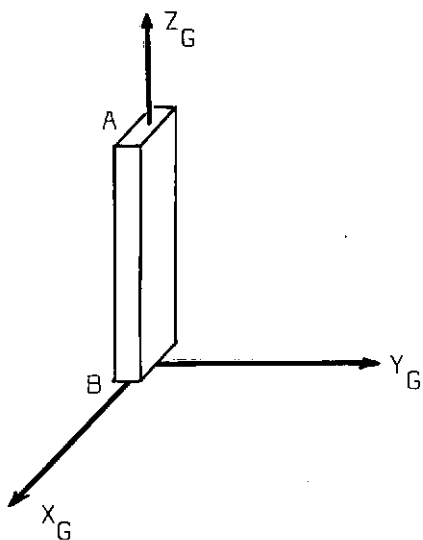
$$\operatorname{sen}\beta = \frac{\sqrt{(x_a - x_b)^2 + (y_a - y_b)^2}}{L}$$

$$\cos\beta = \frac{h}{L}$$

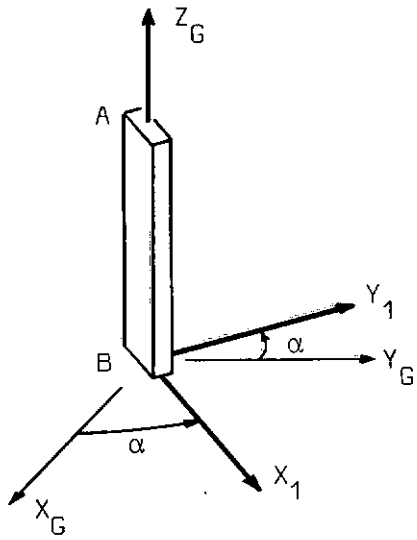
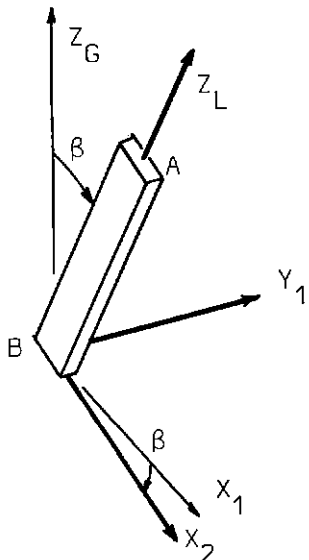
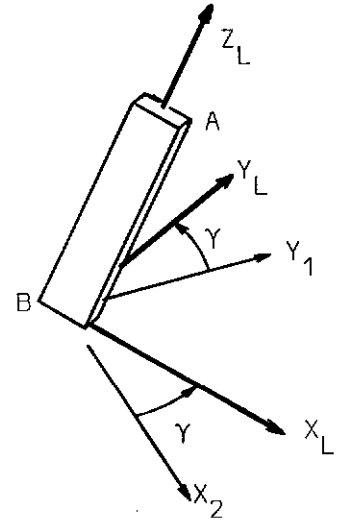
(IV-15)

onde (x_a, y_a) e (x_b, y_b) são respectivamente as coordenadas dos pontos A e B em projeção sobre o plano horizontal $X_G Y_G$, L é o comprimento do pilar e α e β são os ângulos mostrados na figura (IV-3).

Para a definição da posição dos eixos X_L e Y_L (direções principais de inércia das seções transversais) no referencial global deve-se observar a figura (IV-4), onde além dos ângulos α e β (já definidos) é mostrado o ângulo γ .



a) Posição inicial

b) Rotação α c) Rotação β d) Rotação γ Fig. IV-4 Angulos α , β e γ da posição do pilar em relação ao referencial global

É importante ser observado que, ao se estudar o pilar como um elemento integrante do modelo estrutural e ao se submeter suas extremidades aos deslocamentos da estrutura, os deslocamentos de corpo rígido do andar correspondente ao nó inferior do pilar não causam esforços no mesmo. Isto se deve ao fato de que os andares situados acima daquele movimentam-se em conjunto, pelo conceito de deslocamentos de bloco de andares. Portanto, enquanto a matriz de rigidez de um pilar é de ordem 12 x 12 no sistema de referência local (eq. IV-24), passa a ser de ordem 9 x 9 após as transformações indicadas nos próximos dois itens.

Esta redução de ordem da matriz de rigidez é de grande importância na montagem da matriz da estrutura, como se verá no Capítulo V. A figura abaixo ilustra os 9 graus de liberdade de um pilar, considerados no sistema de referência global.

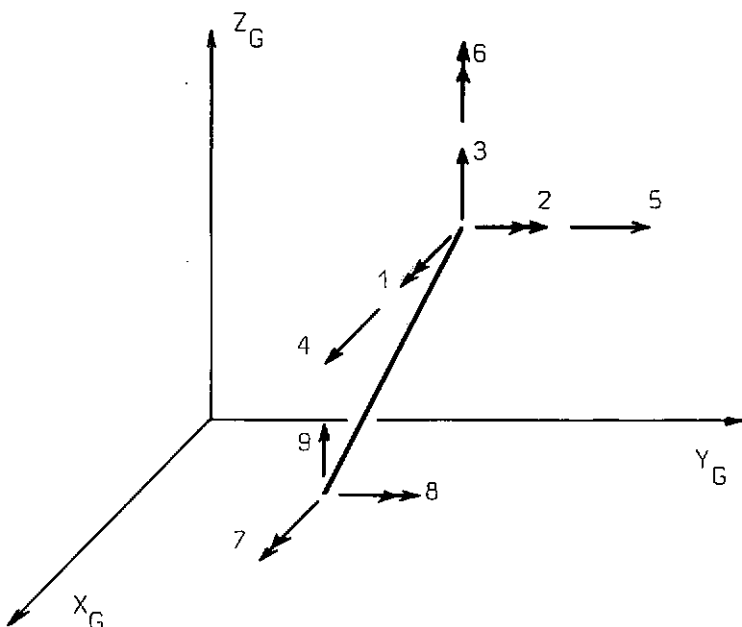


Fig. IV-5 Graus de liberdade de um pilar, no sistema de referência global

IV-3.2 MATRIZES DE ROTAÇÃO

Os deslocamentos dos pontos A e B do pilar no sistema de referência local (\underline{D}_{PL}) podem ser calculados em função dos deslocamentos destes mesmos pontos no referencial global (\underline{D}_{PR}) através do seguinte produto matricial:

$$\underline{D}_{PL} = \underline{R}_\gamma \underline{R}_\beta \underline{R}_\alpha \underline{D}_{PR} \quad (IV-16)$$

onde \underline{R}_γ , \underline{R}_β e \underline{R}_α são as matrizes de rotação definidas abaixo.

$$\underline{R}_\gamma = \begin{bmatrix} \underline{R}_\gamma^1 & 0 & 0 & 0 \\ 0 & \underline{R}_\gamma^1 & 0 & 0 \\ 0 & 0 & \underline{R}_\gamma^1 & 0 \\ 0 & 0 & 0 & \underline{R}_\gamma^1 \end{bmatrix} \quad (IV-17)$$

com

$$\underline{R}_\gamma^1 = \begin{bmatrix} \cos\gamma & \operatorname{sen}\gamma & 0 \\ -\operatorname{sen}\gamma & \cos\gamma & 0 \\ 0 & 0 & 1 \end{bmatrix} \quad (IV-18)$$

$$\underline{R}_\beta = \begin{bmatrix} \underline{R}_\beta^1 & \underline{R}_\beta^2 & 0 \\ \underline{R}_\beta^2 & \underline{R}_\beta^1 & 0 \\ 0 & 0 & \underline{R}_\beta^1 \end{bmatrix} \quad (IV-19)$$

com

$$\underline{R}_\beta^1 = \begin{bmatrix} \cos\beta & 0 & 0 \\ 0 & 1 & 0 \\ 0 & 0 & \cos\beta \end{bmatrix} \quad \text{e} \quad \underline{R}_\beta^2 = \begin{bmatrix} 0 & 0 & -\operatorname{sen}\beta \\ 0 & 0 & 0 \\ \operatorname{sen}\beta & 0 & 0 \end{bmatrix} \quad (IV-20)$$

e

$$\underline{R}_\alpha = \begin{bmatrix} \underline{R}_\alpha^1 & 0 & 0 \\ 0 & \underline{R}_\alpha^1 & 0 \\ 0 & 0 & \underline{R}_\alpha^1 \end{bmatrix} \quad (IV-21)$$

com

$$\tilde{R}_{\alpha}^t = \begin{bmatrix} \cos\alpha & \sin\alpha & 0 \\ -\sin\alpha & \cos\alpha & 0 \\ 0 & 0 & 1 \end{bmatrix} \quad (\text{IV-22})$$

Da mesma forma, pode-se expressar os esforços nos extremos A e B do pilar segundo os eixos do referencial global em função dos esforços medidos no referencial local:

$$\tilde{A}_{PR} = \tilde{R}_{\alpha}^t \tilde{R}_{\beta}^t \tilde{R}_{\gamma}^t \tilde{A}_{PL} \quad (\text{IV-23})$$

A relação entre esforços e deslocamentos do pilar no referencial local é:

$$\tilde{A}_{PL} = \tilde{S}_{PL} \tilde{D}_{PL} \quad (\text{IV-24})$$

onde \tilde{S}_{PL} é a matriz de rigidez do pilar (ver item III-2.3), de ordem 12×12 . Esta última equação pode tomar outra forma, pela consideração das eqs. (IV-16) e (IV-23), ou seja:

$$\tilde{A}_{PR} = \tilde{R}_{\alpha}^t \tilde{R}_{\beta}^t \tilde{R}_{\gamma}^t \tilde{S}_{PL} \tilde{R}_{\gamma} \tilde{R}_{\beta} \tilde{R}_{\alpha} \tilde{D}_{PR} \quad (\text{IV-25})$$

onde os vetores \tilde{A}_{PR} e \tilde{D}_{PR} são numerados de acordo com a figura (IV-5).

Pode-se ainda simplificar a equação (IV-25) escrevendo-se:

$$\tilde{A}_{PR} = \tilde{S}_{PR} \tilde{D}_{PR} \quad (\text{IV-26})$$

onde

$$\tilde{S}_{PR} = \tilde{R}_{\alpha}^t \tilde{R}_{\beta}^t \tilde{R}_{\gamma}^t \tilde{S}_{PL} \tilde{R}_{\gamma} \tilde{R}_{\beta} \tilde{R}_{\alpha} \quad (\text{IV-27})$$

é a matriz de rigidez do pilar para as ações no referencial global. Por ser a matriz de rotação \tilde{R}_{β} retangular de ordem

12×9 , o produto matricial indicado nesta última equação implica também a redução de ordem da matriz de rigidez do pilar, de que já se falou ao final do item (IV-3.1)

IV-3.3 MATRIZ DE TRANSFORMAÇÃO

Através da matriz de transformação relacionam-se os deslocamentos independentes dos nós J e K (figura IV-3) e também os de corpo rígido do andar correspondente ao nó J (medidos na interseção de seu plano com o eixo Z_G) com os deslocamentos das extremidades A e B do pilar (estes últimos mostrados na figura IV-5).

A transformação ora em estudo envolve, portanto, nove deslocamentos.

Conhecidos os valores das excentricidades (x_i , y_i , x_s e y_s) e ainda as coordenadas horizontais do ponto A, pode-se escrever:

$$\underline{\underline{D}}_{PR} = \underline{T}_P \underline{\underline{D}}_{PG} \quad (\text{IV-28})$$

onde o vetor \underline{D}_{PR} inclui os deslocamentos independentes dos nós J e K e os de corpo rígido do andar do nó J, e \underline{T}_P é a seguinte matriz de transformação:

$$\underline{T}_P = \begin{bmatrix} T_{Ps} & 0 & 0 \\ 0 & T_{Pa} & 0 \\ 0 & 0 & T_{Pi} \end{bmatrix} \quad (IV-29)$$

com:

$$\begin{aligned} T_{Ps} &= \begin{bmatrix} 1 & 0 & 0 \\ 0 & 1 & 0 \\ -y_s & x_s & 1 \end{bmatrix} \\ T_{Pa} &= \begin{bmatrix} 1 & 0 & -y_a \\ 0 & 1 & x_a \\ 0 & 0 & 1 \end{bmatrix} \end{aligned} \quad (IV-30)$$

e

$$T_{Pi} = \begin{bmatrix} 1 & 0 & 0 \\ 0 & 1 & 0 \\ -y_i & x_i & 1 \end{bmatrix}$$

Os respectivos esforços são transformados como se segue:

$$\underline{A}_{PG} = \underline{T}_P^t \underline{A}_{PR} \quad (IV-31)$$

As equações (IV-28) e (IV-31) levadas na equação (IV-26) fornecem:

$$\underline{A}_{PG} = \underline{T}_P^t \underline{S}_{PR} \underline{T}_P \underline{D}_{PR} \quad (IV-32)$$

ou seja, fazendo-se:

$$\underline{S}_{PG} = \underline{T}_P^t \underline{S}_{PR} \underline{T}_P \quad (IV-33)$$

escreve-se:

$$\underline{A}_{PG} = \underline{S}_{PG} \underline{D}_{PG} \quad (IV-34)$$

onde \underline{S}_{PG} é a matriz de rigidez do pilar para ações no sistema de referência global, já incluídas as transformações devidas às excentricidades de seus extremos em relação aos pontos nodais. Combinando-se as equações (IV-27) e (IV-33) pode-se expressar esta matriz diretamente em função de \underline{S}_{PL} :

$$\underline{S}_{PG} = \underline{T}_P^t \underline{R}_\alpha^t \underline{R}_\beta^t \underline{R}_\gamma^t \underline{S}_{PL} \underline{R}_\gamma \underline{R}_\beta \underline{R}_\alpha \underline{T}_P \quad (IV-35)$$

V - ANÁLISE DA ESTRUTURA

V-1. MÉTODO DE ANÁLISE

A estrutura é analisada através do método da rigidez, tendo como incógnitas os deslocamentos definidos no item II-3.

O sistema de equações que traduz o equilíbrio estático da estrutura sob a ação de um determinado carregamento é:

$$\underline{\underline{S}} \underline{\underline{D}} = \underline{\underline{A}} \quad (V-1)$$

onde $\underline{\underline{S}}$ é a matriz de rigidez da estrutura e $\underline{\underline{D}}$ e $\underline{\underline{A}}$ são respectivamente os vetores dos deslocamentos e das cargas.

Pode-se desdobrar a equação (V-1) na seguinte forma:

$$\begin{bmatrix} S_{ii} & S_{ib} \\ S_{bi} & S_{bb} \end{bmatrix} \begin{Bmatrix} D_i \\ D_b \end{Bmatrix} = \begin{Bmatrix} A_i \\ A_b \end{Bmatrix} \quad (V-2)$$

onde:

D_i são os deslocamentos independentes dos nós;

D_b são os deslocamentos dos blocos de andares;

A_i são as cargas sobre os nós nas direções dos deslocamentos independentes dos mesmos;

e A_b são as cargas sobre os blocos de andares,

com $A_i = A_a - A_{EG}$

sendo A_a as cargas externas diretamente aplicadas aos nós

e A_{EG} os esforços de engastamento perfeito das vigas carregadas

A equação (V-2), na forma em que foi exposta, serve apenas para introduzir a noção de destaque dos vetores \underline{D}_i e \underline{D}_b no vetor \underline{D} . Na realidade, deve-se dispensar maior atenção à disposição das incógnitas neste vetor, a fim de se reduzir, no que for possível, a quantidade de coeficientes não nulos da matriz S , no que reside a chave para a economia de memória de computador, redução do tempo de processamento e consequente alívio no custo da análise. Para tanto admita-se inicialmente que os andares sejam numerados na ordem crescente a partir do topo para a base do edifício (fig. V-1), e que o vetor \underline{D} seja composto como na expressão seguinte:

$$\{\underline{D}\} = \{\underline{D}_1 \underline{D}_2 \underline{D}_3 \underline{D}_4 \dots \underline{D}_{2n-1} \underline{D}_{2n} \dots \underline{D}_{2p-1} \underline{D}_{2p} \underline{D}_{2p+1}\} \quad (V-3)$$

onde os vetores com índices ímpares tais como \underline{D}_{2n-1} representam os deslocamentos \underline{D}_i dos nós do andar n , os vetores com índices pares tais como \underline{D}_{2n} representam os deslocamentos \underline{D}_b do andar n , e p é o número de pavimentos do edifício. O último vetor, \underline{D}_{2p+1} representa os deslocamentos \underline{D}_i dos nós correspondentes aos apoios da base da estrutura. Isto equivale a reordenar a equação (V-2) com:

$$\begin{aligned} i &= 2n-1 & \text{para } n &= 1, 2, \dots, p+1 \\ e & \quad b = 2n & \text{para } n &= 1, 2, \dots, p \end{aligned}$$

Observando, agora, que em virtude do conceito de deslocamentos de bloco de andares não há interação dos deslocamentos \underline{D}_i (ou das ações \underline{A}_i) de um andar n com as ações \underline{A}_b (ou com os deslocamentos \underline{D}_b) do andar seguinte, chega-se finalmente ao sistema de equações (V-4) da página seguinte, onde para maior clareza as submatrizes nulas não estão representadas. Desta expressão conclui-se que a matriz de rigidez S apresenta-se inicialmente como na forma de "degraus", porém as submatrizes S_{13}, S_{35}, S_{57} e etc. podem conferir a cada "degrau" a característica adicional de faixa, isto dependendo da numeração dos

$$\underline{s}_{11} \ \underline{s}_{12} \ \underline{s}_{13}$$

$$\underline{s}_{21} \ \underline{s}_{22} \ \underline{s}_{23}$$

$$\underline{s}_{31} \ \underline{s}_{32} \ \underline{s}_{33} \ \underline{s}_{34} \ \underline{s}_{35}$$

$$\underline{s}_{43} \ \underline{s}_{44} \ \underline{s}_{45}$$

$$\underline{s}_{53} \ \underline{s}_{54} \ \underline{s}_{55} \ \underline{s}_{56} \ \underline{s}_{57}$$

$$\underline{s}_{65} \ \underline{s}_{66} \ \underline{s}_{67}$$

$$\underline{s}_{75} \ \underline{s}_{76} \ \underline{s}_{77} \ \dots$$

.....

$$\dots \ \underline{s}_{2p-1,2p-1} \ \underline{s}_{2p-1,2p} \ \underline{s}_{2p-1,2p+1}$$

$$\underline{s}_{2p,2p-1} \ \underline{s}_{2p,2p} \ \underline{s}_{2p,2p+1}$$

$$\underline{s}_{2p+1,2p-1} \ \underline{s}_{2p+1,2p} \ \underline{s}_{2p+1,2p+1}$$

$$\left[\begin{array}{c} \underline{D}_1 \\ \underline{D}_2 \\ \underline{D}_3 \\ \underline{D}_4 \\ \underline{D}_5 \\ \underline{D}_6 \\ \underline{D}_7 \\ \vdots \\ \vdots \\ \vdots \\ \vdots \\ \vdots \\ \vdots \end{array} \right] = \left[\begin{array}{c} \underline{A}_1 \\ \underline{A}_2 \\ \underline{A}_3 \\ \underline{A}_4 \\ \underline{A}_5 \\ \underline{A}_6 \\ \underline{A}_7 \\ \dots \\ \dots \\ \dots \\ \dots \\ \dots \\ \dots \end{array} \right]$$

(V-4)

5

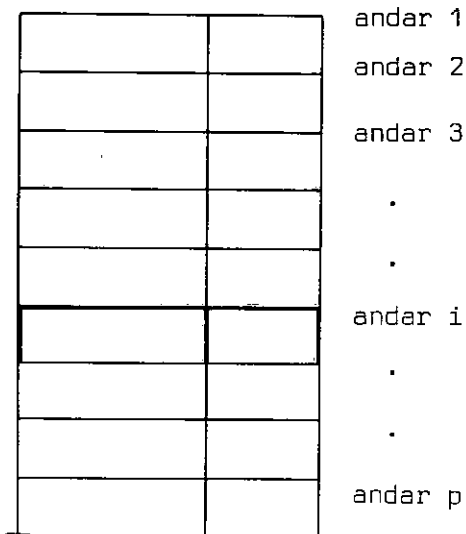


Fig.V-1 Numeração dos andares, mostrando-se os elementos estruturais do andar i

pontos nodais e da disposição dos pilares na estrutura.

V-2. MONTAGEM E RESOLUÇÃO DO SISTEMA DE EQUAÇÕES

Dentre os métodos diretos para resolução de sistemas de equações, escolheu-se o da eliminação, de Gauss.

Para a montagem da matriz de rigidez \underline{S} e do vetor de cargas \underline{A} da equação (V-4), é importante salientar-se que:

- As matrizes de rigidez das vigas (eq. IV-13) de um andar n contribuem para a formação da submatriz $\underline{S}_{2n-1,2n-1}$;
- As matrizes de rigidez dos pilares (eq. IV-35) do mesmo andar contribuem na formação das submatrizes:

$$\begin{array}{ccc}
 s_{2n-1,2n-1} & s_{2n-1,2n} & s_{2n-1,2n+1} \\
 s_{2n,2n-1} & s_{2n,2n} & s_{2n,2n+1} \\
 s_{2n+1,2n-1} & s_{2n+1,2n} & s_{2n+1,2n+1}
 \end{array}$$

- c) Os esforços de engastamento perfeito das vigas somam-se (como cargas equivalentes sobre os nós) aos valores das ações \underline{A}_{2n-1} , ainda para o mesmo andar n;
- d) As cargas diretamente aplicadas sobre os blocos de andares compõem o vetor \underline{A}_{2n} .

Na programação automática elaborada no presente estudo, a impossibilidade de se manter na memória principal do computador, de uma só vez, toda a matriz de rigidez e vetor de cargas de uma estrutura de grande porte obrigou a uma subdivisão do sistema de equações em "blocos", deixando-se permanecer na memória apenas um destes de cada vez, em etapas sucessivas, enquanto os demais são armazenados em memória auxiliar. Para a redução da quantidade de acessos a essa memória auxiliar, verificou-se ser conveniente a reunião das fases de montagem e de resolução do sistema de equações, ou seja, para cada "bloco" de equações montado procede-se à "triangularização" da matriz de rigidez e modificação do vetor de cargas. O exposto nos itens a e d anteriores foi sugestivo na escolha dos "blocos" de equações, como se verá a seguir.

Forma-se inicialmente a matriz de rigidez do primeiro andar da estrutura, que é a seguinte:

$$\left[\begin{array}{ccc}
 s_{11} & s_{12} & s_{13} \\
 s_{21} & s_{22} & s_{23} \\
 (\text{sim.}) & s_{33}^1
 \end{array} \right] \quad (V-5)$$

onde o índice superior (1) na última submatriz denota que não estão nela incluidos os coeficientes de rigidez dos elementos do segundo andar. A seguir procede-se à "triangularização" da matriz (V-5) pelo método de Gauss, com exceção da submatriz \underline{S}_{33}^1 , e armazena-se em memória auxiliar o resultado desta operação, ou seja, as submatrizes \underline{S}_{11} , \underline{S}_{12} , \underline{S}_{13} , \underline{S}_{22} e \underline{S}_{23} modificadas.

É claro que a simetria da matriz de rigidez \underline{S} permite que se deixe de montar na memória do computador os coeficientes situados abaixo da diagonal principal, e que são virtualmente anulados durante o processo. A figura (V-2) ilustra este fato, mostrando de forma esquemática as posições de memória onde são armazenados os coeficientes de rigidez e vetor de carregamento, e esclarecendo também de que modo é considerada a característica de faixa da matriz de um andar.

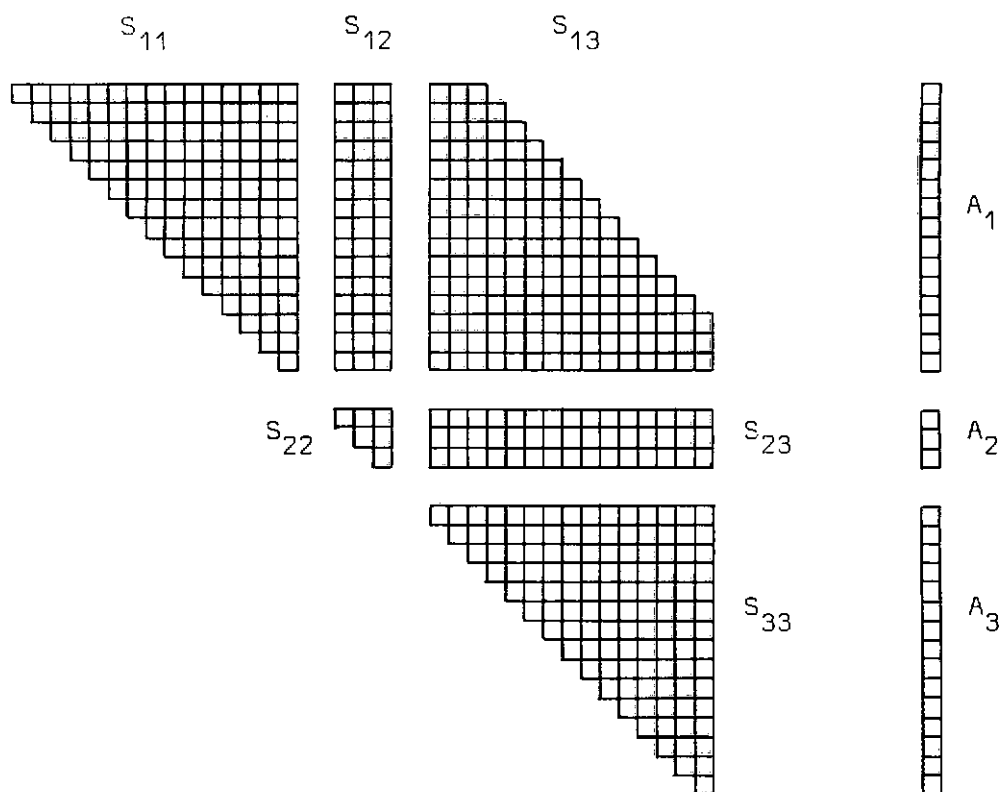


Fig V-2 Esquema do armazenamento das equações do 1º andar (válido para os demais andares)

Em seguida efetua-se a montagem da matriz de rigidez do segundo andar:

$$\begin{bmatrix} \underline{s}_{33} & \underline{s}_{34} & \underline{s}_{35} \\ & \underline{s}_{44} & \underline{s}_{45} \\ (\text{sim.}) & & \underline{s}_{55}^2 \end{bmatrix} \quad (V-6)$$

adicionando-se à \underline{s}_{33} a influência do andar anterior, contida na matriz \underline{s}_{33}^1 modificada. O processo é repetido sucessivamente até o último andar, quando então as incógnitas \underline{D} são calculadas a partir da última equação, por um procedimento de retro substituição, nas equações, dos valores encontrados. Nesta última fase os "blocos" de equações modificadas são novamente trazidos para a memória principal do computador, lidos da memória auxiliar.

Paralelamente às operações acima descritas, efetua-se também a montagem e as modificações necessárias do vetor de carregamento da estrutura.

V-2.1 COMENTÁRIOS

Alguns aspectos abordados no presente Capítulo carecem de observações, como as que se seguem:

- a) O armazenamento dos coeficientes da equação (V-4) em um arranjo unidimensional (vetor) na memória central do computador facilita o tratamento da matriz de rigidez \underline{S} com largura de faixa variável (fig. V-2).
- b) Embora não se tenha citado este fato no item (V-2) anterior, por simplicidade, pode-se analisar uma mesma estrutura submetida a vários casos de carregamento, montando-se na memória os respectivos vetores \underline{A} de uma só vez.

- c) Após calculadas as incógnitas \underline{D} , estas ocupam as mesmas posições de memória do vetor de carregamento \underline{A} .
- d) Na programação, não foi necessário recorrer-se a processos de armazenamento dos coeficientes das equações que utilizam "técnicas de esparsidade", pois a técnica adotada revelou-se bastante eficiente. No presente caso, o índice de esparsidade (relação entre o número de coeficientes nulos e a quantidade total de coeficientes após a eliminação de Gauss) é da ordem de 5% apenas, quando se trata de uma estrutura regular de tamanho médio ou grande.
- e) Poder-se-ia ter adotado o método de Cholesky para a resolução do sistema de equações.

Uma técnica de subdivisão de sistemas de equações em "blocos" é apresentada na referência bibliográfica (¹⁷), para matrizes com largura de faixa constante.

V-3. CONSIDERAÇÃO DOS APOIOS NO SISTEMA DE EQUAÇÕES

V-3.1 APOIOS DA BASE DA ESTRUTURA

Existindo as possibilidades de se considerarem os apoios da base da estrutura ou com deslocamentos prescritos ou como apoios elásticos, evidentemente uma situação exclui a outra. Em ambos os casos estes apoios influenciam as seguintes equações de equilíbrio (última linha da eq. V-4):

$$\begin{bmatrix} s_{2p+1,2p-1} & s_{2p+1,2p} & s_{2p+1,2p+1} \end{bmatrix} \begin{Bmatrix} d_{2p-1} \\ d_{2p} \\ d_{2p+1} \end{Bmatrix} = \begin{Bmatrix} a_{2p-1} \\ a_{2p} \\ a_{2p+1} \end{Bmatrix}$$

(V-7)

A seguir são relatadas as técnicas adotadas para levar em conta essas influências:

a) Apoios com deslocamentos prescritos (recalques).

Seja δ_i um dos deslocamentos prescritos indicados na figura (V-3), e

$$\sum_{j < i} s_{ij} d_j + s_{ii} d_i + \sum_{j > i} s_{ij} d_j = a_i \quad (V-8)$$

a equação correspondente na expressão (V-7).

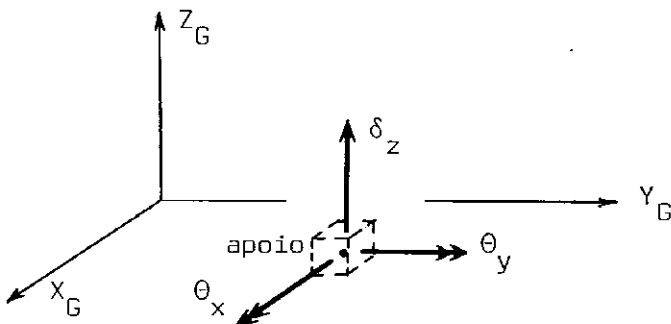


Fig. V-3 Recalques de um apoio

Multiplicando-se o coeficiente S_{ii} (da diagonal principal da submatriz $S_{2p+1, 2p+1}$) por um número muito grande (N_∞) em relação ao mesmo, e fazendo-se

$$A_i = S_{ii} N_\infty \delta_i \quad (V-9)$$

a expressão (V-8) fica modificada para:

$$\sum_{j < i} S_{ij} D_j + S_{ii} N_\infty D_i + \sum_{j > i} S_{ij} D_j = S_{ii} N_\infty \delta_i \quad (V-10)$$

Como o coeficiente $S_{ii} N_\infty$ é muito grande em relação aos demais, e supõe-se que os deslocamentos sejam da mesma ordem de grandeza, pode-se desprezar os valores incluídos nos somatórios da expressão anterior, obtendo-se com suficiente precisão:

$$S_{ii} N_\infty D_i = S_{ii} N_\infty \delta_i \quad \therefore \quad D_i = \delta_i \quad (V-11)$$

b) Apoios elásticos.

Admitindo-se conhecidos os seguintes valores (fig.V-4):

$S_{\theta x}$ - coeficiente de rigidez do apoio para uma rotação unitária na direção X_G mantendo-se as demais nulas;

$S_{\theta y}$ - idem, na direção Y_G ;

S_{dz} - coeficiente de rigidez do apoio, para uma translação unitária na direção Z_G , mantendo-se nulos os demais deslocamentos,

seja S_{ii}^* um destes valores, correspondente a uma linha i da equação (V-7). A influência desta rigidez é considerada simplesmente pela sua adição ao coeficiente S_{ii} :

$$\sum_{j < i} S_{ij} D_j + (S_{ii} + S_{ii}^*) D_i + \sum_{j > i} S_{ij} D_j = A_i \quad (V-12)$$

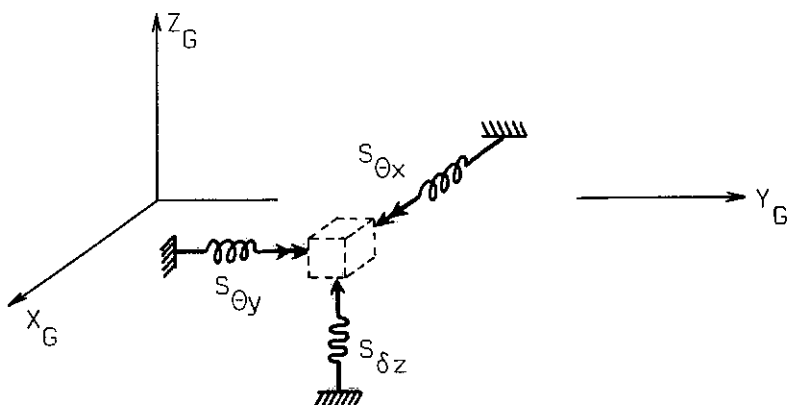


Fig. V-4 Apoios elásticos inferiores

V-3.2 APOIOS ELÁSTICOS LATERAIS DOS ANDARES

Para se ter em conta as influências destes apoios na estrutura, o procedimento adotado é análogo ao descrito na item b da página anterior, devendo ser conhecidos os coeficientes de rigidez:

S_{dx} - esforço (ação sobre o apoio elástico) para um deslocamento unitário de bloco de andares na direção x_G ;

S_{dy} - idem, na direção y_G ,

$S_{\theta z}$ - momento no apoio para uma rotação unitária de bloco de andares segundo a direção z_G .

Neste caso, sendo n o número do andar com apoio elástico, serão modificados os coeficientes da diagonal principal da submatriz $S_{2n,2n}$ da equação (V-4).

V-4. CÁLCULO DOS ESFORÇOS NAS EXTREMIDADES DOS ELEMENTOS

V-4.1 VIGAS

Após resolvida a equação (V-4), pesquisase no vetor \underline{D} os deslocamentos dos nós extremos de cada viga e calculam-se os esforços nas extremidades destes elementos no sistema de referência local através da expressão:

$$\underline{A}_{VL} = \underline{S}_{VL} \underline{T}_V \underline{R}_V \underline{D}_{VG} + \underline{A}_{EL} \quad (V-13)$$

onde o produto

$$\underline{D}_{VL} = \underline{T}_V \underline{R}_V \underline{D}_{VG} \quad (V-14)$$

fornecce os deslocamentos das extremidades da viga no citado referencial, de acordo com as equações (IV-4) e (IV-9).

No programa para computador este trabalho é simplificado, pois a parcela

$$\underline{S}_{VL} \underline{T}_V \underline{R}_V \quad (V-15)$$

é previamente armazenada em memória auxiliar quando são efetuados os cálculos indicados na expressão (IV-13).

V-4.2 PILARES

O processo de cálculo é semelhante ao descrito acima para as vigas, porém sem levar em conta esforços de engastamento perfeito. Neste caso tem-se:

$$\underline{A}_{PL} = \underline{S}_{PL} \underline{R}_\gamma \underline{R}_\beta \underline{R}_\alpha \underline{T}_P \underline{D}_{PG} \quad (V-16)$$

pois, como se pode depreender das equações (IV-16) e (IV-18),

$$\underline{D}_{PL} = \underline{R}_Y \underline{R}_\beta \underline{R}_\alpha \underline{T}_P \underline{D}_{PG} \quad (V-17)$$

é o vetor de deslocamentos dos extremos do pilar no sistema de referência local.

Em se tratando de programação automática, ainda neste caso se pode tirar partido da expressão (IV-34), armazenando-se o resultado parcial daquela operação,

$$\underline{S}_{PL} \underline{R}_Y \underline{R}_\beta \underline{R}_\alpha \underline{T}_P \quad (V-18)$$

para sua utilização na equação (V-16).

V-5. REAÇÕES DE APOIO

As reações de apoio da estrutura são calculadas a partir dos esforços nas extremidades dos pilares, determinados pela expressão (V-16). A figura (V-5) indica a notação utilizada a seguir.

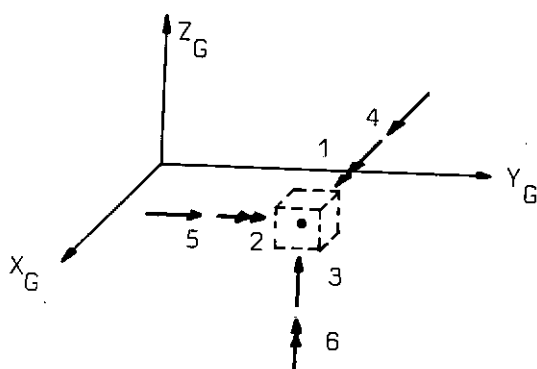


Fig. V-5. Numeração das reações de apoio no vetor \underline{F}_A

Para um apoio da base da estrutura, relacionado com a extremidade inferior B de um determinado pilar (ver também a figura III-10), obtém-se as reações com o auxílio da seguinte expressão:

$$\underline{F}_A = \underline{T}_A^t \underline{R}_{A\alpha}^t \underline{R}_{A\beta}^t \underline{R}_{A\gamma}^t A_{PLb} \quad (V-19)$$

onde A_{PLb} representa os esforços na citada extremidade do pilar, e a matriz de transformação e as de rotação são as definidas a seguir:

$$\underline{T}_A = \begin{bmatrix} T_{Pi} & 0 \\ 0 & T_{Pb} \end{bmatrix} \quad (V-20)$$

com T_{Pi} e T_{Pb} definidas de modo semelhante às expressões (V-30);

$$\underline{R}_{A\alpha} = \begin{bmatrix} R_\alpha^1 & 0 \\ 0 & R_\alpha^1 \end{bmatrix} \quad (V-21)$$

onde R_α^1 é a matriz (IV-22);

$$\underline{R}_{A\beta} = \begin{bmatrix} R_\beta^1 & R_\beta^2 \\ R_\beta^2 & R_\beta^1 \end{bmatrix} \quad (V-22)$$

sendo R_β^1 e R_β^2 as matrizes (IV-20), e

$$\underline{R}_{A\gamma} = \begin{bmatrix} R_\gamma^1 & 0 \\ 0 & R_\gamma^1 \end{bmatrix} \quad (V-23)$$

em que R_γ^1 é definida na expressão (IV-18).

Se existir mais de um pilar concorrendo ao mesmo apoio, as operações da equação (V-19) são repetidas de modo acumulativo no vetor \underline{F}_A .

VI - O PROGRAMA AUTOMÁTICO

VI-1. GENERALIDADES

Este capítulo é destinado a mostrar de forma suscinta as principais etapas do programa desenvolvido para a análise de esforços em edifícios altos, de acordo com o modelo estrutural e o método de análise apresentados nos capítulos anteriores.

Citam-se, de passagem, algumas das técnicas de programação utilizadas visando principalmente economia de tempo de processador e de memória central de computador, bem como facilidade e segurança na utilização do programa. Não se desce a nível de detalhe quanto a essas técnicas, que devem ser buscadas em publicações de caráter didático tais como a indicada na referência (18).

O programa principal recebeu o nome ATEEL - Análise Tridimensional de Esforços em Estruturas de Edifícios Elevados - e utiliza um conjunto de 18 subrotinas. Foi elaborado em linguagem FORTRAN e implementado em um computador Burroughs modelo B-6700. Procurou-se utilizar, no que foi possível, um subconjunto de declarações daquela linguagem compatível com vários compiladores existentes. Poucas são as instruções válidas exclusivamente na citada marca de equipamento, não havendo dúvida em que a adaptação do programa a outras máquinas é tarefa simples para um programador experiente.

VI-2. CARACTERÍSTICAS DO PROBLEMA

Devido ao elevado número de informações a serem fornecidas ao programa, o seu planejamento e elaboração foram acom-

panhados por uma constante preocupação com o armazenamento de dados, de modo a não se ocupar memória de computador em excesso, e tampouco se consumir um exagerado tempo de entrada/saída em consultas a memórias auxiliares. Para se contornar este problema aproveitaram-se algumas características muito comuns dos edifícios - altos ou não - a saber:

- a) Repetição de seções transversais de vigas e pilares;
- b) Repetição de coordenadas dos pontos nodais, em planta;
- c) Provável existência de pavimento-tipo em andares consecutivos;
- d) Provável repetição dos carregamentos (sobre vigas, nós e andares) em pavimentos idênticos consecutivos.

Estas quatro características sugeriram a adoção das seguintes técnicas de armazenamento de informações na memória do computador:

- a) Leitura, uma só vez, dos parâmetros geométricos de cada seção transversal diferente, para vigas e para pilares.
- b) Leitura das coordenadas dos pontos nodais cujas projeções verticais são diferentes.
- c) Definição do 1º andar: pé direito, vigas, pilares, pontos nodais, excentricidades dos extremos dos elementos em relação aos nós, e referências às seções transversais previamente definidas.
- d) Definição dos demais andares, tendo-se como base o andar imediatamente anterior e, se for o caso, fornecendo-se apenas as modificações entre os dois pavimentos consecutivos (modificações no pé direito, nas excentricidades e nas seções transversais, supressão de elementos ou inclusão de outros). O armazenamento dessas informações é feito sem a geração de dados repetitórios na memória, mas criando-se um esquema de endereçamento que permite a sua fácil localização.

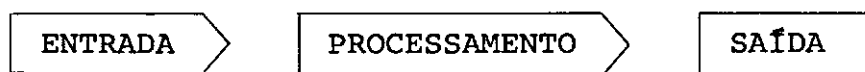
- e) Definição das cargas no 1º pavimento.
- f) Definição das cargas nos demais andares, obedecendo-se a um critério semelhante ao exposto no item d.

No programa em questão, é uma constante o uso da técnica de armazenamento de vários tipos de informações em um único vetor, cujas localizações são feitas através de apontadores de endereços. O armazenamento das "matrizes" de rigidez e "vetores" de carregamento dos andares da estrutura na forma vetorial, com re-aproveitamento da área de memória, o cálculo dos deslocamentos da estrutura nas mesmas posições ocupadas pelos "vetores" de carregamento, e a gravação de registros de tamanhos variáveis em memória auxiliar foram outros recursos de que se lançou mão. Por estes motivos é que a capacidade do programa em aceitar maior ou menor quantidade de dados pode ser facilmente alterada pela modificação de poucas instruções, unicamente do tipo COMMON.

Vários casos de carregamento podem ser analisados simultaneamente em uma mesma estrutura, e é conveniente o uso deste recurso pela vantagem que proporciona em termos de custo.

VI-3. ESTRUTURAÇÃO DO PROGRAMA

Com a finalidade de se descrever a estruturação do programa julgou-se conveniente dividi-lo em 6 etapas distintas, e que são a seguir apresentadas sob a forma:



onde os termos "entrada" e "saída" não confinam apenas os conceitos usuais de "leitura de cartões" e "saída em impressora", mas sim a idéia mais geral envolvendo transferência de dados entre cartões, memória principal, memória auxiliar (disco ou

fita magnética) e impressora. Para melhor compreensão do que será exposto, utilizam-se as seguintes convenções:



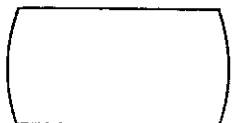
- leitura de cartão



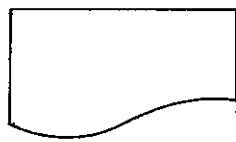
- processamento, cálculos



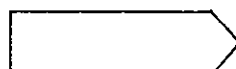
- dados na memória principal



- entrada/saída de dados em memória auxiliar



- impressão de relatório

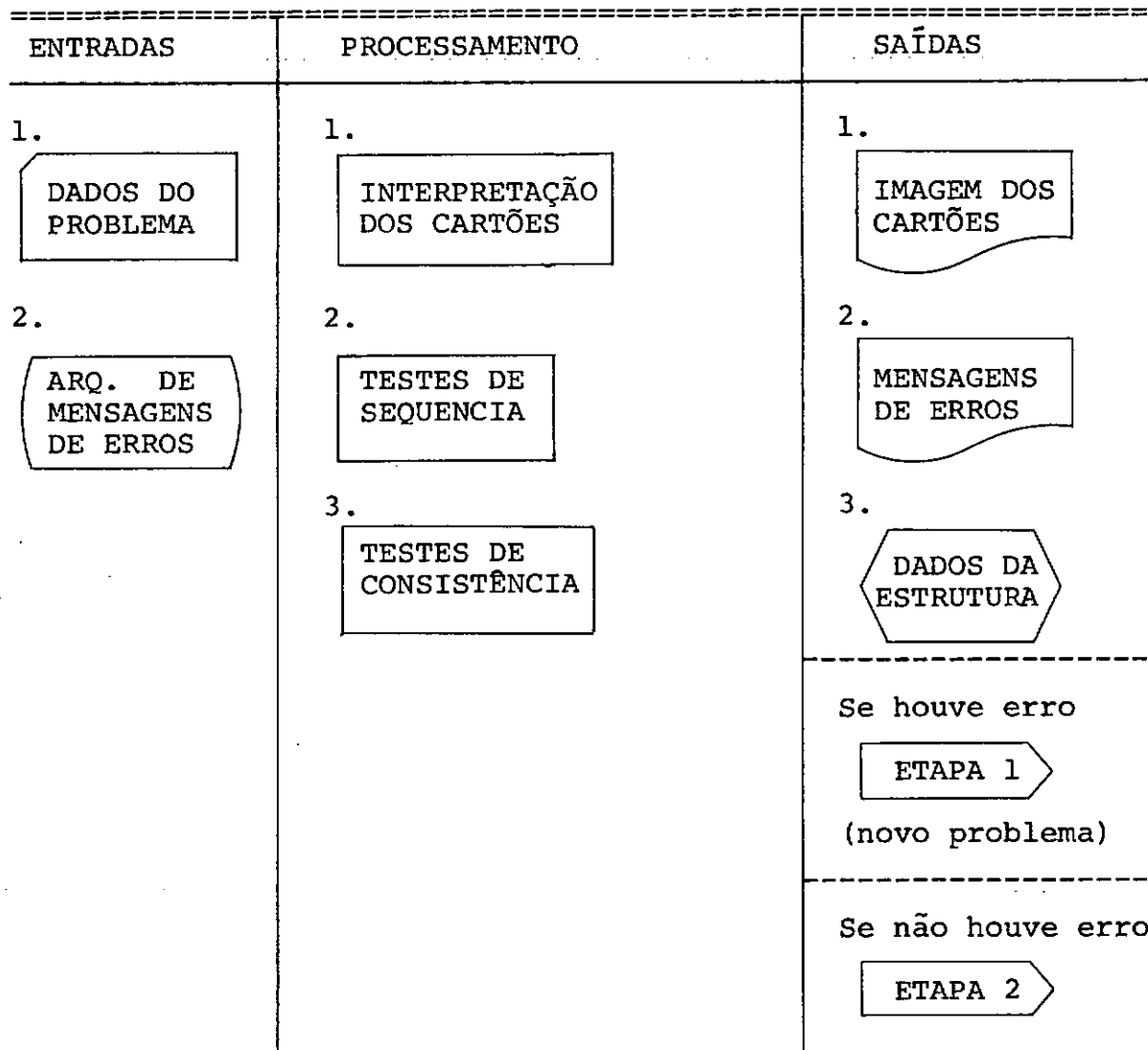


- interligação de etapas de processamento

Trata-se de uma apresentação bem resumida, apenas com o intuito de se ordenarem as idéias gerais do processamento. No item VI-4 é apresentado um esquema da "hierarquia" entre subrotinas, bem como um resumo da função de cada uma delas.

VI-3.1 ETAPA 1 - LEITURA DOS DADOS DE UM PROBLEMA (SUBROTINA "DADOS")

Esta etapa (ver quadro VI-1) destina-se basicamente à leitura dos cartões e testes de erros de codificação, de sequência e de consistência das informações neles contidas.



QUADRO VI-1

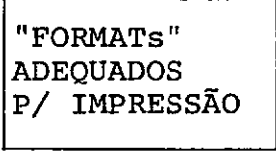
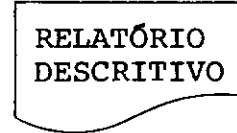
Todos os cartões utilizam um único formato de codificação. Cada um deles é identificado por uma palavra chave, e a ordem de leitura deve obedecer a uma sequência pré-fixada tendo em vista a descrição do problema de modo inequívoco (ver anexo A - Manual de Utilização).

No caso de detecção de um erro, a mensagem correspondente é pesquisada em um arquivo em memória auxiliar, previamente gravado, e impressa imediatamente após a "imagem" do cartão que o produziu. Mesmo neste caso a leitura não é interrompida, mas não se prosseguirá para a 2a etapa do processamento.

Ao final da massa de cartões de um problema, é opcional a colocação de um comando de execução. Assim, o usuário poderá decidir pelo simples teste de seus cartões ou pela resolução do problema.

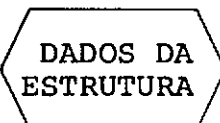
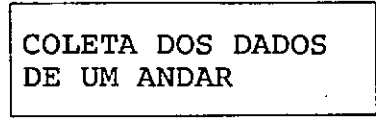
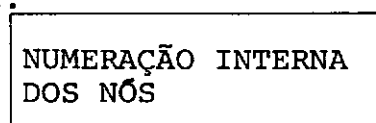
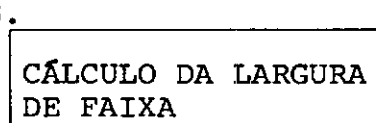
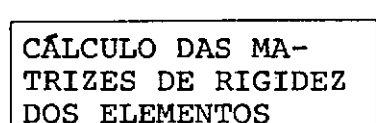
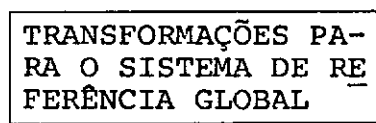
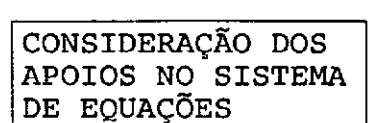
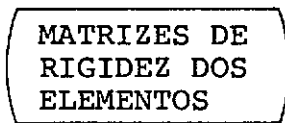
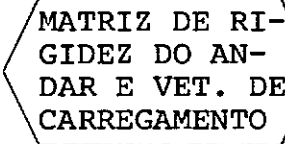
**VI-3.2 ETAPA 2 - LISTAGEM DE UM RELATÓRIO DESCRIPTIVO
(SUBROTINA "RELAT")**

A impressão de um relatório descritivo da estrutura tem por finalidade apresentar os dados em forma mais adequada a um re-exame e verificação (quadro VI-2).

ENTRADA	PROCESSAMENTO	SAÍDA
1. 	1. 	1.  Se não houve ordem de execução  (novo problema) Se houve ordem para execução 

QUADRO VI-2

VI-3.3 ETAPA 3 - MONTAGEM DA MATRIZ DE RIGIDEZ DE UM ANDAR (SUBROTINA "DEGRAU")

ENTRADA	PROCESSAMENTO	SAÍDAS
1. 	<p>1. </p> <p>2. </p> <p>3. </p> <p>4. </p> <p>5. </p> <p>6. </p> <p>7. </p> <p>8. </p>	<p>1. </p> <p>2. </p>

A etapa 3 (quadro VI-3) diz respeito à montagem da matriz de rigidez de um andar, conforme o exposto no item (V-2). A influência dos apoios no sistema de equações é tratada no item (V-3). Monta(m)-se também o(s) vetor(es) de carregamento da estrutura.

Como saída intermediária desta etapa, gera-se um arquivo em memória auxiliar contendo as matrizes de rigidez das vigas e pilares, pós-multiplicadas pelas matrizes de rotação e transformação (expressões V-15 e V-18), que serão utilizadas na etapa 6 para o cálculo dos esforços nas extremidades dos elementos. Aproveita-se aqui uma das características dos edifícios - andar tipo - e somente se armazena a matriz de um determinado elemento se ele não for rigorosamente igual ao correspondente no andar anterior.

O armazenamento dos coeficientes de rigidez e vetores de carregamento da estrutura, para um andar qualquer, é feito em um único vetor (unidimensional) na memória principal. Esta área é re-utilizada de cada vez que se executa a presente etapa.

VI-3.4 ETAPA 4 - "TRIANGULARIZAÇÃO" DA MATRIZ DE RIGIDEZ DE UM ANDAR (SUBROTINA "BLOCO")

O conjunto de etapas 3-4 é repetido para todos os andares da estrutura. Para cada pavimento, grava-se em memória auxiliar a matriz de rigidez "triangularizada" e o(s) vetor(es) de carregamento modificado(s). Exceção única é feita para o último andar (térreo), quando nada é gravado, uma vez que os valores acima citados deverão estar disponíveis na memória para a etapa 5. O quadro (VI-4) ilustra a presente etapa.

Como os pavimentos podem ser diferentes entre si, a matriz de rigidez e vetor(es) de carregamento são gravados em registros de tamanho variável.

ENTRADAS	PROCESSAMENTO	SAÍDAS
1. MATRIZ DE RIGIDEZ DO ANDAR	1. "TRIANGULARIZAÇÃO" DA M. DE RIGIDEZ E VETORES DE CARR.	1. MATRIZ "TRIANGUL." E VET. DE CARREG.
2. ARQ. DE MENSAGENS DE ERRO	2. TESTE DE ELEMENTO NÃO POSITIVO NA DIAGONAL PRINCIPAL	2. INFLUÊNCIA SOBRE O ANDAR SEGUINTE
	3. POSICIONAMENTO DA INFLUÊNCIA DO ANDAR SOBRE O SEGUINTE	3. MENSAGEM DE ERRO Em caso de erro ETAPA 1 (novo problema) Até penúltimo andar ETAPA 3 Se último andar ETAPA 5

QUADRO VI-4

No caso de ocorrência de um elemento não positivo na diagonal principal da matriz de rigidez, a análise do problema é sumariamente interrompida, imprimindo-se uma mensagem com a indicação do número do andar e do nó (numeração atribuída pelo usuário) em que se detectou o erro.

VI-3.5 ETAPA 5 - CÁLCULO DOS DESLOCAMENTOS DE UM ANDAR (SUBROTINA "RESEQ")

Nesta etapa, que é repetida tantas vezes quanto for o número de andares, as matrizes de rigidez "triangularizadas" e os vetores de carregamento modificados são novamente trazidos à memória principal na ordem inversa em que foram gravados, processando-se então o cálculo dos deslocamentos através do método indicado no item (V-2).

Os deslocamentos calculados ocupam a mesma área de memória dos vetores de carregamento, e são gravados em memória auxiliar como registros de tamanho variável. (ver quadro VI-5).

ENTRADA	PROCESSAMENTO	SAÍDA
1. MATRIZ "TRI- ANGULARIZADA E VET. DE CARREGAMENTO	1. CÁLCULO DOS DES- LOCAMENTOS DO ANDAR	1. DESLOCAMENTOS DE UM ANDAR Até penúltimo andar ETAPA 5 Se último andar ETAPA 6

QUADRO VI-5

VI-3.6 ETAPA 6 - CÁLCULO DOS ESFORÇOS NAS EXTREMIDADES DOS ELEMENTOS (SUBROTINA "FORÇA")

Nesta etapa são lidos da memória auxiliar para o principal todos os deslocamentos calculados, e em seguida impressos

em relatório. São calculados os esforços nas extremidades dos elementos (eqs. V-13 e V-16), bem como as reações de apoio da estrutura (eq. V-19). Todos estes valores são também impressos, por caso de carregamento. O quadro (VI-6) ilustra o procedimento adotado nesta etapa.

ENTRADAS	PROCESSAMENTO	SAÍDAS
<p>1. DADOS DA ESTRUTURA</p> <p>2. MATRIZES DE RIG. DOS ELEMENTOS</p> <p>3. DESLOCAMENTOS DA ESTRUTURA</p>	<p>1. CÁLCULO DOS ESFORÇOS DE ENG. PERFEITO</p> <p>2. CÁLC. DOS ESFORÇOS NAS EXTREM. DOS ELEMENTOS</p> <p>3. CÁLCULO DAS REAÇÕES DE APOIO</p>	<p>1. DESLOCAMENTOS DA ESTRUTURA</p> <p>2. ESFORÇOS NAS EXTREMIDADES DOS ELEM.</p> <p>3. REAÇÕES DE APOIO</p> <p>ETAPA 1</p> <p>(novo problema)</p>

QUADRO VI-6

Um novo problema pode ser resolvido em seguida, se não houver um comando de fim de execução.

VI-4. SUBROTINAS DO PROGRAMA "ATEEL"

A figura (VI-1) apresenta um esquema com as relações das subrotinas entre si e com o programa principal.

Resumidamente, são as seguintes as funções destas subrotinas:

DADOS - Lê cartões, efetua testes de verificação de sequência e consistência dos dados, e armazena os valores das variáveis na memória principal.

Chama as subrotinas TRANS e ERRO. Grava os títulos do problema e dos carregamentos no arquivo 4.

TRANS - Efetua as conversões dos campos numéricos dos cartões, lidos em formato A1, para as variáveis do programa; verifica os possíveis erros de perfuração em cada um desses campos.

Chama a subrotina ERRO.

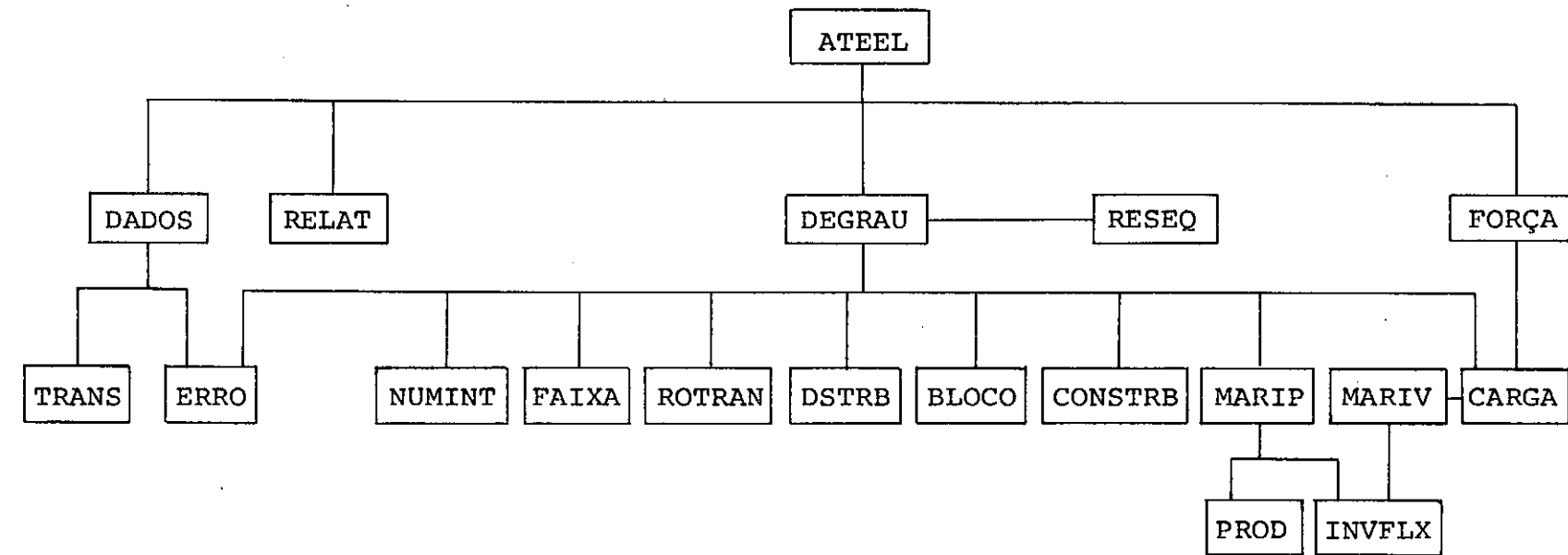
ERRO - Pesquisa em um arquivo previamente gravado a mensagem de erro a ser impressa, de acordo com o valor de um argumento de entrada.

Utiliza o arquivo 6 (ATEEL/ERROS).

RELAT - Imprime um relatório descritivo da estrutura.

Os títulos impressos na listagem são lidos do arquivo 4.

DEGRAU - Coleta os dados dos elementos e carregamentos para a montagem da matriz de rigidez e vetores de cargas equivalentes de cada andar, e faz levar em conta as influências dos apoios e dos recalques prescritos. Modifica as coordenadas dos pontos nodais quando há



QUADRO VI-7 - Relações entre o programa principal e
subrotinas

pilares com mudanças de eixos de um andar para o seguinte.

Chama as subrotinas NUMINT, FAIXA, CARGA, MARIV, MARIP, ROTRAN, DSTRB, BLOCO, CONTRB e ERRO. Grava as matrizes de rigidez parcialmente transformadas para o referencial global nos arquivos 10 (vagas) e 11 (pilares).

NUMINT - Efetua a numeração interna dos pontos nodais, estabelecendo sua correspondência com a numeração atribuída pelo usuário.

FAIXA - Calcula a largura de faixa da matriz de rigidez de cada andar.

CARGA - Calcula os esforços de engastamento perfeito das vagas.

Chama a subrotina MARIV, quando se trata de carga concentrada sobre viga com mísulas retas verticais.

MARIV - Calcula as matrizes de rigidez das vagas no sistema de referência local.

Chama a subrotina INVFLX, quando se trata de viga de forma qualquer (cuja matriz de flexibilidade de um dos extremos é fornecida via cartão), ou no caso de viga de eixo circular.

INVFLX - Inverte a matriz de flexibilidade de uma extremidade de um elemento (viga ou pilar). Completa a matriz de rigidez obtida, para ambos os extremos.

MARIP - Calcula as matrizes de rigidez dos pilares, e efetua as transformações para o sistema de referência global.

Chama as subrotinas PROD e INVFLX.

- PROD - Efetua produtos matriciais entre a matriz de rigidez e as de rotação e transformação de pilar.
- ROTRAN - Efetua produtos matriciais entre a matriz de rigidez e as de rotação e transformação de viga.
- DSTRB - Promove a distribuição, na matriz de rigidez de um andar, dos valores das cargas sobre os nós e sobre os andares, dos esforços de engastamento perfeito em vigas, e das matrizes de rigidez de vigas e de pilares.
- BLOCO - Efetua a "trangularização" da matriz de rigidez de um andar, e as modificações correspondentes nos vetores de carregamento.
Grava esta matriz e vetores modificados no arquivo 7.
- CONTRB - Posiciona a influência da matriz de rigidez e vetores de carregamento de um andar sobre o andar seguinte, dentro da área de memória destinada a estes coeficientes.
- RESEQ - Resolve o sistema de equações, calculando os vetores de deslocamentos da estrutura.
Utiliza o arquivo 7 para ler os "blocos" de equações dos vários andares da estrutura, gravados pela subrotina BLOCO. Grava os vetores de deslocamentos calculados no arquivo 9, por andar.
- FORÇA - Realiza a impressão de um relatório contendo os deslocamentos da estrutura, os esforços nas extremidades dos elementos e as reações de apoio. Para o cálculo dos esforços nos elementos, utiliza os arquivos 10 e 11 gravados pela subrotina DEGRAU. Os desloca-

mentos da estrutura são trazidos à memória principal pela leitura dos registros do arquivo 9.

Chama a subrotina CARGA para o cálculo dos esforços de engastamento perfeito das vigas.

VI-5. LIMITAÇÕES DO PROGRAMA E OUTRAS INFORMAÇÕES

Não há limitação do programa para o número de pavimentos da estrutura a ser analisada, e sim da quantidade máxima de pontos nodais estabelecidos em um andar, associada ao número de casos de carregamento.

O quadro (VI-8) apresenta a quantidade de memória necessária para se armazenarem a matriz de rigidez e os vetores de carregamento de um andar em um arranjo unidimensional na memória central do computador, em função do número de nós do andar e dos casos de carregamento da estrutura.

Nº DE NÓS EM UM ANDAR	Nº DE CASOS DE CARREGAMENTO		
	1	3	5
10	1701	1827	1953
20	6096	6342	6588
30	13191	13557	13923
40	22986	23472	23958
50	35481	36087	36693
60	50676	51402	52138
67	62919	63729	64539
68	64776	-	-

QUADRO VI-8

Nº de posições ocupadas para armazenamento da matriz de rigidez e vetores de carregamento de um andar

A limitação da estrutura a ser analisada repousa praticamente no número máximo de posições que se pode reservar para um só vetor no computador. No caso do equipamento Burroughs modelo 6700 este número é 65535; o quadro (VI-8) mostra que nessa máquina a programação permite a análise de estruturas com até 68 pontos nodais por pavimento. (Contudo, para um número de nós acima deste valor, ainda resta a possibilidade de se repartir o armazenamento de dados entre vetores distintos, cada qual com a capacidade de até 65535 variáveis, modificando-se a programação onde for necessário).

Para maior comodidade, durante a leitura dos cartões e execução do problema, são feitos testes de verificação da capacidade de armazenamento de dados nos vetores do programa, de conformidade com o número de posições a eles designados nas declarações de especificação do tipo COMMON. Se o programa requerer mais área de memória que estas reservadas, será emitida uma mensagem do tipo: "REDIMENSIONE O VETOR ...".

O programa objeto (compilado) ocupa 6K palavras (*) de memória no computador Burroughs 6700. No caso da listagem apresentada no Apêndice C, em que a área a que se refere o quadro (VI-8) está fixada em 28000 palavras, o programa ocupa cerca de 40K palavras em tempo de execução.

O programa fonte possui 2526 cartões, dos quais mais de 400 são destinados a comentários da listagem.

(*) 1K = 1024 palavras.

VII - EXEMPLOS E CONCLUSÕES

VII-1. EXEMPLOS

Com a finalidade de efetuar os testes das condições de funcionamento e desempenho do programa "ATEEL", foram analisadas algumas séries de exemplos de estruturas, variando-se em cada série o número de pavimentos do edifício. Foram medidos, em cada exemplo, os tempos de processamento e de entrada/saída, o número de equações de equilíbrio e o "índice de esparsidade". No presente contexto, define-se índice de esparsidade como a relação entre a quantidade de valores nulos e o número total de coeficientes da matriz de rigidez e vetor(es) de carregamento da estrutura após o processo de eliminação de Gauss.

Todos os exemplos foram processados em um computador Burroughs modelo 6700.

O quadro (VII-1) apresenta os dados coletados dessas séries de exemplos. A figura (VII-6) novamente ilustra os tempos de processamento como funções do número de andares em cada série, na forma de um gráfico.

A seguir são fornecidos alguns pormenores acerca dos exemplos analisados. Em todos os casos a estrutura foi submetida à ação de carregamentos laterais e verticais combinados. Estruturas simétricas com carregamentos também simétricos em relação a um só plano vertical foram tratadas com vantagem, pois permitem idealizações estruturais com menor número de pontos nodais por pavimento (ver séries de exemplos 2 e 5).

SÉRIE 1-A:

A figura (VII-1) mostra um esquema de um pavimento genérico desta série de exemplos. Foram analisadas estruturas com 10, 20, ..., 60 andares, submetidas a um caso de carregamento, modificando-se todas as seções transversais e valores das cargas a cada 5 andares.

SÉRIE 1-B:

Esta série de exemplos foi composta pelos mesmos problemas da série anterior, submetidas a dois casos de carregamento. Observa-se (quadro VII-1) um ligeiro acréscimo dos tempos de processamento.

SÉRIE 2:

Novamente foram analisados os problemas da série 1-A, porém desta vez tirando-se partido da simetria das estruturas e de seus carregamentos em relação ao plano $X_G Z_G$. A figura (VII-2) indica o artifício utilizado, que consiste em seccionar a estrutura segundo o plano de simetria, introduzindo-se a poios elásticos ao nível de cada andar nas direções Y_G e Z_G , e colocando-se pilares fictícios (indicados na figura) de grande momento de inércia de seção transversal em relação ao eixo X_G e área nula. Diminui-se desta forma o número de equações de equilíbrio, e consequentemente o tempo de processamento.

SÉRIE 3:

Nesta série as vigas das estruturas da série 1-A foram substituídas por vigas de eixo circular e seção transversal constante, mantendo-se as demais características geométricas dos elementos, bem como as cargas atuantes. (figura VII-3).

SÉRIE 4:

Para estes exemplos tomou-se um pavimento tipo (figura VII-4) contendo 30 nós, 30 pilares e 50 vigas. Os exemplos foram analisados com 10, 20 e 60 andares, cada um com apenas um caso de carregamento.

SÉRIE 5:

Nesta série de exemplos, aproveitou-se a simetria de cada problema da série anterior, diminuindo-se o número de pontos nodais por pavimento para 20.

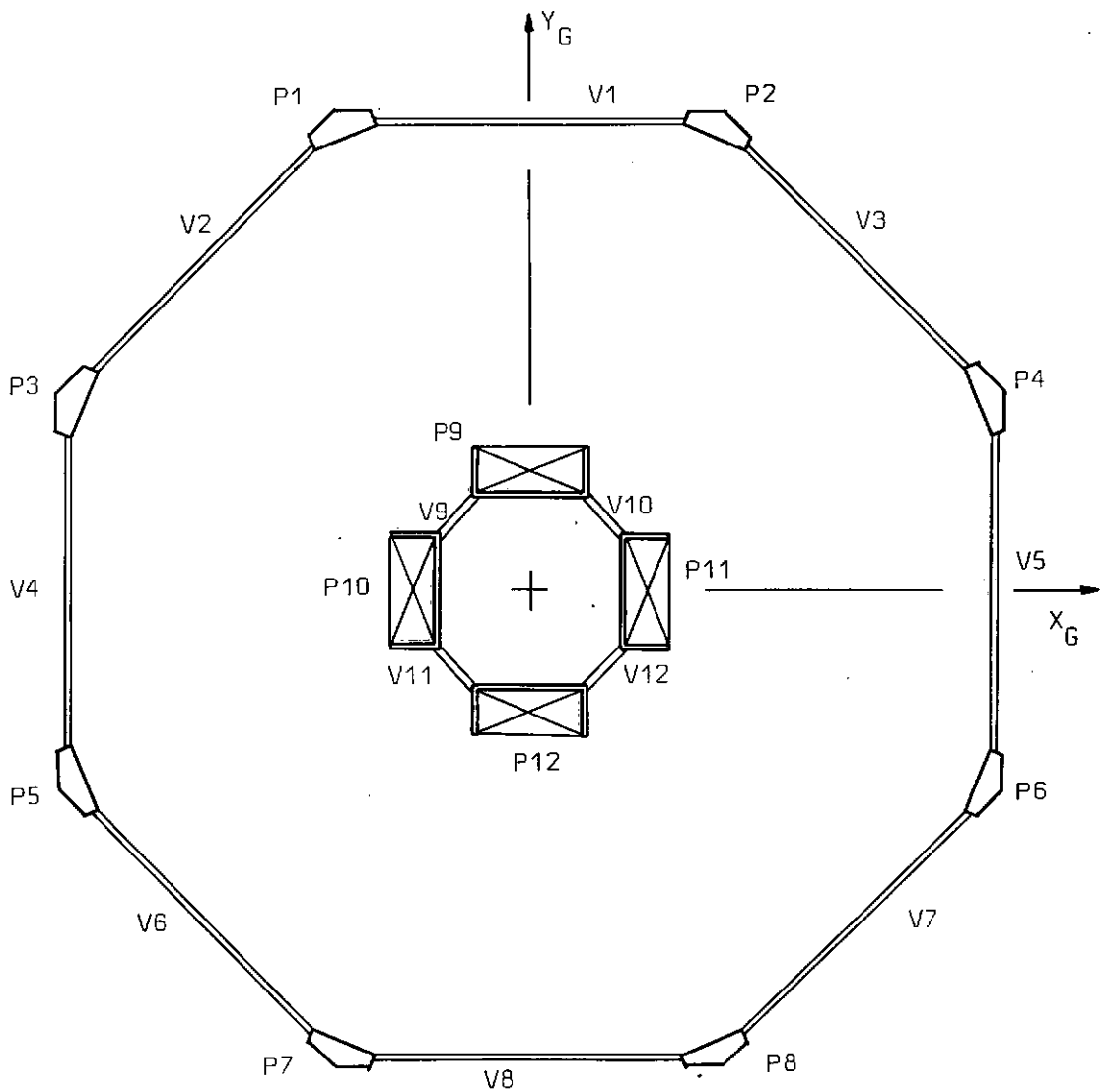


Fig. VII-1 Esquema do pavimento tipo utilizado nas séries de exemplos 1-A e 1-B

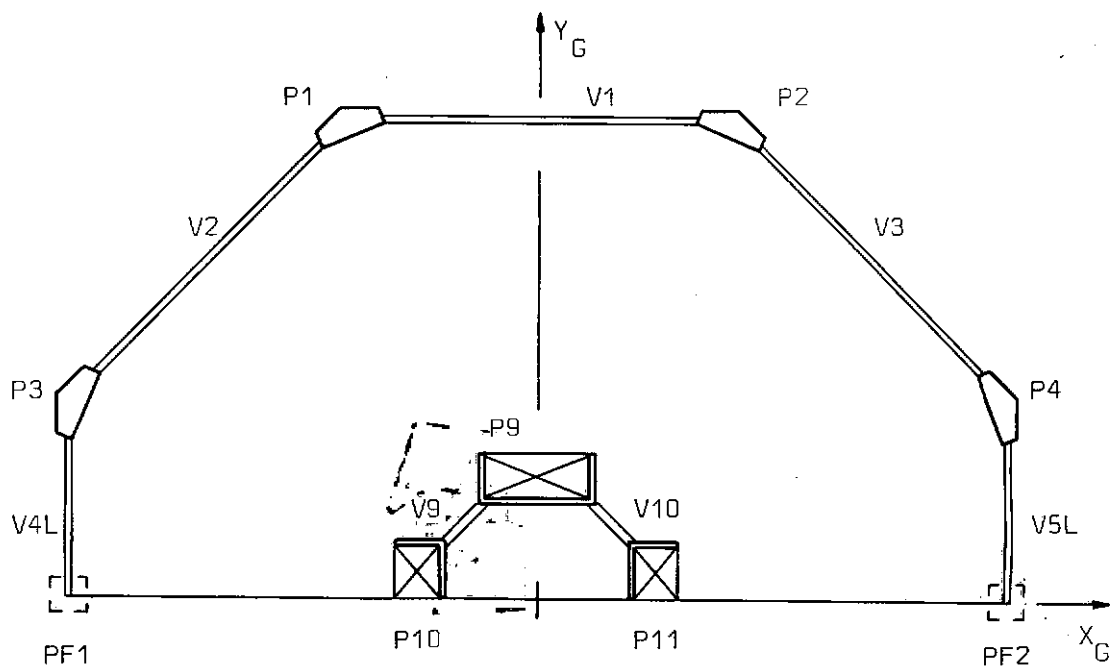


Fig. VII-2 Esquema do pavimento tipo utilizado nos exemplos da série 2

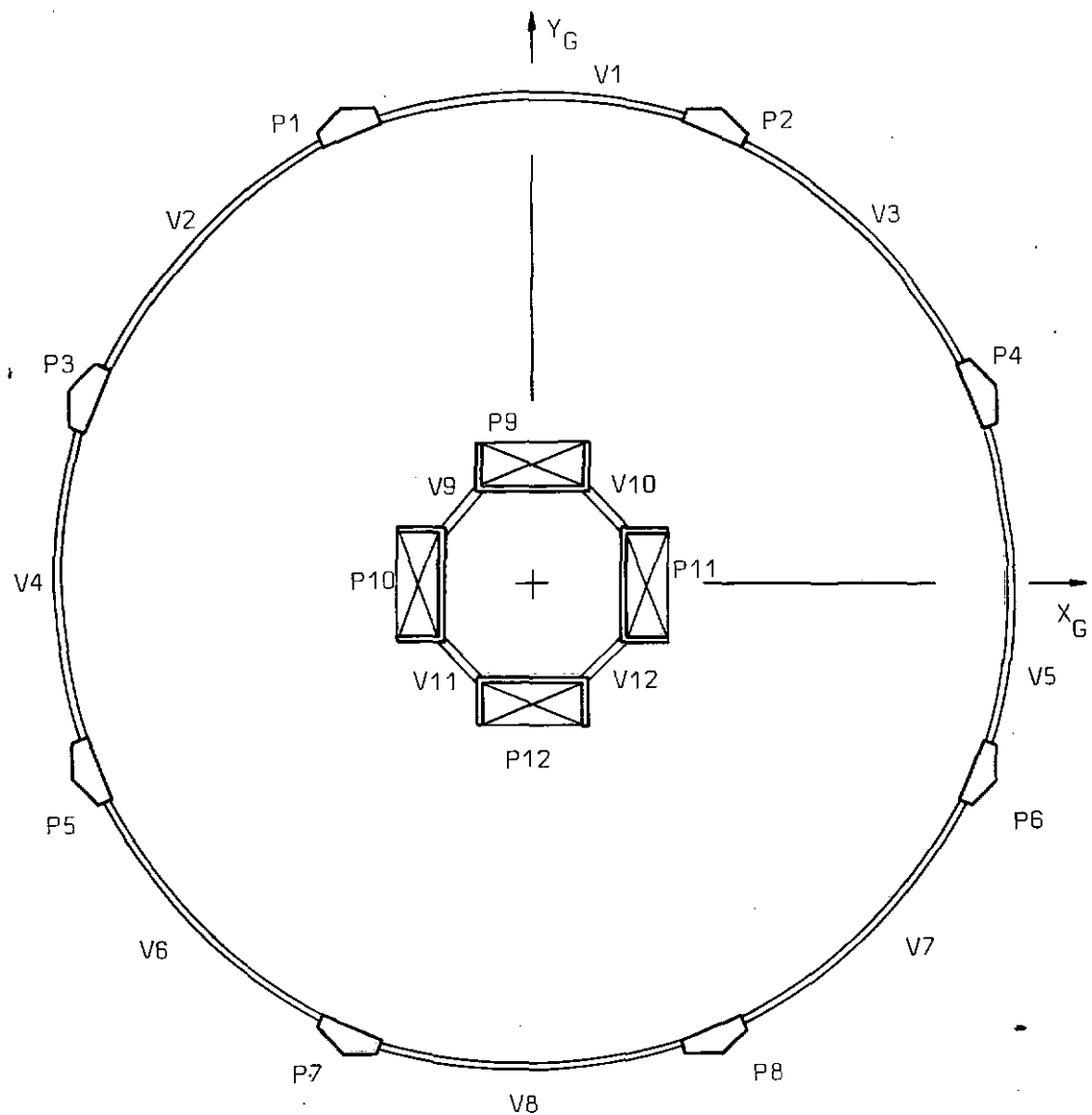


Fig. VII-3 Esquema do pavimento tipo utilizado na série de exemplos 3

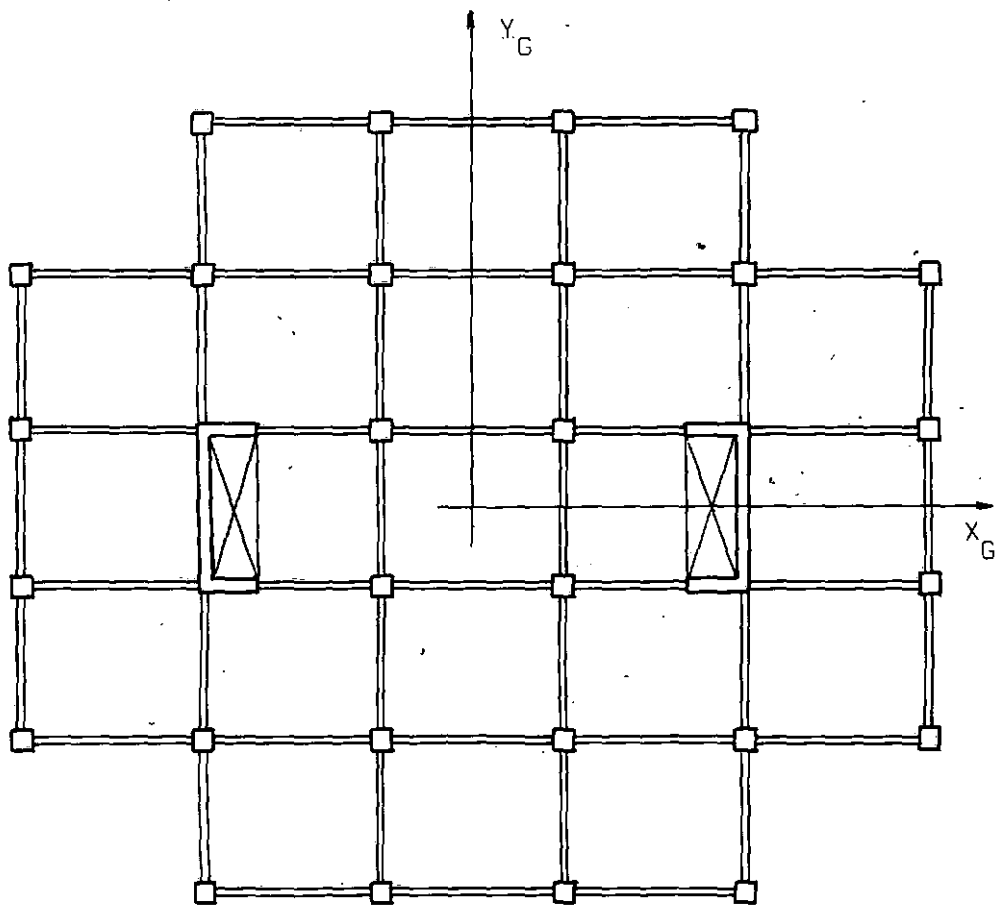


Fig. VII-4 Esquema do pavimento tipo utilizado na série de exemplos 4

Série	Larg. de faixa	Número de andares						
		10	20	30	40	50	60	
1-A	42	TP	1:44	3:34	4:59	7:05	9:15	11:26
		ES	0:34	1:02	1:47	2:26	3:03	3:30
		NE	426	816	1206	1596	1986	2376
		IE	7,54	5,56	4,88	4,53	4,33	4,19
1-B	42	TP	2:08	4:44	6:17	8:08	10:18	12:13
		ES	0:41	1:25	1:56	2:29	2:54	3:44
		NE	426	816	1206	1596	1986	2376
		IE	7,48	5,52	4,82	4,47	4,26	4,12
2	33	TP	1:04	2:29	3:35	4:35	4:50	6:11
		ES	0:26	0:45	1:14	1:23	1:54	2:16
		NE	327	627	927	1227	1527	1827
		IE	16,74	15,43	14,88	14,65	14,42	14,33
3	42	TP	1:57	3:59	5:37	7:59	8:27	10:47
		ES	0:36	1:12	1:51	3:01	3:02	3:37
		NE	426	816	1206	1596	1986	2376
		IE	7,54	5,56	4,88	4,53	4,33	4,19
4	96	TP	11:43	21:43	-	-	-	70 (*)
		ES	3:09	5:43	-	-	-	15 (*)
		NE	1020	1950	-	-	-	5670
		IE	4,86	3,42	-	-	-	2,47
5	66	TP	4:35	8:38	15:19	20:15	25:11	30:51
		ES	1:06	2:49	3:24	5:08	5:09	5:56
		NE	690	1320	1950	2580	3210	3840
		IE	20,80	19,90	19,59	19,44	19,35	19,29

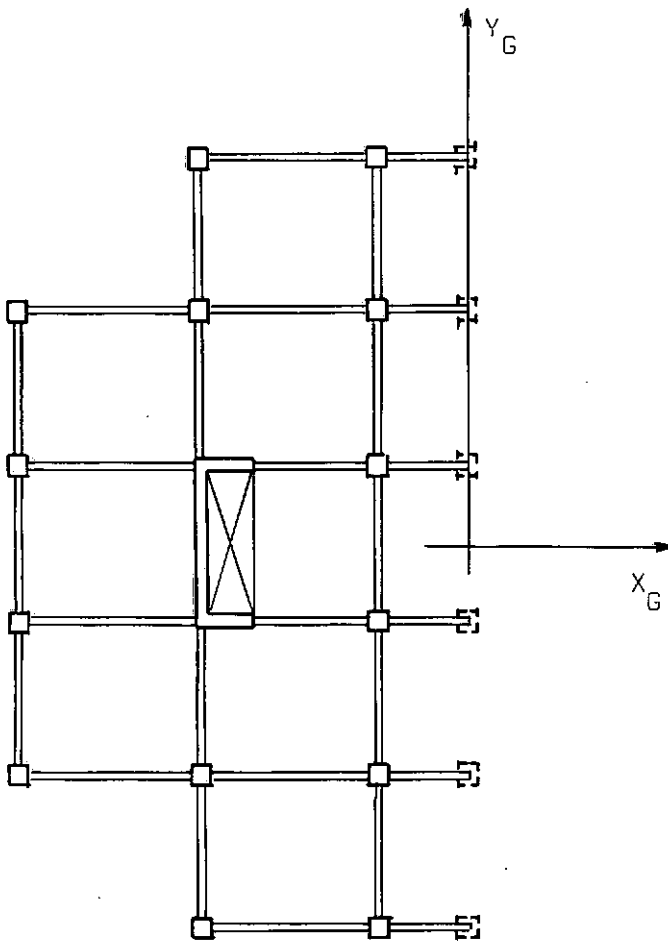


Fig. VII-5 Esquema do pavimento tipo utilizado na série de exemplos 5

Notas relativas ao quadro VII-1 (pág. anterior):

TP - tempo de processamento (min:seg)

ES - tempo de entrada/saída (min:seg)

NE - número de equações

IE - índice de esparsidade (%)

A largura de faixa é a máxima da matriz de rigidez.

(*) - Tempo estimado, baseado no custo do processamento; por motivo ignorado, não foi impresso pelo computador o resumo desse "job".

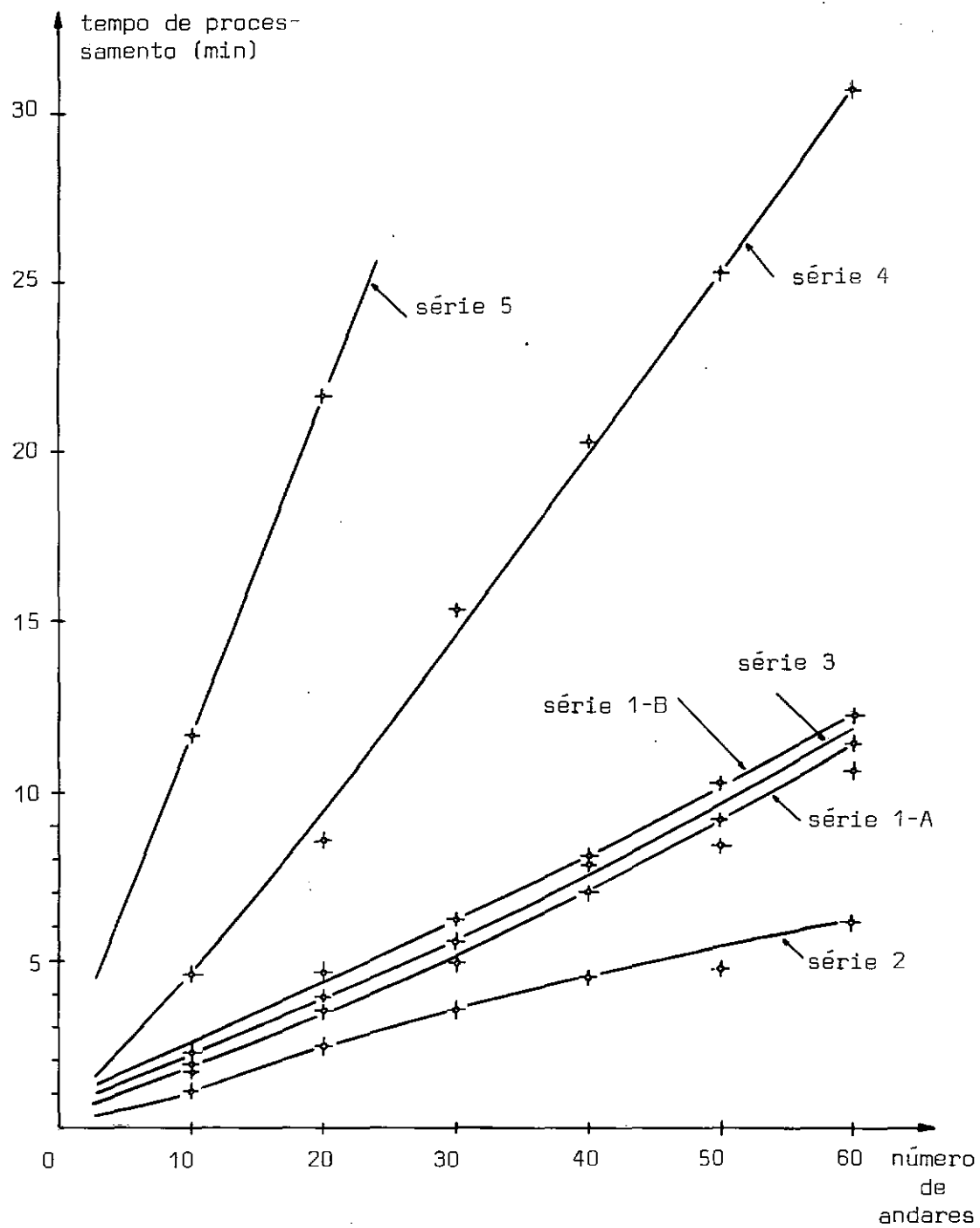


Fig. VII-6 Tempos de processamento das séries de exemplos de estruturas analisadas

VII-2. CONCLUSÕES

O modelo estrutural adotado permite a análise de grande variedade de estruturas de edifícios. A programação desenvolvida permite o acréscimo de novas rotinas para a inclusão de elementos de outras formas geométricas diferentes das que foram estudadas no capítulo (III), bem como outros tipos de carregamento sobre vigas.

O aproveitamento da disposição dos coeficientes não nulos da matriz de rigidez da estrutura, que é de forma escalonada (eq. V-4), e também a observação da característica de faixa de largura variável desta matriz (fig. V-2), possibilitam o armazenamento econômico destes dados na memória central do computador e a consequente redução do preço da análise. Esta economia pode ser verificada pelo exame dos índices de esparsidade obtidos nos exemplos analisados (quadro VII-1), que variaram de 2,47 a 7,54% nas séries 1-A, 1-B, 3 e 4. Ao se aproveitar a condição de simetria da estrutura (confronte-se as séries 2 e 5 respectivamente com 1-A e 4), o aumento do índice de esparsidade foi plenamente compensado pela considerável redução dos tempos de processamento.

A subdivisão do sistema de equações (cap. V) em blocos confere à programação a vantagem de não limitar o número de pavimentos da estrutura que se deseja analisar. (ver item VI-5).

Considera-se que a hipótese da existência de lajes diafragmas e o conceito de deslocamentos de blocos de andares contribuem decisivamente para a boa flexibilidade da programação em aceitar a análise da estruturas de grande porte. Por exemplo, considere-se a estrutura de 60 andares da série 4 de problemas (item VII-1), com 30 nós por pavimento, que conduziu a um sistema de 5670 equações com largura de faixa 96 da matriz de rigidez. Se se trabalhasse com os deslocamentos absolutos

de andares, a largura de faixa máxima seria de 186, e se fossem considerados 6 graus de liberdade por ponto nodal (ou seja, abandonando-se a hipótese das lajes diafragmas) o número de equações elevar-se-ia para 10980, o que além de tornar difícil a análise e de obrigar o uso do recurso da precisão extendida no computador (para minimizar erros de truncamento no processo de cálculo), multiplicaria várias vezes o custo da análise.

Os erros de truncamento nos resultados dos exemplos estudados foram avaliados pela diferença entre as reações de apoio e as cargas solicitantes de cada estrutura (condição de equilíbrio estático). Em nenhum caso estes erros atigiram o valor de 0,01 %, ficando em geral bem abaixo desta porcentagem. Por este motivo, não se chegou a lançar mão do recurso da precisão extendida na programação.

Acredita-se serem úteis o sistema de codificação dos cartões de entrada à programação, apresentado no Apêndice A, bem como o conjunto de testes de consistência de dados realizado durante as etapas de leitura e processamento dos dados.

A P E N D I C E A

MANUAL DE UTILIZAÇÃO DO PROGRAMA "ATEEL"

A - MANUAL DE UTILIZAÇÃO DO PROGRAMA "ATEEL"

A.1 FORMATO DOS CARTÕES DE DADOS

Visando a facilidade nas etapas de codificação e perfuração dos dados de entrada para o programa, adota-se um único formato para todos os cartões. Este formato é o especificado abaixo, e cada campo recebe um nome com o qual será referenciado no decorrer deste manual.

<u>Campo</u>	<u>Colunas</u>	<u>Conteúdo</u>
PC	1 - 5	Palavra chave
A	6 - 8	Dado alfanumérico
I1	9 - 11	Número inteiro
I2	12 - 14	" "
I3	15 - 17	" "
B	18 - 20	Código alfabético
R1	21 - 30	Número real
R2	31 - 40	" "
R3	41 - 50	" "
R4	51 - 60	" "
R5	61 - 70	" "
R6	71 - 80	" "

Não obedecem às especificações acima apenas os cartões destinados a títulos e comentários a serem impressos no relatório de saída.

A seguir serão feitas algumas considerações sobre a forma de se preencher cada um destes campos.

A.1.1 CAMPO PC

O tipo de informação contido em cada cartão é definido por uma palavra chave perfurada no campo PC e pela posição do cartão na massa de dados, conforme será descrito no item A.2. Um cartão com o campo PC deixado em branco (quando for permitido) é interpretado pelo programa como contendo informações do mesmo tipo (ou como continuação) do cartão anterior; assim, em um conjunto de cartões seguidos e de mesmo tipo a palavra chave pode ser omitida a partir do segundo, se se desejar.

A seguir são listadas as palavras de uso permitido no campo PC. Devem ser perfuradas a partir da coluna 1, sendo que apenas os 4 caracteres iniciais são interpretados. Para compreensão do significado da palavra, esta é completada com letras minúsculas:

ESTRUTura	VIGA
CONSTtantes	PILAR
COORDenadas	ANDAR
APEL (APoio ELástico)	CARGA
NO	C*** (comentários)
FLEXIBilidade (matriz)	RECALque (de apoio)
FIM	EXECute

A.1.2 CAMPO A

É destinado a conter um dado alfanumérico qualquer, tal como nomes de vigas (V01, V 1, 4VA, etc.) ou de pilares (P10 , P12, C-2, etc.). Só pode ser utilizado em determinados cartões, a serem definidos adiante.

A.1.3 CAMPOS I1, I2 E I3

Quando for permitido o seu uso, estes campos conterão números inteiros. Cada número inteiro deve ser escrito sem sinal, sem branco entre caracteres e sempre "encostados" à direita de seu campo. Exemplos:

	Correto	Errado
Campo →	↓↓↓	↓↓↓
	102	1 2
	23	23
	1	-1

(Observação: o formato I do FORTRAN permite brancos entre caracteres, interpretando-os como zeros).

A.1.4 CAMPO B

Poderá conter determinados códigos alfabéticos, que serão definidos durante a descrição cartões no item A.2.

A.1.5 CAMPOS R1, R2, R3, R4, R5 E R6

Estes são campos destinados a números reais, com ou sem ponto decimal, com ou sem o sinal negativo e sem branco entre caracteres. Exemplos:

	Correto	Errado
Campo →	↓↓↓↓↓↓↓↓↓↓	↓↓↓↓↓↓↓↓↓↓
	1.43	1. 43
	1	+1
	-.23	- . 23
	300000	300000,00

(Observação: o formato F do FORTRAN interpreta brancos à direita do número como zeros.)

A.2 PREPARAÇÃO DOS DADOS E CODIFICAÇÃO DOS CARTÕES

As informações necessárias à definição completa de um problema são agrupadas em três blocos distintos de cartões de dados:

BLOCO 1 - Dados gerais

BLOCO 2 - Descrição da estrutura

BLOCO 3 - Descrição dos carregamentos

Após o BLOCO 3 pode-se acrescentar o comando de execução (EXEC), caso se deseje a solução do problema. Em seguida pode-se definir um novo problema seguindo-se este mesmo esquema (BLOCOS 1, 2 e 3 e opção para a execução). O comando FIM interrompe o processamento incondicionalmente.

É impressa em relatório uma "imagem" de todos os cartões lidos e, se for o caso, mensagens de erro. O comando EXEC só será aceito quando não for detectado nenhum erro durante a fase de leitura e interpretação dos cartões do problema; no caso contrário o programa passará à leitura do problema seguinte.

Cartões para comentários (C****) podem ser colocados à vontade na massa de dados.

A seguir são examinados um a um os cartões que compõem cada um dos BLOCOS acima citados, descrevendo-se conteúdos, funções e posições relativas entre eles. Para o perfeito entendimento acerca do preenchimento correto de cada cartão, deve-se obedecer às seguintes instruções:

- só devem ser preenchidos os campos indicados por uma seta (+);
- conteúdos colocados entre plicas (') são informações alfabéticas ou alfanuméricas;
- as palavras chaves são escritas com maiúsculas;

Para a leitura deste manual é necessário ter em mente o seguinte:

- Cada cartão recebe uma designação composta pelo número do BLOCO a que pertence e uma letra (por exemplo, 1A, 1B, etc. para os cartões do BLOCO 1) para ser posteriormente referenciado de modo inequívoco. Não é conveniente fazer-se referência à palavra chave, pois esta às vezes tem mais de uma função dentro do BLOCO ou em outro.
- No contexto deste manual, entende-se por "sequência" o cartão que pode seguir-se ao que está sendo definido.
- Os significados das variáveis utilizadas, quando não encontrados no texto deste manual, poderão ser buscados no Apêndice B.
- Todas as numerações (dos nós, dos andares, etc.) devem seguir a ordem dos números naturais.

A.2.1 BLOCO 1 - DADOS GERAIS

Para o preenchimento dos cartões deste bloco são necessários os seguintes procedimentos preliminares:

- a) Escolher um sistema de unidades de medida (por exemplo o metro e a tonelada-força).
- b) Escolher o sistema de referência global da estrutura (eixos X_G Y_G Z_G).
- c) Ter à mão as constantes físicas E , G e γ_e do material da estrutura (este último - peso específico - somente quando se desejar o cálculo automático do peso próprio).
- d) Numerar os nós da estrutura ($nn=1,2,3\dots$) e relacionar as suas coordenadas em planta (X_{nn}, Y_{nn}) no sistema de referência

cia global, obedecendo aos seguintes critérios:

- Todos os pontos nodais cujas projeções verticais sobre o plano $X_G Y_G$ forem coincidentes podem ter o mesmo número (por exemplo, os nós de uma coluna vertical, ou os nós verticalmente alinhados dos extremos de várias vigas em balanço). Exceção a esta regra é o critério seguinte.
- Se uma coluna vertical contínua contiver mudanças da posição do eixo na passagem de um andar para outro, enquanto se mantiver essa continuidade os pontos nodais podem ter o mesmo número (fig. A-1). Neste caso as coordenadas a serem coletadas são as do nó superior (ver também o item A.2.2 k).

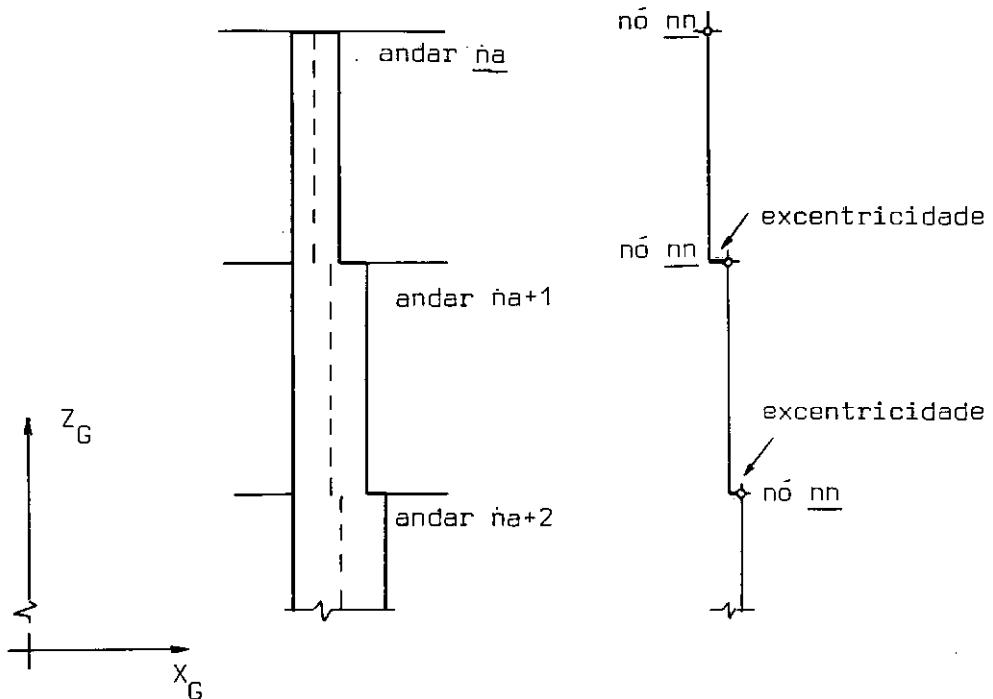


Fig. A-1 Pilar com mudança de eixo no plano $X_G Z_G$

- e) Verificar no projeto as formas das vigas, dentro da seguinte convenção (onde não se cogita o comprimento da peça):
- forma simples: viga de eixo reto e seção transversal constante.
 - forma "CIR": viga de eixo circular e seção transversal constante.
 - forma "MIS": viga de eixo reto com mísulas retas verticais.
 - forma "FLX": viga de outra forma qualquer, aqui considerada como "especial".
- f) Calcular os parâmetros geométricos I_x , I_y e A_z de todas as seções transversais de formas simples, "CIR" e "MIS" e numerá-los ($nsv=1,2,3\dots$) em grupos.
- g) Havendo uma ou mais vigas de formas especiais ("FLX") calcular as matrizes de flexibilidade de um dos extremos de cada viga (F_{VLbb}). Numerar estas matrizes ($nfv=1,2,3\dots$).
- h) Repetir o procedimento e para os pilares, considerando a não existência das formas "CIR" e "MIS".
- i) Calcular os parâmetros geométricos I_x , I_y , I_z , A_z , A_x e A_y de cada seção transversal diferente de forma simples, e numerar cada grupo de valores com $nsp=1,2,3\dots$.
- j) Havendo pilares de formas "FLX", calcular as matrizes de flexibilidade das extremidades superiores, F_{PLaa} , e numerá-las com $nfp=1,2,3\dots$.

* * *

Os cartões do BLOCO 1 são descritos a seguir.

CARTÃO (1A)

Conteúdo:

Campos →	PC	A	I1	I2	I3	B	R1	R2	R3	R4	R5	R6
	↓						↓	↓	↓	↓	↓	↓
	ESTRU	'titulo do problema'										

Função: Armazenamento de um cabeçalho para impressão no relatório.

Posição: É o primeiro cartão do BLOCO 1.

Sequência: (1B).

CARTÃO (1B)

Conteúdo:

Campos →	PC	A	I1	I2	I3	B	R1	R2	R3	R4	R5	R6
	↓						↓	↓	↓			
	CONST	E G γ_e										

Função: Fornecimento das constantes elásticas e do peso específico do material.

Nota: O campo R3 é opcional.

Sequência: (1C).

CARTÃO (1C)

Conteúdo:

Campos →	PC	A	I1	I2	I3	B	R1	R2	R3	R4	R5	R6
	↓						↓	↓	↓	↓	↓	↓
	COORD	$x_1 \quad y_1 \quad x_2 \quad y_2 \quad x_3 \quad y_3$										

Função: Fornecimento das coordenadas dos nós da estrutura.

Nota: Os pares de coordenadas (x, y) devem ser fornecidos na ordem crescente da numeração dos pontos nodais, repetindo-se o cartão tantas vezes quantas forem necessárias para completar a informação.

Sequência: (1C) ou (1D).

CARTÃO (1D)

Conteúdo:

Campos →	PC	A	I1	I2	I3	B	R1	R2	R3	R4	R5	R6
	↓		↓				↓	↓	↓			
	VIGA		nsv				I_x	I_y	A_z			

Função: Armazenamento dos parâmetros geométricos das seções transversais distintas das vigas com formas simples, "CIR" e "MIS".

Nota : O conjunto de cartões (1D) deve ser ordenado segundo a numeração nsv.

Sequência: (1D) ou (1E) ou (1F).

CARTÃO (1E)

Conteúdo:

Campos →	PC	A	I1	I2	I3	B	R1	R2	R3	R4	R5	R6
	↓		↓				↓	↓	↓	↓	↓	↓
	FLEX		nfv				F_{44}	F_{45}	F_{46}	F_{55}	F_{56}	F_{66}

Função: Fornecimento das matrizes de flexibilidade das vigas de forma "FLX".

Notas: O conjunto de cartões (1E) deve ser ordenado segundo a numeração nfv;

F representa um coeficiente de flexibilidade F_{VL} .

Sequência: (1E) ou (1F).

CARTÃO (1F)

Conteúdo:

Campos →	PC	A	I1	I2	I3	B	R1	R2	R3	R4	R5	R6
	↓		↓				↓	↓	↓	↓	↓	↓
	PILAR		nsp				I_x	I_y	I_z	A_z	A_x	A_y

Função: Armazenamento das propriedades geométricas das seções transversais dos pilares de forma simples.

Nota: Ordenar os cartões (1F) segundo a numeração nsp.

Sequência: (1F) ou (1G).

CARTÃO (1G)

Conteúdo:

Campos →	PC	A	I1	I2	I3	B	R1	R2	R3	R4	R5	R6
	↓		↓				↓	↓	↓	↓	↓	↓
	FLEX		nfp				F_{11}	F_{12}	F_{13}	F_{14}	F_{15}	F_{16}
							F_{22}	F_{23}	F_{24}	F_{25}	F_{26}	F_{33}
							F_{34}	F_{35}	F_{36}	F_{44}	F_{45}	F_{46}
							F_{55}	F_{56}	F_{66}			

Função: Fornecimento das matrizes de flexibilidade dos pilares de forma "FLX".

Notas: É necessário um grupo de 4 cartões para se fornecer a matriz de flexibilidade F_{PLaa} . Apenas o primeiro cartão de cada grupo deve conter o número nfp, dispondo-se os vários grupos ordenadamente de acordo com esta numeração.

Sequência: (1G) ou BLOCO 2.

A.2.2 BLOCO 2 - DESCRIÇÃO DA ESTRUTURA

Para o preenchimento dos cartões deste bloco são necessários os seguintes passos iniciais:

- a) Numerar os andares da estrutura ($na=1,2,3,\dots$) a partir do topo do edifício e coletar as alturas dos pés direitos (pd). Consideram-se como pertencentes a um determinado andar as suas vigas e os pilares imediatamente abaixo delas.
- b) Para cada andar ter à mão, se fôr o caso, os coeficientes de rigidez S_{dx} , S_{dy} e $S_{\theta z}$ dos apoios elásticos laterais, respectivamente nas direções das translações segundo X_G e Y_G e da rotação segundo Z_G (movimentos de corpo rígido do andar).
- c) Atribuir nomes às vigas da estrutura, com no máximo 3 ca-

racteres, obedecendo aos seguintes critérios:

- Vigas cujas extremidades são conectadas respectivamente a nós de mesmo número, situadas em andares distintos podem receber o mesmo nome, desde que sejam de mesma forma (simples, "CIR", "MIS" ou "FLX"). Variações no comprimento elástico, provocadas pelas modificações das excentricidades ("trechos rígidos") podem ser ignoradas, no que concerne a esta regra. Há entretanto uma única exceção, considerada no critério seguinte.
- Mesmo enquadradas na regra anterior, as vigas de forma "MIS" que tiverem pelo menos um dos parâmetros H , h , b , λ_a e λ_b diferentes receberão nomes diferentes.

d) Atribuir nomes aos pilares da estrutura, com no máximo 3 caracteres, dentro do seguinte critério:

- Pilares situados em andares distintos cujas extremidades superior e inferior estejam conectadas respectivamente a pontos nodais de mesmo número podem ter o mesmo nome, desde que sejam de mesma forma (simples ou "FLX"). Variações na altura do pé direito de um andar para outro não constituem motivo para a fuga deste critério. A figura (A-2) ilustra este procedimento.

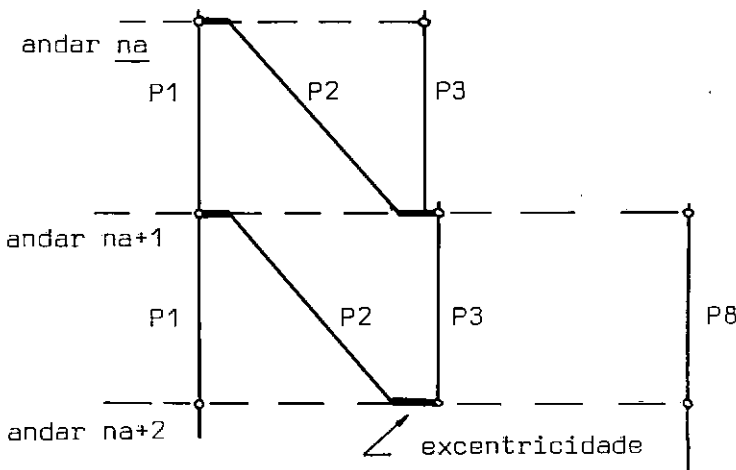


Fig. A-2 Nomes de pilares da estrutura

- e) Para cada viga, estabelecer o sistema de referência local $x_L \ y_L \ z_L$, definindo também a extremidade inicial i e a final f . Para uma viga de forma especial ("FLX"), a extremidade final é obrigatoriamente aquela para a qual foi calculada a matriz de flexibilidade F_{VLbb} .
- f) Medir as excentricidades das extremidades das vigas em relação aos pontos nodais, (x_i, y_i) e (x_f, y_f) , conforme ilustrado na figura (IV-1).
- g) No caso da viga ser de forma "CIR", medir o angulo ϕ , que será positivo se a concavidade do elemento estiver de acordo com a figura (III-3), ou negativo no caso contrário.
- h) Para cada viga de forma "MIS" medir os parâmetros geométricos H, h, b, λ_a e λ_b (fig. III-2).
- i) Preparar uma tabela de vigas, por andar, contendo:
 - nome ('v').
 - nós inicial (nn_i) e final (nn_f).
 - número da seção transversal (nsv), ou da matriz de flexibilidade (nfv).
 - forma (simples, "CIR", "MIS" ou "FLX").
 - excentricidades (x_i, y_i, x_f, y_f) .
 - angulo ϕ (para vigas de forma "CIR").
 - valores de H, h, b, λ_a e λ_b (forma "MIS").
- j) Definir o sistema de referência local de cada pilar, $x_L \ y_L \ z_L$.
- k) Medir, em cada pilar, as excentricidades de seus extremos em relação aos nós inferior (x_i, y_i) e superior (x_s, y_s) , observando-se o seguinte:
 - Se ambos os nós, inferior e superior, tiverem o mesmo número (nn), após o processamento do andar em que se situa o pilar as coordenadas (x_{nn}, y_{nn}) serão alteradas para $(x_{nn}+x_i, y_{nn}+y_i)$. A figura (A-1) esclarece o motivo desta alteração.

- l) Medir o ângulo γ de cada pilar inclinado (fig. VI-4).
- m) Preparar uma lista dos pilares da estrutura, por andar, relacionando:
- nome ('p').
 - número do nó superior (nn_s) e do nó inferior (nn_i).
 - número da seção transversal (nsp) ou da matriz de flexibilidade (nfp).
 - forma da seção (simples ou "FLX").
 - angulo γ (para pilar inclinado).
 - excentricidades (x_i, y_i) e (x_f, y_f) das extremidades inferior e superior.
- n) Relacionar os pontos nodais (nn_e) da base da estrutura correspondentes aos apoios elásticos, bem como os respectivos coeficientes de rigidez $S_{\theta x}$, $S_{\theta y}$ e S_{dz} (direções dos graus de liberdade independentes de nó).

* * *

Segue-se a descrição dos cartões do BLOCO 2.

CARTÃO (2A) - ANDAR

Conteúdo:

Campos →	PC	A	I1	I2	I3	B	R1	R2	R3	R4	R5	R6
	↓		↓				↓					
	ANDAR		na					pd				

Função: Definição do número de um andar e da altura do pé direito. As informações contidas nos cartões seguintes são consideradas como relacionadas ao andar na, até a ocorrência de um novo cartão (2A).

Notas: Os andares são definidos a partir de na=1;

Se um andar for rigorosamente idêntico ao anterior (mesma altura, mesmas vigas e pilares igualmente dispostos e de mesmas formas, seções transversais, etc.), o cartão (2A) pode ser omitido para aquele andar. O último andar, entretanto, deve ser definido.

Se na \neq 1 e o valor de pd é o mesmo do andar anterior, o campo R1 pode ser deixado em branco.

Posição: Sendo na=1, é o primeiro cartão do BLOCO 2.

Sequência: Para na=1, (2B) ou (2C) ou (2D).

Para na \neq 1, qualquer cartão deste bloco, ou então o BLOCO 3.

CARTÃO (2B) - APOIOS ELÁSTICOS DE ANDAR

Conteúdo:

Campos →	PC	A	I1	I2	I3	B	R1	R2	R3	R4	R5	R6
	↓						↓	↓	↓	↓	↓	↓
	APEL						{S _{dx} e}	{S _{dy} e}	{S _{θz} e}			

Função: Fornecimento dos coeficientes de rigidez dos apoios elásticos laterais do andar na.

Notas: Normalmente os coeficientes S em questão devem ser escritos nos campos R1, R3 e R5. Po-

rém se se desejar escrevê-los na forma:

$$S = S_o \cdot 10^e,$$

então aqueles campos são destinados aos valores de S_o e os campos R2, R4 e R6 aos dos exponents e .

Sequência: Se $na=1$, (2C) ou (2D).

Se $na \neq 1$, qualquer cartão do mesmo bloco exceto (2B), ou o BLOCO 3.

CARTÃO (2C) - DEFINIÇÃO DE VIGA

Conteúdo:

Campos →	PC	A	I1	I2	I3	B	R1	R2	R3	R4	R5	R6
	↓	↓	↓	↓	↓	↓	↓	↓	↓	↓	↓	↓
VIGA	'v'	nn _i	nn _f	nv	'f'	x _i	y _i	x _f	y _f	ϕ		
						H	h	b	λ_a	λ_b		

Função: Definir uma viga do andar na.

Notas: nv=nsv se a viga for da forma simples, "CIR", ou "MIS".

nv=nfv se a viga for da forma "FLX".

'f' = ' ' para a forma simples;

'f' = 'CIR' para a forma "CIR";

'f' = 'MIS' para a forma "MIS";

'f' = 'FLX' para a forma "FLX".

O campo R5 só é preenchido para a forma "CIR".

Uma viga de forma "MIS" requer um cartão adicional, para a definição de H, h, b, λ_a e λ_b .

Se a viga 'v' se repetir nos andares seguintes sem qualquer modificação, não se precisa redefini-la.

Sequência: Se $na = 1$, (2C) ou (2D).

Se $na \neq 1$, qualquer cartão deste bloco exceto (2B), ou o BLOCO 3.

CARTÃO (2D) - DEFINIÇÃO DE PILAR

Conteúdo:

Campos →	PC	A	I1	I2	I3	B	R1	R2	R3	R4	R5	R6
	↓	↓	↓	↓	↓	↓	↓	↓	↓	↓	↓	↓
	PILAR 'p'	nn_s	nn_i	np	'f'	γ	x_i	y_i	x_s	y_s		

Função: Definir um pilar do andar na.

Notas: $np = nsp$ se a forma fôr simples;

$np = nfp$ se a forma fôr "FLX".

'f' = ' ' para a forma simples;

'f' = 'FLX' para a forma "FLX".

se $nn_s = nn_i$ pode-se deixar o campo I2 em branco.

Se o pilar for vertical, deixar o campo R1 em branco.

Se o pilar 'p' se repetir nos andares seguintes sem qualquer modificação, não é necessário redefini-lo.

Sequência: (2A), (2D), (2F), (2H), (2I) ou BLOCO 3.

CARTÃO (2E) - MODIFICAÇÃO DE VIGA

Conteúdo:

Campos →	PC	A	I1	I2	I3	B	R1	R2	R3	R4	R5	R6
	↓	↓			↓		↓	↓	↓	↓	↓	↓
VIGA	'v'				nv		x_i	y_i	x_f	y_f	ϕ	

Função:

A partir do andar na ao qual se relaciona o cartão, a viga 'v' terá algumas de suas características modificadas, a saber:

- se o campo I3 é não branco, será modificada a seção transversal, para vigas de forma simples ou CIR, ou a matriz de flexibilidade para vigas de forma 'FLX'.
- se pelo menos um dos campos R1, R2, R3 e R4 fôr não branco, serão modificadas todas as excentricidades dos extremos da viga em relação aos pontos nodais.
- se a viga é de forma CIR e o campo R5 contém algum valor, será modificado o ângulo central da viga.

Notas:

nv = nsv para vigas de formas simples ou CIR.

nv = nfv para vigas de forma FLX.

Não se permite modificações em vigas de forma MIS.

Sequência:

Qualquer cartão do bloco exceto (2B), ou o BLOCO 3.

CARTÃO (2F) - MODIFICAÇÃO DE PILAR

Conteúdo:

Campos →	PC	A	I1	I2	I3	B	R1	R2	R3	R4	R5	R6
	↓	↓			↓		↓	↓	↓	↓	↓	↓
	PILAR 'p'				np		γ	x_i	y_i	x_s	y_s	

Função:

A partir do andar na ao qual se relaciona o cartão, o pilar 'p' terá algumas de suas características modificadas, a saber:

- se o campo I3 é não branco, será modificada a seção transversal para pilares simples ou a matriz de flexibilidade para pilares de forma especial.
- se pelo menos um dos campos R indicados estiver preenchido, todos os parâmetros aí indicados serão modificados.

Notas:

np = nsp para pilares de forma simples;
 np = nfp para pilares especiais ("FLX").

Sequência: (2A), (2D), (2F), (2H), (2I) ou BLOCO 3.

CARTÃO (2G) - SUPRESSÃO DE VIGA

Conteúdo:

Campos →	PC	A	I1	I2	I3	B	R1	R2	R3	R4	R5	R6
	↓	↓										
	VIGA 'v'											

Função:

A viga de nome 'v' é suprimida a partir do andar na ao qual se relaciona a informação.

Sequência: Qualquer cartão do bloco exceto (2B), ou o BLOCO 3.

CARTÃO (2H) - SUPRESSÃO DE PILAR

Conteúdo:

Campos →	PC	A	I1	I2	I3	B	R1	R2	R3	R4	R5	R6
	↓	↓										
	PILAR	'p'										

Função: O pilar de nome 'p' é retirado a partir do andar na para o qual a informação é válida.

Sequência: (2A), (2D), (2F), (2H), (2I) ou BLOCO 3.

CARTÃO (2I) - APOIOS ELÁSTICOS DA BASE

Conteúdo:

Campos →	PC	A	I1	I2	I3	B	R1	R2	R3	R4	R5	R6
	↓	↓	↓	↓	↓	↓	↓	↓	↓	↓	↓	↓
	APEL	nn					{S _{θx} e}	{S _{θy} e}	{S _{dz} e}			

Função: Definição dos coeficientes de rigidez dos apoios elásticos da base da estrutura.

Notas: Ver "notas" do cartão (2B).

Posição: Se houverem apoios elásticos deste tipo, os cartões (2I) devem ser os últimos do bloco.

Sequência: BLOCO 3.

A.2.3 BLOCO 3 - DESCRIÇÃO DOS CARREGAMENTOS

São os seguintes os procedimentos iniciais para a codificação dos cartões deste bloco:

- a) Atribuir uma numeração aos vários casos de carregamento a serem aplicados à estrutura ($nc = 1, 2, 3, \dots$). As instruções a seguir devem ser observadas para cada um destes casos separadamente.
- b) Dar um nome ao caso de carregamento.
- c) Verificar se se deseja o cálculo automático do peso próprio da estrutura (peso de vigas e de pilares).
- d) Listar as cargas laterais F_x , F_y e M_z que atuarão sobre cada andar, no referencial global da estrutura.
- e) Para cada andar, listar as cargas F_z , M_x e M_y que atuarão sobre os nós, no referencial global. Atribuir a F_z o sinal positivo se o sentido da carga for para baixo.
- f) Para cada viga, relacionar os carregamentos que nela serão aplicados, adotando as seguintes convenções:

- Para vigas de forma "simples":

CCZ - carga concentrada na direção Z_L :

P - valor da carga

a - distância da extremidade inicial ao ponto de aplicação da carga

CDZ - carga uniformemente distribuída vertical:

q - valor da carga

a - distância da extremidade inicial ao ponto de início do carregamento

b - idem, ao ponto final da linha de carga.

CTZ - Carga linearmente distribuída ("trapezoidal"), na direção vertical:

p_a - valor inicial do carregamento

p_b - valor final do carregamento

a - distância do início da viga ao início do carregamento

b - distância do ponto inicial da viga ao ponto final da carga

MCX - Momento torsor (na direção X_L):

t - valor da carga

a - distância do extremo inicial da viga ao ponto de aplicação do momento

MCY - Momento fletor aplicado (direção Y_L):

m - valor da carga

a - distância entre o início da viga e a posição do momento

- Para vigas de forma "MIS":

CCZ - carga concentrada vertical:

P - valor da carga

a - mesmos significados anteriores

CDZ - carga uniformemente distribuída total:

q - valor da carga

- Para vigas de forma "CIR":

CCZ - carga concentrada vertical:

P - valor da carga

α - ângulo central entre o meio da viga e o ponto de aplicação da carga (positivo no sentido horário)

CDZ - carga uniforme total:

q - valor da carga

- Para vigas de formas especiais ("FLX"):

FLX - carga qualquer:

A_{EL} - esforços de engastamento perfeito, no sistema de referência local

- g) Listar os valores dos recalques prescritos dos apoios da base do edifício, no sistema de referência global, ou seja, as rotações δ_x e δ_y e a translação vertical δ_z .

* * *

Nas páginas seguintes são mostrados os cartões do BLOCO

CARTÃO (3A) - DEFINIÇÃO DE UM CASO DE CARREGAMENTO

Conteúdo:

Campos →	PC	A	I1	I2	I3	B	R1	R2	R3	R4	R5	R6
	↓		↓			↓	↓	↓	↓	↓	↓	↓
	CARGA	nc			'g'	'título'						

Função: Define o número do caso de carregamento, seu título e opção para o cálculo automático do peso próprio das vigas e pilares.

Notas: Havendo andares carregados lateralmente, nós e vigas com cargas ou recalques prescritos, a descrição destes deve seguir-se imediatamente após este cartão.

Os casos de carregamento devem ser fornecidos na ordem crescente da numeração nc.

'g' = 'PPR' se se quer considerar o peso próprio dos elementos estruturais; no caso contrário o campo B é deixado em branco.

Posição: Quando nc = 1, é o primeiro cartão do bloco.

Sequência: (3A), (3B), ou cartão EXEC, ou ainda os cartões de um novo problema (1A).

CARTÃO (3B) - DEFINIÇÃO DE ANDAR CARREGADO

Conteúdo:

Campos →	PC	A	I1	I2	I3	B	R1	R2	R3	R4	R5	R6
	↓		↓				↓	↓	↓			
	ANDAR	na					F _x	F _y	M _z			

- Função:** Define um andar carregado (na), correspondente ao caso nc de carregamento do cartão (3A).
- Notas:** Omitindo-se este cartão para um andar qualquer $na \neq 1$, considera-se que os nós e as vigas desse andar são carregados como no andar anterior.
- Antes de se definir algum recalque de apoio, é preciso um cartão (3B) com o número do último andar (se já não houver um).
- Sequência:** (3A), (3B), (3C), (3D), (3E) (ver nota acima), EXEC ou (1A).

CARTÃO (3C) - CARGAS SOBRE UM NÓ

Conteúdo:

Campos →	PC	A	I1	I2	I3	B	R1	R2	R3	R4	R5	R6
	↓		↓				↓	↓	↓			
	NO		nn					F _Z	M _X	M _Y		

- Função:** Dar as cargas que atuam no nó nn do andar na numerado no último cartão (3B).
- Sequência:** (3A), (3B), (3C), (3D), (3E), EXEC ou (1A).

CARTÃO (3D) - CARGAS SOBRE AS VIGAS

São vários os possíveis conteúdos deste cartão, dependendo da forma da viga e do tipo de carregamento. Deve-se recorrer às instruções contidas no item A.2.3 f para compreendê-los.

Conteúdos:

Campos →	PC	A	I1	I2	I3	B	R1	R2	R3	R4	R5	R6
	↓	↓				↓	↓	↓	↓	↓	↓	↓
VIGA	'v'					CCZ	P	a				
VIGA	'v'					CDZ	q	a	b			
VIGA	'v'					CTZ	p _a	a	p _b	b		
VIGA	'v'					MCX	t	a				
VIGA	'v'					MCY	m	a				
VIGA	'v'					CCZ	P	α				
VIGA	'v'					FLX	A _{EL1} A _{EL2} A _{EL3} A _{EL4} A _{EL5} A _{EL6}					

Função: Descrever as cargas sobre as vigas.

Nota: Para carga distribuída uniformemente (CDZ) ou linearmente (CTZ), se b = L o campo correspondente pode ser deixado em branco.

Sequência: (3A), (3B), (3D), (3E), EXEC ou (1A).

CARTÃO (3E) - RECALQUES DOS APOIOS

Conteúdo:

Campos →	PC	A	I1	I2	I3	B	R1	R2	R3	R4	R5	R6
	↓	↓				↓	↓	↓				
RECAL		nn					δ _x	δ _y	δ _z			

Função: Define os recalques prescritos do apoio nn.

Sequência: (3A), EXEC ou (1A).

A.2.3 CARTÕES COMPLEMENTARES

CARTÃO EXEC

Conteúdo:

Campos →	PC ↓	A	I1	I2	I3	B	R1	R2	R3	R4	R5	R6
		EXEC										

Função: Comanda a execução do problema.

Nota: Se omitido, obter-se-á apenas a listagem dos cartões do problema e eventuais mensagens de erros.

Sequência: (1A).

CARTÃO COMENTÁRIO

Conteúdo:

Campos →	PC ↓	A ↓	I1 ↓	I2 ↓	I3 ↓	B ↓	R1 ↓	R2 ↓	R3 ↓	R4 ↓	R5 ↓	R6 ↓

C*** 'comentários'

Função: Inclusão, na listagem, dos comentários que o usuário julgar interessantes para a sua documentação.

Sequência: Qualquer cartão.

CARTÃO FIM

Conteúdo:

Campos →	PC	A	I1	I2	I3	B	R1	R2	R3	R4	R5	R6
	↓											
												FIM

Função: Interrompe o processamento (termina o "job").

A-3. LISTA DAS MENSAGENS DE ERRO

<u>Código</u>	<u>Mensagem</u>
SQ-1	CARTÃO FORA DA SEQUÊNCIA PERMITIDA
S-1	PALAVRA CHAVE NÃO RECONHECIDA
S-2	NÚMERO REAL ERRADO
S-3	NÚMERO INTEIRO ERRADO
C-1	CAMPO INDEVIDAMENTE PREENCHIDO NO CARTÃO DE CONSTANTE
C-2	'E' OU 'G' NÃO DEFINIDO NO CARTÃO DE CONSTANTES
CD-1	CAMPO INDEVIDAMENTE PREENCHIDO NO CARTÃO DE COORDENADAS
TV-1	CAMPO INDEVIDAMENTE PREENCHIDO NO CARTÃO DE SEÇÃO-TIPO DE VIGA
TV-2	NENHUM PARÂMETRO DEFINIDO NO CARTÃO DE SEÇÃO-TIPO DE VIGA
TV-3	ERRO DE SEQUÊNCIA NA NUMERAÇÃO DA SEÇÃO-TIPO DE VIGA
TP-1	CAMPO INDEVIDAMENTE PREENCHIDO NO CARTÃO DE SEÇÃO-TIPO DE PILAR
TP-2	NENHUM PARÂMETRO DEFINIDO NO CARTÃO DE SEÇÃO-TIPO DE PILAR
TP-3	ERRO DE SEQUÊNCIA NA NUMERAÇÃO DA SEÇÃO-TIPO DE PILAR
A-1	CAMPO INDEVIDAMENTE PREENCHIDO NO CARTÃO DE ANDAR
A-2	ERRO DE SEQUÊNCIA NA NUMERAÇÃO DO ANDAR
A-3	ALTURA DO PÉ DIREITO NÃO DEFINIDO NO PRIMEIRO ANDAR
V-1	CAMPO INDEVIDAMENTE PREENCHIDO NO CARTÃO DE VIGA
V-2	NOME DA VIGA NÃO DEFINIDO NO CARTÃO
V-3	NÓ INICIAL, FINAL, OU SEÇÃO DE VIGA INDEFINIDO
V-4	NÓ INICIAL IGUAL AO NÓ FINAL NA DEFINIÇÃO DA VIGA
V-5	NÚMERO DO NÓ INICIAL E/OU FINAL MAIOR QUE O NÚMERO DE COORDENADAS
V-6	NÚMERO DA SEÇÃO DA VIGA MAIOR QUE O MÁXIMO DEFINIDO

<u>Código</u>	<u>Mensagem</u>
V-7	MAIS DE UMA REFERÊNCIA À MESMA VIGA NESTE ANDAR
V-8	NÓ DEFINIDO EM OPERAÇÃO DE MODIFICAÇÃO OU SUPRESSÃO DE VIGA
V-9	CÓDIGO DA FORMA DA VIGA NÃO RECONHECIDO
V-10	VIGA DE FORMA ESPECIAL - MATRIZ DE FLEXIBILIDADE NÃO DEFINIDA
V-11	NÃO É PERMITIDO MUDAR A FORMA DA VIGA
V-12	NÃO SÃO PERMITIDAS MODIFICAÇÕES EM VIGA COM MÍSULAS
V-13	FALTAM PARÂMETROS GEOMÉTRICOS DA VIGA COM MÍSULAS
V-14	CAMPO INDEVIDAMENTE PREENCHIDO PARA A VIGA COM MÍSU- LAS
P-1	CAMPO INDEVIDAMENTE PREENCHIDO NO CARTÃO DE PILAR
P-2	NOME DO PILAR NÃO DEFINIDO NO CARTÃO
P-3	NÓ OU SEÇÃO TRANSVERSAL DO PILAR INDEFINIDO
P-4	NÚMERO DE UM NÓ DO PILAR MAIOR QUE O DA MÁXIMA COOR- DENADA
P-5	NÚMERO DA SEÇÃO TRANSVERSAL DO PILAR MAIOR QUE O MÃ- XIMO DEFINIDO
P-6	MAIS DE UMA REFERÊNCIA AO MESMO PILAR NESTE ANDAR
P-7	NÓS DEFINIDOS EM OPERAÇÃO DE MODIFICAÇÃO OU SUPRES- SÃO DE PILAR
P-8	CÓDIGO DA FORMA DO PILAR NÃO RECONHECIDO
P-9	NÃO SE PERMITE MODIFICAÇÃO DA FORMA DO PILAR
P-10	PILAR ESPECIAL COM MATRIZ DE FLEXIBILIDADE NÃO DEFI- NIDA
P-11	NENHUM PILAR FOI DEFINIDO NO PRIMEIRO ANDAR
CG-1	NUMERAÇÃO DO CARREGAMENTO FORA DE SEQUÊNCIA
CG-2	CAMPO INDEVIDAMENTE PREENCHIDO NO CARTÃO DE CARGA
CG-3	NÃO FOI LIDO NENHUM CARREGAMENTO. CANCELADO.
CA-1	CAMPO INDEVIDAMENTE PREENCHIDO NO CARTÃO DE CARGA SO- BRE ANDAR
CA-2	ERRO DE SEQUÊNCIA NA NUMERAÇÃO DO ANDAR CARREGADO
CV-1	CAMPO INDEVIDAMENTE PREENCHIDO NO CARTÃO DE CARGA SO- BRE A VIGA

<u>Código</u>	<u>Mensagem</u>
CV-2	NOME DA VIGA NÃO DEFINIDO NO CARTÃO DE CARGA
CV-3	NOME DE VIGA CARREGADA NÃO DEFINIDO NA ESTRUTURA
CV-4	TIPO DE CARGA NÃO RECONHECIDO
CV-5	DESCARREGAMENTO DE UMA VIGA NÃO CARREGADA ANTES
CV-6	PARAMETROS DA CARGA NÃO DEFINIDOS NO CARTÃO
CN-1	CAMPO INDEVIDAMENTE PREENCHIDO NO CARTÃO DE CARGA EM NÓ
CN-2	CARGA SOBRE UM NÓ NÃO DEFINIDO NA ESTRUTURA
CN-3	NENHUM PARÂMETRO DE CARGA DEFINIDO NO CARTÃO
CN-4	MAIS DE UMA REFERÊNCIA AO MESMO NÓ NESTE ANDAR
FV-1	CAMPO INDEVIDAMENTE PREENCHIDO OU DEIXADO EM BRANCO
FV-2	NUMERAÇÃO DA MATRIZ DE FLEX. FORA DE SEQUÊNCIA
FP-1	CAMPO INDEVIDAMENTE PREENCHIDO OU DEIXADO EM BRANCO
FP-2	MATRIZ DE FLEXIBILIDADE DE PILAR INCOMPLETA
FP-3	NUMERAÇÃO DA MATRIZ DE FLEXIBILIDADE DE PILAR FORA DE SEQUÊNCIA
DP-1	DESLOCAMENTO PRESCRITO EM APOIO NÃO EXISTENTE
AE-1	ESTE APOIO ELÁSTICO FOI DEFINIDO ANTES
DP-2	RECALQUE DE APOIO SÓ PODE SER DEFINIDO NO ANDAR TÉR- REO
DP-3	OS RECALQUES DESTE APOIO FORAM DEFINIDOS ANTES
DI-1	REDIMENSIONE O VETOR X EM COMMON. MODIFIQUE TAMBÉM ESTE TESTE
DI-2	REDIMENSIONE O VETOR NVP EM COMMON. MODIFIQUE TAMBÉM ESTE TESTE
DI-3	REDIMENSIONE O VETOR B EM COMMON. MODIFIQUE TAMBÉM ESTE TESTE
DI-4	REDIMENSIONE O VETOR NVPA EM COMMON. MODIFIQUE TAM- BÉM ESTE TESTE
EX-1	ELEMENTO NULO OU NEGATIVO NA DIAGONAL PRINCIPAL. *** CANCELADO *** O ERRO OCORREU NO ANDAR . . . , NÓ . . .

A P P E N D I C E B

NOMENCLATURA

NOMENCLATURA

Principais notações:

- x_G, y_G, z_G - eixos do sistema de referência global
- x_L, y_L, z_L - eixos de um sistema de referência local
- E - módulo de elasticidade longitudinal
- G - módulo de elasticidade transversal
- L - vão elástico de viga ou pilar
- $x_i, y_i, x_f, y_f, x_s, y_s$ - excentricidades dos extremos dos elementos em relação aos nós
- I_x, I_y, I_z - momentos de inércia (à flexão e à torção)
- A_x, A_y, A_z - áreas (efetiva ou para efeito do esforço cortante) de uma seção transversal
- f - fator de forma para cortante
- ϕ - ângulo central de viga de eixo circular
- α, β, γ - ângulos que relacionam sistemas de referência local e global
- $\theta_x, \theta_y, \delta_z$ - deslocamentos prescritos (recalques)
- S - matriz de rigidez
- \mathbf{A} - vetor de cargas
- \mathbf{D} - vetor de deslocamentos
- \mathbf{R} - matriz de rotação
- \mathbf{T} - matriz de transformação
- \mathbf{F} - matriz de flexibilidade
- \mathbf{F}_A - reações de apoio

Índices utilizados:

- V - de viga
- P - de pilar
- G - relativo ao sistema de referência global
- L - relativo ao sistema de referência local
- T - relativo à multiplicação por matriz de transformação
- R - relativo à multiplicação por matriz de rotação

A P E N D I C E C

LISTAGEM DO PROGRAMA

```

$RESET FREE
C *** ARQUIVO PARA TITULOS
FILE 4(KIND=PACK,MAXRECSIZE=15,FILETYPE=7)
C *** ARQUIVO DE LEITURA
FILE 5=CARTAO,UNIT=READER
C *** ARQUIVO DE ERROS
FILE 6(KIND=PACK,TITLE=="ATEEL/ERROS.",FILETYPE=7)
C *** ARQUIVO DE GRAVACAO DE MATRIZ DE RIGIDEZ
FILE 7(KIND=PACK,FILETYPE=6)
FILE 8=IMPRESS,UNIT=PRINTER
C *** ARQUIVO DE GRAVACAO DE DESLOCAMENTOS
FILE 9(KIND=PACK,FILETYPE=6)
C *** ARQUIVO DE MATRIZ SEMI-TRANSFORMADA DE VIGA
FILE 10(KIND=PACK,MAXRECSIZE=39,FILETYPE=7)
C *** ARQUIVO DE MATRIZ SEMI-TRANSFORMADA DE PILAR
FILE 11(KIND=PACK,MAXRECSIZE=91,FILETYPE=7)
C ***** PROGRAMA ATEEL ****
C ***** ***** ***** ***** ***** ***** ***** ***** ***** ****
C
C      REAL*8 B
COMMON/UM/ B(2800)
C *** B = MATRIZ DE RIGIDEZ
COMMON/DOIS/ ICE, IM, IP0S, NA, NOI, NOF, AY, AZ, ZI,
*COZA,COSB,COSG,SENA,SENB,SENG, SX, SY, EX, EY, TX, TY,
*NEX1(40),NEX2(40),KPOS,ITPIL,NAPEL,IPPR(5),NDPR(5),
*SC(12,12), SRC(12,5), PD(E1:4), NNA(61), IFLXV, IFLXP,
*NPROB, NVPA(380), NVP(1600), PESP, AML(12), LF(60),
*NCC, NCCA, N, NOB, NDA, TOL, IREGV(60),IREGP(60), NTOT,
*NZERO, ITIT
C=====
COMMON/TRES/E, G, AX, XI, YI, V, NCODR, ITVIG, FI,
*IT, IDENT, X(1600), HMA, HME, BL, ALA, ALB, SF, CF,
*U, T, RAIO
C=====
COMMON/QUATRO/ CHAVE, D(69), NI, NF, KT(9), DIGIT(13),
*ITABA(4,6), KPAR
C=====
COMMON/CINCO/ PALAV(13), ITAB(13,19), IFIC(4), IFLAG(6,2)
C=====
DATA PALAV/' ','VIGA','PILA','ANDA','CONS','CODR',
*'ESTR','FLEX','APEL','CARG','NO ','RECA','EXEC'
C=====
C *** DIGITOS E TABELA PARA A CONVERSAO EM 'TRANS'
*DIGIT/' ',' ',' ','0','1','2','3','4','5','6','7',
*'8','9'/ITABA/1,6,-101,2,5,4,3,2,3,-101,-101,-101,-101,-101,
*5,-101,3,4,5,-101,3,-101,-101,-101,-101,-101,4/
C=====
C *** TABELA PARA TESTE DE SEQUENCIA
* ITAB/
*   -1, -1, -1, -1, -1, -2, -2, -1, -1, -1, -1, -1, -1,
*   -2, -2, -2, -2, -2, -2, -2, -2, -2, -2, -2, -2, -2,
*   -3, -3, -3, -3, -3, -3, -3, -3, -3, -3, -3, -3, -3,
*   -4, -4, -4, -4, -4, -4, -4, -4, -4, -4, -4, -4, -4,
*   -5, -5, -5, -5, -5, -5, -5, -5, -5, -5, -5, -5, -5,
*   -6, -6, -6, -6, -6, -6, -6, -6, -6, -6, -6, -6, -6,
*   -7, -7, -7, -7, -7, -7, -8, -7, -7, -7, -7, -7, -7,
*   -8, -8, -8, -8, -8, -8, -8, -8, -8, -8, -8, -8, -8,
*   -9, -11, -12, -9, -9, -9, -9, -9, -10, -10, -9, -9, -9,
*   -10, -11, -12, -9, -10, -10, -10, -10, -10, -10, -10,
*   -11, -11, -12, -9, -11, -11, -11, -11, -11, -11, -11,
*   -12,-12, -12, -9, -12, -12, -12, -12, -12, -12, -12,
*   -13,-13, -13, -13, -13, -13, -13, -13, -13, -13, -13,
*   -14,-14, -14, -15, -14, -14, -2,-14,-14,-14,-14,-14,
*   -15,-17,-15,-15,-15,-15,-15,-15,-15,-15,-15,-15,-15,
*   -16,-17,-16,-15,-16,-16,-16,-16,-16,-16,-16,-16,-16,
*   -17,-17,-17,-17,-17,-17,-17,-17,-17,-17,-17,-17,-17,
*   -18,-18,-18,-18,-18,-18,-18,-18,-18,-18,-18,-18,-18,
*   -19,-19,-19,-19,-19,-19,-19,-19,-19,-19,-19,-19,-19
C=====
C *** TIPOS DE CARREGAMENTO EM VIGA

```

```

*IFLAG/'CCZ','CDZ','CTZ','MCX','MCY','EEP',2,3,4,2,2,6/
C **** CODIGOS DA FORMA DE VIGA E PILAR
*IFICA/, 'CIR','MIS','FLX'/
C *** NUMERO DO ARQUIVO DE SAIDA
IM=8
C *** NUMERO DO ARQUIVO DE TITULOS
ITIT=4
C *** CONTADOR DE PROBLEMA
NPROB=0
C *** TOLERANCIA PARA A LEITURA
TOL=0.0001
1 CALL DADOS
CALL RELAT
CALL DEGRAU
C *** TESTE DE OCORRENCIA DE ERRO NA EXECUCAO
IF (ICE.NE.0) GO TO 1
CALL RESEQ
CALL FORCA
GO TO 1
END

```

SUBROUTINE TRANS

```

C **** ESTA SUBROTINA CONVERTE DADOS EM A1 P/ AS VARIAVEIS ***
C **** DIMENSION INTER(3)
C *** INTER=CAMPOS 11,12 E 13 DO CARTAO
COMMON/DOIS/ ICE, IM, IPOS, NA, NOI, NOF, AY, AZ, ZI,
*COSA,COSB,COSG,SENA,SEN8,SENG, SX, SY, EX, EY, TX, TY,
*NEX1(40),NEX2(40),KPOS,ITPIL,NAPEL,IPPR(5),NCPR(5),
*S(12,12), SR(12,9), PD(61,4), NNA(61), IFLXV, IFLXP,
*NPROB, NVPA(380), NVP(1600), PESP, AML(12), LF(60),
*NCC, NCCA, N, NOB, NDA, TOL,IREGV(60),IREGP(60),NTOT,
*NZERO, ITIT
COMMON/TRES/E, G, AX, XI, YI, V, NCOOR, ITVIIG, FI,
*IT, IDENT, X(1600), HMA, HME, BL, ALA, ALB, SF, CF,
*U, T, RAIQ
COMMON/QUATRO/ CHAVE, D(69), NI, NF, KT(9), DIGIT(13),
*ITABA(4,6), KPAR
C **** CONVERSAO DE NUMEROS INTEIROS
DO 20 J=1,3
INTER(J)=0
KT(J)=0
DO 15 K=1,3
L=3*(J-1)+K
DO 5 M=4,13
5 IF (D(L).IS.DIGIT(M)) GO TO 10
IF ((D(L).IS.DIGIT(1)).AND.(KT(J).EQ.0)) GO TO 15

```

```

CALL ERRO ( 4 )
KT(J)=0
INTER(J)=0
GO TO 20
10 INTER(J)=10*INTER(J)+N-4
KT(J)=1
15 CONTINUE
20 CONTINUE
NI=INTER(1)
NF=INTER(2)
IT=INTER(3)
C *** NOS CARTOES "CARG" E "ESTR" NAO SE CONVERTE CAMPOS R1-R6
IF (CHAVE.IS.('CARG')) RETURN
IF (CHAVE.IS.('ESTR')) RETURN
C **** CONVERSAO DOS CAMPOS R1-R6
DO 60 J=1,6
IP=IPOS+J-1
X(IP)=0.
CASA=1.
IEST=1
KT(J+3)=0
DO 50 K=1,10
L=10*(J+1)-K
DO 25 M=1,13
IF (D(L).IS.DIGIT(M)) GO TO 30
25 CONTINUE
GO TO 55
30 IF (M.LT.4) GO TO (40,35,40),M
X(IP)=X(IP)+(M-4)*CASA
CASA=CASA*10
KT(J+3)=1
M=4
GO TO 40
35 X(IP)=X(IP)/CASA
CASA=1.
40 IEST=ITABA(M,IEST)
IF (IEST.LT.0) GO TO 55
50 CONTINUE
IF (IEST.EQ.3) X(IP)=-X(IP)
IF (IEST.NE.6) GO TO 60
55 CALL ERRO ( 3 )
KT(J+3)=0
X(IP)=0
60 CONTINUE
C *** KPAR=CONTADOR DE CAMPOS R1-R6 NAO BRANCOS
KPAR=6
DO 70 J=1,6
K=10-J
IF (KT(K).GT.0) RETURN
KPAR=KPAR-1
RETURN
END

```

SUBROUTINE DADOS

```

C **** ESTA SUBR. LE CARTOES E TESTA SEQUENCIA E CONSISTENCIA
C **** REAL*8 B
C COMMON/UM/ B(28000)
C COMMON/DOIS/ ICE, IM, IPOS, NA, NOI, NOF, AY, AZ, ZI,
C *COSA,COSB,COSG,SENA,SEN8,SENG, SX, SY, EX, EY, TX, TY,
C *NEX1(40),NEX2(40),KPOS,ITPIL,NAPEL,IPPR(5), NOPR(5),
C *S(12,12), SR(12,9), PD(61,4), NNA(61), IFLXV, IFLXF,
C *NPROB, NVPA(380), NVP(1600), PESP, AML(12), LF(60),
C *NCC, NCCA, N, NOB, NOA, TOL, IREGV(60), IREGP(60), NTOT,
C *NZERO, ITIT
C COMMON/TRES/E, G, AX, XI, YI, V, NCOOR, ITVIG, FI,
C *IT, IDENT, X(1600), HMA, HME, BL, ALA, ALB, SF, CF,
C *U, T, RAI0
C COMMON/QUATRO/ CHAVE, D(69), NI, NF, KT(9), DIGIT(13),
C *ITABA(4,6), KPAR
C COMMON/CINCO/ PALAV(13), ITAB(13,19), IFICA(4), IFLAG(6,2)
C =====
C *** ARQUIVO DE LEITURA
C LE=5
1111 NPROB=NPROB+1
C *** LIMIT=CONTADOR DE POSICOES DO VETOR NVP, PARA TESTE
C LIMIT=0
C *** NVPA=APONT. DE ENDERECONS DE ELEMENTOS E CARGAS EM NVP
C NVPA(1)=0
C *** IPOS=CONTADOR DE POSICOES DO VETOR X (TAMBEM P/ TESTE)
C IPOS=1
C *** IEXEC SERA' =1 SE FOR LIDO CARTAO 'EXEC'
C IEXEC=0
C *** ICE = CONTADOR DE ERROS NA 'ERRO'
C ICE=0
C *** IEST=ESTADO (COLUNA) DA TAEELA DE TESTE DE SEQUENCIA
C IEST=1
C *** ITVIG=CONTADOR DE SECQES DE VIGAS
C ITVIG=0
C *** ITPIL=CONTADOR DE SECQES DE PILARES
C ITPIL=0
C *** IFLXV=CONTADOR DE MATRIZES DE FLEX. DE VIGAS
C IFLXV=0
C *** IFLXP=CONTADOR DE MATRIZES DE FLEX. DE PILARES
C IFLXP=0
C *** NCOOR=CONTADOR DE NO'S NA DEFINICAO DE COORDENADAS
C NCOOR=0
C NA=0
C NCC=0
C NAPEL=0
C DO 4 K=1,5
C IPPR(K)=0
C NOPR(K)=0
4 PD(1,2)=0.
PD(1,3)=0.
PD(1,4)=0.
9001 FORMAT('1',80('*'))// '78X','*'/'*',17X,
C 'COPPE/UFRJ - PROGRAMA DE ENGENHARIA CIVIL ',17X,
C '*/',78X,'*'/'*,7X,'ATEEL - ANALISE ',
C 'TRIDIMENSIONAL DOS ESFORCOS EM EDIFICIOS ',
C 'ELEVADOS',6X,'*'/'*,78X,'*'/'*,78X,'*'/
C '*,7X,'TESE M.Sc.',11X,'AUTOR - ENG. VILAR ',
C 'FIUZA DA CAMARA JUNIOR',7X,'*'/'*,78X,'*'/
C '*,80('*')/////
C =====
1 READ(LE,9000) CHAVE,C,NOME,(D(J),J=1,9),INDIC,(D(J),
* J=10,69)
C *** TESTE PARA A IMPRESSAO DO CABECALHO
C *** CABECALHO SE E' UM CARTAO 'ESTR'
C IF ((CHAVE.IS.'ESTR')) WRITE(IM,9001)
C *** TESTE DO TAMANHO DO VETOR X
C IF (IPOS.GT.1590) CALL ERRC ( 66 )

```

```

C *** TESTE DO TAMAÑO DO VETOR NVP
C *** IF (LIMIT.GT.1550) CALL ERRO ( 67 )
C *** TESTE DE ULTIMO CARTAO
C *** IF (CHAVE.IS. 'FIM ') STOP
9000 FORMAT(A4,A1,A3,9A1,A3,60A1)
      WRITE(IM,9500) CHAVE,C,NOME,(D(J),J=1,9),INDIC,(D(J),
      J=10,69)
9500 FORMAT(' ',A4,A1,A3,9A1,A3,60A1)
      IF (CHAVE.IS. 'C***') GO TO 1
      CALL TRANS
C===== C *** ROTINA DE TESTE DE CHAVE *****
C===== C *** ROTINA DE SEQUENCIA *****
C===== 50 DO 50 J=1,13
50   IF (CHAVE.IS.PALAV(J)) GO TO 55
      CALL ERRO ( 2 )
      GO TO 1
C===== C *** ROTINA DE EXECUCAO *****
C===== 80 IF (NCC.EQ.0) CALL ERRO ( 34 )
      IF (ICE.EQ.0) GO TO 9999
      WRITE(IM,9535) ICE
9535 FORMAT(' NUMERO DE ERROS:',I4,' *** PROBLEMA '
      'INTERROMPIDO')
      GO TO -1-1-1
9999 WRITE(IM,9540)
9540 FORMAT('/* * * * * NENHUM ERRO ENCONTRADO DURANTE A '
      '* LEITURA DOS CARTOES * * * * *')
      WRITE(IM,9001)
      IF (NAC.EQ.NA) RETURN
C *** SE NAO FOI COMPLETADA CARGA NO ULTIMO ANDAR,
C *** E' PRECISO COMPLETAR OS APONTADORES DE END.
      NI=NA
      IEXEC=1
      KFAR=C
      GO TO 1105
C *** ROTINA DE CONSTANTES *****
C *** 100 IF (KT(1)+KT(2)+KT(3)+KT(7)+KT(8)+KT(9).NE.0)
      *     CALL ERRO ( 5 )
      IF (KT(4)+KT(5).NE.2) CALL ERRO ( 6 )
      E=X(1)
      G=X(2)
      PESP=X(3)
      GO TO 1
C *** ROTINA DE TITULO *****
C *** 150 IT=NCC+1
      WRITE(ITIT'IT,155) (D(J),J=10,69)
155  FORMAT(60A1)
      GO TO 1
C *** ROTINA DE LEITURA DE COORDENADAS *****
C *** 200 IF (KT(1)+KT(2)+KT(3).NE.0) CALL ERRO ( 7 )
      NCOOR=NCOOR+3
      IPOS=IPOS+6

```

```

DO 210 K=1,3,2
J=9-K
IF (KT(J)+KT(J+1).NE.0) GO TO 1
NCOOR=NCOOR-1
210 IPOS=IPOS-2
GO TO 1
C=====
C *** ROTINA DE LEITURA DE VIGAS-TIPO ****
C=====
300 IF (KT(2)+KT(3)+KT(7)+KT(8)+KT(9).NE.0) CALL ERRO ( 8 )
IF (KT(4)+KT(5)+KT(6).EQ.0) CALL ERRO ( 9 )
IF (NI.EQ.ITVIG+1) GO TO 310
CALL ERRO ( 10 )
GO TO 1
310 ITVIG=NI
IPOS=IPOS+3
GO TO 1
C=====
C *** ROTINA DE MATRIZ DE FLEX. DE VIGA ****
C=====
350 IF ((KT(2)+KT(3).NE.0).OR.(KPAR.EQ.0)) CALL ERRO ( 48 )
IFLXV=IFLXV+1
IF (NI.NE.IFLXV) CALL ERRO ( 49 )
IPOS=IPOS+6
GO TO 1
C=====
C *** ROTINA DE PILARES-TIPO ****
C=====
400 IF (KT(2)+KT(3).NE.0) CALL ERRO ( 11 )
IF (KT(4)+KT(5)+KT(6)+KT(7)+KT(8)+KT(9).EQ.0)
* CALL ERRO ( 12 )
IF (NI.EQ.ITPIL+1) GO TO 410
CALL ERRO ( 13 )
GO TO 1
410 ITPIL=NI
IPGS=IPOS+6
GO TO 1
C=====
C *** ROTINA DE MATRIZ DE FLEX. DE PILAR ****
C=====
450 IF ((KT(2)+KT(3).NE.0).OR.(KPAR.EQ.0)) CALL ERRO ( 50 )
IT=IFLXP/4
IF ((IT*4.EQ.IFLXP).AND.(NI.NE.IT+1)) CALL ERRO ( 52 )
IFLXP=IFLXP+1
IPOSE=IPOS+6
GO TO 1
C=====
C *** ROTINA DE ANDARES ****
C=====
500 IF ((KT(2)+KT(3).NE.0).OR.(KPAR.GT.1)) CALL ERRO ( 14 )
IF (NA.NE.0) GO TO 510
C *** ROTINA DE PRIMEIRO ANDAR
NA=1
IF (NI.NE.1) CALL ERRO ( 15 )
IF (X(IPOS).LT.TOL) CALL ERRO ( 16 )
PD(1,1)=X(IPOS)
NVPA(1)=-3
NVPA(2)=-3
IF (IFLXP/4*4.NE.IFLXP) CALL ERRO ( 51 )
GO TO 1
C=====
C *** ROTINA DOS DEMAIS ANDARES
510 IF (NI.GE.NA+1) GO TO 515
CALL ERRO ( 15 )
GO TO 1
515 NA=NA+1
C *** REPETICAO DO PE' DIREITO E APOIOS ELASTICOS DE ANDAR
PD(NA,1)=PD(NA-1,1)
PD(NA,2)=PD(NA-1,2)
PD(NA,3)=PD(NA-1,3)

```

```

PD(NA,4)=PD(NA-1,4)
PD(NA+1,1)=0.
NVPA(2*NA-1)=NVPA(2*NA-2)
NVPA(2*NA)=NVPA(2*NA-2)
LIMIT=NVPA(2*NA)

C *** SE HOUVE 'SALTO' DE ANDAR VOLTE PARA ATUALIZAR ENDEREÇOS
C *** IF (NI.NE.NA) GO TO 515
C *** SE HOUVE NOVO PE' DIREITO, FAZER A TROCA
C *** IF (X(IPOS).GT.TOL) PD(NA,1)=X(IPOS)
C *** GO TO 1
C =====
C *** ROTINA DE VIGAS ****
C =====
600 IF (KPAR.GT.5) CALL ERRO ( 17 )
IF (.NOT.(NOME.IS.)) GO TO 605
CALL ERRO ( 18 )
GO TO 1
C =====
605 IPF=-3
C *** TESTANDO A 'FORMA' DA VIGA
DO 620 L=1,4
IF (INDIC.IS.IFICA(L)) GO TO 625
620 CONTINUE
CALL ERRO ( 53 )
GO TO 1
C *** IDENT=0/1/2/3=VIGA SIMPLES/CIR/MIS/FLX
625 IDENT=L-1
IF ((IDENT.NE.3).AND.(IT.GT.ITVIG)) CALL ERRO ( 22 )
IF ((IDENT.EQ.3).AND.(IT.GT.IFLXV)) CALL ERRO ( 54 )
C =====
C *** VERIFICANDO SE E' VIGA A DEFINIR OU A MODIFICAR
DO 615 NAND=1,NA
IVI=IPF+4
IPF=NVPA(2*NAND)
IVF=NVPA(2*NAND-1)
-- IF (IVI.GT.IVF) GO TO 615
DO 610 K=IVI,IVF,4
J=NVP(K+1)/1000000
IF (J.NE.0) GO TO 610
IF (NVP(K).IS.NOME) GO TO 640
610 CONTINUE
615 CONTINUE
C =====
C *** ROTINA DE ACRESIMO DE VIGA, OU DEFINICAO
IF ((NI.EQ.0).OR.(KF.EQ.0).OR.(IT.EQ.0)) CALL ERRO ( 19 )
IF (NI.EQ.NF) CALL ERRO ( 20 )
IF ((NI.GT.NCOOR).OR.(NF.GT.NCOOR)) CALL ERRO ( 21 )
NVP(IVF+5)=NI*1000+NF
NVP(IVF+6)=IT + IDENT*1000
NVP(IVF+7)=IPOS*10+KPAR
IPOS=IPOS+KPAR
GO TO 645
C =====
C *** MODIFICACAO OU SUPRESSAO DE VIGA
640 IF (NAND.EQ.NA) CALL ERRO ( 23 )
IF (KT(1)+KT(2).NE.0) CALL ERRO ( 24 )
IF (IDENT.NE.0) CALL ERRO ( 55 )
IF (NVP(K+2)/1000.EQ.2 ) CALL ERRO ( 56 )
IVF=NVPA(2*NA-1)
NVP(K+1)=NVP(K+1)+(NA-1)*1000000
IF (IT+KPAR.EQ.0) GO TO 1
NVP(IVF+5)=NVP(K+1)-(NA-1)*1000000
NVP(IVF+6)=NVP(K+2)
IF (IT.NE.0) NVP(IVF+6)=NVP(IVF+6)/1000*1000+IT
NVP(IVF+7)=IPOS*10+KPAR
IF (KPAR.EQ.0) NVP(IVF+7)=NVP(K+3)
IPOS=IPOS+KPAR
645 NVP(IVF+4)=NOME
NVPA(2*NA-1)=IVF+4
NVPA(2*NA)=IVF+4

```

```

LIMIT=NVPAC(2*NA)
IF (CIDENT.EQ.2) IEST=19
GO TO 1
C=====
C *** COMPLETANDO A LEITURA DE UMA VIGA COM MISULA
680 IF (KPAR.NE.5) CALL ERRO ( 57 )
IF (KT(1)+KT(2)+KT(3).NE.0) CALL ERRO ( 70 )
IPOS=IPOS+5.
IEST=11
GO TO 1
C=====
C *** ROTINA DE PILARES ****
C=====
700 IF (KPAR.GT.5) CALL ERRO ( 25 )
IF (NF.EQ.0) NF=NI
C=====
C *** TESTE DA FORMA DO PILAR = IDENT=0/1=SIMPLES/FLX
IDENT=0
IF (INDIC.IS.' ') GO TO 702
IF (INDIC.IS.'FLX') GO TO 701
CALL ERRO ( 58 )
701 IDENT=1
702 IF (.NOT.(NOME.IS.' ')) GO TO 705
CALL ERRO ( 26 )
GO TO 1
705 IF ((INDIC.EQ.0).AND.(IT.GT.ITPIL)) CALL ERRO ( 29 )
IF ((INDIC.EQ.1).AND.(IT.GT.IFLXP)) CALL ERRO ( 60 )
C=====
C *** VERIFICANDO SE E' PILAR A DEFINIR OU A MODIFICAR
DO 715 NAND=1,NA
IPI=NVPAC(2*NAND-1)+4
IPF=NVPAC(2*NAND)
IF (IPI.GT.IPF) GO TO 715
DO 710 K=IPI,IPF,4
J=NVP(K+1)/1000000
-- IF (J.NE.0) GO TO 710
IF (NVP(K).IS.NOME) GO TO 740
710 CONTINUE
715 CONTINUE
C=====
C *** ROTINA DE DEFINICAO DE PILAR
IF ((NI.EQ.0).OR.(IT.EQ.0)) CALL ERRO ( 27 )
IF ((NI.GT.NCOOR).OR.(NF.GT.NCOOR)) CALL ERRO ( 28 )
NVP(IPF+5)=NI*1000*NF
NVP(IPF+6)=1+1CENT*1000
NVP(IPF+7)=IPOS*10+KPAR
IF ((NI.EQ.NF).AND.(KPAR.GT.3)) CALL ERRO ( 25 )
IPOS=IPOS+KPAR
GO TO 745
C=====
C *** ROTINA DE MODIFICACAO DE PILAR
740 IF (NAND.EQ.NA) CALL ERRO ( 30 )
IF (KT(1)+KT(2).NE.0) CALL ERRO ( 31 )
IF (CIDENT.NE.0) CALL ERRO ( 59 )
IPF=NVPAC(2*NA)
NVP(K+1)=NVP(K+1)+(NA-1)*1000000
IF (IT+KPAR.EQ.0) GO TO 1
NVP(IPF+5)=NVP(K+1)-(NA-1)*1000000
NVP(IPF+6)=NVP(K+2)
IF (IT.NE.0) NVP(IPF+6)=NVP(K+2)/1000*1000+IT
NVP(IPF+7)=IPOS*10+KPAR
IF (KPAR.EQ.0) NVP(IPF+7)=NVP(K+3)
IPOS=IPOS+KPAR
IF ((NI.EQ.NF).AND.(KPAR.GT.3)) CALL ERRO ( 25 )
745 NVP(IPF+4)=NAME
NVPAC(2*NA)=IPF+4
LIMIT=NVPAC(2*NA)
GO TO 1
C=====
C *** ROTINA DE APOIOS ELASTICOS ****

```

```

C=====
C *** VERIFICANDO SE E' APOIO DE ANDAR OU DA BASE
1500 IF (NI.EQ.0) GO TO 1510
    IEST=13
        DO 1505 K=NA+1,NA+NAPEL
            JEPOCK,K,1)
            IF (J.NE.NI) GO TO 1505
            CALL ERRO ( 62 )
    1505 CONTINUE
        NAPEL=NAPEL+1
    1510 J=NA+NAPEL
        PD(J,1)=NI
        PD(J,2)=X(IPOS)*10.**X(IPOS+1)
        PD(J,3)=X(IPOS+2)*10.**X(IPOS+3)
        PD(J,4)=X(IPOS+4)*10.**X(IPOS+5)
        GO TO 1
C=====
C *** LEITURA DE UM CASO DE CARREGAMENTO *****
C=====
1000 IF (NCC.NE.0) GO TO 1005
    NAC=NA
    LPN=2*NA
    NVPA(LPN)=NVPA(LPN)+2
1005 NCC=NCC+1
    IF (NVPA(2).EQ.NVPA(1)) CALL ERRO ( 71 )
    IF (2*NA*(NCC+1).GT.375) CALL ERRO ( 69 )
    IF (NCC.NE.NI) CALL ERRO ( 32 )
    IF (KT(2)+KT(3).NE.0) CALL ERRO ( 33 )
    IT=NCC+1
    WRITE(UNIT'IT,155) (D(J),J=10,69)
    IF (INDIC.IS.*PPR*) IPPR(NCC)=1
    NI=NA
C *** SE CARGA ANTERIOR NAO FOI ATÉ NA, COMPLETAR APONTADORES
    IF (NAC.NE.NA) GO TO 1105
1010 NAC=0
    INCR=0
    GO TO 1
C=====
C *** LEITURA DE UM ANDAR CARREGADO *****
C=====
1100 IF ((KT(2)+KT(3).NE.0).OR.(KPAR.GT.3)) CALL ERRO ( 35 )
    IF (NI.GT.NA) CALL ERRO ( 47 )
    IF (NI.GE.NAC+1) GO TO 1105
    CALL ERRO ( 36 )
    GO TO 1
1105 NAC=NAC+1
    LPN=LPN+2
    NVPA(LPN-1)=NVPA(LPN-2)+1+INCR
    NVPA(LPN)=NVPA(LPN-1)-1
    LIMIT=NVPA(LPN)
    K=NVPA(LPN-1)
    IF (INCR.EQ.0) GO TO 1110
    N=NVPA(LPN-4)+2
    NVP(K)=NVP(N)
1110 IF (NI.NE.NAC) GO TO 1105
    IF (IEST.EQ.14) GO TO 1010
    IF (KPAR.EQ.0) GO TO 1115
    NVPA(LPN-1)=NVPA(LPN-1)+1-INCR
    NVPA(LPN)=NVPA(LPN)+1-INCR
    LIMIT=NVPA(LPN)
    K=K+1-INCR
    NVP(K)=IPOS*1000
    IPOS=IPOS+3
    INCR=1
1115 IF (IEXEC.EQ.1) RETURN
    GO TO 1
C=====
C *** ROTINA DE CARREGAMENTO EM VIGA *****
C=====
1200 IF (KT(1)+KT(2)+KT(3).NE.0) CALL ERRO ( 37 )

```

```

IF (.NOT.(NOME.IS.)) GO TO 1205
CALL ERRO ( 38 )
GO TO 1
1205 IPF=-3
C **** VERIFICANDO SE A VIGA DADA FOI DEFINIDA ANTES
DO 1230 NAND=1,NAC
IVI=IPF+4
IVF=NVP(K*2*NAND-1)
IPF=NVP(K*2*NAND)
IF (IVI.GT.IVF) GO TO 1230
DO 1220 K=IVI,IVF,4
J=NVP(K+1)/100000
IF ((J.NE.0).AND.(J.LT.NAC)) GO TO 1220
IF (NOME.IS.NVP(K)) GO TO 1240
1220 CONTINUE
1230 CONTINUE
CALL ERRO ( 39 )
GO TO 1
C **** SE O CAMPO B E' ERANCO, DESEJA-SE SUPRIMIR CARGAS/VIGA
1240 J=0
C *** SE O CAMPO B E' ERANCO, DESEJA-SE SUPRIMIR CARGAS/VIGA
IF (INDIC.IS.0) GO TO 1260
IF (KPAR.EQ.0) CALL ERRO ( 42 )
C **** VERIFICANDO QUAL E' O TIPO DE CARGA SOBRE A VIGA
DO 1245 K=1,5
IF (INDIC.IS.IFLAG(K,1)) GO TO 1250
1245 CONTINUE
CALL ERRO ( 40 )
GO TO 1
C **** ACRESCENTANDO (NAO SUBSTITUINDO) UMA CARGA/VIGA
1250 NVP(LPN)=NVP(LPN)+2
LIMIT=NVP(LPN)
IVF=NVP(LPN)
NVP(IVF)=NOME
NVP(IVF+1)=IPOS*10+K
IPOS=IPOS+IFLAG(K,2)
J=1
KPAR=0
C **** SUPRESSAO DAS CARGAS DEFINIDAS NA VIGA ANTERIORMENTE
1260 IF (NAC.EQ.0) GO TO 1290
LPK=2+NCC*NA
IF (KPAR.NE.0) CALL ERRO ( 40 )
DO 1280 NAND=1,NAC-1
LPK=LPK+2
IPI=NVP(LPK-1)+1
IPF=NVP(LPK)
IF (IPI.GT.IPF) GO TO 1280
DO 1270 K=IPI,IPF,2
IF (NVP(K+1)/1000000.NE.0) GO TO 1270
IF (.NOT.(NOME.IS.NVP(K))) GO TO 1270
J=1
NVP(K+1)=NVP(K+1)+(NAC-1)*1000000
1270 CONTINUE
1280 CONTINUE
1290 IF (J.EQ.0) CALL ERRO ( 41 )
GO TO 1
C **** ROTINA DE RECALQUE DE APOIO ****
1300 IF (N.NE.NA) CALL ERRO ( 63 )
NDPR(NCC)=NDPR(NCC)+1
DO 1310 K=NA+1,NA+NAPEL
J=PDK(K,1)
IF (J.NE.NI) GO TO 1310
CALL ERRO ( 64 )
1310 CONTINUE

```

```

C =====
C *** ROTINA DE CARREGAMENTO DE NO' ****
C =====
1400 IF ((KT(2)+KT(3).NE.0).OR.(KPAR.GT.3)) CALL ERRO ( 43 )
      IF ((NI.EQ.0).OR.(NI.GT.NCOCR)) CALL ERRO ( 44 )
      LPK=2*NCG*NA+2
C =====
C *** VERIFICANDO SE E' CARGA NOVA OU A MODIFICAR
      DO 1415 NAND=LPK,LPN,2
      IVI=NVPAC(NAND-2)+2
      IVF=NVPAC(NAND-1)
      IF (IEST.EQ.18) GO TO 1415
      IF (IVI.GT.IVF) GO TO 1415
      DO 1410 K=IVI,IVF
      J=NVP(K)/10000000
      IF (J.GT.0) GO TO 1410
      J=NVP(K)/1000
      IF (NVP(K)-J*1000.EQ.NI) GO TO 1450
1410 CONTINUE
1415 CONTINUE
C =====
C *** DEFINICAO DE CARGA SOBRE UM NO'
      NVPAC(LPN-1)=NVPAC(LPN-1)+1
      NVPAC(LPN)=NVPAC(LPN-1)-1
      LIMIT=NVPAC(LPN)
      NVP(IVF+1)=IPOS*1000+NI
      IPoS=IPoS+3
      IF (KPAR.EQ.0) CALL ERRO ( 45 )
      GO TO 1
C =====
C *** MODIFICACAO OU SUPRESSAO DE CARGA SOERE NO'
1450 IF (NAND.EQ.LPN) CALL ERRO ( 46 )
      NVP(K)=NVP(K)+(NAC-1)*10000000
      IF (KPAR.EQ.0) GO TO 1
      NVPAC(LPN)=NVPAC(LPN)+1
      LIMIT=NVPAC(LPN)
      NVPAC(LPN-1)=NVPAC(LPN-1)+1
      IVF=NVPAC(LPN-1)
      NVP(IVF)=IPOS*1000+NI
      IPoS=IPoS+3
      GO TO 1
END

```

SUBROUTINE ERRO (I)

```

C **** ESTA SUBROTINA LE E IMPRIME MENSAGEM DE ERRO
C ****
C ***** DIMENSION MENS(20)
COMMON/D0IS/ ICE, IM, IPOS, NA, NOI, NOE, AY, AZ, ZI,
*COSA,COSB,COSG,SENA,SENB,SENG, SX, SY, EX, EY, TX, TY,
*NEX1(40),NEX2(40),KPOS,ITPIL,NAPEL, IPPR(5), NDPR(5),
*S(12,12), SR(12,9), PD(61,4), NNA(61), IFLXV, IFLXF,
*NPROB, NVPA(380), NVP(1600), PESP, AML(12), LF(60),
*NCC, NCCA, N, NOE, NDA, TOL, IREGV(60),IREGP(60), NTOT,
*NZERO, ITIT
C=====
IERR0=6
ICE=ICE+1
READ (IERR0*I,5000) MENS
5000 FORMAT (20A4)
WRITE(CIM,6000) ICE, MENS
6000 FORMAT(' **** ERRO ',I5,' **** COD. ',A4,' - ',19A4/)
      RETURN
END

```

SUBROUTINE RELAT

```

C *** ESTA SUBROTINA LISTA UM RELATORIO DESCRIPTIVO
C ***
C ***** REAL*8 B
COMMON/UH/ B(28000)
COMMON/D0IS/ ICE, IM, IPOS, NA, NOI, NOF, AY, AZ, ZI,
*COSA,COSB,COSG,SENA,SENB,SENG, SX, SY, EX, EY, TX, TY,
*NEX1(40),NEX2(40),KPOS,ITPIL,NAPEL, IPPR(5), NDPR(5),
*S(12,12), SR(12,9), PD(61,4), NNA(61), IFLXV, IFLXF,
*NPROB, NVPA(380), NVP(1600), PESP, AML(12), LF(60),
*NCC, NCCA, N, NOE, NDA, TOL, IREGV(60),IREGP(60), NTOT,
*NZERO, ITIT
COMMON/TRES/E, G, AX, XI, YI, V, NCOOR, ITVIG, FI,
*IT, IDENT, X(1600), HMA, HME, BL, ALA, ALB, SF, CF,
*U, T, RAI0
COMMON/QUATRO/ CHAVE, D(69), NI, NF, KT(9), DIGIT(13),
*ITABA(4,6), KPAR
C=====
READ (ITIT'1,156) (D(J),J=1,15)
156 FORMAT(15A4)
      WRITE(CIM,9002) NPROE, (C(J),J=1,15)
9002 FORMAT (' ',80('*'))/1,*7EX,*1/*=1,9X,*PROBLEMA *,
C*NUMERO *,12,51X,*1/*=1,5X*15A4,9X,*1/*=1,78X,*1*/,
C* ',80('*'))
C
      DO 950 N=1,NA
      WRITE(CIM,9515) N,PD(N,1)
9515 FORMAT(//'* ANDAR NUMERO*',I3,*      PE** DIREITO =',

```

```

*      F6.2)
IF ((N.EQ.1).OR.(NVPA(2*N-1).NE.NVPA(2*N-2))) GO TO 810
WRITE(IM,9570)
9570 FORMAT(' AS VIGAS DESTE ANDAR SAO IDENTICAS ',
*' AS DO ANDAR ANTERIOR')
*      GO TO 845
810  IPF=-3
WRITE(IM,9504)
9504 FORMAT(' VIGA      NO** I      NO** F      SECAO')
DO 840  NAND=1,N
IVI=IPF+4
IVF=NVPA(2*NAND-1)
IPF=NVPA(2*NAND)
IF (IVI.GT.IVF) GO TO E40
DO 835  K=IVI,IVF,4
J=NVP(K+1)/1000000
IF ((J.NE.0).AND.(J.LT.N)) GO TO 835
NI=NVP(K+1)/1000
NF=NVP(K+1)-NI*1000
NI=NI-J*1000
KPOS=NVP(K+3)/10
NPOS=NVP(K+3)-KPOS*10
J=NVP(K+2)-NVP(K+2)/1000*1000
WRITE(IM,9505) NVP(K),NI,NF,J
9505  FORMAT(' ',A3,3I10)
835  CONTINUE
840  CONTINUE
845  IF ((N.EQ.1).OR.(NVPA(2*N).GT.NVPA(2*N-1)+3)) GO TO 850
WRITE(IM,9575)
9575 FORMAT(' OS PILARES DESTE ANDAR SAO IGUAIS ',
*' AOS DO ANDAR ANTERIOR')
*      GO TO 950
850  WRITE(IM,9506)
9506 FORMAT(' PILAR      NO** I      NO** F      SECAO')
DO 940  NAND=1,N
IPI=NVPA(2*NAND-1)+4
IPF=NVPA(2*NAND)
IF (IPI.GT.IPF) GO TO 940
DO 935  K=IPI,IPF,4
J=NVP(K+1)/1000000
IF ((J.NE.0).AND.(J.LT.N)) GO TO 935
NI=NVP(K+1)/1000
NF=NVP(K+1)-NI*1000
NI=NI-J*1000
KPOS=NVP(K+3)/10
NPOS=NVP(K+3)-KPOS*10
J=NVP(K+2)-NVP(K+2)/1000*1000
WRITE(IM,9505) NVP(K),NI,NF,J
935  CONTINUE
940  CONTINUE
950  RETURN
END

```

SUBROUTINE CONTRE

```

C **** ESTA SUBROTINA RELOCA A CONTRIBUICAO DE UM ANDAR
C *** PARA O ANDAR SEGUINTE NA MATRIZ DE RIGIDEZ
C ****
C      REAL*8 B
COMMON/UM/ B(2800)
COMMON/DOIS/ ICE, IM, IPOS, NA, NOI, NOF, AY, AZ, ZI,
*COSA,COSB,COSG,SENA,SEN8,SENG, SX, SY, EX, EY, IX, IY,
*NEX1(40),NEX2(40),KPOS,ITPIL,NAPEL, IPPR(5), NDPR(5),
*S(12,12), SRC(12,5), PD(61,4), NNA(61), IFLXV, IFLXP,
*NPROB, NVPA(380), NVP(1600), PESP, AML(12), LF(60),
*NCC, NCCA, N, NOB, NDA, TOL, IREGV(60), IREGP(60), NTOT,
*NZERO, ITIT
COMMON/TRES/E, G, AX, XI, YI, V, NCOOR, ITVIG, FI,
*IT, IDENT, X(1600), HMA, HME, BL, ALA, ALB, SF, CF,
*U, T, RAI0
C =====
      ID=(NDA+2*NCC-2)*(NDA-3)/2+1
      IE=ID+(NOB-NDA+3)*(NDA-3) + (NOB-LF(N)+1)*(NOB-LF(N))/2
      IC=(NOB+2*NCC+1)*NOB/2 - (NOB-LF(N)+1)*(NOB-LF(N))/2
      00 50 IE=IB, IC
50      B(IE)=0.
      IG=NOB-NDA+3
      00 80 IL=1,NDA-3
          00 60 IE=2,IL+NCC
          IB=IB-1
          ID=ID-1
      60      B(IL)=B(ID)
          IF (NOB-NDA+3+IL.GT.LF(N)) IG=IG-1
          DO 70 IE=1,IG
              IB=IB-1
      70      B(IB)=0.
      80      CONTINUE
      RETURN
END

```

SUBROUTINE BLOCO

```

C **** ESTA SUBROTINA TRIANGULARIZA A M.RIGIDEZ DE UM ANDAR
C ****
C      REAL*8 B
C      COMMON/UM/ B(28000)
C      COMMON/DOIS/ ICE, IM, IPOS, NA, NOI, NOF, AY, AZ, ZI,
C      *COSA,COSB,COSG,SENA,SEN8,SENG, SX, SY, EX, EY, TX, TY,
C      *NEX1(40),NEX2(40),KPOS,ITPIL,NAPEL,IPPR(5), NOPR(5),
C      *S(12,12), SR(12,5), PD(61,4), NNA(61), IFLXV, IFLXP,
C      *NPROB, NVPAC(380), NVP(1600), PESP, AML(12), LF(60),
C      *NCC, NCCA, N, NOE, NDA, TOL, IREGV(60), IREGP(60), NTOT,
C      *NZERO, ITIT
C      COMMON/TRES/E, G, AX, XI, YI, V, NCOOR, ITVIG, FI,
C      *IT, IDENT, X(16()), HMA, HME, BL, ALA, ALB, SF, CF,
C      *U, T, RAO
C      ABS(XY)=DABS(XY)
C =====
C      IG=LF(N)
C      IB=0
C      IEF=LF(N)
C      K=NDA
C      IF (N.EQ.NA) K=NGB-1
C      DO 30 IL=1,K
C      IG=IG+NCC
C      IC=IB+1
C      ID=IC
C =====
C      *** TESTE DE ELEMENTO NAO POSITIVO NA DIAGONAL PRINCIPAL
C      IF (B(ID).GT.1.E-20) GO TO 5
C      CALL ERRO ( 65 )
C      IL=(IL+2)/3
C      IF (IL-NNA(N)=1) 800,820,840
800     WRITE(IM,860)N,NEX1(IL)
860     FORMAT(' *** ANDAR NUMERO',I4,' *** NO** NUMERO',I4)
      RETURN
820     WRITE(IM,880) N
880     FORMAT(' *** ERRO EM UM DOS DESLOCAMENTOS DO ANDAR',I4)
      RETURN
840     WRITE(IM,900) NEX2(IL)
900     FORMAT(' *** NO** NUMERO',I4,' DA BASE DA ESTRUTURA')
      RETURN
C =====
5      IA=IG
      IE=IEF
      DO 20 IE=IL+1,IEF
      IEG=IEG+1-IEG/NOB
      IB=IC
      IC=IC+1
      YR=B(IC)/B(ID)
      DO 10 IF=IE,IEF
      IA=IA+1
      IB=IB+1
      B(IA)=B(IA)-B(IB)*YR
10      IA=IA+(IE-IL)*(1-IEG/NOE)+(NOB-IEF)*(IEG/NOB)
      DO 15 IF=1,NCC
      IA=IA+1
      IB=IB+1
      B(IA)=B(IA)-B(IB)/B(ID)*B(IC)
15      CGCONTINUE
20      IEF=IEF+1-IEF/NOB
      IGE=IG+IEF-IL
30      CGCONTINUE
      IF (N.EQ.NA) RETURN
C =====
C      *** GRAVACAO DA MATRIZ DE RIGIDEZ DE UM ANDAR
C      WRITE(7) (B(IE),IE=1,IB)
C =====
C      TRANSFERENCIA DA CONTRIEUICAO DO ANDAR SEGUINTE ====
C      PARA O INICIO DO BLOCO, APÓS A GRAVACAO ===

```

40 ID=1
 DO 40 IE=IB+1,IA
 B(ID)=B(IE)
 ID=ID+1
 RETURN
 END

SUBROUTINE NUMINT

C *****
C *** ESTA SUBROTINA NUMERA INTERNAMENTE OS NOS DE UM ANDAR
C *****
C REAL*8 B
COMMON/UM/ B(28000)
COMMON/ODIS/ ICE, IM, IPOS, NA, NOI, NOF, AY, AZ, ZI,
*COSA,COSB,COSG,SENA,SENB,SENG, SX, SY, EX, EY, TX, TY,
*NEX1(40),NEX2(40),KPOS,ITPIL,NAPEL,IPPR(5),NDPR(5),
*S(12,12), SR(12,9), PB(61,4), NNA(E12), IFLXV, IFLXP,
*NPROB, NVPA(380), NVP(1600), PESP, AML(12), LF(60),
*NCC, NCCA, N, NOE, NOA, TOL, IREGV(60), IREGP(60), ATOT,
*NZERO, ITIT
COMMON/TRES/E, G, AX, XI, YI, V, NCOOR, ITVIG, FI,
*IT, IDENT, X(1600), HMA, HME, BL, ALA, ALB, SF, CF,
*U, T, RAI0
C=====
IPF=3
IF (N.EQ.0) GO TO 3
NINF=NNAC(N)
DO 2 NIN=1,NINF
NEX1(NIN)=NEX2(NIN)
2 NEX2(1)=0
NINF=0
L=N+1-N/NA
DO 55 NAND=1,L
IVI=IPF+4
IVF=NVPA(2*NAND-1)
IPF=NVPA(2*NAND)
IF (IVI.GT.IPF) GO TO 55
DO 50 K=IVI,IPF,4
J=NVP(K+1)/1000000
IF ((J.NE.0).AND.(J.LT.L)) GO TO 50
NI=NVP(K+1)/1000
NF=NVP(K+1)-NI*1000
NI=NI-J*1000
IF (L.EQ.N) GO TO 12
DO 5 NIN=1,NINF
IF (NI.EQ.NEX2(NIN)) GO TO 10
CONTINUE
5 NINF=NINF+1
NEX2(NINF)=NI
IF (K.LE.IVF) GO TO 14
GO TO 50
10

```

12      IF (K.LE.IVF) GO TO 50
14      DO 15 NIN=1,NINF
15          IF (NF.EQ.NEX2(NIN)) GO TO 50
16          CONTINUE
17          NINF=NINF+1
18          NEX2(NINF)=NF
19          CONTINUE
20      CONTINUE
21      NNA(N+1)=NINF
22      IF (N.EQ.0) RETURN
C=====
C *** REORGANIZANDO OS NOS DO ANDAR SEGUINTE
23      NEX2(NINF+1)=0
24      NI=1
25      DO 200 NIN=1,NNA(N)
26      DO 150 NF=NI,NNA(N+1)
27          IF (NEX2(NF).EQ.NEX1(NIN)) GO TO 180
28      CONTINUE
29      GO TO 200
30      NINF=NEX2(NI)
31      NEX2(NI)=NEX2(NF)
32      NEX2(NF)=NINF
33      NI=NI+1
34      CONTINUE
35      RETURN
36 END

```

SUBROUTINE FAIXA

```

C **** ESTA SOBROTRINA CALCULA A LARGURA DE FAIXA DE UM ANDAR
C ****
C      REAL*8 B
C      COMMON/UM/ B(28000)
C      COMMON/DOIS/ ICE, IM, IPOS, NA, NOI, NOF, AY, AZ, ZI,
C      *COSA,COSB,COSG,SENA,SENB,SENG, SX, SY, EX, EY, TX, TY,
C      *NEX1(40),NEX2(40),KPOS,ITPIL,NAPEL,IPPR(5),NDPR(5),
C      *S(12,12), SR(12,5), PDC(61,4), NNA(61), IFLXV, IFLXP,
C      *NPROB, NVP(380), NVP(1600), PESP, AML(12), LF(60),
C      *NCC, NCCA, N, NOE, NDA, TDL, IREGV(60), IREGP(60), NTOT,
C      *NZERO, ITIT
C      COMMON/TRES/E, G, AX, XI, YI, V, NCORR, ITVIG, FI,
C      *IT, IDENT, X(1600), HMA, HME, BL, ALA, ALB, SF, CF,
C      *U, T, RAI0
C=====
C      LF(N)=-1
C      DO 100 NAND=1,N
C      IPI=NVP(2*NAND-1)+4
C      IPF=NVP(2*NAND)
C      IF (IPI.GT.IPF) GO TO 100
C      DO 90 K=IPI,IPF,4
C      J=NVP(K+1)/1000000

```

```

IF ((J.NE.0).AND.(J.LT.N)) GO TO 90
NI=NVP(K+1)/1000
NF=NVP(K+1)-NI*1000
NI=NI-J*1000
DO 60 NIN=1,NNA(N)
   IF (NEX1(NIN).EQ.NI) GO TO 65
CONTINUE
60 NI=NIN
   DO 70 NIN=1,NNA(N+1)
      IF (NEX2(NIN).EQ.NF) GO TO 75
CONTINUE
70 NF=NIN-NI
   IF (NF.GT.LF(N)) LF(N)=NF
CONTINUE
75 CONTINUE
90 LF(N)=(LF(N)+NNA(N)+2)*3
IF (LF(N).LT.NOB-NDA+3) LF(N)=NOB-NDA+3
100 RETURN
END

```

SUBROUTINE DSTRB (K)

```

C **** ESTA SUBROTINA DISTRIBUI VALORES NA MATRIZ DE UM ANDAR ****
C **** **** **** **** **** **** **** **** **** **** **** **** **** **** ****
C REAL*8 B
C COMMON/DM/ B(28000)
C COMMON/00IS/ ICE, IM, IPOS, NA, NOI, NOF, AY, AZ, ZI,
C *COSA,COSB,COSG,SENA,SENB,SENG, SX, SY, EX, EY, TX, TY,
C *NEX1(40),NEX2(40),KPOS,ITPIL,NAPEL,IPPR(5),NBFR(5),
C *SC(12,12), SR(12,9), PD(61,4), NNA(61), IFLXV, IFLXP,
C *NFR08, NVPA(380), NVP(1600), PESP, AML(12), LF(60),
C *NCC, NCCA, N, NOE, NDA, TOL, IREGV(60),IREGP(60),NTOT,
C *NZERO, ITIT
C COMMON/TRES/E, G, AX, XI, YI, V, NCOOR, ITVIG, FI,
C *IT, IDENT, X(1600), HMA, HME, BL, ALA, ALB, SF, CF,
C *U, T, RAO
C GO TO (100, 200, 300, 400), K
C ===== DISTRIBUICAO DE CARGAS NOS NO'S E NOS ANDARES ===
C ===== **** **** **** **** **** **** **** **** **** **** **** ****
100 NOI=(NOI-1)*3
   IA=(2*NOB+2*NCC-NOI)*(NOI+1)/2-NCC+NCCA
   IA=IA-(NOB-LF(N)+1)*(NOB-LF(N))/2
   IF (NOI.LT.NOB-LF(N)) IA=(LF(N)+NCC)*(NOI+1)-NCC+NCCA
   DO 110 IL=1,3
      B(IA)=B(IA)+AML(IL)
      IA=IA+LF(N)+NCC
      IF (NOI.GE.NOB-LF(N)) IA=IA-LF(N)+NOB-NOI-IL
110 CONTINUE
RETURN
C ===== **** **** **** **** **** **** **** **** **** **** **** ****

```

```

C ===== DISTRIBUICAO DOS ESF DE ENGASTAMENTO PERFEITO ==
C =====
400 NOI=(NOI-1)*3
    NOF=(NOF-1)*3
    IA=((2*NOB+2*NCC-NOI)*(NOI+1)/2-NCC+NCCA
    IA=IA-(NOB-LF(N)+1)*(NOB-LF(N))/2
    IF (NOI.LT.NOB-LF(N)) IA=(LF(N)+NCC)*(NOI+1)-NCC+NCCA
    B(IA)=B(IA)-AML(1)*COSA+AML(2)*SENA-AML(3)*(SX*SENA-
        * SY*COSA)
    IA=IA+LF(N)+NCC
    IF (NOI.GE.NOB-LF(N)) IA=IA-LF(N)+NOB-NOI-1
    B(IA)=B(IA)-AML(1)*SENA-AML(2)*CCSA+AML(3)*(SX*COSA+
        * SY*SENA)
    IA=IA+LF(N)+NCC
    IF (NOI.GE.NOB-LF(N)) IA=IA-LF(N)+NOB-NOI-2
    B(IA)=B(IA)-AML(3)
    IB=((2*NOB+2*NCC-NOF)*(NOF+1)/2-NCC+NCCA
    IB=IB-(NOB-LF(N)+1)*(NOB-LF(N))/2
    IF (NOF.LT.NOB-LF(N)) IB=(LF(N)+NCC)*(NOF+1)-NCC+NCCA
    B(IB)=B(IB)-AML(4)*COSA+AML(5)*SENA+AML(6)*(EX*SENA-
        * EY*COSA)
    IE=IB+LF(N)+NCC
    IF (NOF.GE.NOB-LF(N)) IB=IB-LF(N) +NOB-NOF-1
    B(IB)=B(IB)-AML(4)*SENA-AML(5)*COSA-AML(6)*(EX*COSA-
        * EY*SENA)
    IB=IB+LF(N)+NCC
    IF (NOF.GE.NOB-LF(N)) IB=IB-LF(N) +NOB-NOF-2
    B(IB)=B(IB)-AML(6)
    NOI=NOI/3+1
    NOF=NOF/3+1
    RETURN

C ===== DISTRIBUICAO DA MATRIZ DE VIGA =====
C =====
200 NOI=(NOI-1)*3
    NOF=(NOF-1)*3
205 ID=NOF-NOI-3
    ID=NOB+NCC-NOF-3
    IA=((2*NOB+2*NCC-NOI+1)*NOI/2-(NOB-LF(N)+1)*(NOB-LF(N))/2
    INC=0
    IF (NOI.GE.NOB-LF(N)) GO TO 207
    ID=LF(N)+NOI-NOF-3+NCC
    IA=(LF(N)+NCC)*NOI
    INC=1
207 CONTINUE
    DO 230 IL=1+(K-2)*3, 3+(K-2)*3
        DO 210 IC=IL, 3+(K-2)*3
            IA=IA+1
            B(IA)=B(IA)+S(IL,IC)
            IA=IA+IB
            DO 220 IC=4+(K-2)*3, 6+(K-2)*3
                IA=IA+1
                B(IA)=B(IA)+S(IL,IC)
                IA=IA+ID
                ID=ID+INC
                IA=((2*NOB+2*NCC-NOF+1)*NOF/2-(NOB-LF(N)+1)*(NOB-LF(N))/2
                ID=NOB+NCC-NOF-3
                INC=0
                IF (NOF.GE.NOB-LF(N)) GO TO 237
                IA=(LF(N)+NCC)*NOF
                ID=LF(N)-3+NCC
                INC=1
237 CONTINUE
    DO 250 IL=4+(K-2)*3, 6+(K-2)*3
        DO 240 IC=IL, 6+(K-2)*3
            IA=IA+1
            B(IA)=B(IA)+S(IL,IC)
            IA=IA+ID
            ID=ID+INC
            NOI=NOM/3+1

```

```

NOF=NOF/3+1
RETURN
C ===== DISTRIBUICAO DA MATRIZ DE PILAR =====
C =====
300 NOI=(NOI-1)*3
NOF=(NOF-1)*3
NOM=NNA(N)*3
IA=(2*NOB+2*NCC-NOI+1)*NOI/2-(NOB-LF(N)+1)*(NOB-LF(N))/2
IE=NOM-NOI-3
IF=NOF-NOM-3
ID=NOB+NCC-NOF-3
INC=0
IF (NOI.GE.NOB-LF(N)) GO TO 350
IA=(LF(N)+NCC)*NOI
ID=LF(N)+NOI-NOF-3+NCC
INC=1
350 CONTINUE
DO 390 IL=1,3
DO 360 IC=IL,3
IA=IA+1
B(IL,IC)=B(IA)+S(IL,IC)
IA=IA+IB
DO 370 IC=4,6
IA=IA+1
B(IL,IC)=B(IA)+S(IL,IC)
IA=IA+IF
DO 380 IC=7,9
IA=IA+1
B(IL,IC)=B(IA)+S(IL,IC)
IA=IA+ID
390 ID=ID+INC
IA=NOI
NOI=NOM
NOM=IA
GO TO 205
END

```

```

SUBROUTINE DEGRAU
C **** ESTA SUBROTINA PREPARA OS DADOS PARA O CALCULO
C **** DAS MATRIZES DE RIGIDEZ E ESFORCOS DE ENGASTAMENTO
C **** PERFEITU, E PROVIDENCIA A MONTAGEM NA MATRIZ
C **** GLOBAL E RESOLUCAO DO SISTEMA DE EQUACOES
C ****
C DIMENSION SV(6,6)
C REAL*8 B
COMMON/UM/ B(28000)
COMMON/DOIS/ ICE, IM, IPOS, NA, NGI, NOF, AY, AZ, ZI,
*COSA,COSB,COSG,SENA,SENB,SENG, SX, SY, EX, EY, TX, TY,
*NEX1(40),NEX2(40),KPOS,ITPIL,NAPEL, IPPR(5), NDPR(5),
*SC(12,12), SRC(12,5), PD(61,4), NNA(61), IFLXV, IFLXF,
*NPROB, NVPA(380), NVP(1600), PESP, AML(12), LF(60),
*NCC, NCCA, N, NOE, NDA, TOL, IREGV(60), IREGP(60), NTOT,
*NZERO, ITIT
COMMON/TRES/E, G, AX, XI, YI, V, NCOOR, ITVIG, FI,
*IT, IDENT, X(1600), HMA, HME, BL, ALA, ALB, SF, CF,
*U, T, RAIO
C COS(XY)=DCOS(XY)
C SIN(XY)=DSIN(XY)
C =====
N=0
CALL NUMINT
IREGV(1)=0
IREGP(1)=0
C =====
C ESTE DO PREPARA O BLOCO DA MATRIZ DO ANCAR N
DO 3200 N=1,NA
MCV=0
MCP=0
C *** CHAMADA A SUBROTINA QUE NUMERA INTERNAMENTE OS NOS *****
CALL NUMINT
NOA=(NNA(N)+1)*3
NOB=NOA+NNA(N+1)*3
C *** CALCULO DA LARGURA DE FAIXA
CALL FAIXA
IF (N.EQ.1) GO TO 3197
IREGV(N)=IREGV(N-1)
IREGP(N)=IREGP(N-1)
C *** TRANSFERENCIA DA CONTRIBUICAO DO BLOCO ANTERIOR
CALL CONTRB
C ++++++ ROTINA PARA A MODIFICACAO DE COORDENADAS
IPI=IVF+4
IF (IPI.GT.IPF)      GO TO 3196
DO 3195 K=IPI,IPF,4
J=NVP(K+1)/1000000
NI=NVP(K+1)/1000
NF=NVP(K+1)-NI*1000
NI=NI-J*1000
IF (NI.NE.NF) GO TO 3155
KPOS=NVP(K+1)/10
NPOS=NVP(K+1)-KPOS+1
GO TO (3195,3195,3192,3191), NPOS+1
3191 X(2*NI)=X(2*NI)+X(KPOS+2)
3192 X(2*NI-1)=X(2*NI-1)+X(KPOS+1)
MCV=1
MCP=1
IREGV(N)=N-1
IREGP(N)=N-1
3195 CONTINUE
3196 IF (PD(N,1).EQ.PD(N-1,1)) GO TO 3198
MCP=1
IREGP(N)=N-1
GO TO 3198
C =====
C ---- MONTAGEM, NOS VETORES DE CARGAS, DO CARREGAMENTO
C ---- LATERAL NOS ANDARES, E DAS CARGAS APLICADAS AOS NOS

```

```

C -----
3197      J=(NOB+1)*NOB/2 + NOB*NCC-(NOB-LF(N)+1)*(NOB-LF(N))/2
C *** TESTE DO TAMAÑO DA MATRIZ DE RIGIDEZ DO ANDAR
          IF (J.LE.28000) GO TO 3189
          CALL ERRO ( 68 )
          RETURN
3189      DO 3194 K=1,J
3194      B(K)=0.
3198      DO 2100 NCCA=1,NCC
          LPK=2*NCCA*NA-1
          DO 2050 NAND=1,N
          LPK=LPK+2
          IVI=NVPAC(LPK-1)+2
          IVF=NVPAC(LPK)
          IF (IVI.GT.IVF) GO TO 2050
          DO 2040 K=IVI,IVF
          J=NVP(K)/10000000
          IF ((J.NE.0).AND.(J.LT.N)) GO TO 2040
          KPOS=NVP(K)/1000
          NOI=NVP(K)-KPOS*1000
          KPOS=KPOS-J*10000
          AML(1)=X(KPOS)
          AML(2)=X(KPOS+1)
          AML(3)=X(KPOS+2)
C *** MONTAGEM DOS DESLOCAMENTOS PRESCRITOS
          IF (N.NE.NA) GO TO 2005
          IF (NDPR(NCCA).EQ.0) GO TO 2005
          IF (IVI.LE.IVF-NDPR(NCCA)) GO TO 2005
          DO 2010 NIN=1,NNA(NA+1)
          IF (NOI.EQ.NEX2(NIN)) GO TO 2015
          CONTINUE
          CALL ERRO ( 61 )
          RETURN
2015      NOI=NNA(N)+1+NIN
          GO TO 2035
          IF (NOI.EQ.0) GO TO 2025
          AML(1)=X(KPOS+1)
          AML(2)=X(KPOS+2)
          AML(3)=X(KPOS)
          DO 2020 NIN=1,NNA(N)
          IF (NOI.EQ.NEX1(NIN)) GO TO 2030
          CONTINUE
2020      NIN=NNA(N)+1
2025      NI=NIN
2030      CALL DSTRE(1)
2035      CONTINUE
2040      CONTINUE
2050      CONTINUE
2100      CONTINUE
C ++++++ PREPARA VIGAS E COLUNAS ATE O ANDAR N P/ MONTAGEM
C ++++++
C ++++++ IPF=-3
C *** VARRENDO ANDAR POR ANDAR ATE N E COLETANDO DADOS
C *** A RESPEITO DE VIGAS E COLUNAS
          DO 3190 NAND=1,N
          IVI=IPF+4
          IVF=NVPAC(2*NAND-1)
          IPF=NVPAC(2*NAND)
          IF (IVI.GT.IPF) GO TO 3190
          DO 3180 K=IVI,IPF,4
          J=NVP(K+1)/1000000
          IF ((J.NE.0).AND.(J.LT.N)) GO TO 3180
          IDENT=NVP(K+2)/1000
          IT=NVP(K+2)-IDENT*1000
          NI=NVP(K+1)/1000
          NF=NVP(K+1)-NI*1000
          NI=NI-J*1000
          KPOS=NVP(K+3)/10
          NPOS=NVP(K+3)-KPOS*10
          SX=0.

```

```

SY=0.
EX=0.
EY=0.
VX=X(2*NF-1)-X(2*NI-1)
VY=X(2*NF)-X(2*NI)
IF (K.GT.I-VF) GO TO 3100
C ..... AQUI SE INICIA A ROTINA PARA A MONTAGEM DA VIGA
C ..... GO TO (3035,3030,3025,3020,3015,3014); NPOS+1
3014   FI=X(KPOS+4)
3015   EY=X(KPOS+3)
3020   EX=X(KPOS+2)
3025   SY=X(KPOS+1)
3030   SX=X(KPOS)
3035   V=VX**2+VY**2
      Z=SQRT(V-(EY-SY)**2)
      SENA=(VY*Z-VX*(EY-SY))/V
      COSA=(VX*Z+VY*(EY-SY))/V
      V=Z-EX-SX
      DO 3040 NIN=1,NNAC(N)
C *** DETERMINACAO DOS NOS SEGUNDO A NUMERACAO INTERNA
      IF (NI.EQ.NEX1(NIN)) NOI=NIN
      IF (NF.EQ.NEX1(NIN)) NOF=NIN
3040   CONTINUE
C *** VERIFIC. DA FORMA DA VIGA (SIMPLES,CIRCULAR,MISULA,FLEX)
      IF (IDENT.EQ.3) GO TO 3041
      IT=2*NCOOR+(IT-1)*3
      XI=X(IT+1)
      YI=X(IT+2)
      AX=X(IT+3)
      IF (IDENT.NE.2) GO TO 3041
      KPOS=KPOS+NPOS
      HMA=X(KPOS)
      HME=X(KPOS+2)
      BL=X(KPOS+2)
      ALAE=X(KPOS+3)
      ALBE=X(KPOS+4)
C *** CALCULO DA MATRIZ DE RIGIDEZ DE VIGA NO SIST. LOCAL
3041   CALL MARIV(SV)
C :::::::::::: PREPARACAO PARA O CALCULO DOS ESF. DE ENGASTAMENTO
C :::::::::::: DO 2200 NCCA=1,NCC
      AML(1)=C.
      AML(2)=0.
      AML(3)=C.
      AML(4)=0.
      AML(5)=C.
      AML(6)=C.
      ZI=NVP(K)
C *** CALCULO DOS ESPORCOS DE ENGASTAMENTO PERFEITO
      CALL CARGA(SV)
C *** DISTRIBUICAO NO VETOR DE CARREGAMENTO
      IF (IT.NE.0) CALL DSTRB(4)
2200   CONTINUE
C *** ROTACAO E TRANSFORMACAO DA VIGA PARA O SISTEMA GLOBAL
      CALL ROTRAN(SV)
      IF ((MCV.NE.1).AND.(NAND.NE.N)) GO TO 3045
C *** GRAVACAO DA MATRIZ SEMI-TRANSFORMADA EM DISCO
      WRITE(10)((SR(J,L),J=1,6),L=1,6),V,SX,EX
C *** TROCA DOS NOS DA VIGA, SE E INICIAL E' MAIOR QUE O FINAL
3045   IF (NOI.LT.NOF) GO TO 3050
      M=NOI
      NOI=NOF
      NOF=M
C *** DISTRIBUICAO DA MATRIZ DA VIGA NA MATRIZ GLOBAL
3050   CALL DSTRB(2)
      GO TO 3180

```

```

C ***** AQUI SE INICIA A MONTAGEM DOS PILARES ****
C **** VERIFICACAO - PILAR VERTICAL OU NAO
C *** CALCULO DOS PARAMETROS GEOMETRICOS
C *** DETERMINACAO DOS NOS SEGUNDO A NUMERACAO INTERNA
C *** CALCULO DA MATRIZ DE RIGIDEZ DE PILAR, JA TRANSFORMADA
C *** GRAVACAO DA MATRIZ SEMI-TANSMFORMADA EM DISCO
C *** ESPALHAMENTO NA MATRIZ GLOEAL
C *** APOIOS ELASTICOS DE ANDAR
C *** SOMAR COEFICIENTE DE RIGIDEZ DO APOIO ELASTICO DE ANDAR

```

C AQUI SE INICIA A MONTAGEM DOS PILARES

3100 GAMA=0.

C *** VERIFICACAO - PILAR VERTICAL OU NAO

 IF (NI.NE.NF) GO TO 3102

 IF ((NAND.NE.N).AND.(NPOS.GT.1)) NPOS=1

C *** CALCULO DOS PARAMETROS GEOMETRICOS

3102 GO TO (3111,3125,3120,3115,3110,3105), NPOS+1

3105 EY=X(KPOS+4)

3110 EX=X(KPOS+3)

3115 SY=X(KPOS+2)

3120 SX=X(KPOS+1)

3125 GAMA=X(KPOS)*3.141593/180.

3130 COSG=COS(GAMA)

SENQ=SIN(GAMA)

TX=X(2*NI-1)-EX

TY=X(2*NI)-EY

IF (NI.EQ.NF) GO TO 3132

VX=SX-EX-VX

VY=SY-EY-VY

3132 VH=SQRT(VX**2+VY**2)

V=SQRT(PD(N,1)**2+VH**2)

COSB=PD(N,1)/V

SENB=VH/V

SENA=0.

COSA=1.

IF (VH.LT.TOL)GO TO 3135

COSA=VX/VH

SENA=VY/VH

C *** DETERMINACAO DOS NOS SEGUNDO A NUMERACAO INTERNA

3135 DO 3140 NIN=1,NNAC(N)

 IF (NI.EQ.NEX1(NIN)) GO TO 3145

3140 CONTINUE

3145 NOI=NIN

 DO 3150 NIN=1,NNAC(N+1)

 IF (NF.EQ.NEX2(NIN)) GO TO 3155

3150 CONTINUE

3155 NOF=NNAC(N)+NIN+1

C *** CALCULO DA MATRIZ DE RIGIDEZ DE PILAR, JA TRANSFORMADA

CALL MARIP

 IF ((MCP.NE.1).AND.(NAND.NE.N)) GO TO 3170

C *** GRAVACAO DA MATRIZ SEMI-TANSMFORMADA EM DISCO

 WBT(11)((SR(J,L),J=1,9),L=1,9),COSA,COSB,COSG,

 SENB,SENQ,SX,SY,AZ,V

C *** ESPALHAMENTO NA MATRIZ GLOEAL

3170 CALL DSTRB(3)

 DO 5000 NCCA=1,NCC

 IF (IPPR(NCCA).EQ.0) GO TO 5000

 SENA=0.

 COSA=0.

 AML(3)=0.5*PESP*V#Z

 AML(6)=AML(3)

 IF (N.EQ.NA) AML(6)=0.

 CALL DSTRB(4)

 CONTINUE

5000

3180 CONTINUE

3190 CONTINUE

C =====

C *** APOIOS ELASTICOS DE ANDAR

 NF=(2*NOB+2*NCC-NDA+4)*(NDA-3)/2

 C (NOB-LF(N)+1)*(NOB-LF(N))/2

 NOI=NOB-NDA+2

 DO 3400 J=2,4

 NI=NF+1

 NF=NI+NOI+NCC

 NOI=NOI-1

C *** SOMAR COEFICIENTE DE RIGIDEZ DO APOIO ELASTICO DE ANDAR

 DO 3400 K=1,N

3400 B(NI)=B(NI)+PD(K,J)

IF (N.NE.NA) GO TO 3199

C **** APOIOS ELASTICOS INFERIORES E DESLOCAMENTOS PRESCRITOS

DO 3500 NIN=1,NA(NA+1)
 IF (NAPEL.EQ.0) GO TO 3420
 DO 3410 K=NA+1,NA+NAPEL
 NDF=PD(K,1)

IF (NDF.EQ.NEX2(NIN)) GO TO 3450
 CONTINUE

C *** MULTIPLICACAO POR NUMERO GRANDE

3420 DO 3440 J=1,2
 NI=NF+1
 NF=NI+NFI
 NOI=NFI-1

B(NI)=(B(NI)+1.)*1.E30
 DO 3430 NCCA=1,NCC

NF=NF+1

B(NF)=B(NF)*B(NI)

3430 CONTINUE
 GO TO 3500

3440 DO 3480 J=2,4
 NI=NF+1

NF=NI+NFI

NOI=NOI-1

IF ((PD(K,J).LT.TOL).OR.(PD(K,J).GT.-TOL)) GOT0 3460
 B(NI)=B(NI)+PD(K,J)

NF=NF+NCC

GO TO 3480

B(NI)=B(NI)*1.E30

DO 3470 NCCA=1,NCC

NF=NF+1

B(NF)=B(NF)*B(NI)

3480 CONTINUE
 3500 CONTINUE

C **** CHAMADA A SUBROTINA PARA TRIANGULARIZACAO DO BLOCO

3199 CALL BLOCO

C *** TESTANDO SE HOUVE ERRO NA TRIANGULARIZACAO

3200 IF (ICE.NE.0) RETURN
 CONTINUE

RETURN

END

```

SUBROUTINE CARGA (SV)
C **** ESTA SUBROTINA CALCULA OS ESFORÇOS DE ENG. PERFEITO
C ***** DIMENSION SV(6,6), SMIS(6,6)
C REAL*8 B
COMMON/UM/ B(28000)
COMMON/DOIS/ ICE, IM, IFOS, NA, NOI, NOF, AY, AZ, ZI,
*COSA,COSB,COSG,SENA,SEN8,SENG, SX, SY, EX, EY, IX, TY,
*NEX1(40),NEX2(40),KPOS,ITPIL,NAPEL,IPPR(5),NDFRC(5),
*SC(12,12),SRT(12,9),PD(61,4),NNAC(61),IFLXV,IFLXP,
*NPROB, NVPAC(380), NVP(1600), PESP, AML(12), LF(60),
*NCC, NCCA, N, NGE, NDA, TOL, IREGV(60),IREGP(60),NTOT,
*NZERO, ITIT
COMMON/TRES/E, AX, XI, YI, V, NCOOR, ITVIC, FI,
*IT, IDENT, X(1600), HMA, HME, BL, ALA, ALB, SF, CF,
*U, T, RATO
C COS(XY)=DCOS(XY)
C SIN(XY)=DSIN(XY)
C ALOG(XY)=DALOG(XY)
C=====
IT=0
LPK=2*NCCA*NA
DO 2160 NAC=1,N
LPK=LPK+2
ICI=NVPAC(LPK-1)+1
ICF=NVPAC(LPK)
DO 2140 IC=ICI,ICF+2,2
IF (IC.NE.ICF+2) GO TO 10
C=====
IF (NAC.NE.N) GO TO 2140
C *** VERIFICANDO SE DEVE CONSIDERAR O PESO PROPRIO
IF ((IPPR(NCCA).EQ.0).OR.(IDENT.EQ.3)) GO TO 2140
IT=2
P=PESP*AX
VA=0.
VB=V
GO TO (2321,250,350), IDENT+1
C=====
10 J=NVP(IC+1)/1000000
IF ((J.NE.0).AND.(J.LT.N)) GO TO 2140
IF (.NOT.(ZI.IS.NVP(IC))) GO TO 2140
KPOS=NVP(IC+1)/10
IT=NVP(IC+1)-KPOS*10
KPOS=KPOS-3*100000
P=X(KPOS)
VA=X(KPOS+1)
GO TO (100,200,300,400), IDENT+1
C ====
C *** CARGA EM VIGA DE EIXO RETO
100 GO TO (2310,2320,2330,2340,2350), IT
C *** CONCENTRADA
2310 VB=V-VA
AML(9)=(P*VB/V)*(1.+VA/V/V*(VB-VA)/FI)
AML(8)=(P*VB*VB/V-AML(5)*V)/2.
AML(12)=P-AML(9)
AML(11)=P*VB-AML(E)-AML(9)*V
GO TO 2139
C *** UNIFORME PARCIAL
2320 VB=X(KPOS+2)
IF (VB.LT.TOL) VB=V
2321 VC=(VB-VA)/2.
VA=VA+VC
VB=V-VA
2325 AML(9)=(2.*P*VC/V)*(VE+(VC*VC-VA*VB)*(VA-VE)/V/V/FI)
AML(8)=P*VC/V*(VC*VC/3.+VB*VB)-AML(9)*V/2.
AML(12)=2.*P*VC-AML(S)
AML(11)=AML(12)*VB-AML(9)*VA-AML(E)
GO TO 2139
C *** "TRAPEZOIDAL" PARCIAL

```

```

2330 IF (X(KPOS+3) .LT. TOL) X(KPOS+3)=V
      Q=X(KPOS+2)=P
      VC=(X(KPOS+3)-VA)/3.
      VA=VA+2.*VC
      VB=V-VA
      AML(9)=(1.5*G*VC/V)*(VE+((3.*VC*VC-2.*VA*VB)*(VA-VB)
      -.8*VC*VC*VC)/2./V/V/F))
      AML(8)=.375*G*VC/V*(VC*VC+2.*VB*VE)-AML(9)*V/2.
      AML(12)=1.5*G*VC-AML(9)
      AML(11)=AML(12)*VE-AML(9)*VA-AML(8)
      VA=VA-VC/2.
      VB=VB+VC/2.
      VC=VC+.15
      GO TO 2325
C *** TORSOR APLICADO
2340 VB=V-VA
      AML(1)=AML(1)-P*VE/V
      AML(4)=AML(4)-P*VA/V
      GO TO 2140
C *** FLETOR APLICADO.
2350 VB=V-VA
      AML(9)=-6.*F*VA*VB/V/V/V/FI
      AML(8)=-P*VB/V=AML(9)*V/2.
      AML(12)=-AML(9)
      AML(11)=-P-AML(8)-AML(9)*V
      GO TO 2139
=====
C *** CARGA EM VIGA CIRCULAR
200 GO TO (210,250),IT
C *** CARGA CONCENTRADA EM VIGA CIRCULAR ****
210 ALFA=-VA*3.141593/180.
      SA=SIN(ALFA)
      CA=COS(ALFA)
      C1=SF**2.-SA**2.
      C2=SF*CF-SA*CA+ALFA-FI
      AML(7)=-P*RAIG**2.*((C1*SA/2.+C2*CA/2.+SA-SF+(FI-ALFA)
      *CA)/G/XI -(C1*SA/2.+C2*CA/2.)/E/YI)
      AML(8)=-P*RAIO**2.*((C2*SA/2.+C1*CA/2.+CF-CA)/G/XI
      +(FI-ALFA)*SA+C2*SA/2.-C1*CA/2.)/E/YI)
      AML(9)=P*RAIO**3.*((SIN(FI-ALFA)+ALFA-FI-CF*(C1*SA/2.+C2
      *CA/2.+SA-SF+(FI-ALFA)*CA)+SF*(-C2*SA/2.+C1*CA/2.+CF
      -CA))/G/XI +(SF*(FI-ALFA)*SA+C2*SA/2.-C1*CA/2.)*
      CF*(C1*SA/2.+C2*CA/2.))/E/YI)
      C1=RATIO*(CA-CF)
      C2=V/2.*RAIO*SA
      DO 220 J=4,6
220 AML(J+6)=-SV(J,4)*AML(7)-SV(J,5)*AML(8)-SV(J,6)*AML(9)
      AML(1)=AML(1)+P*C1-AML(10)
      AML(2)=AML(2)+V*AML(12)-P*C2-AML(11)
      AML(3)=AML(3)+P-AML(12)
      AML(4)=AML(4)+AML(10)
      AML(5)=AML(5)+AML(11)
      AML(6)=AML(6)+AML(12)
      GO TO 2140
C *** CALCULO DE CARGA DISTRIBUICAO TOTAL *****
250 AML(7)=P*RAIO**2.*T*SF*(1./G/XI-1./E/YI)
      AML(8)=P*RAIO**3.*((2.*SF-T*CF-2.*FI*CF)/G/XI +
      (2.*SF-U*CF)/E/YI)
      AML(9)=-P*RAIO**4.*((2.*T**2./G/XI + (2.*SF**2.-
      .5*(U-T)**2.)/E/YI)
      DO 260 J=4,6
260 AML(J+6)=-SV(J,4)*AML(7)-SV(J,5)*AML(8)-SV(J,6)*AML(9)
      C1=V/FI/2.-RAIO*CF
      AML(1)=AML(1)+P*RAIO**2.*FI*(C1-AML(10))
      AML(2)=AML(2)+V*AML(12)-AML(11)-P*RAIO*FI*V
      AML(3)=AML(3)+P*RAIO*FI*2.-AML(12)
      AML(4)=AML(4)+AML(10)
      AML(5)=AML(5)+AML(11)
      AML(6)=AML(6)+AML(12)
      GO TO 2140

```

```

=====
C *** CARGA EM VIGA COM MISULA
300 GO TO (310,350), IT
C *** CARGA CONCENTRADA EM VIGA COM MISULA *****
C *** CALCULO DOS PARAMETROS 'A ESQUERDA
310 VE=V
V=VA
VA=ALB
ALA=ALA*VB/V
ALB=0.
CALL MARI V (SMIS)
C22=SMIS(5,5)
C25=-SMIS(3,5)
C55=SMIS(3,3)
C1=SMIS(2,5)
C2=SMIS(2,3)
C3=SMIS(3,5)
C4=SMIS(3,3)
ALB=VA
VA=ALA*V/VB
C *** CALCULO DOS PARAMETROS 'A DIREITA *****
V=VB-V
ALB=ALB*VB/V
ALA=0.
CALL MARI V (SMIS)
C22=C22+SMIS(2,2)
C25=C25+SMIS(2,3)
C55=C55+SMIS(3,3)
C=C22+C55-C25**2
G2=P*C25/C
G5=-P*C22/C
AML(8)=C1+G2-C2*G5
AML(9)=C3+G2-C4*G5
AML(11)=SMIS(2,5)*G2+SMIS(3,5)*G5
AML(12)=-SMIS(2,3)*G2-SMIS(3,3)*G5
ALB=ALB*V/VB
ALA=VA
V=VB
GO TO 2139
C *** CARGA UNIFORME TOTAL EM VIGA COM MISULA *****
350 C=HMA/HME-1.
C1=(C+2.)/2./(C+1.)*#2
C2=1./2./(C+1.)*#2
C3=(ALOG(C+1.)*C*(3.*C+2.)/2./(C+1.)*#2)/C**3
C4=(-3.*ALOG(C+1.)*C*(6.+9.*C+2.*C*C)/2./(C+1.)*#2)/C**4
C4=1.-4.*((C1-3.*((C2-C3)-C4))
C3=1.-3.*((C1-2.*C2+C3)
C2=1.-2.*((C1-C2)
C22=1.-3.*ALA*((C1-ALA+C2)-(ALA**3+ALB**3)*C3
C25=1.-3.*((ALA**2+ALB**2)*C2+2.*((ALA**2+ALB**2)*C3
C55=1.-3.*ALB*((C1-ALA+C2)-(ALA**3+ALB**2)*C3
B2=1.-6.*((ALA**2*C2+4.*((2.*ALA**2+ALB**2)*C3-
3.*((ALA**4+ALB**4)*C4
B5=1.-6.*((ALB**2*C2+4.*((2.*ALB**2+ALA**2)*C3-
3.*((ALB**4+ALA**4)*C4
C=4.*C22*C55-C25**2
G2=3.*((2.*C55*B2-C25*B5)/C
G5=3.*((2.*C22*B5-C25*B2)/C
AML(8)=-P*V*V/12.*G2
AML(11)= P*V*V/12.*G5
AML(9)= -(AML(8)+AML(11)-P*V*V/2.)/V
AML(12)= AML(9)+P*V
GO TO 2139
=====
C *** CARGA EM VIGA QUALQUER
400 AML(1)=AML(1)+X(KPOS)
AML(2)=AML(2)+X(KPOS+1)
AML(3)=AML(3)+X(KPOS+2)
AML(4)=AML(4)+X(KPOS+3)
AML(6)=AML(6)+X(KPOS+5)

```

```

GC TO 2140
C=====
2139   AML(2)=AML(2)+AML(8)
        AML(3)=AML(3)+AML(9)
        AML(5)=AML(5)+AML(11)
        AML(6)=AML(6)+AML(12)
2140   CONTINUE
2160   CONTINUE
      RETURN
      END

```

a

SUBROUTINE MARIV (SV)

```

C **** ESTA SUBROTINA CALCULA A M. DE RIGIDEZ NO SISTEMA LOCAL
C **** DIMENSION SV(6,6)
C-----REAL*8 B
C-----COMMON/UM/ BC28((C)
C-----COMMON/TRES/E, G, AX, XI, YI, V, NCOOR, ITVIG, FI,
C-----*IT, IDENT, X(16((C)), HMA, HME, BL, ALA, ALB, SF, CF,
C-----*U, T, RAI0
C-----COS(XY)=DCOS(XY)
C-----SIN(XY)=DSIN(XY)
C----- ALOG(XY)=DALOG(XY)
C=====
DO 1 J=1,6
DO 1 L=1,6
1   SV(J,L)=0.
GO TO (10,30,50,70), IDENT+1
C **** GERACAO DE MATRIZ DE RIGIDEZ DE VIGA DE EIXO RETO
10   FI=1.
      IF (AX.GT.TOL) FI=1.+12.*E*YI/V/V/AX/G*1.2
      SV(1,1)=G*X1/V
      SV(1,4)=SV(1,1)
      SV(4,4)=SV(1,1)
      SV(2,2)=(3./FI+1.)*E*YI/V
      SV(5,5)=SV(2,2)
      SV(2,3)=-6.*E*YI/V/V/FI
      SV(3,2)=SV(2,3)
      SV(2,6)=-SV(2,3)
      SV(3,5)=SV(2,3)
      SV(5,6)=SV(2,6)
      SV(6,5)=SV(5,6)
      SV(3,3)=2.*SV(2,6)/V
      SV(3,6)=-SV(3,3)
      SV(6,6)=SV(3,3)
      SV(2,5)=(3./FI-1.)*E*YI/V
      RETURN
C *** MATRIZ DE VIGA CIRCULAR

```

```

30   FI=FI*3.141593/360.
    U=FI+SIGN(2.*FI)/2.
    T=2.*FI-U
    CF=COS(FI)
    SF=SIN(FI)
    RAID=V/2.*SF
    SV(4,4)=RAID*(U/G/XI + T/E/YI)
    SV(4,5)=0.
    SV(4,6)=-RAID**2.*((2.*SF-U*CF)/G/XI - T*CF/E/YI)
    SV(5,5)=RAID*(T/G/XI + U/E/YI)
    SV(5,6)=-RAID*SF*SV(5,5)
    SV(6,6)=RAID**3.*((U*CF**2.+T*SF**2.-U+3.*T)/G/XI
    C + (U*SF**2.+T*CF**2.)/E/YI)
    CALL INVFLX(6,SV,V)
    RETURN
=====
C *** MATRIZ DE VIGA COM MISULA
50   C=HMA/HME-1.
    C1=(C+2.)/2./(C+1.)**2
    C2=1./2./(C+1.)*2
    C3=(ALOG(C+1.)-E*(3.*C+2.)/2./(C+1.)**2)/C**3
    C3=1.-3.*(C1-2.*C2+C3)
    C2=1.-2.*(C1-C2)
    C1=1.-C1
    C22=1.-3.*ALA*(C1-ALA*C2)-(ALA**3+ALB**3)*C3
    C25=1.-3.*ALA**2+ALB**2)*C2+2.*ALA**3+ALB**3)*C3
    C55=1.-3.*ALB*(C1-ALB*C2)-(ALA**3+ALB**3)*C3
    C=(HMA-HME)/(HME-E3*EL)
    C=ALOG(1.+C)/C
    F11=1./((1.-(ALA+ALB)*(1.-C)))
    C=4.*C22*C55-C25**2
    F22=3.*C55/C
    F23=(C25+2.*C55)/C
    F25=3.*C25/C
    F33=(C22+C25+C55)/C
    F35=(2.*C22+C25)/C
    F55=3.*C22/C
    SV(1,1)= G*XI/V*F11
    SV(1,4)=-SV(1,1)
    SV(4,4)=SV(1,1)
    SV(2,2)=4.*E*YI/V*F22
    SV(2,3)=-6.*E*YI/V/V*F23
    SV(2,6)=-SV(2,3)
    SV(3,2)=SV(2,3)
    SV(2,5)=2.*E*YI/V*F25
    SV(3,3)=12.*E*YI/(V**3)*F33
    SV(3,6)=-SV(3,3)
    SV(6,6)=SV(3,3)
    SV(3,5)=-6.*E*YI/V/V*F35
    SV(5,6)=-SV(3,5)
    SV(6,5)=SV(5,6)
    SV(5,5)=4.*E*YI/V*F55
    RETURN
=====
C *** MATRIZ DE RIGIDEZ DE VIGA QUALQUER
70   IT=2*NCOOR+3*ITVIG+(IT-1)*6
    SV(4,4)=X(IT+1)
    SV(4,5)=X(IT+2)
    SV(4,6)=X(IT+3)
    SV(5,5)=X(IT+4)
    SV(5,6)=X(IT+5)
    SV(6,6)=X(IT+6)
    CALL INVFLX(6,SV,V)
    RETURN
    END

```

```

SUBROUTINE ROTRAN (SV)
C **** ESTA SUBROTINA EFETUA AS TRANSFORMACOES DA MATRIZ
C DE RIGIDEZ DA VIGA PARA O SISTEMA GLOBAL
C **** DIMENSION RTI(3,3), RTF(3,3), SV(6,6)
C      REAL*8 B
C      COMMON/UM/ B(28)(C)
C      COMMON/DQIS/ ICE, IM, IFOS, NA, NOI, NOF, AY, AZ, ZI,
C      *COSA,COSB,COSG,SENA,SENB,SENG, SX, SY, EX, EY, TX, TY,
C      *NEX1(40),NEX2(40),KPOS,ITPIL,NAPEL,IPPR(5),NDPR(5),
C      *SC(12,12),SR(12,9),PD(61,4),NNA(61),IFLXV,IFLXP,
C      *NPDOB,NVPAC(380),NVP(1600),PESP,AML(12),LF(60),
C      *NCC, NCCA, N, NGE, NDA, TUL,IREGV(60),IREGP(60),NTOT,
C      *NZERO, ITIT
C      COMMON/TRES/E, G, AX, XI, YI, V, NCOOR, ITVIC, FI,
C      *IT, IDENT, X(16)(C), HMA, HME, BL, ALA, ALB, SF, CF,
C      *U, T, RAIU
C =====
RTI(1,1)=COSA
RTI(1,2)=SENA
RTI(2,1)=-SENA
RTI(2,2)=COSA
RTI(1,3)=0.
RTI(2,3)=0.
RTI(3,1)=-SY*COSA+SX*SENA
RTI(3,2)=-SY*SENA-SX*COSA
RTI(3,3)=1.
RTF(1,1)=COSA
RTF(1,2)=SENA
RTF(2,1)=-SENA
RTF(2,2)=COSA
RTF(1,3)=0.
RTF(2,3)=0.
RTF(3,1)=-EY*COSA-EX*SENA
RTF(3,2)=-EY*SENA+EX*COSA
RTF(3,3)=1.
C =====
C *** MULTIPILCAÇÃO PELA MATRIZ DE ROTACAO E TRANSFERENCIA
DO 101 J=1,6
DO 101 L=1,6
101   S(J,L)=0.
      DO 1 J=1,3
      DO 2 L=1,3
      SR(L,J)=0.
      SR(L,J+3)=0.
      SR(L+3,J+3)=0.
      SR(L+3,J)=0.
      DO 3 K=1,3
      SR(L,J)=SR(L,J)+SV(L,K)*RTI(K,J)
      SR(L,J+3)=SR(L,J+3)+SV(L,K+3)*RTF(K,J)
      SR(L+3,J)=SR(L+3,J)+SV(K,L+3)*RTI(K,J)
      SR(L+3,J+3)=SR(L+3,J+3)+SV(L+3,K+3)*RTF(K,J)
3     CONTINUE
      IF (NOI.GT.NOF) GO TO 6
      DO 4 L=1,3
      DO 5 K=1,3
      S(L,J)=S(L,J)+SR(K,J)*RTI(K,L)
      S(L,J+3)=S(L,J+3)+SR(K,J+3)*RTI(K,L)
      S(L+3,J+3)=S(L+3,J+3)+SR(K+3,J+3)*RTF(K,L)
4     CONTINUE
      GO TO 1
6     DO 7 L=1,3
      DO 8 K=1,3
      S(L,J)=S(L,J)+SR(K+3,J+3)*RTF(K,L)
      S(J,L+3)=S(J,L+3)+SR(K,J+3)*RTI(K,L)
      S(L+3,J+3)=S(L+3,J+3)+SR(K,J)*RTI(K,L)
7     CONTINUE
1     CONTINUE
      RETURN

```

END

SUBROUTINE MARIF

```

C **** ESTA SUBROTINA CALCULA A MATRIZ DE RIGIDEZ DE UM PILAR
C *** E EFETUA AS TRANSFORMACOES PARA O SISTEMA GLOBAL
C ****
C      DIMENSION R(12,9)
C      REAL*8 B
C      COMMON/UM/ B(2800)
C      COMMON/ODIS/ ICE, IM, IPQS, NA, NOI, NOF, AY, AZ, ZI,
C      *COSA, COSB, COSG, SENA, SENB, SENG, SX, SY, EX, EY, TX, TY,
C      *NEX1(40), NEX2(40), KPOS, ITPL, NAPEL, IPPR(5), NCPR(5),
C      *S(12,12), SRC(12,9), PD(61,4), NNA(61), IFLXV, IFLXP,
C      *NPROB, NVPA(380), NVPC(1600), PESP, AML(12), LF(60),
C      *NCC, NCCA, N, NOE, NDA, TOL, IREGV(60), IREGP(60), NTOT,
C      *NZERO, ITIT
C      COMMON/TRES/E, G, AX, XI, YI, V, NCOOR, ITVIG, FI,
C      *IT, IDENT, X(1600), HMA, HME, BL, ALA, ALB, SF, CF,
C      *U, T, RAIO
C ****
C      DO 10 J=1,12
C      DO 10 K=1,12
10      S(J,K)=0.
      IF (IDENT.NE.0) GO TO 60
C **** MATRIZ DE RIGIDEZ DE PILAR SIMPLES
C      IT=2*NCOOR+ITVIG+3+(IFLXV+IT-1)*6
      XI=X(IT+1)
      YI=X(IT+2)
      ZI=X(IT+3)
      AZ=X(IT+4)
      AX=X(IT+5)
      AY=X(IT+6)
      FIX=1.
      FIY=1.
      IF(AX.EQ.0.) GO TO 50
      FIX=1.+12.*E*YI/G/AX/V**2.
50      IF(AY.EQ.0.) GO TO 51
      FIY=1.+12.*E*XI/G/AY/V**2.
51      S(1,1)=(FIY+3.)/FIY+E*XI/V
      S(7,7)=S(1,1)
      S(1,7)=S(1,1)*(3.-FIY)/(3.+FIY)
      S(7,1)=S(1,7)
      S(1,5)=S(1,1)*6./(3.+FIY)/V
      S(5,1)=S(1,5)
      S(1,11)=-S(1,5)
      S(11,1)=S(1,11)
      S(5,7)=S(1,5)
      S(7,5)=S(5,7)
      S(7,11)=S(1,11)

```

```

S(11,7)=S(7,11)
S(5,5)=S(1,5)*2./V
S(11,11)=S(5,5)
S(5,11)=-S(5,5)
S(11,5)=S(5,11)
S(2,2)=(FIX+3.)/FIX*E*YI/V
S(8,8)=S(2,2)
S(2,8)=S(2,2)*(1.-FIX)/(3.+FIX)
S(8,2)=S(2,8)
S(2,4)=-S(2,2)*6./(3.+FIX)/V
S(4,2)=S(2,4)
S(2,10)=-S(2,4)
S(10,2)=S(2,10)
S(4,8)=S(2,4)
S(8,4)=S(4,8)
S(8,10)=S(2,10)
S(10,8)=S(8,10)
S(4,4)=S(8,10)*2./V
S(10,10)=S(4,4)
S(4,10)=-S(4,4)
S(10,4)=S(4,10)
S(3,3)=E*AZ/V
S(3,9)=-S(3,3)
S(9,3)=S(3,9)
S(9,9)=S(3,3)
S(6,6)=G*ZI/V
S(6,12)=-S(6,6)
S(12,6)=S(6,12)
S(12,12)=S(6,6)
GO TO 100

```

```

C=====
C *** MONTAGEM DA MATRIZ DE FLEXIBILIDADE DE PILAR
60 IT=2*NCOOR+3*ITVIG+6*(IFLXV+ITPIL)+(IT-1)*24
DO 70 J=1,6
DO 70 K=J,6
IT=IT+1
70 S(J,K)=X(IT)
C *** CALCULO DA MATRIZ DE RIGIDEZ VIA FLEXIBILIDADE
CALL INVFLX (12,S,V)
C=====
C *** MONTAGEM DA MATRIZ DE ROTACAO
100 R(1,1)=COSA*COSB*COSG-SENA*SENG
R(1,2)=SENA*COSB*COSG+COSA*SENG
R(2,1)=-COSA*COSB*SENG-SENA*COSC
R(2,2)=-SENA*COSB*COSG+COSA*COSG
R(3,3)=COSB
R(4,4)=R(1,1)
R(4,5)=R(1,2)
R(5,4)=R(2,1)
R(5,5)=R(2,2)
R(6,6)=R(3,3)
R(7,7)=R(1,1)
R(7,8)=R(1,2)
R(8,7)=R(2,1)
R(8,8)=R(2,2)
R(9,9)=R(3,3)
R(1,6)=-SENB*COSG
R(2,6)=SENB*SENG
R(3,4)=COSA*SENB
R(3,5)=SENA*SENB
R(4,3)=R(1,6)
R(5,3)=R(2,6)
R(6,1)=R(3,4)
R(6,2)=R(3,5)
R(10,9)=R(1,6)
R(11,9)=R(2,6)
R(12,7)=R(3,4)
R(12,8)=R(3,5)
C=====
C *** MONTAGEM DA MATRIZ DE ROTACAO X TRANSFERENCIA

```

```

R(3, 1)=-R(3, 3)*EY
R(3, 2)= R(3, 3)*EX
R(4, 1)=-R(4, 3)*EY
R(4, 2)= R(4, 3)*EX
R(5, 1)=-R(5, 3)*EY
R(5, 2)= R(5, 3)*EX
R(3, 6)=-R(3, 4)*TY+R(3, 5)*TX
R(4, 6)=-R(4, 4)*TY+R(4, 5)*TX
R(5, 6)=-R(5, 4)*TY+R(5, 5)*TX
R(9, 7)=-R(9, 9)*SY
R(9, 8)= R(9, 9)*SX
R(10, 7)=-R(10, 9)*SY
R(10, 8)= R(10, 9)*SX
R(11, 7)=-R(11, 9)*SY
R(11, 8)= R(11, 9)*SX
=====
C *** MULTPLICACAO = TRANSFORMACAO 'A DIREITA
CALL PROD(S,R,SR,12,12,S,S)
C *** MULTPLICACAO = TRANSFORMACAO 'A ESQUERDA
CALL PROD(R,SR,S,S,12,9,12)
RETURN
END

```

```

SUBROUTINE PROD (A,E,C,LA,KA,KB,KC)
C **** ESTA SUBROTINA EFETUA UM PRODUTO MATRICIAL
C **** DIMENSION A(KA,LA), B(12,S), C(KA,KC)
C *** OS PRODUTOS SAO EFETUADOS POR COLUNA
      DO 10 L=1,LA
      DO 10 K=1,KB
      C(L,K)=0.
10      DO 10 J=1,KA
              C(L,K)=C(L,K)+A(J,L)*E(J,K)
      RETURN
END

```

```

SUBROUTINE INVFLX(NN,S,V)
C **** ESTA SUBROTINA GERA A MATRIZ DE RIGIDEZ A PARTIR
C *** DA MATRIZ DE FLEXIBILIDADE DE VIGA OU PILAR
C ****
C ***** DIMENSION S(NN,NN)
C *** SE NN=6, VIGA *** SE NN=12, PILAR
C *** SE VIGA, INverte-SE 3x3 ENTRE LINHAS E COLUNAS 4 E 6
C *** SE PILAR, INverte-SE 6x6 ENTRE LINHAS E COLUNAS 1 E 5
10    ILI=4
20    IF (NN.EQ.12) ILI=1
30    DO 50 IL=ILI,6
40    P=S(IL,IL)
50    S(IL,IL)=1.
60    IF (IL.EQ.6) GO TO 30
70    DO 20 IK=IL+1,6
80    S(IK,IL)=0.
90    DO 10 IC=ILI,6
100   S(CK,IC)=S(CK,IC)-S(IL,IC)/P*S(IL,IK)
110   CONTINUE
120   DO 40 IC=ILI,6
130   S(IL,IC)=S(IL,IC)/P
140   CONTINUE
150   IL1=7
160   DO 80 IL=ILI,5
170   IL1=IL1-1
180   IK1=IL1
190   DO 70 IK=IL,5
200   IK1=IK1-1
210   DO 60 IC=ILI,IK1
220   S(CK,IC)=S(CK,IC)-S(IL1,IC)*S(IK1,IL1)
230   S(IK1,IL1)=S(IL1,IK1)
240   CONTINUE
250   CONTINUE
260   IF (NN.EQ.12) GO TO 150
270   CALCULO DO RESTANTE DA MATRIZ, POR EQUILIBRIO (VIGA)
280   DO 100 IL=4,6
290   S(1,IL)=-S(4,IL)
300   S(2,IL)= V*S(6,IL)-S(5,IL)
310   S(3,IL)=-S(6,IL)
320   DO 110 IL=1,3
330   S(1,IL)=-S(IL,4)
340   S(2,IL)= V*S(IL,6)-S(IL,5)
350   S(3,IL)=-S(IL,6)
360   RETURN
370   DO 160 IL=1,6
380   CALCULO DO RESTANTE DA MATRIZ, POR EQUILIBRIO (PILAR)
390   S(7,IL)= V*S(5,IL)-S(1,IL)
400   S(IL,7)= S(7,IL)
410   S(8,IL)=-V*S(4,IL)-S(2,IL)
420   S(IL,8)= S(8,IL)
430   S(9,IL)=-S(3,IL)
440   S(IL,9)= S(9,IL)
450   S(10,IL)=-S(4,IL)
460   S(IL,10)= S(10,IL)
470   S(11,IL)=-S(5,IL)
480   S(IL,11)= S(11,IL)
490   S(12,IL)=-S(6,IL)
500   S(IL,12)= S(12,IL)
510   DO 170 IL=7,12
520   S(7,IL)= V*S(5,IL)-S(1,IL)
530   S(8,IL)=-V*S(4,IL)-S(2,IL)
540   S(9,IL)=-S(3,IL)
550   S(10,IL)=-S(4,IL)
560   S(11,IL)=-S(5,IL)
570   S(12,IL)=-S(6,IL)
580   END

```

```

SUBROUTINE RESEQ
C **** ESTA SUBROTINA RESOLVE O SISTEMA DE EQUACOES ****
C ****
C      REAL*8 B
C      COMMON/UM/ B(28)(0)
C      COMMON/DDIS/ ICE, IM, IPQS, NA, NOI, NOF, AY, AZ, ZI,
C      *COSA,COSB,COSG,SENA,SENB,SENG, SX, SY, EX, EY, TX, TY,
C      *NEX1(40),NEX2(40),KPOS,ITPIL,NAPEL,IPPR(5), NCP(5),
C      *S(12,12), SR(12,5), PD(61,4), NNA(61), IFLXV, IFLXF,
C      *NPROB, NVPA(380), NVP(1600), PESP, AML(12), LF(60),
C      *NCC, NCCA, N, NOE, NOA, TOL, IREGV(60), IREGP(60), NTOT,
C      *NZERO, ITIT
C      COMMON/TRES/E, G, AX, XI, YI, V, NCOOR, ITVIG, FI,
C      *IT, IDENT, X(1600), HMA, HME, BL, ALA, ALB, SF, CF,
C      *U, T, RAIO
C      ABS(XY)=DABS(XY)
C **** RESOLUCAO DO SISTEMA DE EQUACOES ****
C      DO 200 N=1,NA
C      J=NA+1-N
C      NDA=(NNA(J)+1)*3
C      NOB=NDA+NNA(J+1)*3
C      LTA=(NOB-LF(J)+1)*(NGB-LF(J))/2
C      IF (N.EQ.1) GO TO 330
C **** GRAVACAO DOS DESLOCAMENTOS DO ANDAR ANTERIOR (J+1)
C      WRITE(S) (B(IC),IC=1,IE)
C **** TRANSFERENCIA DO VETOR DE CARGA DO INICIO DO
C **** INICIO DO BLOCO PARA A SUA POSICAO EXATA
C      IG=(NGB+2*NCC+1)*NOE/2-LTA
C      IB=(NOB-NDA)*NCC
C      DO 120 IL=1,NOB-NDA
C      DO 130 NCC=1,NCC
C      B(IG)=B(IE)
C      IG=IG-1
C      130   IB=IB-1
C      120   IG=IG-IL
C      IB=(2*NOB+2*NCC-NDA+1)*NCA/2+1-LTA
C **** LEITURA DE UM BLOCO DA MATRIZ DE RIGIDEZ
C      BACKSPACE (7)
C      READ (?) (B(IC),IC=1,IB-1)
C      BACKSPACE (7)
C      330   IA=(NGB+2*NCC+1)*NOE/2-LTA
C      IF (N.EQ.1) IB=IA-NCC
C **** TESTE DO INDICE DE ESPARSIDADE
C      DO 3333 NTESP=1,IB-1
C      IF (ABS(B(NTESP)).LE.1.E-10) NZERO=NZERO+1
C      3333   NTOT=NTOT+1
C **** CALCULO DOS ULTIMOS DESLOCAMENTOS (ULTIMA EQUACAO)
C      IF (N.NE.1) GO TO 410
C      DO 400 IE=1,NCC
C      B(IA)=B(IA)/B(IB)
C      400   IA=IA-1
C      IA=IA+NCC
C **** CALCULO DOS DESLOCAMENTOS RELATIVOS AO ANDAR
C      410   K=NOB-NDA+1
C      IF (N.EQ.1) K=2
C      IH=K-1
C      DO 50 IL=K,NOB
C      IC=IB-NCC
C      IH=IH+1-IH/LF(J)
C      ID=IA
C      IA=IA-(IL-IH+NCC+1)*(IH/LF(J))

```

```

      IG=(IL-IH)*(IH/LF(J))
      DO 30 IE=2,IH
      IF=IB
      IC=IC-1
      IG=IG+1-IG/LF(J)
      DO 20 NCCA=1,NCC
      IF=IF-1
      B(IF)=B(IF)-B(ID)*E(IC)
      ID=ID-1
20   ID=ID-IG
      IF=IB
      IB=IC-1
      DO 40 NCCA=1,NCC
      IF=IF-1
      B(IF)=B(IF)/B(IB)
40
50   CONTINUE
C ===== TRANSFERENCIA DO VETOR DE CARGA PARA O INICIO =====
C =====
      IG=LF(J)
      IB=0
      K=NDA
      IF (N.EQ.1) K=NOE
      DO 100 IL=1,K
      DO 110 NCCA=1,NCC
      IB=IB+1
      IG=IG+1
      B(IB)=B(IG)
      IG=IG+LF(J)
      IF (IL.GT.NOE-LF(J)) IG=IG+NOE-IL-LF(J)
100  CONTINUE
100  CONTINUE
200  RETURN
END

```

SUBROUTINE FORCA

```

C **** ESTA SUBROTINA CALCULA ESFORCOS NAS EXTREMIDADES
C *** DOS ELEMENTOS E IMPRIME RESULTADOS GERAIS
C ****
C ***** DIMENSION SV(6,6)
C ***** DOUBLE PRECISION DSL(S)
C
      REAL*8 B
      COMMON/UM/ B(28000)
      COMMON/COIS/ ICE, IM, IPGS, NA, NOI, NOF, AY, AZ, ZI,
      *COSA,COSB,COSG,SENA,SENB,SENG, SX, SY, EX, EY, TX, TY,
      *NEX1(40),NEX2(40),KPOS,ITPIL,NAPEL,IPPR(5),NDPR(5),
      *S(12,12),SR(12,5),PD(61,4),NNA(61),IFLXV,IFLXF,
      *NPROM, NVPAC(380),NVP(1600),PESP,AML(12),LF(60),
      *NCC, NCCA, N, NOE, NDA, TOL, IREGV(60),IREGP(60),NTOT,
      *NZERG, ITIT
      COMMON/TRES/E, G, AX, XI, YI, V, NCOOR, ITVIG, FI,

```

```

*IT, IDENT, X(1600), HMA, HME, BL, ALA, ALB, SF, CF,
*U, T, RAIO
COMMON/QUATRO/ CHAVE, D(65), NI, NF, KT(9), DIGIT(13),
*ITABA(4,6), KPAR
COMMON/CINCO/ PALAV(13), ITAB(13*19), IFICA(4), IFLAG(6,2)
C==== POSICOES DOS DESLOCAMENTOS ACUMULADOS DE ANDAR
C *** IA=NNAC(1)*3*NCC+1
IA=NNAC(1)*3*NCC+1
IB=IA+3*NCC-1
ID=NA+1
DO 4005 N=1,NA+1
4005 ID=ID+NNAC(N)
ID=ID*3*NCC
IC=ID-3*NCC+1
DO 4010 K=IC, ID
B(K)=B(IA)
4010 IA=IA+1
C==== LEITURA DOS DESLOC. E ACUMULACAO DOS DESLOC. DE ANDAR
C *** IF (NA.EQ.1) GO TO 4016
IF (NA.EQ.1) GO TO 4016
DO 4020 N=2,NA
IB=IB+(NNAC(N)+1)*3*NCC
IF (N.EQ.NA) IE=IE+NNAC(NA+1)*3*NCC
BACKSPACE (9)
READ (9) (B(K),K=IA,IB)
BACKSPACE (9)
IA=IA+NNAC(N)*3*NCC
DO 4015 K=IC, ID
B(K)=B(K)+B(IA)
4015 IA=IA+1
4020 CONTINUE
C==== IMPRESSAO DOS DESLOCAMENTOS DOS NOS POR ANDAR
C *** 4016 DO 4900 NCCA=1,NCC
4016 DO 4900 NCCA=1,NCC
K=ID+1
L=ID+NNAC(NA+1)*6
DO 4021 J=K,L
4021 B(J)=0.
READ (1117*NCCA+1,156) (D(J),J=1,15)
156 FORMAT(15A4)
WRITE(1M,9200) NCCA, (D(J),J=1,15)
9200 FORMAT('1',20X,8C(''')/21X,'-'',78X,'-'',21X,'-'',9X,
'C A R R E G A M E N T O   N U M E R O ',I5,25X,'-'',
C21X,'-'',9X,15A4,5X,'-'',21X,'-'',78X,'-'',21X,80(''')//)
      REW
CALL NUMINT
IA=NCCA
DO 4030 N=1,NA
WRITE(1M,9210) N
9210 FORMAT(/21X,'DESLOCAMENTOS DOS NO''S DO ANDAR',
*I5,'NO ''',11X,'ROTACAO X',11X,'ROTACAO Y',8X,
*'TRANSLACAO Z')
CALL NUMINT
DO 4025 NIN=1,NNAC(N)
IB=IA+2*NCC
WRITE(1M,9700) NEX1(NIN),(B(K),K=IA,IE,NCC)
9700 FORMAT('1',15,3F2G.8)
4025 IA=IB+NCC
4030 IA=IA+3*NCC
C==== IMPRESSAO DOS DESLOCAMENTOS DOS APOIOS
C *** WRITE(1M,9215)
9215 FORMAT(/21X,'DESLOCAMENTOS DOS APOIOS',
*'NO ''',11X,'ROTACAO X',11X,'ROTACAO Y',8X,
*'TRANSLACAO Z')
DO 4035 NIN=1,NNAC(NA+1)
IB=IA+2*NCC
WRITE(1M,9700) NEX2(NIN),(B(K),K=IA,IB,NCC)
4035 IA=IB+NCC
C=====

```

```

C *** IMPRESSAO DOS DESLOCAMENTOS ACUMULADOS DE ANDAR
IA=NCCA
WRITE(IM,9220)
9220 FORMAT(//21X,'DESLOCAMENTOS DOS ANDARES',//,
*'ANDAR',8X,'TRANSLACAO X',8X,'TRANSLACAO Y',11X,
*'ROTACAO Z')
DO 4045 N=1,NA
IA=IA+NCC*3*NNAC(N)
WRITE(IM,9700) N,(B(K),K=IC,10,NCC)
DO 4040 K=IC,10,NCC
B(K)=B(K)-B(IA)
4040 IA=IA+NCC
4045 CONTINUE
IC=IC+1
C=====
C *** CALCULO DOS ESFORCOS NAS EXTREMIDADES DOS ELEMENTOS
WRITE(IM,9230)
9230 FORMAT(//11X,'ESFORCOS NAS EXTREMIDADES DOS ',  

*'ELEMENTOS',//)
IA=NCCA
MCV=0
MCP=0
N=0
CALL NUMINT
DO 4100 N=1,NA
CALL NUMINT
MCVL=MCV
MCPL=MCP
IPF=-3
I=0
WRITE(IM,9240) N
9240 FORMAT(//21X,'ANDAR NUMERO ',I5)
C=====
C *** CALCULO DOS E. E. DAS VIGAS
DO 4067 NANC=1,N
IVI=IPF+4
IVF=NVPAC(2*NAND-1)
IPF=NVPAC(2*NAND)
IF (IVI.GT.IVF) GO TO 4067
DO 4066 K=IVI,IVF,4
J=NVP(K+1)/1000000
IF ((J.EQ.0).OR.(J.GE.N)) GO TO 4050
IF (J.GT.IREGV(N)) MCVL=MCVL+1
GO TO 4066
MCVL=MCVL+1
4050 IF (I.EQ.0) WRITE(IM,9250)
I=MCVL
NI=NVP(K+1)/1000
NF=NVP(K+1)-NI*1000
NI=NI-J*1000
READ(10,I)(SR(J,L),J=1,6),L=1,E,V,SX,EX
9250 FORMAT(//11X,'EXTREMIDADE INICIAL',10X,'EXTREMIDADE ',  

*'FINAL',*VIGA MX',8X,'MY',8X,'FZ',8X,'MX',8X,  

*'MY',8X,'FZ')
DO 4052 NIN=1,NNAC(N)
IF (NI.EQ.NEX1(NIN)) NOI=NIN
4052 IF (NF.EQ.NEX1(NIN)) NOF=NIN
DO 4055 J=1,6
4055 AML(J)=C.
ZI=NVP(K)
IDENT=NVP(K+2)/1000
IT=NVP(K+2)-IDENT*1000
IF (IDENT.EQ.3) GO TO 4059
KPOS=NVP(K+3)/10
NPOS=NVP(K+3)-KPOS*10
FI=X(KPOS+4)
IT=2*NCOOR+(IT-1)*3
XI=X(IT+1)
YI=X(IT+2)
AX=X(IT+3)

```

```

IF (IDENT.EQ.1) GO TO 3041
FI=1.
IF (AX.GT.TOL) FI=1.*12.*E*YI/V/V/Ax/C*1.2
IF (IDENT.EQ.C) GO TO 4059
KPOS=KPOS+NPOS
HMA=X(KPOS)
BL=X(KPOS+2)
ALA=X(KPOS+3)
ALB=X(KPOS+4)
GO TO 4059
3041
4059
CALL MARIV (SV)
CALL CARGA(SV)
IB=IA+3*NCC*(NOI-1)
DSL(1)=B(IE)
IB=IB+NCC
DSL(2)=B(IE)
IB=IB+NCC
DSL(3)=B(IE)
IB=IA+3*NCC*(NOF-1)
DSL(4)=B(IB)
IB=IB+NCC
DSL(5)=B(IE)
IB=IB+NCC
DSL(6)=B(IE)
DO 4065 J=1,6
    DO 4066 L=1,6
        AML(J)=AML(J)+SR(J,L)*DSL(L)
4060
4065    CONTINUE
        WRITE(IM,$705) NVP(K),(AML(J),J=1,6)
4066    CONTINUE
4067    CONTINUE
9705    FORMAT(' ',A3,12F10.3)
        I=0
C=====
C *** CALCULO DOS E. E. DOS PILARES
C
        DG=4095-NAND-1,N
        IPI=NVPAC(2*NAND-1)+4
        IPF=NVPAC(2*NAND)
        IF (IPI.GT.IPF) GO TO 4095
        DO 4090 K=IPI,IPF,4
            J=NVP(K+1)/1000000
            IF ((J.EQ.0).OR.(J.GE.N)) GO TO 4075
            IF (J.GT.IREGP(N)) MCPL=MCPL+1
            GO TO 4090
            MCPL=MCPL+1
4075    IF (I.EQ.0) WRITE(IM,$260)
            I=MCPL
            NI=NVP(K+1)/1000
            NF=NVP(K+1)-NI*1000
            NI=NI-J*1000
            READ(11,I)((SR(J,L),J=1,9),L=1,9),COSA,COSB,COSG,
            SENB,SENG,SX,SY,AZ,V
* 9260 FORMAT(/11X,'E X T R E M I D A D E',13X,'S U F F E R I ',
* 'U R',11X,'E X T R E M I D A D E',13X,'I N F F E R I G R',
* 'PILAR',2('MX',8X,'MY',8X,'FZ',8X,'FX',8X,
* 'FY',8X,'MZ',8X)/)
            DO 4076 NIN=1,NNAN(N)
            IF (NI.EQ.NEX1(NIN)) NOI=NIN
            DO 4078 NIN=1,NNAN(N+1)
            IF (NF.EQ.NEX2(NIN)) NOF=NNAN(N)+1+NIN
            IB=IA+3*NCC*(NOI-1)
            DSL(1)=B(IE)
            IB=IB+NCC
            DSL(2)=B(IE)
            IB=IB+NCC
            DSL(3)=B(IE)
            IB=IA+3*NCC*NNAN(N)
            DSL(4)=B(IE)
            IB=IB+NCC
            DSL(5)=B(IE)

```

```

IB=IB+NCC
DSL(6)=B(IB)
IB=IA+3*NCC*(NOF-1)
DSL(7)=B(IE)
IB=IB+NCC
DSL(8)=B(IE)
IB=IB+NCC
DSL(9)=B(IE)
DO 4080 J=1,9
  AML(J)=G.
  DO 4080 L=1,9
    AML(J)=AML(J)+SR(J,L)*DSL(L)
  AML(10)=-AML(4)
  AML(11)=-AML(5)
  AML(12)=-AML(6)
  IF (IPPR(NCCA).EQ.0) GO TO 4085
  AZ=PESP*V*AZ/2.
  AML(3)=AML(3)+AZ*CGSE
  AML(9)=AML(9)+AZ*CGSE
  AML(4)=AML(4)-AZ*SENE*CGSG
  AML(10)=AML(10)-AZ*SEN8*CGSG
  AML(5)=AML(5)+AZ*SEN8*SENG
  AML(11)=AML(11)+AZ*SEN8*SENG
4085  WRITE(IM,9705) NVP(K), AML
      IF (N.NE.NA) GO TO 4090
      S(1,1)=COSA*COSB*COSG-SENA*SENG
      S(2,1)=SENA*COSE*COSG+COSA*SENG
      S(1,2)=-COSA*COSE*SENG-SENA*COSG
      S(2,2)=-SENA*COSE*SENG+COSA*COSG
      S(3,3)=COSB
      S(3,1)=-SENB*COSG
      S(3,2)=SENB*SENG
      S(1,3)=COSA*SENB
      S(2,3)=SENA*SENB
      DO 4082 J=1,3
        AML(J)=S(J,1)*AML(10)+S(J,2)*AML(11)+S(J,3)*AML(9)
4082  AML(J+3)=S(J,1)*AML(7)+S(J,2)*AML(8)+S(J,3)*AML(12)
        AML(4)=AML(4)-AML(3)*SY
        AML(5)=AML(5)+AML(3)*SX
        AML(6)=AML(6)+AML(1)*SY-AML(2)*SX
        J=ID+(NOF-NNAC(NA)-2)*6
        DO 4083 L=1,6
          J=J+1
4083  B(J)=B(J)+AML(L)
4090  CONTINUE
4095  CONTINUE
      IF (IREGV(N+1).NE.IREGV(N)) MCV=MCVL
      IF (IREGP(N+1).NE.IREGP(N)) MCP=MCPL
4100  IA=IA+3*NCC*(NNAC(N)+1)
      WRITE(IM,9270)
C=====
C *** IMPRESSAO DAS REACOES DE APOIO
9270  FORMAT(//21X,'REACOES DE APOIO'//
      *21X,'NO',FORCA X',
      *'FORCA Y FORCA Z MOM. X MOM. Y MOM. Z'//)
      L=ID
      DO 4150 NIN=1,NNAC(NA+1)
        K=L+1
        L=L+6
4150  WRITE(IM,9280) NEX2(NIN),(E(J),J=K,L)
9280  FORMAT(21X,I3,6F10.3)
4900  CONTINUE
      GESPR=100.*NZERO/NTOT
      WRITE(IM,9990) GESPR
9990  FORMAT(////////***** INDICE DE ESPARSIDADE =*,F5.2,
      *' POR CENTO *****')
      RETURN
      END

```

A P É N D I C E D

REFERÉNCIAS BIBLIOGRÁFICAS

D - REFERÊNCIAS BIBLIOGRÁFICAS

1. WEAVER, W.; NELSON, M. F. - "Three Dimensional Analysis of Tier Buildings". Journal of the Structural Division, ASCE, vol 92, nº ST-6, Proc. Paper 5019, 1966.
2. MCCORMICK, J. M. - "Programming for Effective Interchange". Structural Mechanics Computer Programs.
3. FONTE, A. O. Cavalcante - "Análise Tridimensional de Estruturas de Edifício". Tese M.Sc., COPPE/UFRJ, Rio de Janeiro, 1972.
4. FIGUEIROA, J. P. - "Análise de Grelhas com Elementos de Eixo Curvo e Seção Variável. Aplicação ao Cálculo de Linhas de Influência em Vigas Curvas". Tese M.Sc., ... COPPE/UFRJ, Rio de Janeiro, 1972.
5. SORIANO, H. Lima - "Cálculo Automático do Efeito de Vento em Estruturas de Edifícios". Tese M.Sc., COPPE/UFRJ, Rio de Janeiro, 1971.
6. GERE, J. M.; WEAVER, W. - "Analysis of Framed Structures". Princeton, N.J. D. Van Nostrand Company, Inc. 1965.
7. CLOUGH, R. W.; KING, I. P. - "Analysis of Three-Dimensional Buildings Frames". International Association for Bridge and Structural Engineers, vol 24, 1964.
8. PRZEMIENIECKI, J. S. - "Theory of Matrix Structural Analysis". N.Y., Mc.Graw-Hill Book Co., Inc. 1968.
9. CLOUGH, R. W.; WILSON, E. L.; KING, I. P. - "Structural Analysis of Multistory Buildings". Journal of the Structural Division, ASCE, vol 90, Nº ST-3, Proc. Paper 3925, 1964.

10. SORIANO, H. Lima; GOMES, E. A. de Oliveira - "Enfoque Tridimensional de Estruturas de Edifício". Conferência Regional Sul Americana Sobre Edifícios Altos. Porto Alegre, 1973.
11. WEAVER, W. - "Computer Programs for Structural Analysis". USA, D. Van Nostrand Co., Inc. 1967
12. GERE, J. M.; WEAVER, W. - "Matrix Algebra for Engineers" USA, Van Nostrand Reinhol Company, 1965.
13. CAMARA Jr., V. F.; SORIANO, H. Lima - "ATEEL - Um Sistema Para a Análise Tridimensional de Esforços em Estruturas de Edifícios Elevados". Simpósio Sobre Sistemas Computacionais Para Engenharia Civil, COPPE, Rio de Janeiro, 1977.
14. ROARK, R. J. - "Formulas for Stress and Strain", Tokyo, Kogabusha Company Ltd., 1965.
15. CLOUGH, R. W.; WILSON, E. L.; KING, I. P. - "Large Multistory Frame Analysis Programs". Journal of the Structural Division, ASCE, vol 89, nº ST-4, Proc. Paper 3592 1963.
16. WAKABAYASHI, M; YAGUI, T. - "Núcleos Resistentes de Edifícios Elevados". Conferência Regional Sul Americana Sobre Edifícios Altos. Porto Alegre, 1973.
17. SORIANO, H. L. - "Formulação dos Métodos de Gauss e Cholesky Para a Análise Matricial de Estruturas". Publ. Téc. nº 11.72, COPPE, Rio de Janeiro, 1972.
18. SORIANO, H. L.; COSTA, A. M. - "Sugestões Quanto ao Desenvolvimento de Programações Para Análise Estrutural em FORTRAN IV". A ser publicado na COPPE/UFRJ.

19. MENEZES, N. C. - "Dimensionamento Automático de Estruturas de Edifícios em Concreto Armado". Tese M.Sc., COPPE/UFRJ, 1977.
20. STAMATO, M. C. - "Estado Atual da Análise de Estruturas Tridimensionais de Edifícios Altos". Publ. nº 163 - Esc. de Eng. de São Carlos - 1972.
21. STAMATO, M. C.; STAFFORD-SMITH, B. - "Análise Aproximada de Estruturas Tridimensionais de Edifícios Elevados". XIII Jornadas Sudamericanas de Ingenieria Estructural - Montevideo, 1969.
22. STAMATO, M. C.; STAFFORD-SMITH, B. - "An Approximate Method for the Three Dimensional Analysis of Tall Buildings". Proc. Inst. Civil Engineers, Londres, 1969.
23. WRIGHT, E. W. - "Structural Design by Computer". Van Nostrand Reinhold Company Ltd., London, 1976.
24. HEHL, M. E. - "Sistema de Programação Fortran IV G-H". McGraw Hill do Brasil Ltda., 1972.
25. "A Linguagem LORANE Linear Para Análise Estrutural por Computadores". Curso de Pós-Graduação em Engenharia Civil. UFRGS, 1977.
26. ICES STRUDL II - "The Structural Design Language Engineering User's Manual, vol 1 e 2. 1969.
27. PACITTI, T.; ATKINSON, C. P. - "Programação e Métodos Computacionais", vol 1 e 2. Livros Técnicos e Científicos Editora. 1976.
28. Manual de FORTRAN Burroughs.
29. Manual de FORTRAN IBM.

A P E N D I C E E

EXEMPLO DE UTILIZAÇÃO DO PROGRAMA "ATEEL"

(Ver figura VII-5)

DATER: 04/22/1978 22154102, SYSTEM SERIAL #: 200, Reqd MCP: NCE/NEHMCP, ITL:08,600

WORK FLOW STATEMENTS FOR JOB 9498

```
JOB FINALSIM010NAME="#VILAR-1797" CLASS=51 PROCESS TIME=6000 99800100
 1CTIME=9000/PRNTLIM17=21003BEGIN 99999200
 2RUN ATEEL/Q60;FILE FILES(KIND=PACK,TITLE=ATEEL/FINALSIM/10) 00510300
 2END JOB 99999400
```

J O B S U M M A R Y

RESUMO DA CONTA			
	DO PROGRAMA	AÇÚMULADO	
• TOTALS			
• TEMPO DE PROCESSADOR	0100135 CRS	97,49	1282138 CRS 15737,37
• ENTRADA DE F/S	0101106 CRS	16,75	5100112 CRS 4115,79
• CARTUCHOS LIDOS	0 CRS	0,10	70271 CRS 147,57
• LINHAS IMPRESSAS	1000 CRS	9,20	435718 CRS 3834,32
• INTEGRAL DE MEMORIA (KAD,SEG)	5460 CRS	44,14	999478 CRS 8073,16
• TERMINADORES NORMAIS		1076	
• TERMINADORES ANORMAIS	0	427	
• SUMARIO DE PROGRAMAS		626	
• USO DE TERMINALIST			
• ENTRADA DE LOGARIS		310	
• TEMPO DE PROCESSADOR	0100100 CRS	0,00	136114 CRS 2642,24
• ENTRADA DE S/S	0100100 CRS	0,00	1412131 CRS 1992,09

COPPE/UFRJ - PROGRAMA DE ENGENHARIA CIVIL

ATEL - ANALISE TRIDIMENSIONAL DOS ESFORCOS EM EDIFICIOS ELEVADOS

TESE M.Sc. AUTOR - ENG. VILAR FIUZA DA CAMARA JUNIOR

ESTR TESTE FINAL • 10 ANDARES C/SIMETRIA • TESE / M.Sc.

CONST	3000000	1250000	2,4					
COORD.	-9	12,5	-3	12,5		12,5		
	9	12,5	-15	7,5	-9	7,5		
	-3	7,5		7,5	9	7,5		
	15	7,5	-15	2,5	-3	2,5		
		2,5	15	2,5	-15	-2,5		
	-3	-2,5		-2,5	-15	-2,5		
	-15	-7,5	-9	-7,5	-3	-7,5		
		-7,5	9	-7,5	15	-7,5		
	-9	-12,5	-3	-12,5		-12,5		
	9	-12,5	-8,59		8,59			

*** DEFINICAO DAS VIGAS: 20x80, 25x60 E 15x50

VIGA	1	0,00054	0,00653	.16
	2	0,000689	0,0045	.15
	3	0,010130	0,00156	.075

*** DEFINICAO DOS PILARES: 30x30, 40x40, ETC, 80x80 E ELEVADOR

PILAR	1	0,000675	0,000575	0,000343	0,09	0,075	0,075
	2	0,00213	0,00213	0,00158	0,16	0,133	0,133
	3	0,00521	0,00521	0,00264	0,25	0,208	0,208
	4	0,0108	0,0108	0,00508	0,36	0,3	0,3
	5	0,02	0,02	0,0102	0,49	0,408	0,408
	6	0,0341	0,0341	0,00578	0,64	0,533	0,533
	7	0,846	0,6233	0,02	1,76		

*** PILAR FICTICIO PARA EFEITO DE SIMETRIA

ANDAR	1	3,15					
APEL	1.	30					
	2						
	3						
	4						
	5						
	6						
	7						
	8						
	9						
	10						
	11						
	12						
	13						
	14						
	15						
	16						
	17						
	18						
	19						
	20						
	21						
	22						
	23						
	24						
	25						
	26						
	27						
	28						
	29						
	30						

ANDAR	1	3,15					
APEL	1.	30					

*** VIGAS NA DIRECAO X

VIGA	1A	2	1				
	1B	2	3				
	2A	5	6	1			
	2B	6	7	2			
	2C	7	8	2			
	3A	11	22	2			
	3B	29	12	3	1,49	-2,5	
	3C	12	13	2			
	4A	15	29	2			
	4B	29	16	3	1,49	-2,5	
	4C	16	17	2			
	5A	19	20	1			
	5B	20	21	2			
	5C	21	22	2			
	6A	25	26	1			
	6B	26	27	1			

*** VIGAS NA DIRECAO Y

VIGA	1A	19	15	1			
	7A	15	11	1			
	7C	11	5	1			
	8A	25	26	1			
	8B	20	29	2			
	8C	29	6	2	2,60	-4,41	

90 2 1 1
91 26 21 2
92 21 16 2
93 16 12 2
94 12 7 2
95 7 2 2

PILAR P1 1 1
P2 2 1
P5 5 1
P6 6 1
P7 7 1
P11 11 1
P12 12 1
P15 15 1
P16 16 1
P19 19 1
P20 20 1
P21 21 1
P25 25 1
P26 26 1
C'A 29 7
L=1 3 8
L=2 8 0
L=3 13 8
L=4 17 8
L=5 22 8
L=6 27 8
ANDAR 10

PILA PL=1
L=2
L=3
L=4
L=5
L=6

CARGA 1 PPR PESO PROPRIO + CARGA LATERAL Y
ANDAR 1 4
EXEC

* * * * NENHUM ERRO ENCONTRADO DURANTE A LEITURA DOS CARTOES * * * *

CUPPE/UFRJ - PROGRAMA DE ENGENHARIA CIVIL

ATEEL - ANALISE TRIDIMENSIONAL DOS ESFORCOS EM EDIFICIOS ELEVADOS

TESE M.Sc. AUTOR = ENG. VILAR FIUZA DA CAMARA JUNIOR

PROBLEMA NUMERO 1
TESTE FINAL + 10 ANDARES C/SIMETRIA + TESE / M.Sc.

ANDAR NUMERO 1 * PESO DIREITO = 3,15

VIGA NO^º I NO^º F SECAD

1A	1	2	1
1H	2	3	1
2A	5	6	1
2B	6	7	2
2C	7	8	2
3A	11	29	2
3B	29	12	3
3C	12	13	2
4A	15	29	2
4B	29	16	3
4C	16	17	2
5A	19	29	1
5B	26	21	2
5C	21	22	2
6A	25	29	1
6B	26	27	1
7A	19	15	1
7B	15	11	1
7C	11	5	1
8A	25	20	1
8B	23	29	2
8C	29	6	2
8D	6	1	1
9A	26	21	2
9B	21	16	2
9C	16	12	2
9D	12	7	2
9E	7	2	2

PILAR NO^º I NO^º F SECAD

P1	1	1	1
P2	2	2	1
P5	5	5	1
P6	6	6	1
P7	7	7	1
P11	11	11	1
P12	12	12	1

P15	15	15	1
P16	16	16	1
P19	19	19	1
P20	20	20	1
P21	21	21	1
P25	25	25	1
P26	26	26	1
C-4	29	29	7
L-1	3	3	8
L-2	8	8	8
L-3	13	13	8
L-4	17	17	8
L-5	22	22	8
L-6	27	27	8

ANDAR NUMERO 2 * PEL DIREITO = 3,15
 AS VIGAS DESTE ANDAR SAO IDENTICAS AOS DO ANDAR ANTERIOR.
 OS PILARES DESTE ANDAR SAO IGUAIS AOS DO ANDAR ANTERIOR.

ANDAR NUMERO 3 * PEL DIREITO = 3,15
 AS VIGAS DESTE ANDAR SAO IDENTICAS AOS DO ANDAR ANTERIOR.
 OS PILARES DESTE ANDAR SAO IGUAIS AOS DO ANDAR ANTERIOR.

ANDAR NUMERO 4 * PEL DIREITO = 3,15
 AS VIGAS DESTE ANDAR SAO IDENTICAS AOS DO ANDAR ANTERIOR.
 OS PILARES DESTE ANDAR SAO IGUAIS AOS DO ANDAR ANTERIOR.

ANDAR NUMERO 5 * PEL DIREITO = 3,15
 AS VIGAS DESTE ANDAR SAO IDENTICAS AOS DO ANDAR ANTERIOR.
 OS PILARES DESTE ANDAR SAO IGUAIS AOS DO ANDAR ANTERIOR.

ANDAR NUMERO 6 * PEL DIREITO = 3,15
 AS VIGAS DESTE ANDAR SAO IDENTICAS AOS DO ANDAR ANTERIOR.
 OS PILARES DESTE ANDAR SAO IGUAIS AOS DO ANDAR ANTERIOR.

ANDAR NUMERO 7 * PEL DIREITO = 3,15
 AS VIGAS DESTE ANDAR SAO IDENTICAS AOS DO ANDAR ANTERIOR.
 OS PILARES DESTE ANDAR SAO IGUAIS AOS DO ANDAR ANTERIOR.

ANDAR NUMERO 8 * PEL DIREITO = 3,15
 AS VIGAS DESTE ANDAR SAO IDENTICAS AOS DO ANDAR ANTERIOR.
 OS PILARES DESTE ANDAR SAO IGUAIS AOS DO ANDAR ANTERIOR.

ANDAR NUMERO 9 * PEL DIREITO = 3,15
 AS VIGAS DESTE ANDAR SAO IDENTICAS AOS DO ANDAR ANTERIOR.
 OS PILARES DESTE ANDAR SAO IGUAIS AOS DO ANDAR ANTERIOR.

ANDAR NUMERO 10 * PEL DIREITO = 3,15
 AS VIGAS DESTE ANDAR SAO IDENTICAS AOS DO ANDAR ANTERIOR.
 OS PILARES DESTE ANDAR SAO IGUAIS AOS DO ANDAR ANTERIOR.

C A R R E G A M E N T O N U M E R O 1
PESO PROPRIO + CARGA LATERAL Y

NOT	DESLLOCAMENTOS DOS NOTIS DO ANDAR 1		
	ROTACAO X	ROTACAO Y	TRANSLACAO Z
1	0.00010897	0.00014529	-0.00212948
2	0.00005699	0.00002928	-0.00262043
3	0.00005599	0.00000000	-0.00272539
5	0.00004299	0.00013841	-0.00188679
6	-0.00009789	0.00005029	-0.00237989
7	-0.00006367	0.00003366	-0.00272345
8	-0.00006367	0.00000460	-0.00287431
11	-0.00001259	-0.00006358	-0.00298312
29	-0.00017425	-0.00000084	-0.00071374
12	-0.00009495	0.00021110	-0.00225451
13	-0.00009485	0.00000000	-0.00208153
15	-0.00005016	-0.00019557	-0.00189388
16	-0.00003115	0.00030300	-0.00212746
17	0.00003115	0.00000000	-0.00268233
19	-0.00013731	-0.00010466	-0.00151490
29	0.00015947	0.00006408	-0.00167105
21	0.00003147	0.00000192	-0.00281369
22	0.00003147	0.00000000	-0.00283634
25	-0.00014758	0.00014560	-0.00185174
26	-0.00016926	0.00002978	-0.00234481
27	-0.00016926	0.00000000	-0.00245009

NOT	DESLLOCAMENTOS DOS NOTIS DO ANDAR 2		
	ROTACAO X	ROTACAO Y	TRANSLACAO Z
1	0.00000152	0.00011737	-0.00269540
2	0.00000060	0.00003170	-0.00257682
3	0.00000060	0.00000000	-0.00268538
5	0.00000872	0.00011121	-0.00185802
6	-0.00009185	0.00004000	-0.00239080
7	-0.00006725	0.00002559	-0.00267671
8	-0.00006725	0.00000000	-0.00281547
11	-0.00001581	-0.00004286	-0.00196471
29	-0.00017595	-0.00000013	-0.00079372
12	-0.00010602	0.00015092	-0.00222766
13	-0.00010802	0.00000000	-0.00255441
15	-0.00005429	0.00014115	-0.00185289
16	0.00000667	0.00021966	-0.00209235
17	0.00000667	0.00000000	-0.00252221
19	-0.00013910	0.00008679	-0.00140062
20	0.000015518	0.00006174	-0.00164264
21	0.00000376	0.00000353	-0.00256918
22	0.00000376	0.00000000	-0.00276484
25	-0.00013615	0.00011786	-0.00181964
26	-0.00016148	0.00003217	-0.00230405
27	-0.00016148	0.00000000	-0.00241331

NOT	DESLLOCAMENTOS DOS NOTIS DO ANDAR 3		
	ROTACAO X	ROTACAO Y	TRANSLACAO Z
1	0.00006691	0.00011682	-0.00261958
2	0.00006334	0.00002961	-0.00248457
3	0.00000334	0.00000000	-0.00259000
5	0.00000334	0.00011126	-0.00217030

	-0.000105714	0.000104734	0.002225205
7	-0.000067116	0.000028091	0.00258108
8	-0.000067096	0.000000000	0.00271882
11	-0.0001943	-0.00023743	0.00193065
29	-0.00017869	0.000000033	0.00067944
12	-0.00009776	0.00015024	0.00215015
13	-0.00009776	0.00000000	0.00207588
15	-0.000056564	-0.00014126	0.00179810
16	-0.0000531	0.00022279	0.00201885
17	-0.0000531	0.000000000	0.00245300
19	-0.0013771	0.00008736	0.00142866
20	0.00015359	0.00005880	0.00178162
21	0.00000362	0.000000225	0.00247875
22	0.00000362	0.000000000	0.00267252
25	-0.00013532	0.00011723	0.00173255
26	-0.00016203	0.00003007	0.00222039
27	-0.00016203	0.000000000	0.00232651

Nº	DESLOCAMENTOS		DD	ANDAR
	ROTACAO X	ROTACAO Y		
1	0.00005704	0.00011336		-0.00190275
2	0.00000101	0.00002749		0.00234369
3	0.00000101	0.000000000		0.00246594
5	0.00000766	0.00010911		0.00169198
6	-0.00007928	0.000004393		0.00214222
7	-0.00005514	0.000002282		0.00243614
8	-0.00005514	0.000000000		0.00257074
11	-0.00001953	-0.00002782		0.00179550
29	-0.00012055	0.00000029		0.001664106
12	-0.00009448	0.00014156		0.00203161
13	-0.00009448	0.000000000		0.00230033
15	-0.00005430	-0.00013353		0.00169941
16	0.00000255	0.00021546		0.00190674
17	0.00000255	0.000000000		0.00233030
19	-0.00013515	0.00008636		0.00134735
20	0.00014889	0.00005507		0.00166786
21	0.00000171	0.00005834		0.00250144
22	0.00000171	0.000000000		0.00252932
25	-0.00013654	0.00011367		0.00165066
26	-0.00016426	0.00002787		0.002149362
27	-0.00016026	0.000000000		0.00219664

Nº	DESLOCAMENTOS		DD	ANDAR
	ROTACAO X	ROTACAO Y		
1	0.00005313	0.00010393		-0.00174567
2	-0.00000019	0.00002458		0.00215412
3	-0.00000019	0.000000000		0.00225200
5	0.00006699	0.00010634		0.00155494
6	-0.00006958	0.00003969		0.00197997
7	-0.00006228	0.000002624		0.00224168
8	-0.00006228	0.000000000		0.00237242
11	-0.00001944	-0.00001623		0.00165388
29	-0.00012971	-0.00000632		0.00158875
12	-0.00008942	0.00013138		0.001427156
13	-0.00008942	0.000000000		0.00216900
15	-0.00005094	0.00012260		0.00156633
16	-0.00000043	0.000020579		0.00179578
17	-0.00000043	0.000000600		0.00126484
19	-0.00013668	0.00008534		0.00123662
20	-0.00013999	0.00000946		0.00156085
21	-0.00000015	0.00005331		0.00215662
22	-0.00000015	0.000000000		0.00233696
25	-0.00013744	0.00010908		0.00151427
26	-0.00015647	0.00002405		0.0016102839

NO'	DESLOCAMENTOS		DO	ANDAR	P.
	ROTACAO X	ROTACAO Y			
1	-0.00004922	0.00010329		-0.00154731	
2	-0.00000209	0.00002699		-0.00191582	
3	-0.00000009	0.00000000		-0.00205818	
5	0.000000723	0.00010254		-0.00138265	
6	-0.00005883	0.00003433		-0.00177354	
7	-0.00005867	0.00001726		-0.00199715	
8	-0.00005867	0.00000000		-0.00212341	
11	-0.00001837	-0.00000306		-0.00147524	
29	-0.00017423	-0.00000033		-0.0052273	
12	-0.000008220	0.00011950		-0.00166937	
13	-0.000008220	0.00000000		-0.00194895	
15	-0.00004624	-0.00010731		-0.00139528	
16	-0.00000327	0.00019249		-0.00156562	
17	-0.00000327	0.00000000		-0.00195473	
19	-0.00012429	0.000008314		-0.00119201	
20	0.000124295	0.000004345		-0.00139471	
21	-0.00000173	0.00000707		-0.00192362	
22	-0.00000173	0.00000000		-0.00209469	
25	-0.00013499	0.00010326		-0.00134377	
26	-0.00015030	0.000002104		-0.00171207	
27	-0.00015030	0.00000000		-0.00180464	

NO'	DESLOCAMENTOS		DO	ANDAR	P.
	ROTACAO X	ROTACAO Y			
1	0.000004548	0.000009632		-0.00131035	
2	0.00000291	0.00001636		-0.00162985	
3	0.00000291	0.00000000		-0.001710449	
5	0.000003971	0.000009736		-0.00117362	
6	-0.000004731	0.000002774		-0.00152092	
7	-0.000005229	0.000001406		-0.00170203	
8	-0.000005229	0.00000000		-0.00152344	
11	-0.00001778	0.000011115		-0.00125345	
29	-0.000016210	-0.00000035		-0.00044331	
12	-0.00007241	0.000019635		-0.00142633	
13	-0.00007241	0.00000000		-0.00158422	
15	-0.000003991	0.000002890		-0.00114462	
16	-0.00000559	0.000017598		-0.00133573	
17	-0.000000559	0.000000290		-0.00169872	
19	-0.00011474	0.000008046		-0.00093757	
20	-0.00011422	0.000003542		-0.00120299	
21	-0.00000267	0.000003970		-0.00164156	
22	-0.00000267	0.00000000		-0.00160143	
25	-0.00012724	0.000009614		-0.00113961	
26	-0.00014026	0.00001658		-0.00145682	
27	-0.00014026	0.00000000		-0.00154200	

NO'	DESLOCAMENTOS		DO	ANDAR	P.
	ROTACAO X	ROTACAO Y			
1	0.000004202	0.000008792		-0.00103538	
2	0.000000683	0.00001086		-0.00129338	
3	0.000000683	0.00000000		-0.00137065	
5	0.000001174	0.000000042		-0.00093017	
6	-0.000013581	0.000001972		-0.00121987	
7	-0.000004469	0.000001084		-0.00135563	
8	-0.000004069	0.00000000		-0.00147227	
11	-0.000001612	0.000002589		-0.00100424	
29	-0.000012114	-0.00000034		-0.00035044	
12	-0.000005957	0.000000238		-0.00113565	
13	-0.000005957	0.00000000		-0.001137461	

13	-0.00013195	0.00000542	-0.000045964
15	-0.00000700	0.00015295	-0.00106537
17	-0.00000700	0.00000000	-0.00159520
19	-0.00010153	0.00007672	-0.00074535
20	-0.00009504	0.00002573	-0.00065851
21	-0.00000254	0.00003136	-0.00130901
22	-0.00000254	0.00000000	-0.00145681
25	-0.00011560	0.00008768	-0.00090237
26	-0.00012565	0.00001079	-0.00115845
27	-0.00012565	0.00000000	-0.00123564

Nº	DESLOCAMENTOS		00	ANDAR
	ROTACAO X	ROTACAO Y		

1	0.00003877	0.00007759	-0.00072393
2	0.00001463	0.00000444	-0.00009957
3	0.00001463	0.00000000	-0.00097735
5	0.00001649	0.00008058	-0.00065252
6	-0.00002560	0.00001026	-0.00285789
7	-0.00003477	0.00000773	-0.00095717
8	-0.00003477	0.00000000	-0.00106912
11	-0.00001379	0.00043924	-0.00071022
29	-0.00015845	-0.00009036	-0.00024577
12	-0.00004328	0.000087751	-0.00080254
13	-0.00004328	0.00000000	-0.00101921
15	-0.00002119	-0.00002761	-0.00067583
16	-0.00009629	0.00012495	-0.00075356
17	-0.00000699	0.00000000	-0.00104135
19	-0.00006376	0.00007112	-0.00052518
20	-0.000047253	0.00001439	-0.00067310
21	-0.000065112	0.000002215	-0.00092509
22	-0.00000112	0.00000000	-0.00105959
25	-0.000009735	0.00007732	-0.00063274
26	-0.00010495	0.000000430	-0.00081658
27	-0.00010495	0.00000000	-0.000928410

Nº	DESLOCAMENTOS		00	ANDAR
	ROTACAO X	ROTACAO Y		

1	0.00003525	0.00006945	-0.00037793
2	0.00003137	-0.00000485	-0.00047830
3	0.00003137	0.00000000	-0.00053264
5	0.00002555	0.00007276	-0.00039184
6	-0.00001818	-0.00000361	-0.00046231
7	-0.00002342	0.00000584	-0.00050569
8	-0.00002392	0.00000000	-0.00061461
11	-0.00001178	0.00000015	-0.00037588
29	-0.000009293	0.00000657	-0.00012562
12	-0.00002239	0.00006862	-0.00024248
13	-0.00002239	0.00000000	-0.00062669
15	-0.00000719	0.000002039	-0.00035834
16	-0.000000567	0.000009606	-0.00039901
17	-0.000000567	0.00000000	-0.00064307
19	-0.000006283	0.000006752	-0.00027680
20	-0.00004546	-0.00004091	-0.00037236
21	-0.00000363	0.00001334	-0.00009002
22	-0.00000363	0.00000000	-0.00061069
25	-0.00007292	0.00006927	-0.00033154
26	-0.000005217	-0.00000492	-0.00043070
27	-0.000005217	0.00000000	-0.00040433

Nº	DESLOCAMENTOS		00	APOIOS
	ROTACAO X	ROTACAO Y		

1	0.000000000	-0.000000000	-6.000000000
2	0.000000000	0.000000000	-6.000000000

5	-0.000000000	-0.000000000	-0.000000000
6	-0.560000000	0.000000000	-0.386000000
7	-0.000000000	-0.000000000	-0.000000000
11	-0.000000000	-0.000000160	-0.000000000
29	-0.500000000	0.000000000	-0.386000000
12	-0.000000000	-0.000000000	-0.000000000
15	-0.000000000	-0.000000000	-0.000000000
16	-0.000000000	-0.000000000	-0.000000000
19	-0.000000000	-0.000000000	-0.000000000
20	-0.000000000	0.000000000	-0.000000000
21	-0.000000000	-0.000000000	-0.000000000
25	-0.000000000	-0.000000000	-0.000000000
26	-0.000000000	0.000000000	-0.000000000

DESLOCAMENTOS DOS ANDARES

ANDAR	TRANSLACAO X	TRANSLACAO Y	ROTACAO Z
1	0.000000000	0.00459493	0.000000000
2	0.000000000	0.00404345	0.000000000
3	0.000000000	0.00348446	0.000000000
4	0.000000000	0.00291772	0.000000000
5	0.000000000	0.00234357	0.000000000
6	0.000000068	0.00178049	0.000000000
7	0.000000000	0.00125750	0.000000000
8	0.000000000	0.00077567	0.000000000
9	0.000000000	0.00037910	0.000000000
10	-0.300000000	0.00010408	0.000000000

ESFORCOS NAS EXTREMIDADES DOS ELEMENTOS

ANDAR NÚMERO 1

VENDA	EXTREMIDADE INICIAL			EXTREMIDADE FINAL		
	HX	HY	FZ	MX	MY	FZ
14	0.006	-0.524	1.108	-0.006	0.790	1.196
15	0.000	-0.902	1.152	-0.000	-0.826	-0.040
24	0.016	-0.569	1.060	-0.016	1.059	1.244
25	-0.005	-1.243	1.147	0.005	0.832	1.013
26	0.000	-0.929	1.080	-0.000	-0.691	0.000
34	0.523	0.223	0.599	-0.023	2.605	1.561
36	-0.003	-1.592	0.985	0.003	-0.604	-0.167
38	0.000	-0.130	1.080	-0.000	-1.490	-0.000
44	0.018	0.726	0.332	-0.018	3.762	1.428
48	-0.009	-2.571	1.331	0.009	-1.373	-0.593
49	0.000	0.280	1.080	0.200	-1.904	0.000
54	-0.038	-0.412	0.953	0.038	1.547	1.341
58	0.024	-1.735	1.302	-0.024	0.455	0.458
59	0.006	-0.711	1.050	-0.000	-0.909	-0.000
63	0.002	-0.520	1.107	-0.002	0.792	1.197
64	0.000	-0.498	1.152	-0.000	-0.830	0.000
74	0.041	0.132	0.778	-0.041	0.610	1.162
78	-0.018	-0.332	0.849	0.018	0.886	1.071
79	-0.027	-0.261	0.855	0.027	0.788	1.065
84	0.011	0.120	1.303	-0.011	-1.837	0.617
85	0.011	3.253	-1.160	-0.011	6.755	2.924
86	-0.009	-2.275	1.002	0.009	-1.255	0.162
87	-0.013	1.112	0.251	0.113	-0.215	1.349

94	-0.304	0.124	0.295	0.009	0.045	0.495
98	-0.038	0.273	0.496	0.038	1.775	1.319
9C	0.016	-1.021	0.972	-0.016	1.159	0.928
9D	0.031	-0.861	0.978	-0.031	0.471	0.822
9E	0.001	-0.052	0.751	-0.001	0.797	1.049

PILAR	EXTREMIDADE			SUPERIOR			EXTREMIDADE			INFERIOR		
	MX	MY	FZ	FX	FY	MZ	MX	MY	FZ	FX	FY	MZ
P1	1.009	0.512	-2.577	-0.313	0.621	0.000	0.948	0.476	3.258	0.313	-0.621	-0.000
P2	0.803	0.113	-3.397	-0.573	0.487	0.000	0.730	0.116	4.078	0.073	-0.487	-0.000
P5	0.772	0.082	-2.126	-0.296	0.477	0.000	0.731	0.409	2.806	0.296	-0.477	-0.000
P6	0.298	0.159	-3.403	-0.120	0.191	0.000	0.305	0.188	3.683	0.120	-0.191	-0.000
P7	0.414	0.117	-3.666	-0.071	0.262	0.000	0.410	0.106	4.347	0.071	-0.262	-0.000
P11	0.602	-0.213	-2.524	-0.127	0.330	0.000	0.595	-0.187	3.204	-0.127	-0.330	-0.000
P12	0.295	0.719	-2.619	-0.432	0.185	0.000	0.289	0.542	3.499	0.432	-0.185	-0.000
P15	0.459	-0.665	-2.323	0.402	0.288	0.000	0.409	-2.598	3.014	-0.402	-0.288	-0.000
P16	0.745	1.036	-2.669	-0.624	0.463	0.000	0.713	0.929	3.349	0.624	-0.463	-0.000
P19	0.140	0.371	-1.741	-0.228	0.088	0.000	0.137	0.348	2.421	0.228	-0.088	-0.000
P20	1.350	0.238	-2.399	-0.150	0.842	0.000	1.297	0.235	2.779	0.150	-0.842	-0.000
P21	0.742	0.285	-3.424	-0.178	0.460	0.000	0.707	0.262	0.104	0.174	-0.460	-0.000
P25	0.117	0.513	-2.411	-0.314	0.079	0.000	0.132	0.477	3.691	0.314	-0.477	-0.000
P26	0.031	0.115	-3.154	-0.074	0.023	0.000	0.041	0.116	3.834	0.074	-0.023	-0.000
C-A	0.703	-2.158	-16.152	1.150	-0.847	0.000	-12.370	-1.106	23.457	-1.106	0.847	-0.000
L-1	0.000	0.425	0.000	-0.431	0.000	0.000	0.000	0.532	0.000	0.431	0.000	0.000
L-2	0.000	0.691	0.000	-0.354	0.000	0.000	0.000	0.925	0.000	0.354	0.000	0.000
L-3	0.000	1.460	0.000	-0.741	0.000	0.000	0.000	0.805	0.000	0.741	0.000	0.000
L-4	0.000	1.920	0.000	-0.943	0.000	0.000	0.000	1.067	0.000	0.943	0.000	0.000
L-5	0.000	0.969	0.000	-0.462	0.000	0.000	0.000	0.546	0.000	0.462	0.000	0.000
L-6	0.000	0.830	0.000	-0.433	0.000	0.000	0.000	0.535	0.000	0.433	0.000	0.000

ANODAP NÚMERO 2

VIGA	EXTREMIDADE INICIAL			EXTREMIDADE FINAL		
	MX	MY	FZ	MX	MY	FZ
14	0.007	-0.925	1.198	-0.007	0.648	1.106
18	0.000	-0.882	1.152	-0.000	-0.806	-0.000
24	0.011	-0.488	1.151	-0.011	0.893	1.153
28	-0.008	-1.265	1.160	-0.004	0.786	1.000
2C	0.000	-0.965	1.080	-0.000	-0.555	0.000
3A	0.023	0.349	0.572	-0.023	2.701	1.588
39	-0.003	-1.666	0.975	-0.003	-0.817	-0.237
3C	0.000	-0.401	1.086	-0.000	-1.219	0.000
4A	0.017	1.173	0.223	-0.017	3.967	1.937
4B	-0.008	-2.712	1.046	-0.008	-1.726	-0.708
4C	0.000	-0.072	1.080	-0.000	-1.528	0.000
5A	-0.033	-0.706	1.039	-0.033	1.384	1.265
5B	0.022	-1.451	1.336	-0.022	0.317	0.524
5C	-0.000	-0.794	1.082	-0.000	-0.826	0.000
6A	0.003	-0.927	1.199	-0.003	0.647	1.195
6B	0.000	-0.878	1.152	-0.000	-0.850	0.000
7A	0.031	-0.256	0.705	-0.031	1.023	1.215
7B	-0.013	-0.107	0.764	-0.013	1.089	1.156
7C	-0.021	0.120	0.697	-0.021	1.442	1.273
24	0.008	0.288	1.121	-0.008	-1.074	0.799
8B	0.011	3.694	-1.292	-0.011	6.960	3.056
8C	-0.009	-2.151	1.573	-0.009	-1.204	0.191
8D	-0.009	1.822	0.285	-0.009	1.852	1.695
9A	-0.005	0.692	0.739	-0.005	0.722	1.061
9B	-0.027	0.460	0.339	-0.027	2.144	1.401
9C	0.012	-0.733	0.778	-0.012	1.343	1.022
9D	0.022	-0.754	0.238	-0.022	0.565	0.862
9E	-0.001	0.242	0.459	-0.001	1.192	1.232

PILAN	EXTREMIDADE			SUPERIOR			EXTREMIDADE			INFERIOR		
	MX	MY	FZ	FX	FY	MZ	MX	MY	FZ	FX	FY	MZ
P1	0,898	0,441	-6,151	-0,279	0,570	0,000	0,897	0,440	-6,831	0,279	-0,570	0,000
P2	0,673	0,117	-7,567	-0,473	0,425	0,000	0,676	0,114	-8,247	0,473	-0,424	0,000
P5	0,700	0,412	-5,231	-0,255	0,445	0,000	0,700	0,418	5,911	0,265	-0,445	0,000
P6	0,328	0,184	-6,412	-0,116	0,210	0,000	0,334	0,180	7,892	0,116	-0,210	0,000
P7	0,415	0,995	-7,257	-0,060	0,263	0,000	0,415	0,994	8,537	0,667	-0,255	0,000
P11	0,526	-0,154	-5,579	0,096	0,378	0,000	0,595	-0,147	8,250	-0,096	-0,378	0,000
P12	0,294	0,546	-6,303	-0,359	0,188	0,000	0,297	0,566	6,984	0,359	-0,188	0,000
P15	0,450	-0,531	-5,226	-0,337	0,286	0,000	0,452	-0,531	5,886	-0,337	-0,226	0,000
P16	0,690	0,730	-5,700	-0,528	0,438	0,000	0,659	0,834	5,640	0,528	-0,434	0,000
P19	0,146	0,327	-4,165	-0,298	0,093	0,000	0,148	0,328	4,866	0,218	-0,473	0,000
P20	1,249	0,220	-4,887	-0,144	0,792	0,000	1,247	0,225	5,567	0,144	-0,792	0,000
P21	0,581	0,237	-7,408	-0,150	0,432	0,000	0,681	0,236	8,069	0,151	-0,432	0,000
P25	0,153	0,842	-5,411	-0,280	0,076	0,000	0,150	0,441	6,991	0,281	-0,076	0,000
P26	0,059	0,118	-6,531	-0,074	0,037	0,000	0,059	0,116	7,511	0,074	-0,037	0,000
C-1	23,105	-0,698	-34,053	0,520	3,344	0,000	-12,573	-0,958	47,338	-0,521	-3,344	0,000
L-1	0,000	0,314	0,000	-0,223	0,000	0,000	0,000	0,389	0,600	0,223	0,000	0,000
L-2	0,000	0,230	0,000	-0,169	0,000	0,000	0,000	0,301	0,500	0,169	0,000	0,000
L-3	0,000	0,374	0,000	-0,293	0,000	0,000	0,000	0,542	0,000	0,293	0,000	0,000
L-4	0,000	0,461	0,000	-0,366	0,000	0,000	0,000	0,690	0,000	0,366	0,000	0,000
L-5	0,000	0,286	0,000	-0,246	0,000	0,000	0,000	0,376	0,000	0,208	0,000	0,000
L-6	0,000	0,315	0,000	-0,220	0,000	0,000	0,000	0,391	0,000	0,220	0,000	0,000

ANDAR NÚMERO 3

VIGA	EXTREMIDADE			EXTREMIDADE			
	INICIAL	FINAL	FZ	INICIAL	FINAL	FZ	
	MX	MY	FZ		MX	MY	FZ
14	-0,006	-0,684	1,187	-0,006	0,676	1,117	
18	-0,000	-0,249	1,152	0,000	-0,829	-0,000	
24	0,011	-0,454	1,104	-0,011	-0,043	1,106	
28	-0,003	-1,255	1,155	0,003	0,805	1,005	
30	0,000	-0,263	1,080	-0,000	-0,652	0,000	
34	0,023	0,222	0,594	-0,023	2,609	1,562	
38	-0,693	1,1573	0,929	0,003	-0,725	-0,191	
39	-0,000	0,6404	1,050	0,000	-1,216	0,000	
44	3,013	1,097	0,249	-0,018	-3,891	1,911	
48	-0,008	-2,638	1,409	0,008	-1,625	-0,671	
4C	0,000	-0,077	1,084	-0,000	-1,543	0,000	
5A	-0,033	-0,686	1,037	0,033	1,375	1,267	
5B	0,022	-1,518	1,324	-0,022	0,357	0,836	
5C	-0,000	-0,800	1,486	0,000	-0,820	0,000	
64	0,003	-0,886	1,187	-0,003	0,675	1,117	
68	0,000	-0,895	1,152	-0,000	-0,833	0,000	
74	0,031	0,277	0,095	-0,031	1,046	1,225	
78	-0,014	-0,110	0,760	0,014	1,110	1,160	
7C	-0,020	0,111	0,654	0,020	1,420	1,254	
84	0,008	0,369	1,110	-0,008	-1,080	0,806	
88	0,010	3,628	-1,267	-0,010	6,991	3,031	
8C	-0,008	-1,977	1,498	0,008	-1,041	0,266	
60	-0,009	1,719	0,255	0,009	1,804	1,665	
94	-0,006	0,125	0,729	0,006	0,731	1,071	
98	-0,028	0,516	0,355	0,028	2,107	1,445	
9C	0,012	-0,718	0,776	-0,012	1,339	1,020	
90	0,022	-0,726	0,923	-0,022	0,608	0,877	
9E	-0,001	0,236	0,582	0,001	1,356	1,211	

P1	0.491	0.455	-0.273	-0.275	0.370	0.400	0.575	0.450	10.365	-0.275	-0.570	-0.000
P2	0.655	0.109	-11.735	-0.468	0.435	0.000	0.873	0.106	12.416	-0.685	-0.355	-0.000
P5	0.705	0.416	-8.321	-0.253	0.449	0.600	0.767	0.413	9.201	0.203	0.449	-0.000
P6	0.358	0.173	-9.929	-0.109	0.231	0.050	0.369	0.169	10.694	0.109	-0.231	-0.000
P7	0.427	0.091	-12.080	-0.057	0.272	0.000	0.029	0.388	12.761	-0.057	-0.272	-0.000
P11	0.603	-0.129	-6.672	0.078	0.363	0.600	0.603	-0.116	9.352	-0.078	-0.383	-0.000
P12	0.313	0.554	-9.829	-0.348	0.200	0.000	0.317	0.543	10.560	0.348	-0.200	-0.000
P15	0.466	-0.521	-8.119	0.328	0.297	0.000	0.469	-0.511	8.799	-0.328	-0.297	-0.000
P16	0.693	0.824	-9.270	-0.523	0.039	0.000	0.589	0.819	9.950	0.523	-0.439	-0.000
P19	0.162	0.327	-6.578	-0.207	0.104	0.000	0.165	0.326	7.259	0.207	-0.104	-0.000
P20	1.247	0.216	-7.676	-0.136	0.190	0.000	1.240	0.212	8.377	0.136	-0.774	-0.000
P21	0.688	0.229	-11.432	-0.144	0.436	0.000	0.685	0.224	12.112	0.144	-0.436	-0.000
P25	0.156	0.456	-8.393	-0.276	0.099	0.000	0.156	0.432	9.673	0.276	-0.099	-0.000
P26	0.069	0.110	-10.509	-0.069	0.045	0.000	0.072	0.107	11.189	0.069	-0.045	-0.000
C-A	23.606	-1.129	-57.678	0.701	7.252	0.000	-0.782	-1.079	70.984	-0.701	-7.252	-0.000
L-1	0.000	0.440	0.000	-0.272	0.000	0.000	0.000	0.416	0.000	0.272	0.000	0.000
L-2	0.000	0.351	0.000	-0.216	0.000	0.000	0.000	0.330	0.000	0.216	0.000	0.000
L-3	0.000	0.668	0.000	-0.407	0.000	0.000	0.000	0.613	0.000	0.407	0.000	0.000
L-4	0.000	0.552	0.000	-0.519	0.000	0.000	0.000	0.784	0.000	0.519	0.000	0.000
L-5	0.000	0.444	0.000	-0.272	0.000	0.000	0.000	0.414	0.000	0.272	0.000	0.000
L-6	0.000	0.442	0.000	-0.273	0.000	0.000	0.000	0.418	0.000	0.273	0.000	0.000

ANADAR NUMERO | 4

VIGA	EXTREMIDADE INICIAL			EXTREMIDADE FINAL		
	MX	MY	FZ	MX	MY	FZ

1A	0.006	-0.950	1.177	-0.006	0.711	1.127
1B	0.000	-0.918	1.152	-0.000	-0.810	0.000
2A	0.010	-0.838	1.140	-0.010	0.910	1.164
2B	-0.002	-1.237	1.148	0.002	-0.928	1.012
2C	-0.000	-0.977	1.080	0.000	-0.643	0.000
3A	0.023	0.211	0.629	-0.023	2.495	1.531
3B	-0.004	-1.455	0.877	0.004	-0.627	-0.139
3C	0.000	-0.443	1.080	-0.000	-1.177	0.000
4A	0.018	1.944	0.272	-0.018	3.803	1.888
4B	-0.008	-2.543	1.366	0.008	-1.546	-0.628
4C	0.000	-0.110	1.080	-0.000	-1.510	-0.000
5A	-0.032	-0.679	1.039	0.032	1.359	1.265
5B	0.021	-1.773	1.308	-0.021	0.402	0.852
5C	-0.000	-0.417	1.080	0.000	-0.603	0.000
6A	0.002	-0.861	1.177	-0.002	0.711	1.127
6B	0.000	-0.914	1.152	-0.000	-0.814	0.000
7A	0.030	0.309	0.692	-0.030	1.082	1.238
7B	-0.014	-0.115	0.757	0.014	1.129	1.163
7C	-0.018	0.102	0.655	-0.018	1.023	1.265
8A	0.008	0.318	1.100	-0.008	-1.016	0.820
8B	0.010	3.535	-1.224	-0.010	0.766	2.988
FC	-0.008	-1.719	1.403	0.008	-0.836	0.361
8D	-0.009	1.586	0.285	0.009	1.790	1.635
9A	-0.005	0.150	0.715	0.005	0.775	1.085
9B	-0.027	0.572	0.372	0.027	2.067	1.420
9C	0.013	-0.655	0.769	-0.013	1.339	1.031
9D	0.020	-0.668	0.907	-0.020	0.654	0.893
9E	-0.001	0.215	0.585	0.001	1.358	1.215

PILAR	EXTREMIDADE			SUPERIOR			EXTREMIDADE			INFERIOR		
	MX	MY	FZ	FX	FY	MZ	MX	MY	FZ	FX	FY	MZ
P1	0.868	0.421	-13.175	-0.265	0.562	0.000	0.883	0.415	13.855	0.265	-0.562	0.000
P2	0.681	0.100	-15.909	-0.062	0.432	0.000	0.680	0.396	16.590	0.062	-0.432	0.000
P5	0.707	-0.407	-11.406	-0.257	0.448	0.000	0.706	0.403	12.087	0.257	-0.408	0.000
P6	0.393	0.160	-13.567	-0.100	0.253	0.000	0.405	0.154	14.246	0.120	-0.253	0.000
P7	0.434	0.283	-12.331	-0.051	0.279	0.000	0.491	0.179	17.111	0.051	-0.279	0.000

P11	0,015	-0,179	-11,797	0,153	0,354	0,018	0,010	-0,075	12,474	-0,133	-0,125	-0,116
P12	0,330	0,520	-13,379	-0,326	0,212	0,000	0,336	0,596	10,152	0,326	0,212	-0,016
P15	0,979	-0,188	-11,067	0,308	0,365	0,000	0,453	0,676	11,747	-0,326	0,212	-0,016
P16	0,685	-0,798	-12,599	-0,503	0,434	0,000	-0,581	0,785	13,279	0,503	0,434	-0,016
P19	0,176	0,323	-8,479	-0,205	0,114	0,000	0,162	0,321	9,659	0,205	0,114	-0,016
F20	1,225	0,201	-10,546	-0,125	0,775	0,000	1,215	0,194	11,227	0,125	0,775	-0,000
P21	0,683	0,213	-15,501	-0,133	0,433	0,000	0,581	0,207	10,182	0,133	0,433	-0,000
P25	0,159	0,422	-11,350	-0,266	0,102	0,000	0,161	0,416	12,031	0,266	0,102	-0,000
P26	0,081	0,101	-14,183	-0,083	0,053	0,000	0,085	0,097	14,864	0,063	0,053	-0,000
C-4	12,119	-1,063	-81,038	0,685	11,214	0,000	23,207	-1,296	194,343	-0,685	-11,214	-0,000
L-1	0,000	0,394	0,400	-0,251	0,000	0,000	0,000	0,395	0,000	0,251	0,000	0,000
L-2	0,000	0,312	0,000	-0,199	0,000	0,000	0,000	0,315	0,000	0,199	0,000	0,000
L-3	0,000	0,564	0,000	-0,359	0,000	0,000	0,000	0,569	0,000	0,359	0,000	0,000
L-4	0,000	0,725	0,000	-0,464	0,000	0,000	0,100	0,735	0,000	0,464	0,000	0,000
L-5	0,000	0,388	0,000	-0,247	0,000	0,000	0,000	0,391	0,000	0,247	0,000	0,000
L-6	0,000	0,396	0,000	-0,251	0,000	0,000	0,000	0,398	0,000	0,251	0,000	0,000

AN D A R N U M E R O 5

VIGA	EXTREMIDADE INICIAL			EXTREMIDADE FINAL		
	MX	MY	FZ	MX	MY	FZ
1A	0,026	-0,627	-1,154	-0,006	0,758	1,140
1B	0,000	-0,942	1,152	-0,000	-0,756	0,000
2A	0,009	-0,515	1,134	-0,009	0,921	1,170
2B	-0,001	-1,215	1,140	0,001	0,857	1,020
2C	-0,690	-0,949	1,080	0,000	-0,631	0,000
3A	0,923	-0,122	0,507	-0,023	2,354	1,493
3B	-0,604	-1,308	0,611	0,004	-0,503	-0,873
3C	-0,000	-0,469	1,086	0,000	-1,131	0,000
4A	0,018	0,959	0,309	-0,018	3,649	1,851
4B	-0,007	-2,443	1,303	-0,007	-1,428	-0,505
4C	-0,006	-1,154	1,640	0,000	-1,455	0,000
5A	-0,030	-0,667	1,040	0,030	1,338	1,264
5B	0,020	-1,713	1,268	-0,120	0,952	0,672
5C	0,000	-0,866	1,086	-0,000	-0,786	-0,000
6A	0,002	-0,827	1,163	-0,002	0,759	1,191
6B	0,000	-0,040	1,152	0,966	-0,782	0,000
7A	0,028	0,335	0,670	-0,024	1,117	1,250
7B	-0,014	-0,133	0,758	0,014	1,146	1,172
7C	-0,017	0,079	0,662	-0,017	1,409	1,258
8A	0,008	0,314	1,081	-0,008	-0,922	0,430
8B	0,009	3,368	-1,146	-0,009	6,570	2,910
8C	-0,007	-1,429	1,275	0,007	-0,595	0,469
8D	-0,009	1,409	0,328	0,009	1,752	1,542
9A	-0,005	0,170	0,701	0,005	0,825	1,099
9B	-0,026	0,501	0,399	0,026	2,002	1,461
9C	0,013	-0,652	0,765	-0,013	1,329	1,035
9D	0,019	-0,648	0,889	-0,019	0,705	0,911
9E	-0,001	0,176	0,597	0,001	1,341	1,203

PILAR	E X T R E M I D A D E			S U P E R I O R			E X T R E M I D A D E			I N F E R I O R		
	MX	MY	FZ	FX	FY	MZ	MX	MY	FZ	FX	FY	MZ
P1	0,862	0,402	-16,611	-0,253	0,546	0,000	0,857	0,395	17,291	0,253	-0,506	-0,000
P2	0,667	0,985	-20,065	-0,054	0,423	0,000	0,667	0,583	20,766	0,054	-0,423	-0,000
P5	0,694	0,395	-14,479	-0,249	0,041	0,000	0,694	0,390	15,159	0,249	-0,041	-0,000
P6	0,019	0,143	-17,304	-0,088	0,270	0,000	0,433	0,136	18,434	0,088	-0,270	-0,000
P7	0,439	0,072	-20,520	-0,045	0,294	0,000	0,444	0,669	21,340	0,045	-0,280	-0,000
P11	0,595	-0,045	-14,971	0,023	0,378	0,000	0,596	0,028	15,552	-0,023	-0,378	-0,000
P12	0,300	0,470	-16,991	-0,299	0,219	0,000	0,350	0,454	17,671	0,299	-0,219	-0,000
P15	0,482	-0,442	-14,054	0,274	0,346	0,000	0,484	0,422	14,744	-0,274	-0,348	-0,000
P16	0,662	0,757	-15,959	-0,475	0,419	0,000	0,659	0,740	16,639	0,475	-0,419	-0,000
P19	0,159	0,317	-11,469	-0,261	0,119	0,000	0,192	0,315	12,150	0,261	-0,119	-0,000

P20	1.100	0.100	-13.472	-0.111	0.745	0.010	1.100	0.171	14.152	0.111	-1.745	-0.100
P21	0.665	0.193	-19.631	-0.120	0.422	0.000	0.665	0.185	20.312	0.121	-0.422	-0.000
P25	0.155	0.403	-14.275	-0.253	0.100	0.000	0.159	0.395	14.955	0.253	-0.100	-0.000
P26	0.086	0.689	-17.857	-0.055	0.058	0.000	0.095	0.584	18.536	0.055	-0.055	-0.000
C-1	-11.666	-1.146	-104.006	-0.733	15.272	0.000	59.792	-1.163	117.312	-0.733	-15.272	-0.000
L-1	0.000	0.391	0.000	-0.246	0.000	0.000	0.000	0.385	0.000	0.246	0.000	0.000
L-2	0.000	0.316	0.000	-0.200	0.000	0.000	0.000	0.313	0.000	0.200	0.000	0.000
L-3	0.000	0.563	0.000	-0.354	0.000	0.000	0.000	0.552	0.000	0.354	0.000	0.000
L-4	0.000	0.731	0.000	-0.460	0.000	0.000	0.000	0.719	0.000	0.460	0.000	0.000
L-5	0.000	0.389	0.000	-0.245	0.000	0.000	0.000	0.383	0.000	0.245	0.000	0.000
L-6	0.000	0.392	0.000	-0.247	0.000	0.000	0.000	0.386	0.000	0.247	0.000	0.000

A N D A R N U M E R O 6

VIGA	EXTREMIDADE INICIAL			EXTREMIDADE FINAL		
	MX	MY	FZ	MX	MY	FZ
1A	0.006	-0.784	1.147	-0.006	0.817	1.157
1B	-0.000	-0.974	1.152	0.000	-0.754	0.000
2A	0.607	-0.783	1.126	-0.007	0.939	1.178
2B	-0.000	-1.192	1.130	0.000	0.891	1.030
2C	0.000	-1.062	1.080	-0.000	-0.618	0.000
3A	0.022	0.622	0.711	-0.022	2.198	1.489
3B	-0.070	-1.137	0.734	0.000	-0.366	0.004
3C	0.000	-0.512	1.050	-0.000	-1.078	0.000
4A	0.018	0.540	0.350	-0.018	3.482	1.610
4B	-0.007	-2.210	1.217	0.007	-1.266	-0.479
4C	0.000	-0.214	1.080	-0.000	-1.400	-0.000
5A	-0.028	-0.650	1.001	-0.028	1.316	1.283
5B	0.019	-1.640	1.264	-0.019	0.536	0.495
5C	-0.000	-0.868	1.080	0.000	-0.752	-0.000
6A	0.002	-0.783	1.126	-0.002	0.520	1.158
6B	-0.000	-0.973	1.152	0.000	-0.755	0.000
7A	0.026	0.343	0.652	-0.026	1.140	1.258
7B	-0.014	-0.169	0.764	0.014	1.151	1.156
7C	-0.014	0.033	0.680	0.014	1.366	1.240
8A	0.008	0.301	1.158	-0.008	-0.791	0.862
8B	0.008	3.105	-1.020	-0.008	6.215	2.784
8C	-0.006	-1.135	1.181	0.006	-0.331	0.583
8D	-0.009	1.180	0.387	0.009	1.678	1.533
9A	-0.004	0.175	0.690	0.004	0.473	1.110
9B	-0.025	0.398	0.439	0.025	1.907	1.361
9C	0.013	-0.621	0.763	-0.013	1.305	1.037
9D	0.018	-0.614	0.471	-0.018	0.756	0.929
9E	-0.001	0.112	0.618	0.001	1.299	1.182

PILAR	E X T R E M I D A D E			S U P E R I O R			E X T R E M I D A D E			I N F E R I O R		
	MX	MY	FZ	FX	FY	MZ	MX	MY	FZ	FX	FY	MZ
P1	0.815	0.380	-19.970	-0.238	0.516	0.000	0.811	0.371	20.651	0.238	-0.515	-0.000
P2	0.637	0.973	-24.257	-0.044	0.405	0.000	0.640	0.067	24.038	0.045	-0.415	-0.000
P5	0.564	0.379	-17.525	-0.239	0.022	0.000	0.666	0.372	18.276	0.239	-0.422	-0.000
P6	0.028	0.121	-21.313	-0.074	0.277	0.000	0.403	0.112	21.993	0.074	-0.277	-0.000
P7	0.024	0.061	-24.956	-0.037	0.272	0.000	0.431	0.057	25.626	0.037	-0.272	-0.000
P11	0.565	0.056	-18.199	-0.010	0.359	0.000	0.567	0.024	18.879	0.010	-0.359	-0.000
P12	0.338	0.433	-20.603	-0.270	0.219	0.000	0.351	0.416	21.340	0.270	-0.219	-0.000
P15	0.469	-0.378	-17.125	0.232	0.300	0.000	0.477	-0.352	17.806	-0.232	-0.310	-0.000
P16	0.620	0.702	-19.365	-0.439	0.393	0.000	0.617	0.680	20.045	0.439	-0.393	-0.000
P19	0.180	0.309	-13.753	-0.195	0.118	0.000	0.192	0.306	14.454	0.195	-0.115	-0.000
P20	1.101	0.153	-16.521	-0.094	0.693	0.000	1.082	0.143	17.202	0.094	-0.093	-0.000
P21	0.627	0.168	-23.835	-0.104	0.398	0.000	0.626	0.156	24.517	0.104	-0.398	-0.000
P25	0.140	0.379	-17.159	-0.238	0.091	0.000	0.148	0.370	17.839	0.238	-0.091	-0.000
P26	0.053	0.073	-21.534	-0.045	0.056	0.000	0.095	0.067	22.219	0.045	-0.055	-0.000
C-1	-0.4.048	-1.212	-125.074	-0.770	19.890	0.000	19.769	-1.223	139.784	-0.777	-1.212	-0.000

L-1	0.000	0.370	0.000	-0.232	0.950	0.000	0.000	0.560	0.000	0.232	0.000	0.000
L-2	0.000	0.325	0.000	-0.191	0.000	0.000	0.000	0.298	0.000	0.191	0.000	0.000
L-3	0.000	0.520	0.000	-0.329	0.000	0.000	0.000	0.511	0.000	0.329	0.000	0.000
L-4	0.000	0.584	0.000	-0.431	0.000	0.000	0.000	0.669	0.000	0.431	0.000	0.000
L-5	0.000	0.369	0.000	-0.231	0.000	0.000	0.000	0.359	0.000	0.231	0.000	0.000
L-6	0.000	0.370	0.000	-0.232	0.000	0.000	0.000	0.360	0.000	0.232	0.000	0.000

A N D A R N U M E R O 7

VIGA	EXTRÉMIDADE INICIAL			EXTRÉMIDADE FINAL		
	HX	HY	FZ	HX	HY	FZ
1A	0.005	-0.732	1.128	-0.005	0.890	1.178
1B	0.000	-1.012	1.152	-0.000	-0.716	-0.000
2A	0.006	-0.741	1.119	-0.006	0.969	1.190
2B	0.001	-1.171	1.121	-0.001	0.927	1.039
2C	-0.000	-1.017	1.089	0.000	-0.603	0.000
3A	0.021	-0.086	0.757	-0.021	2.022	1.403
3B	-0.004	-0.949	0.650	0.004	-0.291	0.088
3C	-0.000	-0.601	1.080	0.000	-1.019	0.000
4A	0.018	0.682	0.428	-0.018	3.231	1.732
4B	-0.006	-1.498	1.104	0.006	-1.053	-0.366
4C	-0.000	-0.292	1.089	0.000	-1.328	-0.000
5A	-0.026	-0.026	1.031	0.026	1.294	1.263
5B	0.017	-1.556	1.235	-0.017	0.623	0.925
5C	-0.000	-0.001	1.080	0.000	-0.719	0.000
6A	0.001	-0.729	1.124	-0.001	0.894	1.150
6B	-0.000	-1.012	1.152	0.000	-0.716	0.000
7A	0.023	0.325	0.663	-0.023	1.159	1.257
7B	-0.013	-0.250	0.777	0.013	1.143	1.143
7C	-0.012	-0.047	0.713	0.012	1.282	1.247
7D	0.008	0.250	1.931	-0.308	-0.612	0.899
7E	0.006	2.717	-0.832	-0.006	5.680	2.596
8C	-0.005	-0.366	1.071	0.005	-0.058	0.693
8D	-0.009	0.906	0.468	-0.009	1.556	1.452
9A	-0.004	0.158	0.685	-0.004	0.915	1.115
9B	-0.023	0.258	0.494	-0.023	1.774	1.306
9C	0.012	-0.599	0.768	-0.012	1.261	1.032
9D	0.016	-0.590	0.858	-0.016	0.802	0.942
9E	-0.000	0.015	0.652	0.000	1.222	1.148

PILAR	EXTRÉMIDADE			S U P E R I O R			EXTRÉMIDADE			I N F E R I O R		
	HX	HY	FZ	FX	FY	MZ	HX	HY	FZ	FX	FY	MZ
P1	0.746	0.352	-23.229	-0.220	0.469	0.000	0.736	0.341	23.989	0.220	-0.459	-0.000
P2	0.587	0.055	-28.416	-0.032	0.375	0.000	0.593	0.348	29.496	0.032	-0.375	-0.000
P5	0.610	0.357	-20.527	-0.224	0.389	0.000	0.614	0.348	21.297	0.224	-0.389	-0.000
P6	0.410	0.194	-25.464	-0.057	0.265	0.000	0.425	0.180	26.145	0.057	-0.265	-0.000
P7	0.386	0.049	-29.351	-0.030	0.248	0.000	0.396	0.045	30.031	0.031	-0.244	-0.000
P11	0.569	0.060	-21.092	-0.048	0.324	0.000	0.511	0.079	22.173	0.040	-0.324	-0.000
P12	0.317	0.342	-24.402	-0.237	0.207	0.000	0.334	0.365	25.183	0.237	-0.217	-0.000
P15	0.434	-0.294	-20.268	0.176	0.279	0.000	0.444	-0.260	20.948	-0.176	-0.279	-0.000
P16	0.551	0.631	-22.834	-0.391	0.349	0.000	0.549	0.602	23.514	0.391	-0.349	-0.000
P19	0.159	0.295	-16.138	-0.188	0.106	0.000	0.176	0.293	16.818	0.188	-0.186	-0.000
P20	0.980	0.121	-19.758	-0.073	0.615	0.000	0.956	0.109	20.438	0.073	-0.515	-0.000
P21	0.504	0.139	-22.130	-0.095	0.358	0.000	0.564	0.128	28.410	0.085	-0.358	-0.000
P25	0.110	0.151	-19.994	-0.219	0.074	0.000	0.125	0.340	20.675	0.210	-0.674	-0.000
P26	0.064	0.055	-25.236	-0.032	0.047	0.000	0.063	0.047	25.416	0.032	-0.302	-0.000
C-1	-08.983	-148.338	0.832	23.897	0.000	174.258	-1.332	161.043	-0.832	-23.897	-0.000	
L-1	0.000	0.356	0.000	-0.227	0.000	0.000	0.361	0.000	0.227	0.000	0.000	
L-2	0.000	0.325	0.000	-0.197	0.000	0.000	0.317	0.000	0.197	0.000	0.000	
L-3	0.000	0.508	0.000	-0.326	0.000	0.000	0.519	0.000	0.326	0.000	0.000	
L-4	0.000	0.559	0.000	-0.421	0.000	0.000	0.607	0.000	0.421	0.000	0.000	
L-5	0.000	0.359	0.000	-0.231	0.000	0.000	0.368	0.000	0.231	0.000	0.000	

ANODAR NÚMERO 8

VIGA	EXTREMIDADE INICIAL			EXTREMIDADE FINAL		
	MX	MY	FZ	MX	MY	FZ
1A	0.004	-0.669	1.100	-0.004	0.979	1.264
1B	0.000	-1.059	1.152	-0.000	-0.669	0.000
2A	0.005	-0.655	1.097	-0.005	1.016	1.207
2B	0.001	-1.156	1.112	-0.001	0.964	1.048
2C	-0.000	-1.031	1.080	0.000	-0.589	-0.000
3A	0.018	-0.197	0.805	-0.018	1.845	1.355
3B	-0.003	-0.749	0.560	0.003	-0.033	0.178
3C	0.000	-0.644	1.080	-0.000	-0.956	-0.000
4A	0.016	-0.477	0.516	-0.016	2.907	1.644
4B	-0.006	-1.632	0.959	0.006	-0.733	-0.221
4C	-0.000	-0.392	1.080	0.000	-1.228	-0.000
5A	-0.022	-0.573	1.038	0.022	1.276	1.266
5B	0.010	-1.469	1.224	-0.010	0.722	0.956
5C	0.000	-0.939	1.080	-0.000	-0.681	-0.000
6A	0.001	-0.065	1.099	-0.001	0.983	1.205
6B	0.000	-1.060	1.152	-0.000	-0.658	0.000
7A	0.019	0.268	0.676	-0.019	1.153	1.240
7B	-0.012	-0.320	0.802	0.012	1.117	1.118
7C	-0.009	-0.171	0.765	0.009	1.140	1.155
8A	0.008	0.158	0.697	-0.008	-0.374	0.423
8B	0.005	2.172	-0.565	-0.005	4.917	2.329
8C	-0.000	-0.651	0.972	0.000	0.209	0.792
9D	-0.009	0.565	0.573	0.009	1.368	1.347
9A	-0.004	0.110	0.689	0.004	0.945	1.111
9B	-0.021	0.071	0.567	0.021	1.595	1.233
9C	0.010	-0.593	0.780	-0.010	1.191	1.820
9D	0.014	-0.583	0.849	-0.014	0.836	0.951
9E	-0.000	-0.123	0.705	0.000	1.499	1.095

PILAR	EXTREMIDADE DE			S U P E R I O R			EXTREMIDADE DE			I N F E R I O R		
	MX	MY	FZ	FX	FY	MZ	MX	MY	FZ	FX	FY	MZ
P1	0.626	0.318	-26.356	-0.198	0.398	0.000	0.624	0.304	27.036	0.198	-0.398	0.000
P2	0.510	0.033	-32.547	-0.018	0.327	0.000	0.520	0.025	33.224	0.018	-0.327	-0.000
P5	0.524	0.328	-23.459	-0.204	0.335	0.000	0.531	0.316	24.139	0.204	-0.335	-0.000
P6	0.353	0.062	-29.829	-0.036	0.229	0.000	0.367	0.050	30.510	0.036	-0.229	-0.000
P7	0.319	0.037	-33.814	-0.022	0.206	0.000	0.331	0.033	30.045	0.022	-0.206	-0.000
P11	0.417	0.115	-24.842	-0.073	0.266	0.000	0.420	0.133	25.542	0.078	-0.266	-0.000
P12	0.271	0.329	-28.210	-0.203	0.178	0.000	0.292	0.310	28.890	0.203	-0.178	-0.000
P15	0.308	-0.127	-23.510	0.105	0.238	0.000	0.382	-0.144	24.190	-0.105	-0.238	-0.000
P16	0.448	0.540	-26.387	-0.332	0.285	0.000	0.448	0.504	27.067	0.332	-0.285	-0.000
P19	0.115	0.281	-18.532	-0.176	0.080	0.000	0.138	0.274	19.212	0.176	-0.080	-0.000
P20	0.805	0.083	-23.266	-0.048	0.502	0.000	0.776	0.068	23.947	0.048	-0.502	-0.000
P21	0.467	0.106	-32.524	-0.064	0.297	0.000	0.468	0.095	33.205	0.064	-0.297	-0.000
P25	0.062	0.317	-22.771	-0.197	0.047	0.000	0.068	0.303	23.451	0.197	-0.047	-0.000
P26	0.028	0.033	-28.962	-0.018	0.026	0.000	0.054	0.024	29.542	0.018	-0.026	-0.000
C-4	-1bu.701	-1.346	-169.412	0.845	28.587	0.000	254.750	-1.316	182.767	-0.845	-28.587	-0.000
L-1	0.000	0.308	0.000	-0.177	0.000	0.000	0.250	0.000	0.177	0.000	0.000	0.000
L-2	0.000	0.272	0.000	-0.154	0.000	0.000	0.214	0.000	0.154	0.000	0.000	0.000
L-3	0.000	0.436	0.000	-0.207	0.000	0.000	0.342	0.000	0.247	0.000	0.000	0.000
L-4	0.000	0.502	0.000	-0.321	0.000	0.000	0.448	0.000	0.321	0.000	0.000	0.000
L-5	0.000	0.313	0.000	-0.178	0.000	0.000	0.248	0.000	0.178	0.000	0.000	0.000
L-6	0.000	0.308	0.000	-0.177	0.000	0.000	0.250	0.000	0.177	0.000	0.000	0.000

ANODAR NÚMERO 9

VIGA	EXTREMIDADE INICIAL			EXTREMIDADE FINAL		
	HX	HY	FZ	HX	HY	FZ
1A	0,003	-0,575	1,079	-0,603	1,085	1,234
1B	-0,000	-1,114	1,152	0,000	-0,614	0,000
2L	0,005	-0,615	1,074	-0,405	1,046	1,230
2a	0,001	-1,152	1,106	-0,001	0,997	1,054
2C	-0,000	-1,045	1,080	0,000	-0,575	0,000
3A	0,014	-0,311	0,450	-0,014	1,654	1,306
3B	-0,003	-0,544	0,468	0,003	0,138	0,270
3C	-0,000	-0,731	1,080	0,000	-0,889	-0,000
4A	0,013	0,211	0,629	-0,013	2,494	1,531
4B	-0,004	-1,237	0,700	0,004	-0,446	-0,042
4C	0,000	-0,518	1,390	-0,000	-1,102	-0,000
5A	-0,018	-0,551	1,032	0,018	1,270	1,272
5B	0,011	-1,367	1,170	-0,011	0,828	0,000
5C	-0,000	-0,980	1,030	0,000	-0,640	0,000
6A	0,001	-0,593	1,069	-0,001	1,089	1,235
6B	0,000	-1,115	1,152	-0,000	-0,613	0,000
7A	0,013	-0,159	0,704	-0,013	1,119	1,216
7B	-0,009	-0,459	0,839	0,009	1,066	1,081
7C	-0,006	-0,354	0,843	0,006	0,937	1,077
8A	0,005	0,079	0,956	-0,008	-0,060	0,064
8B	0,003	1,931	-0,200	-0,003	3,872	1,964
8C	-0,002	-0,523	0,895	0,002	9,455	0,568
8D	-0,009	0,153	0,709	0,009	1,100	1,211
9A	-0,003	0,015	0,746	-0,003	0,954	1,094
9B	-0,018	-0,166	0,661	0,018	1,365	1,400
9C	0,008	-0,609	0,855	-0,008	1,086	0,995
9D	0,012	-0,601	0,859	-0,012	0,853	0,950
9E	0,001	-0,312	0,778	-0,001	0,921	1,022

PILAR	EXTREMIDADE E			SUPERIOR			EXTREMIDADE F			INFERIOR		
	HX	HY	FZ	FX	FY	MZ	HX	HY	FZ	FX	FY	MZ
P1	0,473	0,282	-29,317	-0,175	0,300	0,000	0,473	0,271	29,998	0,175	-4,340	0,000
P2	0,404	0,005	-36,635	0,000	0,263	0,000	0,425	-0,007	37,315	-0,020	-9,253	-0,000
P5	0,401	-0,294	428,289	-0,153	0,259	0,000	0,413	0,284	26,970	0,183	-6,259	-0,000
P6	0,284	-0,022	-30,426	-0,000	0,159	0,000	0,255	0,005	35,104	0,069	-6,159	-0,000
P7	0,211	-0,027	-38,358	-0,016	0,138	0,000	0,225	0,024	39,038	0,016	-6,136	-0,000
P11	0,279	0,175	424,321	-0,119	0,178	0,000	0,281	0,201	29,001	0,119	-4,178	-0,000
P12	0,191	-0,280	-32,295	-0,174	0,130	0,000	0,218	0,267	32,766	0,174	-6,130	-0,000
P15	0,266	-0,484	-24,870	0,009	0,175	0,000	0,284	0,017	27,554	0,000	-6,175	-0,000
P16	0,304	-0,434	-30,056	-0,264	0,123	0,000	0,305	0,397	30,730	0,264	-6,193	-0,000
P19	0,039	0,261	-26,949	-0,166	0,033	0,000	0,066	0,258	21,629	0,160	-6,033	-0,000
P20	0,567	0,035	-27,152	-0,016	0,349	0,000	0,533	0,016	27,832	0,016	-6,349	-0,000
P21	0,330	-0,072	-37,029	-0,042	0,212	0,000	0,336	0,061	37,709	0,042	-6,212	-0,000
P25	-0,008	0,281	-25,477	-0,175	0,005	0,000	0,024	0,270	26,157	0,175	-6,005	-0,000
P26	-0,038	0,005	-32,735	0,001	-0,015	0,000	-0,009	-0,007	33,416	-0,001	-6,015	-0,000
C-4	-247,249	-1,538	-189,712	1,057	33,621	0,000	353,155	-1,791	203,017	-1,057	-33,621	-0,000
L-1	0,000	0,364	0,000	-0,255	0,000	0,000	0,535	0,000	0,285	0,000	0,000	0,000
L-2	0,000	0,361	0,000	-0,294	0,000	0,000	0,566	0,000	0,294	0,000	0,000	0,000
L-3	0,000	0,547	0,000	-0,442	0,000	0,000	0,836	0,000	0,442	0,000	0,000	0,000
L-4	0,000	0,654	0,000	-0,516	0,000	0,000	0,972	0,000	0,516	0,000	0,000	0,000
L-5	0,000	0,392	0,000	-0,315	0,000	0,000	0,600	0,000	0,315	0,000	0,000	0,000
L-6	0,000	0,363	0,000	-0,285	0,000	0,000	0,534	0,000	0,285	0,000	0,000	0,000

ANDAR NUMERO 10

VIGA	EXTREMIDADE INICIAL			EXTREMIDADE FINAL		
	HX	HY	FZ	HX	HY	FZ
1A	0,001	-0,456	1,026	-0,001	1,214	1,278
1B	0,000	-1,193	1,152	-0,000	-0,535	0,700

24	-0,005	-0,169	1,032	-0,005	1,169	1,272
26	0,001	-1,176	1,105	-0,001	1,020	1,058
28	-0,000	-1,054	1,089	0,000	-0,566	0,000
31	0,007	-0,356	0,884	-0,007	1,530	1,276
35	-0,002	-0,332	0,370	-0,002	0,329	0,368
36	-0,000	-0,774	1,030	0,000	-0,846	0,000
44	0,006	-0,057	0,755	-0,005	-2,009	1,456
48	-0,002	-0,735	0,551	0,002	-0,010	0,187
49	-0,000	-0,648	1,080	0,000	-0,972	0,000
54	-0,012	-0,415	1,011	0,012	-1,284	1,293
58	0,006	-1,268	1,139	-0,006	0,936	1,021
59	0,000	-1,020	1,080	-0,000	-0,600	-0,000
64	0,001	-0,455	1,025	-0,001	1,217	1,279
68	-0,000	-1,194	1,152	0,000	-0,534	0,000
74	0,006	0,020	0,745	-0,007	1,050	1,170
75	-0,045	-0,652	0,892	0,065	0,995	1,626
76	-0,002	-0,011	0,951	0,002	0,695	0,959
84	0,009	-0,035	0,895	-0,009	0,353	1,024
85	-0,000	0,436	0,288	0,000	2,474	1,476
86	0,000	-0,511	0,648	-0,000	0,676	0,916
89	-0,010	-0,343	0,890	0,010	0,694	1,036
94	-0,003	-0,093	0,730	0,003	0,943	1,070
98	-0,014	-0,475	0,781	0,014	1,073	1,019
99	0,005	-0,056	0,844	-0,005	0,735	0,956
90	0,011	-0,547	0,852	-0,011	0,861	0,943
96	0,002	-0,573	0,889	-0,002	0,628	0,911

PILAR	EXTREMOS DADE			SUPERIOR			EXTREMOS DADE			INFERIOR		
	MX	MY	FZ	FX	FY	HZ	MX	MY	FZ	FX	FY	HZ
P1	0,221	0,175	-32,653	-0,083	0,125	0,000	0,172	0,086	32,734	0,083	-0,125	0,000
P2	0,203	-0,012	-41,657	0,000	0,116	0,000	0,163	-0,006	41,537	-0,005	-0,116	-0,000
P5	0,189	0,150	-21,961	-0,067	0,129	0,000	0,156	0,090	29,641	0,057	-0,114	-0,004
P6	0,082	-0,018	-34,257	0,068	0,059	0,000	0,103	-0,004	39,967	-0,004	-0,059	-0,000
P7	0,054	0,415	-13,475	-0,007	0,054	0,000	0,095	0,007	43,535	0,047	-0,053	-0,000
P11	0,094	0,152	-31,475	-0,072	0,085	0,000	0,110	0,074	32,555	0,072	-0,065	-0,000
P12	0,008	0,172	-36,027	-0,081	0,052	0,000	0,097	0,084	36,707	0,081	-0,052	-0,000
P15	0,106	0,051	-30,374	-0,020	0,070	0,000	0,115	0,025	31,455	0,024	-0,070	-0,000
P16	0,110	0,242	-33,560	-0,115	0,072	0,000	0,117	0,119	34,541	0,115	-0,072	-0,000
P19	-0,034	0,171	-23,386	-0,081	0,004	0,000	0,047	0,084	24,466	0,081	-0,084	-0,000
P20	0,259	-0,002	-31,576	0,001	0,133	0,000	0,180	-0,001	32,257	-0,021	-0,133	-0,000
P21	0,134	0,434	-41,652	-0,016	0,083	0,000	0,129	0,017	42,342	0,016	-0,085	-0,000
P25	-0,060	0,175	-28,074	-0,003	-0,008	0,000	0,060	0,034	0,086	0,035	-0,024	-0,000
P26	-0,083	-0,012	-30,577	0,006	-0,019	0,000	0,023	-0,006	37,257	-0,006	-0,019	-0,000
C-A	-398,764	-1,362	-208,943	0,649	39,056	0,000	471,892	-0,681	222,249	-0,649	-39,686	-0,000

REAÇOES DE APOIO

Nº	FORCA X	FORCA Y	FORCA Z	MOM. X	MOM. Y	MOM. Z
1	0,083	-0,125	32,734	0,172	0,086	-0,000
2	-0,006	-0,116	41,537	0,163	-0,006	-0,000
5	0,087	-0,109	29,641	0,156	0,090	-0,000
6	-0,004	-0,059	39,967	0,103	-0,004	-0,200
7	0,007	-0,050	43,665	0,095	0,007	-0,000
11	0,072	-0,085	32,555	0,116	0,074	-0,000
29	-0,649	-39,056	222,249	471,892	-0,681	-0,000
12	0,081	-0,152	36,707	0,097	0,084	-0,000
15	0,024	-0,070	31,455	0,115	0,025	-0,000
16	0,115	-0,072	34,541	0,117	0,119	-0,000
19	0,081	-0,004	24,466	0,047	0,084	-0,000
20	-0,001	-0,133	32,257	0,150	-0,011	-0,000
21	-0,016	-0,083	42,342	0,129	0,017	-0,000
25	0,053	0,038	24,759	0,034	0,086	-0,000
26	-0,006	0,019	37,257	0,023	-0,006	-0,000